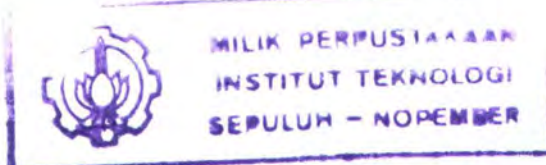


19.971/H/04



TUGAS AKHIR (KL 1702)

ANALISA KEANDALAN STRUKTUR JACK-UP MOgPU PLATFORM DENGAN SFEM DAN METODE KERUNTUHAN MELALUI PENDEKATAN DETERMINISTIK DI PERAIRAN NATUNA



RSL/e
627-80
Bacl
9-1
2004

Oleh :

BUDI KRISTYANTO
NRP. 4399 100 029

PERPUSTAKAAN ITS	
Tgl. Terima	20 - 2 - 2004
Terima Dari	H
No. Agenda Prp.	219569

JURUSAN TEKNIK KELAUTAN
FAKULTAS TEKNOLOGI KELAUTAN
INSTITUT TEKNOLOGI SEPULUH NOPEMBER
SURABAYA
2004

**ANALISA KEANDALAN STRUKTUR JACK-UP MOgPU
PLATFORM DENGAN SFEM DAN METODE
KERUNTUHAN MELALUI PENDEKATAN
DETERMINISTIK DI PERAIRAN NATUNA**

TUGAS AKHIR

**Diajukan Guna Memenuhi Salah Satu Syarat
Untuk Menyelesaikan Studi Program Sarjana
Pada
Jurusan Teknik Kelautan
Fakultas Teknologi Kelautan
Institut Teknologi Sepuluh Nopember
Surabaya**

Mengetahui / Menyetujui

Dosen Pembimbing I



Ir. Daniel M. Rosyid, PhD
NIP. 131 782 038

Dosen Pembimbing II



Ir. Murdjito, MSc.Eng.
NIP. 132 149 376

**SURABAYA
2004**

AKU ADA

Ketika aku sedang sedih menyesali masa lampauku

dan memikirkan masa depan penuh kecemasan,

Tuhan berfirman "nama-Ku adalah *Aku Add'*"

"Bila hidupmu hanya memikirkan masa lampau

dengan memikirkan kesalahan dan penyesalan-penesalan,

semua itu tidak ada gunanya,

Aku tidak ada disana".

"Bila hidupmu hanya memikirkan masa depan

dengan segala permasalahan yang tidak menentu

dan rasa takut, itupun semua sia-sia.

Aku tidak ada disana".

Bila hidupmu sekarang memikirkan hal-hal

yang terjadi hari ini dan percaya pada-Ku,

sungguh indah sekali,

*Aku ada disini. Nama-ku adalah *Aku Add'*".*

ABSTRAK

Telah dilakukan analisa keandalan struktur kaki Moveable Gas Production Unit (MOgPU) dengan payload 5050 ton di kedalaman 83,1 m. MOgPU platform ini berupa Jack-Up yang beroperasi diperairan Natuna. Pada analisa keruntuhan (*pushover analysis*), beban lingkungan kondisi ekstrim dinaikkan secara perlahan-lahan sampai terjadi keruntuhan seluruh struktur. Dari analisa ini telah diketahui ultimate strength member kritis dan urutan keruntuhan member-member penyebab keruntuhan struktur yang tersusun sebagai mekanisme keruntuhan. Respon struktur berupa tegangan divariasikan berdasarkan percobaan randomisasi yang telah dilakukan untuk ultimate strength pada struktur lepas pantai. Besar variasi didasarkan pada rataan ultimate strength member-member kritis hasil *pushover analysis*. Variasi tegangan sebelum runtuh dan ultimate strength dijadikan sebagai input dalam moda kegagalan yang kemudian disimulasikan dengan Monte Carlo Simulation (MCS) untuk mendapatkan keandalan member-member kritis. Keandalan sistem diperoleh melalui hubungan paralel antara member-member runtuh akibat kondisi beban yang berbeda dan hubungan seri antara member-member runtuh akibat kondisi beban yang sama. Keandalan sistem yang diperoleh dalam analisa ini adalah 0,998. Hasil ini sangat dipengaruhi oleh besar tegangan pada kondisi beban awal yang masih jauh dibawah kondisi plastis.

KATA PENGANTAR

Puji dan syukur kehadirat Allah SWT yang telah memberikan rahmat dan karunianya kepada penulis sehingga dapat menyelesaikan tugas akhir ini dengan segenap kemampuan yang penulis miliki. Tugas akhir ini berjudul "*Analisa Keandalan Struktur Jack-Up MOgPU Platform dengan SFEM dan Metode Keruntuhan Melalui Pendekatan Deterministik di Perairan Natuna*".

Tugas akhir ini disusun guna memenuhi persyaratan dalam menyelesaikan studi kesarjanaan (S-1) di jurusan Teknik Kelautan, Falkutas Teknologi Kelautan (FTK), Institut Teknologi Sepuluh Nopember (ITS). Tugas akhir ini menganalisa keandalan sistem struktur Jack Up dengan SFEM dan metode keruntuhan. Struktur yang diambil untuk studi kasus adalah struktur MOgPU, dimana struktur ini memiliki 4 kaki dengan tipe truss 3 chord K bracing yang berlokasi di perairan Natuna. Berdasarkan analisa ini akan diketahui moda keruntuhan dan keandalan sistem dari struktur MOgPU.

Penulis menyadari dalam melakukan penelitian mungkin tidak sempurna dan terdapat kekeliruan-kekeliruan yang tidak disengaja. Maka dari itu penulis mengharapkan saran yang membangun dan penelitian ini dapat dijadikan sebagai penunjang untuk penelitian selanjutnya yang lebih baik lagi. Dengan diakhiri kata Alhamdullilah, penulis berharap penelitian ini dapat berguna bagi pembaca atau peneliti lainnya.

Surabaya, Januari 2004

Budi Kristyanto

UCAPAN TERIMA KASIH

Menyadari segala keterbatasan dalam mengerjakan tugas akhir ini, maka dengan segala kerendahan hati saya mengucapkan terima kasih yang sebesar-besarnya kepada:

1. Ir. Daniel M. Rosyid, Ph.D dan Ir. Murdjito, MSc.Eng sebagai dosen pembimbing yang mengarahkan, membimbing dan memberikan fasilitas software dan buku-buku sehingga tugas akhir ini dapat terselesaikan dengan baik.
2. Papa, Mama, kakak, adik, dan seluruh keluarga yang memberikan restu, semangat dan kasih sayang yang diberikan selama ini.
3. Bapak Ir. Imam Rochani, MSc, selaku ketua Jurusan Teknik Kelautan FTK-ITS
4. Bapak Dr. Ir. Handayanu, MSc, selaku sekretaris Jurusan Teknik Kelautan FTK-ITS yang juga banyak memberikan bimbingan serta saran dalam pengerjaan tugas akhir ini.
5. Ir. Rudi Waluyo P.,MT, selaku Kepala Laboratorium Komputasi atas fasilitas serta bimbingannya.
6. Seluruh Dosen pengajar dan karyawan di ITS, khususnya jurusan Teknik Kelautan atas segala bantuan dan kerjasamanya.
7. Mr. Michael Swanger, atas bantuan dan petunjuknya dalam penguasaan GT Strudl sehingga dapat menyelesaikan masalah dalam pengerjaan tugas akhir ini.

8. Vian, Cecep, Denock “Ndeblong” + Wari “A”, Endro, Hambali “Gibas”, Ari, Imam atas persahabatan dan pengalaman yang tak terlupakanya.
9. Teman serta sahabat Lab. OPRES (Alexis, Breh, Ferry, Suyut, Aan “Oneng”, Eko, Joko “kasus”, Fajar, Teddy “Eko”, Mamad) yang selalu memberikan semangat, dorongan, kerjasama, dan solidaritas.
10. Temen-temen’99 yang selalu solid, asyik, semoga kita bisa sama-sama sukses dan cepet-cepet bisa berkontribusi.
11. Udin-brudin atas keceriaan dan kegilaannya selama ini.
12. Dik Silvi atas perhatian dan pengalaman-pengalaman yang tak terlupakan selama ini, “cepet lulus dan berkontribusi yach !!”.
13. Sohib-sohib Ex-SMUN 3 Bekasi, yang tetep asyik dan semangat, mogamoga kita sama-sama sukses.
14. Mas Rumanto, Hendri, pak Mahmud, atas kerjasamanya selama ini.
15. Mbak Silvia atas kata-kata mutiaranya, sorry ya aku ngga bilang-bilang kalo mau ngadop kata-katanya
16. Semua pihak yang membantu penulis baik selama masa kuliah maupun selama menyelesaikan tugas akhir ini.

Surabaya, Februari 2004

Penulis

DAFTAR ISI

Abstrak	i
Kata Pengantar	ii
Ucapan Terima Kasih	iii
Daftar isi	v
Daftar Gambar	ix
Daftar Tabel	xii

BAB I PENDAHULUAN

1.1 Latar Belakang Masalah	I-2
1.2 Perumusan Masalah	I-2
1.3 Tujuan	I-2
1.4 Manfaat	I-2
1.5 Batasan Masalah	I-3
1.6 Sistematika Penulisan	I-3

BAB II TINJAUAN PUSTAKA DAN DASAR TEORI

2.1 Tinjauan Pustaka	II-1
2.2 Landasan Teori	II-3
2.2.1 Jack Up Platform Secara Umum	II-3
2.2.1.1 Prosedur Perancangan Struktur Jack Up	II-8
2.2.1.2 Konstruksi Kaki Jack Up	II-9
2.2.1.3 Kriteria Perancangan Bentuk Kaki Jack Up	II-11
2.2.2 Teori Gelombang	II-13

2.2.2.1 Teori Gelombang Stokes Orde 5	II-14
2.2.2.2 Gaya Gelombang Pada Silinder Tegak	II-18
2.2.2.3 Gaya Gelombang Pada Silinder Miring	II-20
2.2.3 Teori Pembebatan	II-22
2.2.3.1 Beban Mati (<i>Dead Load</i>)	II-22
2.2.3.2 Beban Hidup (<i>Live Load</i>)	II-23
2.2.3.3 Beban Lingkungan (<i>Environmental Load</i>)	II-23
2.2.3.4 Beban Akibat Kecelakaan <i>(Accidental Load)</i>	II-24
2.2.4 Teori Pemodelan Struktur	II-24
2.2.4.1 Pemodelan Secara Umum	II-24
2.2.4.2 Pemodelan Struktur Jack Up	II-26
2.2.4.3 Konsep Metode Elemen Hingga	II-28
2.2.5 Metode Analisa Struktur Jack Up	II-32
2.2.5.1 Prosedur Lendutan Pada Struktur	II-33
2.2.5.2 Pendiskritan dari Sistem yang Dianalisis	II-33
2.2.5.3 Menentukan Tegangan dan Regangan Elemen	II-34
2.2.6 Analisa DFEM	II-35
2.2.6.1 Tegangan Normal	II-35
2.2.6.2 Tegangan Geser	II-36
2.2.6.3 Kriteria Tegangan Ijin	II-38
2.2.7 Analisa SFEM	II-41
2.2.8 Analisa Nonlinear	II-41

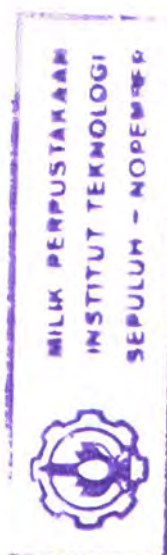
2.2.9 Keandalan Pada Sistem Rekayasa	II-43
2.2.9.1 Safety Margin (Margin Keamanan)	II-45
2.2.9.2 Indeks Keandalan	II-46
2.2.9.3 Simulasi Monte Carlo	II-47
2.2.10 Keandalan Sistem	II-53
2.2.10.1 Sistem Seri	II-53
2.2.10.2 Sistem Paralel Aktif	II-54
2.2.11 Mekanisme Keruntuhan	II-55

BAB III METODOLOGI

3.1 Pengumpulan Data Struktur dan Lingkungan	III-1
3.2 Pengumpulan Data Variasi Tegangan dan Ultimate Strength	III-3
3.3 Analisa Statis	III-3
3.4 Analisa Keruntuhan (<i>Pushover Analysis</i>)	III-4
3.5 Analisa Keandalan	III-5
3.6 Bagan Alir Metodologi Penelitian	III-7

BAB IV ANALISA HASIL DAN PEMBAHASAN

4.1 Data Untuk Analisa	IV-1
4.1.1 Data Struktur	IV-1
4.1.2 Data Lingkungan	IV-2
4.2 Pemodelan Struktur	IV-4
4.2.1 Pemodelan Struktur Kaki	IV-7
4.2.2 Pemodelan Struktur Geladak	IV-7
4.2.3 Pemodelan Struktur Pondasi	IV-8



4.3	Pemodelan Beban	IV-8
4.3.1	Pemodelan Beban Vertikal	IV-8
4.3.2	Beban Lingkungan	IV-10
4.3.2.1	Penentuan Teori Gelombang	IV-10
4.3.2.2	Perhitungan Beban Gelombang	IV-11
4.3.2.3	Perhitungan Beban Angin	IV-12
4.3.2.4	Beban Kombinasi	IV-12
4.4	Analisa Statis	IV-12
4.5	Pushover Analysis	IV-16
4.6	Analisa Keandalan	IV-24
4.6.1	Keandalan Member/Komponen	IV-24
4.6.2	Keandalan Sistem Struktur MOgPU	IV-32

BAB V KESIMPULAN DAN SARAN

5.1	Kesimpulan	V-1
5.2	Saran	V-3

Daftar Pustaka

Lampiran

- Lampiran A Pemodelan Struktur dan Letak Member-Member Runtuh
- Lampiran B Input Data Untuk Pemodelan Beban Lingkungan
- Lampiran C Input Data Untuk Analisa Keruntuhan (*Pushover Analysis*)
- Lampiran D Input Data Untuk Analisa Nonlinear
- Lampiran E Output Tegangan
- Lampiran F Output *Displacement*

DAFTAR GAMBAR

Gambar 2.1.	Tipe dari model post-ultimate behaviour	II-1
Gambar 2.3.	Konstruksi Chord Tipe MSC/FRIDE Goldman-Chord	II-12
Gambar 2.3.	Konstruksi Chord Tipe Gusto Chord	II-12
Gambar 2.4.	Grafik Region of Validity (API RP 2A WSD, 1993)	II-14
Gambar 2.5.	Gaya gelombang pada Silinder Tegak (Dawson,T.H., 1976)	II-19
Gambar 2.6.	Orientasi Arah Gaya Gelombang pada Silinder Miring (Dawson, T.H., 1976)	II-20
Gambar 2.7.	Model Penyusunan Matrik Kekakuan	II-29
Gambar 2.8.	Cara Pengumpulan Massa pada Struktur	II-30
Gambar 2.9.	Pembebanan aksial pada batang tubular (Popov, 1993)	II-35
Gambar 2.10.	Pembebanan momen kopel pada batang tubular (Popov, 1993)	II-36
Gambar 2.11.	Gaya puntiran pada batang silinder	II-37
Gambar 2.12.	Prosedur iterasi dalam analisa nonlinier	II-42
Gambar 2.13.	Fungsi kerapatan peluang (fkp) dari kapasitas X dan tuntutanY	II-43
Gambar 2.14.	Fungsi distribusi komulatif dan fungsi kerapatan peluang pada angka keamanan $Z = X/Y$	II-44
Gambar 2.15.	Fkp untuk batas margin S	II-46
Gambar 2.16.	Algoritma tipikal untuk Simulasi Monte Carlo	II-51

Gambar 2.17. Hubungan bilang acak yang mengikuti distribusi uniform dengan perubah acak X yang memiliki fungsi distribusi komulatif $F_x(x)$.	II-52
Gambar 2.18. Representasi grafis sebuah system seri dengan n-komponen	II-53
Gambar 2.19. RDB untuk sistem parallel aktif dengan n-komponen	II-55
Gambar 2.20. Moda kegagalan elemen	II-57
Gambar 3.1. Fungsi kerapatan peluang untuk tuntutan dan kapasitas	III-5
Gambar 3.2. Bagan alir metodologi penelitian	III-8
Gambar 4.1. Lokasi Struktur Hang Tuah (MOgPU) (ACE MogPU for West Natuna, Doc. 84502-5000-6D-01-0)	IV-4
Gambar 4.2. Model Detail Struktur Hang Tuah (MOgPU)	IV-5
Gambar 4.3. Model Chord (3 Chord) Struktur Hang Tuah (MOgPU)	IV-6
Gambar 4.4. Model Brace (K-Brace) Struktur Hang Tuah (MOgPU)	IV-6
Gambar 4.5. Orientasi Arah Gelombang dalam Pemodelan	IV-11
Gambar 4.6. Beban dek sebagai pengganti berat struktur deck pada CoG dek dan peralatan di Master Joint sebesar 5204 Ton	IV-12
Gambar 4.7. Beban gelombang dan angin pada salah satu kaki	IV-13
Gambar 4.8. Beban anode	IV-13
Gambar 4.9. Ilustrasi hasil Stress Check dan analisa statis	IV-15
Gambar 4.10. Ilustrasi deformasi struktur MogPU	IV-16

Gambar 4.11. Grafik tegangan – regangan untuk member	
(a) TD6984, (b) TD7002, (c) TD7224, (d) TD7655,	
(e) TD7212, (f) TD6996, (g) TD7206, (h) TD7218,	
(i) TD7439, dan (j) TD6990	IV-21
Gambar 4.12. Posisi member yang runtuh	IV-22
Gambar 4.13. PDF untuk tegangan yang memiliki distribusi normal	IV-25
Gambar 4.14. RNG yang dimasukkan ke dalam CDF pada nilai probability untuk mendapatkan nilai tegangan	IV-26
Gambar 4.15. Grafik interferensi pdf antara tegangan dengan ultimate strength untuk member (a) TD6984, (b) TD7002,	
(c) TD7439, (d) TD6990, (e) TD7224, (f) TD7655,	
(g) TD7212, (h) TD7206, (i) TD6996, (j) TD7218	IV-32
Gambar 4.16. Skema keandalan sistem struktur MogPU	IV-33
Gambar 5.1. Skema keandalan sistem struktur MogPU	V-2

DAFTAR TABEL

Tabel 2.1.	Perbedaan metode analisis deterministik dan stochastik (Murdjito,1997)	II-32
Tabel 4.1.	Ukuran Chord (gambar 4.3) Struktur Hang Tuah (MOgPU)	IV-1
Tabel 4.2.	Data Gelombang	IV-3
Tabel 4.3.	Data Koefisien Hidrodinamis	IV-3
Tabel 4.4.	Data Beban Vertikal	IV-9
Tabel 4.5.	Beban Vertikal	IV-10
Tabel 4.6.	Beban Vertikal untuk Analisis pada Kondisi Operasional	IV-10
Tabel 4.7.	Beban Vertikal untuk Analisis pada Kondisi Extreme (badai)	IV-10
Tabel 4.8.	Member-member kristis yang didapat dari berbagai arah pembebanan gelombang.	IV-14
Tabel 4.9.	10 Member dengan unity check terbesar akibat beban lingkungan	IV-15
Tabel 4.10.	Urutan mekanisme keruntuhan	IV-22
Tabel 4.11.	Data variasi Ultimate Strength	IV-24
Tabel 4.12.	Hasil analisa keandalan pada member kritis	IV-27
Tabel 5.1.	Urutan keruntuhan member pada struktur MogPU	V-1
Tabel 5.2.	Keandalan 10 member kristis	V-2

BAB I

PENDAHULUAN



BAB I

PENDAHULUAN

1.1. LATAR BELAKANG MASALAH

MogPU (*Moveable Gas Production Unit*) platform adalah salah satu jenis bangunan lepas pantai yang berupa Jack-Up platform yang terdiri dari empat kaki, dimana dalam satu kaki terdiri dari 3 *chord* dan menggunakan *K-bracing*, namun dalam platform ini tidak dilengkapi dengan sistem jacking.

Permasalahan teknis yang terjadi dalam pengoperasian *jack-up platform* sering timbul pada fase operasi. Hal ini erat hubungannya dengan kekuatan struktur dalam mengantisipasi beban lingkungan terutama beban gelombang, kekuatan dankekakuan kaki jack-up, besarnya penyimpangan horizontal yang melebihi kriteria keselamatan operasi.

Struktur lepas pantai tidak bisa lepas dari beban acak, karena kondisi lingkungan yang tidak bisa di prediksi secara pasti. Maka analisa struktur tidak bisa hanya diberikan beban/gaya tunggal (*deterministic*) untuk mengetahui keandalan struktur dalam menghadapi beban/gaya luar dan dalam (*dead load*), tetapi struktur harus menerima beban acak/*random/stochastic* untuk mengetahui keandalannya. Selain beban dari luar, *property* tiap member dari struktur juga menentukan keandalan dari struktur. Analisa tegangan struktur dari beban acak menggunakan SFEM.

Untuk menjawab permasalahan ini diperlukan data lingkungan yang sifatnya acak/*random/stochastic* seperti data gelombang atau angin. Dengan adanya data tersebut, dapat dicari beban acak (*stochastic load*) yang akan terkena struktur kaki Jack-Up. Melalui analisa SFEM (*Stochastic Finite Element Method*), struktur Jack-Up yang terkena stochastic load akan menimbulkan tegangan acak (*stochastic stress*).

Setiap member dari Jack-Up memiliki beberapa jenis moda kegagalan (*failure mode*). *Stochastic stress* hasil dari analisa SFEM dan data acak material (*stochastic material data*) dari member dijadikan input dalam moda kegagalan tiap member, yang di simulasikan melalui Monte Carlo Simulation



(MCS) untuk mendapatkan keandalan tiap member. Untuk mendapatkan keandalan global struktur Jack-Up, dapat dicari melalui analisa keruntuhan (*collapse analysis*) dimana beban akan dinaikkan secara perlahan-lahan sampai terjadi kegagalan pada salah satu member. Jadi beban dinaikkan sampai tegangan *yield* salah satu member dari keseluruhan struktur tercapai. Satu atau susunan member yang menyebabkan keruntuhan dicatat keandalannya sebelum mengalami gagal. Keandalan susunan member tersebut merupakan keandalan global/sistem dari keseluruhan struktur.

Untuk analisa tegangan, di dalam tugas akhir ini akan di gunakan software GTSTRUDL dan GTSELOS. Software ini tidak mempunyai fasilitas analisa FEM untuk stochastic load, karena dasar analisa pada software ini adalah DFEM (*Deterministic Finite Element Method*), dimana input nilai beban harus tunggal (*Deterministic*). Untuk solusinya, kita harus melakukan pendekatan deterministik dengan cara mendefinisikan terlebih dahulu jenis distribusi dari *stochastic load* dan *stochastic material data*, misalnya: distribusinya normal, maka sebagai input adalah rataan (*mean*) μ , dan standart deviasi σ .

1.2. PERUMUSAN MASALAH

1. Berapa keandalan 10 member dari struktur kaki Jack-Up yang memiliki tegangan paling besar.
2. Berapa keandalan global/sistem struktur Jack-Up dengan menggunakan metode keruntuhan.

1.3. TUJUAN

1. Mengetahui keandalan 10 member dari struktur kaki Jack-Up yang memiliki tegangan paling besar.
2. Mengetahui keandalan global/sistem struktur Jack-Up.

1.4. MANFAAT

Dari hasil perhitungan nilai keandalan tiap member diharapkan akan mempermudah sistem inspeksi pada struktur Jack-Up karena member-member yang memiliki nilai keandalan kecil saja yang akan dijadikan sebagai sasaran inspeksi utama. Jadi tidak perlu inspeksi struktur secara keseluruhan.



Hasil perhitungan nilai keandalan global struktur Jack-Up akan mencerminkan kelayakan kekuatan struktur Jack-Up tersebut..

1.5. BATASAN MASALAH

Adapun batasan yang dipakai untuk mempermudah analisa keandalan ini, adalah sebagai berikut:

- Struktur dek pada jack-up di modelkan sebagai rigid body dengan beban terpusat pada CoG (Centre of Gravity) dari dek dan peralatan.
- Beban yang mengalami penambahan nilai (*incremental load*) adalah beban lingkungan.
- Pada analisa FEM untuk menentukan tegangan tiap member, semua data beban masih dianggap *deterministic*.
- Data variasi respon struktur berupa tegangan diambil dari percobaan yang telah dilakukan sebelumnya untuk bangunan baja lepas pantai.
- Data variasi tegangan yang terjadi sama dengan data variasi *ultimate strength*.
- Moda kegagalan yang digunakan hanya 1 macam yaitu akibat *combined stress*.
- Nilai *ultimate strength* yang digunakan dalam material struktur ini adalah sesuai dengan material baja A 36, yaitu 58 – 80 ksi atau 400 – 550 MPa.
- Sebuah member dianggap runtuh apabila mengalami penurunan tegangan pada daerah *ultimate strength*.





1.6. SISTEMATIKA PENULISAN

Sistematika penulisan yang digunakan dalam penyusunan laporan tugas akhir ini adalah sebagai berikut :

BAB I PENDAHULUAN

Pada bab ini akan diterangkan mengenai latar belakang studi yang dilakukan, permasalahan, tujuan yang hendak dicapai yaitu menyelesaikan permasalahan yang ada, manfaat, batasan-batasan permasalahan, metodologi penelitian serta sistematika penulisan laporan tugas akhir.

BAB II TINJAUAN PUSTAKA DAN LANDASAN TEORI

Dalam penyelesaian masalah dalam laporan tugas akhir ini penulis berpedoman pada beberapa penelitian tentang struktur bangunan lepas pantai yang pernah dilakukan dan beberapa dasar teori. Dasar teori yang digunakan antara lain dasar-dasar perancangan *jack-up*, teori gelombang, metode elemen hingga, ketentuan dan peraturan mengenai kekuatan struktur yang direkomendasikan oleh API RP 2A-LRFD, dasar analisa keruntuhan, dan teori keandalan struktur .

BAB III METODOLOGI PENELITIAN

Bab ini menerangkan langkah-langkah yang dilakukan, diawali dengan pengumpulan data lingkungan, penentuan pembebanan baik beban lingkungan maupun *payload* dan langkah-langkah dalam melakukan analisa struktur, moda keruntuhan serta mencari keandalan sistem pada struktur *jack-up*.

BAB IV ANALISA DAN PEMBAHASAN

Bab ini akan membahas respon struktur yang didapat dengan bantuan software GTSTRUDL. Pemeriksaan respon struktur disesuaikan dengan kriteria



kekuatan yang direkomendasikan API-LRFD. Kemudian dilakukan analisa keruntuhan dan keandalan struktur.

BAB V KESIMPULAN DAN SARAN

Bab ini berisi kesimpulan dan saran penyelesaian permasalahan mengenai penelitian lebih lanjut pada struktur *jack-up*.

BAB II

TINJAUAN PUSTAKA DAN

DASAR TEORI

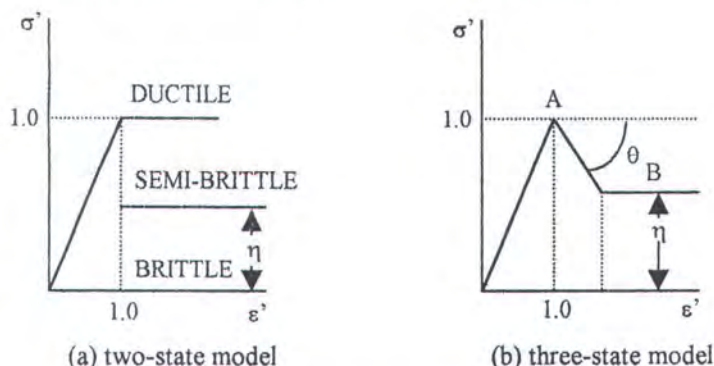


BAB II

TINJAUAN PUSTAKA DAN DASAR TEORI

2.1. Tinjauan Pustaka

Pada sistem analisa keandalan telah diketahui bahwa *post-ultimate behaviour* dari member setelah mengalami kegagalan banyak mempengaruhi kekuatan sisa dari sistem struktur dan berakibat pada tingkat keandalan sistem (Moses & Rashedi 1983, Melchers & Tang 1985, Lee 1989). *Post-ultimate behaviour* diperlihatkan oleh *post-ultimate slope*, θ dan parameter kekuatan sisa, η seperti yang diperlihatkan pada gambar 2.1. yang pada umumnya diperlakukan sebagai variabel *deterministic* pada pembahasan selanjutnya.



Gambar 2.1. Tipe dari model post-ultimate behaviour

Pada analisa sistem keandalan, *post-ultimate behaviour* dianggap *deterministic*. Prinsip struktur member ditemukan pada struktur lepas pantai khususnya pada member berpenampang silinder. Jika salah satu pengujian dari percobaan sebelumnya ada struktur member ini, akan ditemukan *post-ultimate behaviour* setelah sebuah member mengalami kegagalan. Oleh karena itu, sudah semestinya memasukkan ketidakpastian *post-ultimate behaviour* pada analisa



keandalan sistem dari seluruh sistem struktur. Salah satu untuk mendapatkan nilai keandalan sistem adalah melalui metode keruntuhan. Nilai keandalan member yang gagal dan menyebabkan runtuhnya keseluruhan struktur jika beban dinaikkan sedikit demi sedikit, akan mewakili nilai keandalan global/sistem dari struktur.

Sekarang umumnya yang digunakan adalah prosedur analisa keandalan yaitu mengambil hasil analisa struktur, dan efek dari beban, seperti tegangan dan defleksi, secara langsung menjadi input dalam prosedur analisa keandalan. Efek dari variasi material dan variabel-variabel geometri pada variasi efek beban diabaikan saat analisa struktur. Variasi beban yang sudah diketahui jenis distribusinya, akan diambil nilai dari parameter-parameter jenis distribusi tersebut yang kemudian dijadikan sebagai input pada analisa struktur.

Metode ini disebut sebagai “metode keandalan biasa”. SFEM digunakan untuk menghitung variasi efek beban pada analisa struktur, dan kemudian diaplikasikan untuk menaksir nilai keandalan struktur (Der Kiureghian & Ke 1985, Handa & Karrholm 1875, Hisada & Nakagiri 1981, Shinozuka 1987). Salah satu SFEM yang baru muncul adalah perhitungan melalui komputer atau *software* yang lebih sulit dibandingkan dengan metode keandalan biasa karena analisa struktur harus melukan proses berulang-ulang untuk mendapatkan gradien dari persamaan batas. Disamping itu SFEM merupakan sebuah metode yang cukup memadai untuk menghitung ketidakpastian-ketidakpastian dalam *post-ultimate behaviour* dari struktur member.



2.2. Landasan Teori

2.2.1. Jack-up Platform secara Umum

Jack-up platform merupakan struktur yang terbentuk dari gabungan metode antara *fixed structure (jacket steel structure)* dan *floating structure (semi submersible)*. Ini diharapkan struktur jack-up dapat memiliki kelebihan-kelebihan yang dimiliki oleh kedua tipe struktur tersebut, yaitu pada fase operasi maupun pada fase transportasi.

Jack-up platform memiliki tiga tahap pengoperasian yaitu fase transportasi, fase operasi dan fase instalasi. Setiap fase mempunyai pengaruh masing-masing terhadap perancangan *jack-up platform*. Oleh karena itu ketiga fase tersebut harus menjadi satu pertimbangan dalam perancangan. Ketiga fase tersebut akan dijelaskan di bawah ini.

1. Fase Transportasi

Fase transportasi adalah pemindahan *jack-up platform* dari satu lokasi ke lokasi yang lain. Hal ini dapat terjadi pada satu lokasi pengeboran ke lokasi pengeboran lain atau dari galangan atau pelabuhan ke lokasi kerja. Pada umumnya struktur *jack-up platform* tidak dilengkapi dengan fasilitas penggerak sendiri (*propulsion system*). Pada waktu transportasi salah satu ujung kaki-kaki *jack-up platform* terikat pada geladak sedang ujung yang lain bebas menjulang di atas geladak. Untuk transportasi *jack-up platform* ada dua cara yang sering digunakan yakni:



a. Sistem Transportasi Basah

Pada *wet tow transport*, *jack-up platform* dalam keadaan terapung dam ditarik dengan tug boat ke lokasi operasi. Sistem transportasi basah biasanya hanya untuk *ocean going* dengan jarak relatif dekat. Sebagai kriteria perancangan untuk system transportasi basah adalah stabilitas dalam keadaan terapung. Sebagai parameter stabilitas struktur di sini adalah stabilitas dinamis struktur. Untuk *jack-up platform* besarnya stabilitas dinamis struktur pada umumnya lebih besar dari 1.4.

Beban yang diderita oleh *jack-up platform* pada waktu *wet tow transport* berupa :

- Beban vertikal pada geladak sebagai akibat dari berat kaki, konstruksi geladak dan fasilitas yang ada di atas geladak struktur *jack-up*.
- Beban momen pada kaki, terutama pada bagian kaki yang terikat dengan geladak *jack-up*. Hal ini diakibatkan oleh beban angin, gerakan platform dan kecepatan transportasi.

Beban vertikal, horisontal dan momen yang terjadi pada kaki-kaki *jack-up* selanjutnya didistribusikan ke geladak *jack-up* melalui konstruksi pengikat antara ujung kaki dengan geladak.

b. Sistem Transportasi Kering

Sistem transportasi kering adalah transportasi *jack-up platform* di atas geladak kapal atau tongkang pengangkut. Metoda *dry transport* pada umumnya *flat on/float off (Flo on/Flo off)*. Dengan *dry transport* *jack-up* dapat dengan cepat dipindahkan dan pada umumnya untuk transport jarak



jauh. Selain itu *dry transport* dapat lebih menjamin keselamatan dan keandalan transport struktur. Berat dan besarnya struktur *jack-up platform* serta ketersedian fasilitas transportasi akan menentukan kelayakan pelaksanaan transportasi. Sebagai kriteria transport adalah stabilitas kapal/tongkang pengangkut.

2. Fase Installation.

Fase instalasi dilakukan setelah anjungan *jack-up* sampai di lokasi operasi. Fase instalasi meliputi kegiatan penurunan kaki *jack-up* hingga menyentuh dasar laut, pembebanan awal (*pre-loading*) dan mengangkat geladak hingga ketinggian tertentu dari permukaan air tenang agar tidak terjangkau gelombang air laut. Dan yang terakhir adalah pengikatan kaki dengan geladak. Pada fase ini sering terjadi adanya pengaruh eksentrisitas yang diakibatkan adanya external forces yaitu beban gelombang maupun beban arus, karena semakin dalam *jack-up* itu diturunkan maka kekakuan kaki semakin kecil dan plastisitasnya semakin besar.

Penggunaan *jacking system* kemungkinan beban yang terjadi adalah :

- Deformasi geladak sebagai akibat dari berat kaki-kaki *jack-up*. Akan tetapi deformasi ini juga dapat menimbulkan beban momen pada kaki-kaki *jack-up* tersebut.
- Sebagai akibat tumbukan antara kaki *jack-up* dengan dasar laut dapat menimbulkan beban axial dan momen pada kaki *jack-up*. Pada kondisi ini berat platform dan fasilitasnya sangat berperan penting.
- Sebagai akibat dari rotasi kaki *jack-up* dengan geladak dapat mengakibatkan timbulnya momen dan beban geser.



3. Fase Operasi

Fase operasi ialah fase dimana *jack-up* melakukan fungsinya. Kriteria terpenting pada fase operasi ialah besarnya momen pengembali yang dimiliki *jack-up*. *Jack-up* dituntut mempunyai momen pengembali yang lebih besar dari momen guling akibat pengaruh kondisi lingkungan. Besarnya perbandingan antara momen pengembali yang dimiliki oleh *jack-up* dengan momen guling maksimal yang diakibatkan oleh lingkungan tidak boleh kurang dari 1,3.

$$\frac{\text{momen_pengembali}}{\text{momen_guling_maksimal}} \geq 1.3 \quad (2.1)$$

Besarnya momen guling yang timbul selain ditentukan oleh beban lingkungan juga ditentukan oleh konstruksi *jack-up* terutama diameter kaki, koefisien drag (C_d) dan koefisien inersia (C_m) serta besarnya beban angin.

Besarnya momen pengembali yang dimiliki oleh *jack-up* akan sangat tergantung pada besarnya beban fungsional dan posisi titik berat beban tersebut terhadap sumbu putarnya. Disamping itu jarak antar kaki disini akan menentukan besarnya lengan momen pengembali *jack-up*. Besarnya beban fungsional yang harus dimiliki oleh *jack-up* akan menentukan ukuran *platform*. Hal ini berhubungan dengan kebutuhan luas geladak dan kapasitas muat yang tersedia. Disisi lain ukuran *platform* juga ditentukan oleh posisi dimana kaki *jack-up* dirancang.

Untuk dapat menilai kestabilan konfigurasi , disini dipakai sebagai acuan adalah faktor keselamatan yang merupakan perbandingan antara



momen pengembali struktur dengan momen guling beban lingkungan.

Dimana momen pengembali struktur dapat dihitung dengan rumus :

$$M_s = (M_{so} - n * e_0 * P_i) * \left[1 - \frac{P_i}{P_e} \right] \quad (2.2)$$

dimana :

$$M_{so} = G * b \quad (2.3)$$

$$e_0 = 0,003 * L \quad (2.4)$$

Disini:

M_s = momen pengembali struktur (Nm)

G = berat fungsional (N)

b = jarak antara titik berat ke sumbu putar (m)

n = jumlah kaki

P_i = beban aksial terkecil pada kaki (N)

P_e = beban kritis euler untuk silinder (N)

$$P_e = \frac{\pi^2 EI}{4L^2} \quad (2.5)$$

e_0 = eksentrisitas tumpuan (m)

Dapat dilihat bahwa eksentrisitas pada kaki jack-up berpengaruh pada momen pengembali struktur, dan itu jelas berpengaruh pada kekuatan struktur jack-up itu sendiri.

Beban fungsional juga akan mengakibatkan beban aksial dan momen bending orde dua (*P-d effect*) pada kaki *jack-up* sebagai akibat pergeseran



titik berat. Besarnya beban ini akan menambah besarnya tegangan yang ada pada kaki *jack-up*. Hal ini tentunya akan mempengaruhi kekakuan (*stiffness*) kaki *jack-up*, yang berarti juga akan mempengaruhi ukuran utama kaki *jack-up*. Beban yang terjadi pada kaki *jack-up* akan ditransformasikan ke geladak melalui sistem sambungan antara geladak dengan kaki (*jacking* dan *fixation system*). Disisi lain beban yang terjadi pada kaki *jack-up* akan menentukan sistem pondasi yang sesuai.

2.2.1.1. Prosedur Perancangan Struktur Jack-up

Secara garis besar prosedur perancangan struktur *jack up platform* adalah sebagai berikut (Murdjito, 1997):

1. Analisa kondisi lingkungan.

Kondisi lingkungan tempat beroperasinya *jack up platform* meliputi gelombang laut, arus laut, angin, kondisi tanah pondasi dan lain-lain. Lingkungan tersebut berpengaruh sangat besar pada beban lingkungan yang bekerja pada struktur *jack-up*. Untuk lokasi operasi di perairan dalam, beban hidrodinamis mengambil peranan penting pada total beban yang bekerja pada struktur.

2. Menentukan beban fungsional.

Besarnya beban fungsional sangat ditentukan oleh berat struktur beserta fasilitasnya dan daya muat (*payload*).

3. Informasi geologi.

Informasi geologi berisi informasi tentang sifat-sifat dan struktur mekanis tanah dasar laut dimana *jack-up* akan dioperasikan. Informasi ini sangat



penting untuk menentukan pemodelan pondasi. Oleh karena masih sulitnya untuk mendapatkan data geologi yang lengkap pada daerah operasi lebih dari satu lokasi, maka informasi geologi ini sering hanya didasarkan pada data statistik dan asumsi.

4. Perhitungan beban eksternal

Beban eksternal yang paling dominan untuk *jack-up* di daerah operasi laut dalam adalah beban hidrodinamis. Besarnya beban hidrodinamis akan sangat tergantung pada penentuan teori gelombang, penentuan beban gelombang serta transformasi parameter hidrodinamika ke beban hidrodinamis pada struktur.

5. Analisa model struktur.

Hal ini meliputi analisa respons struktur terhadap beban yang bekerja dan analisa terhadap stabilitas *jack-up* dari pengaruh beban lingkungan pada fase operasional.

6. Evaluasi

Hasil dari analisa diatas akan dievaluasi dan disesuaikan dengan menggunakan kriteria perancangan yang ada untuk menentukan kelayakan hasil perancangan. Kriteria perancangan struktur *jack-up* ini pada umumnya telah didefinisikan oleh Biro Klasifikasi seperti DnV, API, ABS, LR dan lain sebagainya dalam bentuk rules .

2.2.1.2. Konstruksi Kaki Jack-up

Jumlah kaki *jack-up platform* bervariasi dari 3 buah hingga 8 buah. Perancangan *jack-up* modern cenderung mengurangi jumlah kaki menjadi 3 atau 4



bahan. Pengurangan jumlah kaki *jack-up* berarti pengurangan berat total struktur dan menurunkan beban hidrodinamis (Murdjito, 1997).

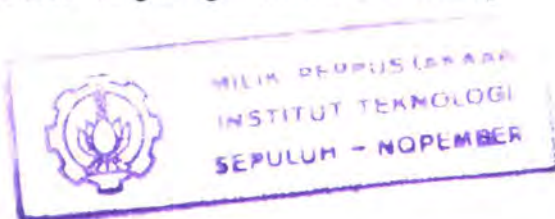
Selain jumlah kaki, bentuk kaki juga sangat diperhatikan dalam perancangan struktur *jack-up platform*. Ada dua jenis bentuk kaki *jack-up*, yaitu:

1. Konstruksi Kaki Tertutup (*Closed Type*)

Konstruksi kaki tertutup berbentuk silinder pipa atau berbentuk kubus dengan lubang-lubang pen sepanjang kedua sisinya untuk fasilitas *jacking*. Kebanyakan *jack-up* dengan konstruksi kaki tertutup digunakan untuk operasi di daerah perairan dangkal dengan kondisi laut yang tenang, sehingga sebagian besar beban lingkungan berupa beban hidrodinamis disamping beban angin. Jika daerah operasi semakin dalam, maka diameter kaki, berat konstruksi serta beban hidrodinamis akan menjadi semakin besar sehingga akan semakin besar pula biaya yang akan ditanggung.

2. Konstruksi Kaki Cangkang (*Truss Type*)

Semua konstruksi kaki *jack-up* modern sekarang berbentuk kaki cangkang. Ada dua tipe konstruksi kaki cangkang (*bay type*), yakni tipe 3 *chord* (3-*chord bay type*) dan tipe 4 *chord* (4-*chord bay type*). Untuk tipe 3 *chord*, penampang kaki akan berbentuk segitiga dengan *chord* diujung-ujungnya dihubungkan oleh penegar (*bracing*). Sedang untuk tipe 4 *chord*, penampang kaki akan berbentuk segi empat. Konstruksi kaki cangkang menjadikan beban hidrodinamis yang bekerja lebih rendah dibanding dengan konstruksi tertutup (Murdjito, 1997).





2.2.1.3. Kriteria Perancangan Bentuk Kaki Jack-up

Kriteria dalam perancangan konstruksi kaki *jack-up* dengan tipe cangkang meliputi:

1. Jarak Antar Kaki

Jarak antar kaki akan menentukan stabilitas struktur dalam menahan beban momen.

2. Jarak Antar *Chord*

Selain menentukan kekakuan kaki juga menentukan berat kaki. Jarak antar *chord* akan menentukan momen inersia, berarti juga akan menentukan kemampuan struktur dalam menahan beban momen dan gaya geser.

3. Tipe *Chord*

Bentuk dan ukuran *chord* sangat menentukan kekuatan kaki *jack-up* dengan konstruksi cangkang terhadap pengaruh beban. Bentuk dan ukuran kaki *jack-up* ditentukan oleh:

- a. Kekakuan dan kekuatan kaki secara global.
- b. Posisi dan konstruksi dari *rack* dan *pinion* pada *system jacking*.
- c. Hubungan antara kaki dengan permukaan sepatu tumpu (*spud can*).
- d. Tegangan antara kaki dengan sepatu tumpu.
- e. Tegangan ijin untuk sambungan antara *chord* dengan penegar (*bracing*).

Ada dua kelompok besar konstruksi *chord*, yaitu:

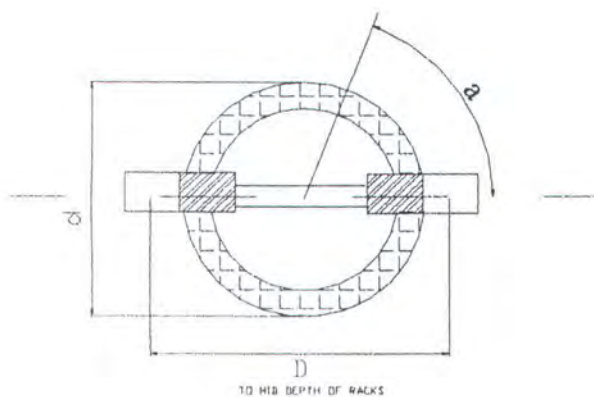
a) *MSC-Chord*

Termasuk dalam *MSC-chord* adalah *chord* tipe *Firde Goldman* dan *Modec*. *Chord* tipe ini berbentuk silinder yang berbentuk dari dua pasang



setengah lingkaran silinder baja dengan konstruksi dua sisi *rack* berada ditengah-tengah silinder. *Chord* tipe ini sering digunakan pada konstruksi kaki 3 *chord*.

MSC/FRIDE Goldman - Chord

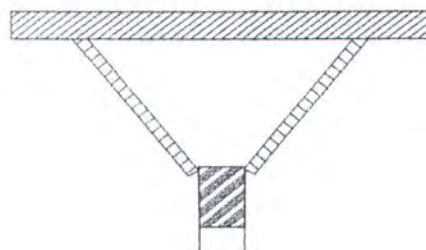


Gambar 2.2. Konstruksi Chord Tipe MSC/FRIDE Goldman-Chord

b) *Marathon-chord*

Termasuk dalam kelompok *Marathon chord* ialah *Gusto-chord* dan *MLMC-chord*. *Chord* jenis ini berbentuk segitiga dengan satu sisi *rack*. *Chord* tipe ini banyak terlihat untuk konstruksi kaki 4 *chord*.

Marathon Gusto - Chord



Gambar 2.3. Konstruksi Chord Tipe Gusto Chord



4. Bentuk Penampang Kaki *Jack-up*

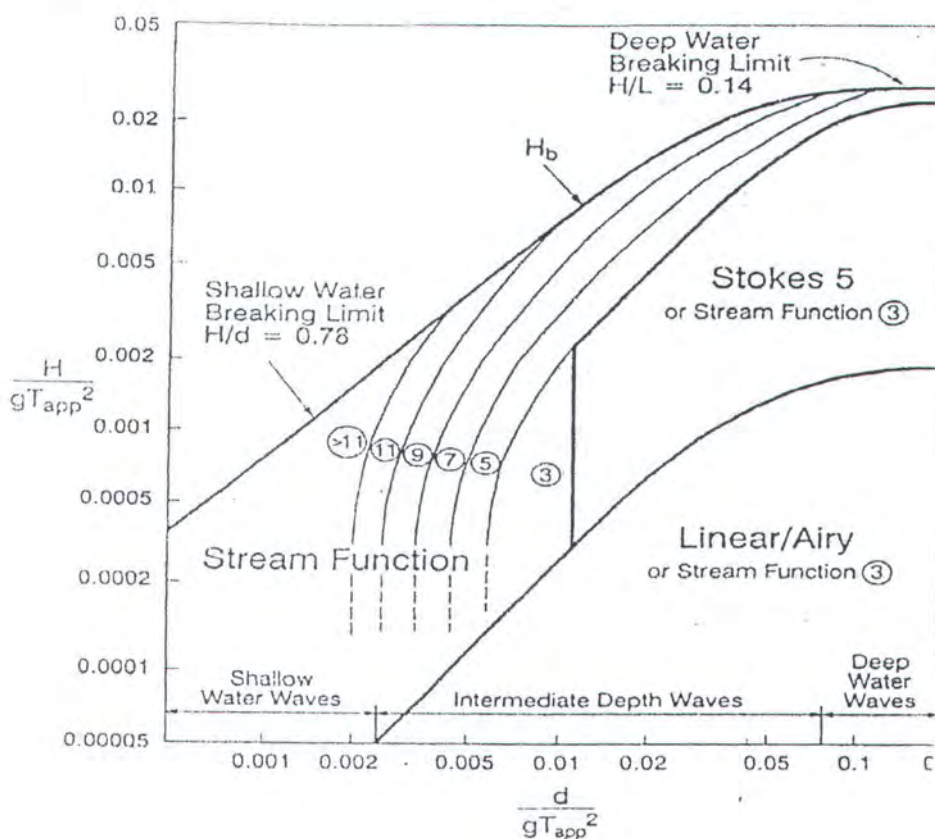
Untuk konstruksi kaki cangkang ada dua tipe yang dikenal, yaitu tipe 3 *chord* (*3-chords bay type*) dan tipe 4 *chord* (*4-chords bay type*). Untuk tipe 3 *chord*, penampang kaki akan berbentuk segitiga dengan *chord* ujung-ujungnya yang dihubungkan oleh penegar (*bracing*). Sedang untuk tipe 4 *chord*, penampang kaki akan berbentuk segi empat.

5. Tipe *Bracing*

Untuk kaki dengan konstruksi cangkang ada tiga jenis sistem *bracing* yang biasa digunakan, yaitu tipe *Z-bracing*, *K-bracing* dan *X-bracing*. Dari ketiga tipe *bracing* diatas tipe *K-bracing* dan *X-bracing* yang paling banyak digunakan untuk konstruksi cangkang kaki *jack-up* di perairan dalam (Murdjito, 1997).

2.2.2. Teori Gelombang

Dalam perhitungan beban gelombang, maka teori gelombang yang digunakan disesuaikan dengan grafik *validitas* teori gelombang. *Validitas* teori gelombang ini dikembangkan oleh R. G. Dean (1968) dan B. Le Mehaute (1970) (Chakrabarti, 1987) seperti terlihat pada gambar 2.3.



Gambar 2.4. Grafik Region of Validity (API RP 2A WSD, 1993)

Diagram ini membagi daerah yang berlaku bagi masing-masing teori gelombang berdasarkan perbandingan H/gT^2 sebagai ordinat dan d/gT^2 sebagai absis. Penentuan teori gelombang ini berdasarkan pada data lingkungan struktur tersebut diinstalasi, seperti tinggi gelombang H (ft, m), kedalaman d (ft, m) dan periode gelombang T (detik). Teori gelombang yang sering dipakai dalam analisa struktur *jack-up* ialah teori gelombang linier airy dan teori gelombang non-linier stokes orde 5.

2.2.2.1. Teori Gelombang Stokes Orde 5

Teori stokes orde 5 ini ditemukan oleh Skjelbreia (1959) dan Wiegel (1964) yang digunakan dalam analisis keakuratan pada kecuraman gelombang



H/λ. Teori ini kemudian dikembangkan oleh Skjelbreia dan Hendrickson (1961).

Persamaan kecepatan partikel air berawal dari persamaan berikut:

$$u = \frac{\partial \phi}{\partial x} \quad (2.6)$$

$$w = \frac{\partial \phi}{\partial z} = \frac{\partial \phi}{\partial s} \quad (2.7)$$

Dari persamaan di atas, didapat persamaan kecepatan partikel air seperti di bawah ini:

$$u = C \sum_{n=1}^5 nF_n \cos n\theta \cosh nks \quad (2.8)$$

$$w = C \sum_{n=1}^5 nF_n \sin n\theta \sinh nks \quad (2.9)$$

Dari persamaan kecepatan di atas didapat diferensial berupa percepatan partikel air laut sebagai berikut:

$$\frac{\partial u}{\partial t} = kc^2 \sum_{n=1}^5 n^2 F_n \sin n\theta \cosh nks \quad (2.10)$$

$$\frac{\partial w}{\partial t} = kc^2 \sum_{n=1}^5 n^2 F_n \cos n\theta \sinh nks \quad (2.11)$$

Persamaan profil gelombang (η) pada *Still Water Level* (SWL) adalah:

$$\eta = \frac{1}{k} \sum_{n=1}^5 nF_n \cos(kx - \omega t) \quad (2.12)$$

Untuk mendapatkan harga F_n diperlukan perhitungan sebagai berikut:

$$S = \sinh kd \qquad \qquad \qquad \theta = kx - \omega t$$

$$C = \cosh kd \qquad \qquad \qquad k = 2\pi/L$$

$$C = \frac{g^2}{2\pi} \tanh kd = \text{kecepatan gelombang (celerity)}$$



dimana:

$$A_{11} = \frac{1}{s}$$

$$A_{13} = \frac{-c^2(5c^2 + 1)}{8s^5}$$

$$ac = 18 - 249c^2$$

$$A_{15} = \frac{-(1.184c^{10} - 1.440c^8 - 1.992c^6 + 2.641c^4 + ac)}{1.536s^{11}}$$

$$A_{22} = \frac{3}{8s^4}$$

$$A_{24} = \frac{192c^8 - 424c^6 - 312c^4 + 480c^2 - 17}{768s^{10}}$$

$$A_{33} = \frac{13 - 4c^2}{64s^7}$$

$$ac = 512c^{12} = 4.224c^{10}$$

$$A_{35} = \frac{ac - 6.800c^8 - 12.808c^6 + 16.704c^4 - 3.154c^2 + 107}{4.096s^{13}(6c^2 - 1)}$$

$$A_{44} = \frac{80c^6 - 816c^4 + 1.338c^2 - 197}{1.536s^{10}(6c^2 - 1)}$$

$$ac5 = 163.470c^2 - 16.245$$

$$A_{55} = \frac{-(2.880c^{10} - 72.480c^8 + 324.000c^6 - 432.000c^4 + ac5)}{61.440s^{11}(6c^2 - 1)(8c^4 - 11c^2 + 3)}$$

$$B_{22} = \frac{(2c^2 + 1)c}{4s^3}$$

$$B_{24} = \frac{c(272c^8 - 504c^6 - 192c^4 + 322c^2 + 21)}{384s^9}$$

$$B_{33} = \frac{3(8c^6 + 1)}{64s^6}$$



$$bc = 88.128c^{14} - 208.224c^{12} + 70.84c^{10}$$

$$B_{35} = \frac{bc + 54.000c^8 - 21.816c^6 + 6.264c^4 - 54c^2 - 81}{12.288s^{12}(6c^2 - 1)}$$

$$B_{44} = \frac{c(768c^{10} - 448c^8 - 48c^6 + 48c^4 + 106c^2 - 21)}{384s^9(6c^2 - 1)}$$

$$bc5 = 192.000c^{16} - 262.720c^{14} + 83.680c^{12} + 20.160c^{10}$$

$$B_{55} = \frac{bc5 - 7.280c^8 + 7.160c^6 - 1.800c^4 - 1.050c^2 + 225}{12.288s^{10}(6c^2 - 1)(8c^4 - 11c^2 + 3)}$$

$$C_1 = \frac{8c^4 - 8c^2 + 9}{8s^4}$$

$$cc = 3.840c^{12} - 4.096c^{10}$$

$$C_2 = \frac{cc + 2.592c^8 - 1.008c^6 + 5.944c^4 - 1.830c^2 + 147}{512s^{10}(6c^2 - 1)} \quad (2.13)$$

$$C_3 = \frac{-1}{4sc}$$

$$C_4 = \frac{12c^8 + 36c^6 - 162c^4 + 141c^2 - 27}{192cs^9}$$

Dari perhitungan di atas didapat harga λ dengan menggunakan iterasi, yaitu:

$$\begin{aligned} KC^2 &= g \tanh kd (1 + \lambda^2 C_1 + \lambda^4 C_2) \\ KH &= 2 [\lambda + \lambda^3 B_{33} + \lambda^5 (B_{35} + B_{55})] \end{aligned} \quad (2.14)$$

Setelah nilai λ didapat, maka dapat dihitung nilai F_n , yaitu:

$$\begin{aligned} F_1 &= \lambda A_{11} + \lambda^3 A_{13} + \lambda^5 A_{15} \\ F_2 &= \lambda^2 A_{22} + \lambda^4 A_{24} \\ F_3 &= \lambda^3 A_{33} + \lambda^5 A_{35} \\ F_4 &= \lambda^4 A_{44} \\ F_5 &= \lambda^5 A_{55} \end{aligned} \quad (2.15)$$



Setelah nilai dari F_n didapat, maka perhitungan kecepatan dan percepatan air laut dapat dilakukan.

2.2.2.2. Gaya Gelombang pada Silinder Tegak

Sarpkaya (1981) telah memberikan garis besar dalam menganalisa gaya gelombang pada suatu struktur. Untuk menghitung gaya gelombang dibutuhkan model dari kondisi gelombang yang didapat dari pencatatan data gelombang, arus dan angin dari lokasi yang direncanakan.

Gaya gelombang yang bekerja pada silinder tegak merupakan penjumlahan langsung dari gaya inersia dan gaya drag. Sedangkan gaya inersia merupakan penjumlahan antara gaya *froude-krylov* dengan gaya yang disebabkan oleh massa tambah. Dalam perhitungan gaya gelombang bangunan lepas pantai maka persamaan Morrison sering dipakai (Chakrabarti, 1987). Untuk dapat memakai rumusan Morrison ini maka perlu lebih dahulu mengetahui batasan – batasan yang digunakan oleh Morrison dalam menghitung gaya yang ditimbulkan oleh gelombang. Secara lengkap syarat – syarat yang dimaksud adalah sebagai berikut:

$D/\lambda > 1$; pada kondisi ini gelombang mendekati pemantulan murni

$D/\lambda > 0.2$; pertambahan gaya gelombang oleh difraksi gelombang perlu diperhatikan

$D/\lambda < 0.2$; penggunaan rumus *Morrison* adalah valid

Persamaan yang diberikan oleh Morrison untuk perhitungan beban gelombang, yaitu:

$$F_w = \int_0^z (F_d + F_i) dz \quad (2.16)$$

$$F_w = \int_0^z \left(\frac{1}{2} \cdot \rho \cdot C_d \cdot D \cdot u|u| + \frac{1}{4} \cdot \pi \cdot D^2 \cdot \rho \cdot C_m \cdot a_x \right) dz$$



dimana :

F_w = gaya gelombang per unit panjang

F_d = gaya *drag* per unit panjang

F_i = gaya inersia per unit panjang

D = diameter luar *member Chord*

C_d = koefisien *drag* untuk *Chord*

C_m = koefisien inersia untuk *Chord*

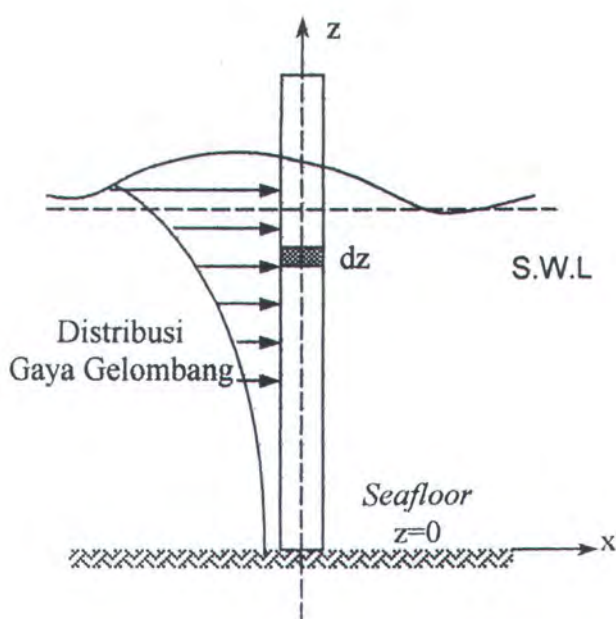
ρ = massa jenis air laut

u = kecepatan horizontal partikel air laut

a_x = percepatan horizontal partikel air laut

Untuk me-linear-kan suku $u|u|$ pada persamaan Gaya *Drag* memakai formulasi sebagai berikut :

$$u|u| = \frac{8}{3 \cdot \pi} \cdot u^2 \quad (2.17)$$

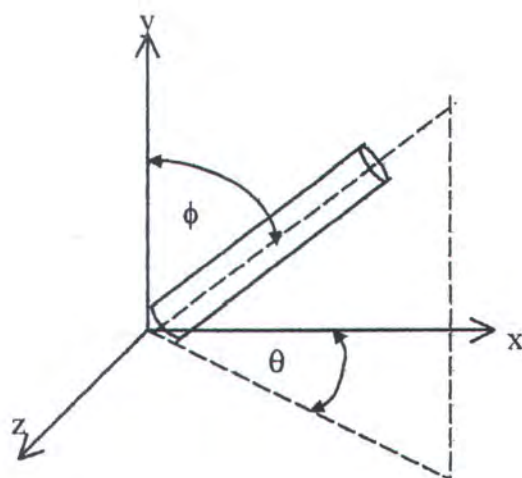


Gambar 2.5. Gaya gelombang pada Silinder Tegak (Dawson, T.H., 1976)



2.2.2.3. Gaya Gelombang pada Silinder Miring

Untuk perhitungan beban gelombang pada *Brace* baik *Horizontal* maupun *Diagonal Brace* digunakan rumus Morrison yang telah dimodifikasi (*Chakrabarty et.al, 1975*) untuk menghitung gaya gelombang pada silinder miring dengan arah sembarang. Dalam rumusan ini kecepatan dan percepatan diuraikan menjadi dua (2) komponen, yaitu normal dan tangensial terhadap sumbu aksis lokal silinder, tetapi dalam aplikasinya hanya komponen normal saja yang digunakan untuk menghitung besarnya gaya gelombang.



Gambar 2.6. Orientasi Arah Gaya Gelombang pada Silinder Miring

(*Dawson, T.H., 1976*)

Silinder akan dilalui oleh partikel air yang mempunyai kecepatan horizontal u dan kecepatan vertikal v , percepatan horizontal a_x , dan percepatan vertikal a_y . Dengan menggunakan transformasi sumbu koordinat dapat ditentukan arah silinder terhadap masing-masing sumbu koordinat. Harga dari komponen – komponen normal (∇) terhadap silinder aksis adalah :

$$\nabla = \left[u^2 + v^2 - (c_x u + c_y v)^2 \right]^{\frac{1}{2}} \quad (2.18)$$



Komponen kecepatan normal yang searah dengan sumbu x, t, dan z berturut-turut adalah :

$$\begin{aligned} u_n &= u - c_x(c_x u + c_y v) \\ v_n &= v - c_y(c_x u + c_y v) \\ w_n &= -c_z(c_x u + c_y v) \end{aligned} \quad (2.19)$$

dimana :

$$\begin{aligned} c_x &= \sin \phi \cdot \cos \theta \\ c_y &= \cos \theta \\ c_z &= \sin \phi \cdot \sin \theta \end{aligned} \quad (2.20)$$

Komponen percepatan normal dalam arah x, y, dan z diberikan sebagai berikut :

$$\begin{aligned} a_{nx} &= a_x - c_x(c_x a_x + c_y a_y) \\ a_{ny} &= a_y - c_y(c_x a_x + c_y a_y) \\ a_{nz} &= -c_z(c_x a_x + c_y a_y) \end{aligned} \quad (2.21)$$

Dengan demikian rumusan Morrison untuk gaya per satuan panjang untuk masing-masing sumbu menjadi :

$$\begin{aligned} \partial F_x &= \frac{1}{2} \cdot \rho \cdot Cd \cdot D \cdot \nabla \cdot u_n + \frac{1}{4} \cdot \rho \cdot \pi \cdot D^2 \cdot Cm \cdot a_{nx} \\ \partial F_y &= \frac{1}{2} \cdot \rho \cdot Cd \cdot D \cdot \nabla \cdot v_n + \frac{1}{4} \cdot \rho \cdot \pi \cdot D^2 \cdot Cm \cdot a_{ny} \\ \partial F_z &= \frac{1}{2} \cdot \rho \cdot Cd \cdot D \cdot \nabla \cdot w_n + \frac{1}{4} \cdot \rho \cdot \pi \cdot D^2 \cdot Cm \cdot a_z \end{aligned} \quad (2.22)$$

Gaya yang bekerja sepanjang pipa diperoleh dengan jalan mengintegralkan gaya per satuan panjang pada persamaan di atas sepanjang pipa silinder, menjadi :

$$\begin{aligned} F_x &= \int \partial F_x ds \\ F_y &= \int \partial F_y ds \\ F_z &= \int \partial F_z ds \end{aligned} \quad (2.23)$$

Pada akhirnya didapatkan bahwa gaya total yang bekerja pada silinder adalah:



$$F = \left(F_x^2 + F_y^2 + F_z^2 \right)^{\frac{1}{2}} \quad (2.24)$$

2.2.3. Teori Pembebaan

Pada suatu proses perancangan bangunan lepas pantai, untuk menentukan kemampuan kerja suatu struktur akan dipengaruhi oleh beban yang terjadi pada bangunan tersebut. Sehingga perancang harus menentukan akurasi atau ketepatan beban yang akan diterapkan dalam perancangan. Adapun beban-beban yang harus dipertimbangkan dalam perancangan bangunan lepas pantai adalah sebagai berikut (Soedjono, J.J., 1999):

1. Beban mati (*Dead Load*)
2. Beban hidup (*Live Load*)
3. Beban akibat kecelakaan (*Accidental Load*)
4. Beban lingkungan (*environmental Load*)

2.2.3.1. Beban Mati (*Dead Load*)

Beban mati (*dead load*) adalah beban dari komponen-komponen kering serta beban-beban dari peralatan, perlengkapan dan permesinan yang tidak berubah dari mode operasi pada suatu bangunan lepas pantai. Adapun beban mati tersebut dapat dikelompokkan sebagai berikut:

- a. Berat dari struktur bangunan lepas pantai, seperti tiang pancang, bangunan atas, *jacket*, *deck*, *railing*, *grout*, *paint*, *stiffners* dan lain-lain.
- b. Berat peralatan dan permesinan yang tidak digunakan untuk pengeboran atau proses pengeboran.



- c. Berat perlengkapan tambahan lain yang dipasang permanen pada struktur, seperti *boat landing, risers, barge bumper*.

2.2.3.2. Beban Hidup (*Live Load*)

Beban hidup (*live load*) adalah beban yang terjadi pada *platform* atau bangunan lepas pantai selama dipakai/ berfungsi dan tidak berubah dari mode operasi satu ke mode operasi yang lain. Adapun yang termasuk beban hidup (*live load*) dapat digolongkan sebagai berikut:

- a. Berat peralatan pengeboran (*drilling*)
- b. Berat peralatan produksi atau *treatment*
- c. Berat pendukung pengeboran
- d. Berat pendukung treatment
- e. Beban pengeboran
- f. Beban akibat gaya-gaya yang terjadi pada struktur dari operasi

2.2.3.3. Beban Lingkungan (*Environmental Load*)

Beban lingkungan (*Environmental Load*) adalah beban yang terjadi karena dipengaruhi oleh lingkungan dimana suatu bangunan lepas pantai dioperasikan atau bekerja. Beban lingkungan yang biasanya digunakan dalam perancangan adalah:

1. Beban gelombang
2. Beban angin
3. Beban arus
4. Beban gempa



2.2.3.4. Beban Akibat Kecelakaan (*Accidental Load*)

Beban kecelakaan (*accidental load*) merupakan beban yang tidak dapat diduga sebelumnya yang terjadi pada suatu bangunan lepas pantai. Beban kecelakaan ini terjadi akibat dari:

- a. Tabrakan dengan kapal pemandu operasi
- b. Putusnya tali katrol (*crane*)
- c. Putusnya tali tambat (rantai jangkar, tali baja pengikat katrol)
- d. Kebakaran, letusan, *blow out*
- e. Benda yang jatuh mengenai deck, dan lain-lain

2.2.4. Teori Pemodelan Struktur

2.2.4.1. Pemodelan Secara Umum

Model suatu struktur merupakan kunci utama dalam suatu analisis, tanpa adanya model tidak akan terjadi proses suatu analisis. Model bisa berupa fisik, matematis, dan grafik. Model dapat digunakan untuk menerangkan desain atau rancangan. Model harus mampu mendemonstrasikan *suitability*, *workability* dan *constructability* dari konsep. Model dapat diklasifikasikan menjadi dua kategori utama yaitu *display model* dan *engineering model*. Dalam tugas akhir ini akan menggunakan model matematis sebagai dasar analisis. Model matematis merupakan suatu model yang dapat mendeskripsikan dimensi dan karakteristik dari prototipe kedalam formulasi matematis.

Model harus bisa memenuhi prinsip kesamaan yang mencakup (Chakrabarti S.K., 1994):



1. Kesamaan geometrik

Kesamaan geometrik dapat dipenuhi apabila model dan protipe memiliki kesamaan geometrik baik ukuran maupun bentuk. Ada dua macam prinsip kesamaan geometrik:

- Kesamaan geometrik sempurna (*Undistorted*)
- Kesamaan geometrik terdistorsi (*distorted*)

Pada *undistorted model*, skala panjang dan lebar (horisontal) serta skala tinggi (vertikal) adalah sama. Untuk *distorted model*, skala ke arah horisontal dan ke arah vertikal tidak sama. Apabila dimungkinkan model dibuat dengan tanpa distorsi, sedangkan pada permasalahan khusus model dapat dilakukan dengan distorsi namun harus memenuhi beberapa persyaratan tertentu.

2. Kesamaan kinematis

Sebangun kinematik terjadi antara prototipe dan model jika prototipe dan model sebangun geometrik dan perbandingan kecepatan dan percepatan di dua titik yang bersangkutan pada prototipe dan model pada arah yang sama adalah sama besar

3. Kesamaan dinamis

Jika prototipe dan model sebangun geometrik dan kinematik, serta perbandingan gaya-gaya yang bersangkutan pada model dan prototipe untuk seluruh aliran pada arah yang sama adalah sama besar, maka dapat dikatakan bahwa keduanya sebangun dinamik.



2.2.4.2. Pemodelan Struktur Jack-up

Didalam pemodelan struktur *jack up platform* yang tepat akan sangat menentukan ketepatan hasil analisa , baik untuk analisa matematis maupun test hidrodinamis model skala dikolam tes. Untuk mendapatkan model matematis yang representatif, maka model matematis struktur *jack up platform* harus memenuhi kriteria model yang meliputi (Murdjito,1997):

- a. Model harus mampu memberikan hasil respon yang andal sehubungan dengan parameter-parameter perancangan, seperti perpindahan *horizontal* geladak, kelenturan kaki *jack up* dan lain-lain.
- b. Model harus mampu memberikan gambaran yang jelas tentang peranan parameter-parameter perancangannya, baik untuk *sistem* yang linier maupun *sistem* yang tidak linier.
- c. Model harus fleksibel terhadap berbagai jenis metode analisis.

Pemodelan matematis *jack-up* sendiri ada dua macam cara pemodelan, yang pertama pemodelan dengan menggunakan *stick model* untuk keperluan analisa global struktur *jack up* yang kemudian baru menggunakan *detailed model* untuk melihat respons detail struktur dalam hal ini adalah *chords* dan *bracing*.

Detailed model ini merupakan pemodelan struktur *jack-up* sebagai bentuk 3 dimensi yang terdiri dari sistem *chord* dan *brace*. Untuk analisa struktur dengan menggunakan *detailed model*, kita menggunakan *Finite Element Method (FEM)*, dimana struktur dimodelkan secara detail sebagai rangka 3 dimensi. Bentuk fisik model struktur dijadikan sebagai suatu sistem linier yang kontinyu dengan jalan membagi bentuk fisik struktur menjadi kelompok elemen-elemen yang kecil.



Elemen-elemen kecil ini dihubungkan dengan simpul-simpul (*nodes*) sehingga menjadi suatu sistem yang kontinyu.

Adapun parameter perancangan yang digunakan dalam pembuatan *detailed model* adalah sebagai berikut :

- Rasio kerampingan/*Slenderness ratio*

$$\text{Slenderness ratio} = \frac{kL}{r} \quad (2.25)$$

Dimana : k = *buckling length factor*

L = panjang elemen

r = jari-jari girasi = 0,35 D

- *Diameter to wall thickness ratio* (D/t) (2.26)

Karakteristik kedua yang penting adalah kestabilan penampang sebuah rangka tubular yang dinyatakan dalam *ratio* diameter dan tebal dinding (D/t) yang juga menunjukkan kestabilan terhadap *local buckling/hydrostatic collapse*.

Besarnya harga D/t berkisar antara 19-90, bila harga D/t mendekati 70. maka harus dilakukan pemeriksaan *local buckling*. Dalam melakukan proses perancangan hal yang menjadi pertimbangan utama adalah kekuatan rancangan. Suatu rancangan dikatakan memenuhi kriteria perancangan apabila tegangan pada setiap titiknya lebih kecil atau sama dengan tegangan ijin titik tersebut.



2.2.4.3. Konsep Metode Elemen Hingga

Perpindahan setiap struktur tertentu dalam bentuk jumlah terhingga dari koordinat perpindahan diskrit, yang menggabungkan beberapa ciri dari kedua prosedur, massa tergumpal dan koordinat tergeneralisasi, kini menjadi populer. Pendekatan ini yang merupakan dasar dari metode elemen hingga. Analisis kontinum struktur, memberikan idealisasi sistem yang baik sekali dan dapat diandalkan serta efektif untuk analisis dengan komputer digital. Idealisasi elemen hingga dapat diterapkan untuk semua tipe struktur; struktur kerangka, yang terdiri dari kumpulan anggota satu dimensi (batang, kolom dan sebagainya).

Langkah pertama dalam idealisasi elemen hingga dari setiap struktur adalah membagi suatu struktur menjadi elemen-elemen yang lebih kecil. Ukurannya sembarang, bisa semuanya berukuran sama atau semua berbeda-beda. Pada ujung-ujung bagian dimana mereka saling dihubungkan disebut titik-titik simpul. Perpindahan titik-titik simpul ini kemudian menjadi koordinat tergeneralisasi dari struktur. Lendutan struktur dapat dinyatakan dengan koordinat tergeneralisasi dengan menggunakan kumpulan yang sesuai dari fungsi perpindahan yang diasumsikan.

Analisis respons yang akan digunakan dalam hal ini dengan metode *frequency domain analysis*. Secara umum persamaan gerak suatu sistem dapat diselesaikan dengan persamaan sebagai berikut:

$$\ddot{M}x. + C \dot{x.} + Kx = F$$

dimana,

- M = matrik massa struktur (termasuk massa tambah)
C = matrik redaman





K = matrik kekakuan struktur

F = gaya eksitas

Fungsi gaya F adalah

$$F_{freq} = \rho(C_{FK} + C_{Am})v \ddot{u} + \frac{1}{2}\rho C_D A \sigma_{u-x} \sqrt{\frac{8}{\pi}} \left| \dot{u} - \dot{x} \right| \quad (2.28)$$

Matrik kekakuan

Kekakuan atau *stiffness* pada dasarnya adalah kemampuan perubahan bentuk elemen. Penyusunan matrik kekakuan secara keseluruhan dalam satu struktur dapat digambarkan pada gambar 2.7 sebagai berikut:



Gambar 2.7. Model Penyusunan Matrik Kekakuan

Masing-masing titik simpul mempunyai kekakuan $\frac{AE}{L} \begin{vmatrix} 1 & -1 \\ -1 & 1 \end{vmatrix}$ maka matrik kekakuan dari struktur dibentuk dengan menjumlahkan suku-suku matrik kekakuan masing-masing simpul yang berorientasi pada titik simpul yang sama. Akan lebih mudah dipahami sebagai berikut:

$$\text{Elemen 1 } K * \begin{pmatrix} x_1 \\ x_2 \end{pmatrix} = \begin{vmatrix} f_1 \\ f_2 \end{vmatrix} \quad (2.29)$$

$$\text{Elemen 2 } K * \begin{pmatrix} x_2 \\ x_3 \end{pmatrix} = \begin{vmatrix} f_2 \\ f_3 \end{vmatrix} \quad (2.30)$$

dimana, K = kekakuan struktur

x = elemen kekakuan struktur

f = gaya



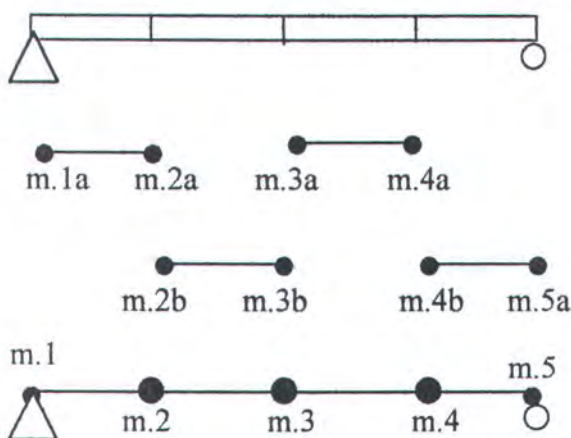
Terlihat bahwa ada suku kekakuan yang berorientasi pada titik yang sama yaitu ketitik 2. Suku matrik yang berorientasi ketitik 2 harus dijumlahkan sehingga matrik kekakuan struktur secara menyeluruh adalah:

$$\frac{AE}{L} \begin{vmatrix} 1 & -1 & 0 \\ -1 & 2 & -1 \\ 0 & -1 & 1 \end{vmatrix} * \begin{pmatrix} x_1 \\ x_2 \\ x_3 \end{pmatrix} = \begin{pmatrix} f_1 \\ f_2 \\ f_3 \end{pmatrix} \quad (2.31)$$

■ Matrik massa

Cara yang paling sederhana menentukan sifat massa setiap struktur adalah mengasumsikan bahwa seluruh massa terpusat pada titik ditempat terjadinya perpindahan.

Cara pengumpulan massa pada struktur dapat ditunjukkan secara skematis dalam gambar 2.8.



Gambar 2.8. Cara Pengumpulan Massa pada Struktur

Massa masing-masing segmen dianggap terpusat pada titik di masing-masing simpulnya. Massa total yang terpusat pada setiap simpul dari suatu struktur merupakan jumlah kontribusi simpul dari semua segmen yang terpasang pada simpul tersebut. Terdapat dua segmen yang



berkontribusi terhadap masing-masing simpul misalnya pada simpul 2:

$$m_2 = m_{2a} + m_{2b}$$

Untuk sistem dengan derajat kebebasan translasi matrik massa tergumpal mempunyai bentuk diagonal.

$$(M) = \begin{vmatrix} m_1 & 0 & 0 & 0 \\ 0 & m_2 & 0 & 0 \\ 0 & 0 & \dots & 0 \\ 0 & 0 & 0 & m_n \end{vmatrix} \quad (2.32)$$

Suku m_{ij} diluar diagonal matrik ini hilang karena percepatan setiap massa hanya menimbulkan gaya inersia pada titik tersebut. Gaya inersia pada i disebabkan oleh percepatan titik i , jelas sama dengan massa yang terpusat pada titik tersebut, dengan demikian koefisien pengaruh massa pada sistem tergumpal pada titik tersebut adalah $m_{ij} = m_i$

Jika setiap titik simpul mempunyai lebih dari satu derajat kebebasan translasi, maka massa titik tersebut akan terkait dengan masing-masing derajat kebebasan. Sebaliknya massa yang terkait dengan setiap derajat rotasi akan sama dengan nol, dengan asumsi bahwa massa tergumpal pada titik tersebut tidak mempunyai rotasi. Akan tetapi jika massa yang kaku mempunyai inertia rotasi yang berhingga yang dikaitkan dengan derajat kebebasan rotasi, maka koefisien massa diagonal untuk derajat kebebasan rotasi tidak sama dengan nol tetapi berharga inertia rotasi massa tersebut.



2.2.5. Metode Analisa Struktur Jack-Up

Ada dua metode analisa yang bisa digunakan dalam perancangan struktur jack-up, yaitu :

1. Metode analisis deterministik, dan
2. Metode analisis stochastik.

Kedua metode ini memiliki perbedaan yang cukup mendasar (tabel 2.1.)

Tabel 2.1. Perbedaan metode analisis deterministik dan stochastik (Murdjito, 1997)

Metode analisis Deterministik	Metode analisis Stochastik
Cukup menggunakan Teori Gelombang Linier	Menggunakan Teori Gelombang Non Linier
Pengaruh yang tidak linier dinyatakan dalam Damping Amplification Factor (DAF)	Parameter-parameter tidak linier dapat disimulasikan dalam model matematis
Tidak mampu mempresentasikan kondisi gelombang laut yang sebenarnya	Model matematis sangat rumit sehingga membutuhkan fasilitas komputer yang memadai
Pengaruh parameter-parameter lainnya tidak dapat dimasukkan dalam perhitungan padahal pengaruhnya terhadap respon struktur mungkin cukup berarti	



2.2.5.1. Prosedur Perhitungan Lendutan pada Struktur

Pada prinsipnya metode elemen hingga memperlakukan suatu sistem sebagai gabungan dari elemen-elemen kecil yang digabungkan satu sama lain oleh titik-titik yang disebut *joint/node*. Fungsi yang sederhana umumnya dipilih untuk mendekati distribusi atau variasi lendutan yang sesungguhnya pada tiap elemen tersebut. Fungsi harus memenuhi syarat-syarat tertentu itu disebut dengan *displacement function* atau *displacement model*. Hasil yang diinginkan seperti besar lendutan, dihitung pada *joint*, sehingga hasil akhir yang diperoleh adalah harga pendekatan dari lendutan pada lokasi-lokasi diskrit dari sistem yang diselidiki, yaitu pada *nodes-point*-nya tersebut.

Untuk fungsi *displacement*-nya, biasa dipilih fungsi polynomial atau fungsi trigonometri, atau juga beberapa fungsi sederhana yang lainnya. Umumnya digunakan polynomial karena fungsi ini mudah dimanipulasi secara matematis. Secara ringkas prosedur analisa lendutan dan tegangan dengan metode elemen hingga adalah seperti pembahasan berikut.

2.2.5.2. Pendiskritan dari Sistem yang Dianalisis

Ini adalah proses dimana sistem yang dianalisis dibagi menjadi bagian-bagian kecil. Beberapa usaha telah dilakukan untuk membagi elemen-elemen ini secara otomatis, akan tetapi banyak hal tergantung kecakapan individu yang melakukan analisis, termasuk misalnya menentukan model apa yang akan digunakan sebagai elemennya dan berapa jumlah serta dimensinya yang dianggap memenuhi syarat untuk suatu masalah tertentu.



Pendiskritan ini merupakan tahap yang penting, karena dalam praktek suatu sistem umumnya sangat kompleks dan besar, sehingga untuk keperluan analisis dengan metode elemen hingga hanya bagian-bagian tertentu yang dianggap perlu saja yang diselidiki.

Struktur *jack-up* yang terdiri dari *chord* dan *brace* adalah suatu sistem yang terdiri dari banyak elemen *space frame*. Elemen *space frame* sebenarnya adalah gabungan dari dua macam elemen, yaitu elemen *truss* dan *beam* dalam koordinat global tiga dimensi. Pengasumsian ini didasarkan pada pembebanan dan lendutan yang akan terjadi pada elemen *space frame*. Elemen *truss* adalah elemen yang akan mengalami pembebanan dan lendutan pada arah aksial (pada arah sumbu elemen) sedang elemen *beam* akan mengalami pembebanan, lendutan dan momen ke arah lateral.

Elemen *chord* dan *brace* pada struktur *jack-up* akan mengalami pembebanan dari segala arah (aksial dan lateral) dalam ruang sehingga elemen *chord* dan *brace* tersebut akan mengalami lendutan dan momen ke segala arah pula. Jadi pendekatan model elemen yang paling baik untuk elemen *chord* dan *brace* ini adalah gabungan elemen *truss* dan *beam* dalam koordinat global 3 dimensi atau *space frame*.

2.2.5.3. Menentukan Tegangan dan Regangan Elemen

Untuk masalah analisis tegangan struktur, besaran penting yang kedua adalah tegangan dan regangan. Tegangan dan regangan struktur dapat diperoleh karena besaran-besaran tersebut dapat dinyatakan secara langsung sebagai fungsi dari *displasment* yang sudah diperoleh dalam langkah sebelumnya.



2.2.6. Analisa DFEM

2.2.6.1. Tegangan Normal

Tegangan normal dapat diakibatkan karena dua hal yaitu yang disebabkan oleh gaya aksial dan lenturan.

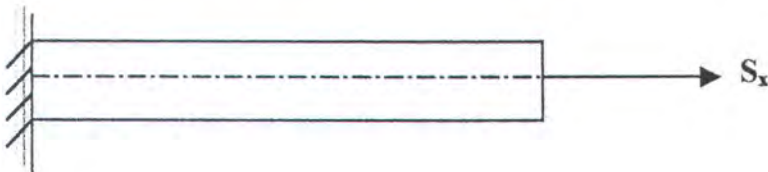
- ◎ Disebabkan oleh gaya aksial

$$\sigma = \frac{P}{A} \quad (2.33)$$

Pada gambar 2.9 batang mengalami pembebanan aksial akibat gaya tarik P. Akibat gaya ini, batang akan mengalami tegangan aksial sebesar (Popov, 1993):

dimana : A = luas penampang lintang (m^2)

P = Gaya Tarik (N)



Gambar 2.9. Pembebanan aksial pada batang tubular (Popov, 1993)

- ◎ Disebabkan oleh lenturan, ada dua kondisi lenturan yaitu :

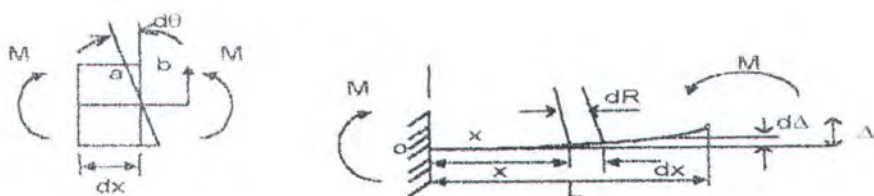
- ❖ Pada batang lurus $\sigma = -\frac{My}{I}$ (2.34)

- ❖ Pada lengkung simetris $\sigma = \frac{My}{Ae(R-y)}$ (2.35)

Selain akibat gaya aksial, tegangan aksial dapat diakibatkan juga oleh momen lentur murni akibat kopel M yang terjadi di setiap ujungnya (gambar



2.10). Tegangan yang terjadi akibat momen ini dikenal sebagai *bending stress* atau tegangan lentur.



Gambar 2.10. Pembebaan momen kopel pada batang tubular (Popov, 1993)

dimana :

y = jarak dari sumbu netral ke sembarang titik A pada penampang (gambar 2.10)

I_z = momen inersia bidang penampang melintang terhadap sumbu z

Interaksi antara kedua jenis tegangan aksial di atas dalam kaitannya dengan superposisi antara kedua jenis tegangan aksial tersebut, menghasilkan koreksi pada besar tegangan lentur. Pengurangan besar tegangan lentur akibat adanya akibat tegangan tarik dapat diabaikan tetapi pertambahan besar tegangan lentur akibat terbentuknya tegangan *buckling* yang disebabkan oleh tegangan aksial tekan perlu diperhatikan.

2.2.6.2. Tegangan Geser

Penyebab terjadinya tegangan geser ada dua jenis yaitu tegangan geser yang disebabkan oleh puntiran dan gaya geser dalam balok.

❖ Disebabkan oleh puntiran

□ Poros melingkar

$$\tau = \frac{T\rho}{I_p} \quad (2.36)$$



- Poros sikuempat

$$\tau = \frac{T}{abc^2} \quad (2.37)$$

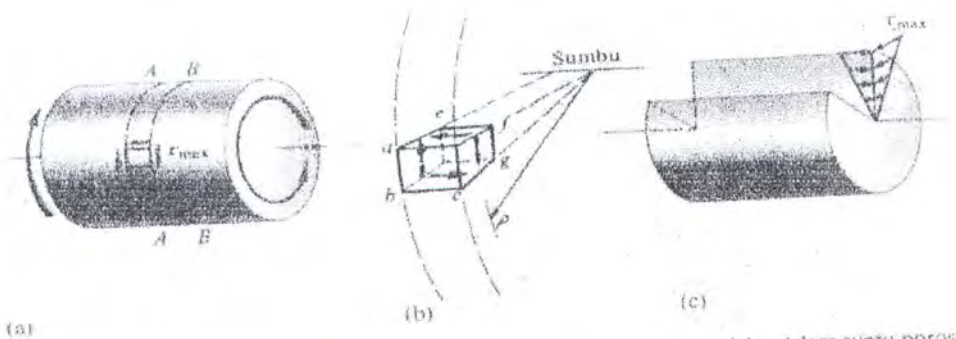
- Tabung dinding tipis tertutup

$$\tau = \frac{T}{2At} \quad (2.38)$$

- ❖ Disedabkan oleh gaya geser dalam balok

$$\tau = \frac{VQ}{It} \quad (2.39)$$

Batang penampang bulat juga akan mengalami tegangan geser walau besarnya tidak begitu berarti. Penyebab paling besar terjadinya tegangan geser pada elemen penampang bulat seperti kaki struktur *jack up* adalah momen puntiran aksial. Pada gambar 2.11 tampak batang mengalami pembebanan puntiran T pada kedua ujungnya.



Gambar 2.11. Gaya puntiran pada batang silinder

Tegangan maksimum yang akan terjadi pada permukaan luar batang dapat dihitung dengan rumus :

$$\sigma = \frac{T.R}{J} \quad (2.40)$$

dimana : J = momen inersia kutub

T = momen torsi terkonsentrasi

R = jari-jari penampang batang

Nilai $J : J = \frac{\pi}{2}(R_o^4 - R_i^4)$ Untuk *circular ring* (2.41)



$$J = \frac{\pi}{2} (R^4) \quad \text{Untuk round bar} \quad (2.42)$$

Tegangan yang bekerja pada penampang lintang lingkaran dan R adalah jari-jari penampang batang. Tegangan geser yang bekerja pada penampang melintang lingkaran selalu berarah tegak lurus jari-jari dan mempunyai arah yang sama dengan momen puntir.

2.2.6.3. Kriteria Tegangan Ijin

Bagian struktur yang menerima beban kompresi dan beban tekuk harus memenuhi kriteria kekuatan dan kriteria stabilitas. Apabila total tegangan pada setiap bagian konstruksi melebihi tegangan ijin maka keruntuhan akan terjadi.

Tegangan ijin untuk member silinder (API RP2A WSD, 1993):

1. Tegangan tarik

Tegangan tarik ijin F_t , dirumuskan :

$$F_t = 0,6 F_y \quad (2.43)$$

Dimana : F_y adalah tegangan yield, ksi (MPa)

2. Tegangan tekan

Buckling pada kolom

Tegangan tekan yang diijinkan adalah F_a .

Untuk $D/t \leq 60$

$$F_a = \frac{\left[1 - \frac{(kL/r)^2}{2Cc^2} \right] F_y}{\frac{5}{3} + \frac{3(kL/r)}{8Cc} - \frac{(kL/r)}{8Cc^3}}, \quad \text{untuk } kL/r < Cc \quad (2.44)$$

$$F_a = \frac{12\pi^2 E}{23(kL/r)^2}, \quad \text{untuk } kL/r \geq Cc \quad (2.45)$$



dimana :

$$Cc = \left[\frac{2\pi^2 E}{Fy} \right]^{0.5} \quad (2.46)$$

E = modulus elastisitas, ksi (MPa)

K = faktor panjang efektif

L = Panjang tanpa *bracing*

r = jari-jari girasi

Untuk member dengan D/t > 60 dengan menggunakan *local buckling*

Local buckling

a. Local buckling elastic

$$Fxe = 2 Cet/D \quad (2.47)$$

dimana :

C = koefisien tegangan kritis *buckling*

D = diameter luar

T = ketebalan pipa

secara teoritis harga C adalah 0,6

b. Local buckling inelastic

$$Fxc = Fy \left[1,64 - 0,23(D/t)^{1/4} \right] \leq Fxe \quad (2.48)$$

$$Fxc = Fy, \text{ untuk } (D/t) \leq 60 \quad (2.49)$$

3. Tegangan Tekuk

Tegangan *bending* ijin, F_b dinyatakan :

$$Fb = 0,75 Fy, \text{ untuk } D/t \leq 1500/Fy \quad (2.50)$$



$$\left(\frac{D}{t} \leq \frac{10340}{F_y}, \text{ dalam satuan SI} \right)$$

$$F_b = \left[0,84 - 1,74 \frac{F_y D}{E t} \right] F_y, \text{ untuk } \frac{1500}{F_y} < \frac{D}{t} \leq \frac{3000}{F_y} \quad (2.51)$$

$$\left(\frac{10340}{F_y} < \frac{D}{t} \leq \frac{20680}{F_y}, \text{ dalam satuan SI} \right)$$

$$F_b = \left[0,72 - 0,58 \frac{F_y D}{E t} \right] F_y, \text{ untuk } \frac{3000}{F_y} < \frac{D}{t} \leq 300 \quad (2.52)$$

4. Tegangan Geser

Untuk bagian tubular, besarnya tegangan geser maksimum adalah:

$$f_y = \frac{V}{0,5A} \quad (2.53)$$

dimana: f_y = tegangan geser maksimum, ksi (MPa)

V = tegangan geser transversal, kips (MN)

A = luasan melintang, in² (m²)

Sedangkan tegangan geser pada *beam* yang diijinkan adalah:

$$f_y = 0,4 F_y \quad (2.54)$$

5. Tegangan Majemuk Tekan dan Tekuk Untuk Batang Silinder

$$\frac{fa}{0,6F_y} + \frac{\sqrt{f_x b^2 + f_y b^2}}{F_b} \leq 1,0 \quad (2.55)$$

Apabila $\frac{fa}{Fa} \leq 0,15$, maka digunakan

$$\frac{fa}{Fa} + \frac{\sqrt{f_x b^2 + f_y b^2}}{F_b} \leq 1,0 \quad (2.56)$$



2.2.7 Analisa SFEM

SFEM sangat efektif untuk analisa keandalan dari struktur tiga dimensi yang komponennya terdapat unsur nonlinear geometri. Tegangan yang diperoleh melalui pendekatan, digunakan dalam formula elemen hingga untuk menghitung respon struktur nonlinear. Property dari material, geometri dan gaya luar dianggap sebagai variabel acak. Kriteria kegagalan struktur dinyatakan dalam fungsi batas *ultimate* dan *serviceability*. Tujuannya adalah untuk mengetahui mekanisme keruntuhan yang diawali dengan tidak stabilnya respon struktur yang akhirnya dapat diperoleh keandalan sistem struktur tersebut.

Penggunaan metode elemen hingga adalah untuk mengevaluasi keandalan struktur kompleks, dimana fungsi-fungsi kondisi batas tidak terdapat dalam bentuk tertutup seperti pada umumnya. Ini yang menyebabkan dilakukannya pengembangan SFEM. Karena SFEM didasarkan pada DFEM, efektifitas SFEM akan lebih dapat dibuktikan dari rekayasa FEM. Karena struktur nonlinear 3-D membutuhkan analisa secara berulang pada format SFEM, maka DFEM sangat penting sekali untuk penyelesaian SFEM. Metode ini dapat disebut SFEM melalui pendekatan deterministik.

2.2.8 Analisa Nonlinier

Secara singkat analisa nonlinear dapat dijelaskan sebagai berikut:

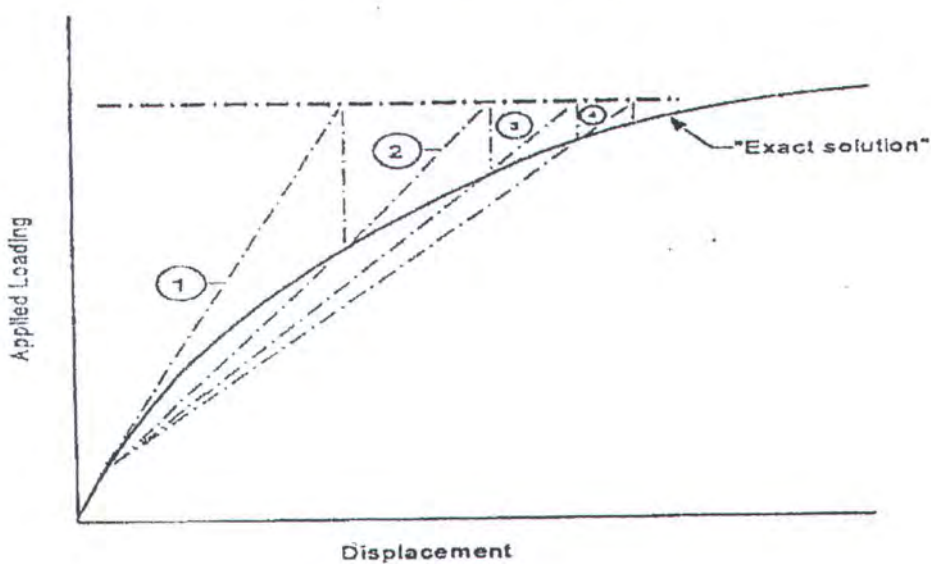
1. Nonlinier geometri ditujukan untuk struktur *space truss* dan *space frame*.

Pada saat ini, nonlinier geometry untuk struktur *space frame* dibatasi untuk bentuk penampang *doubly-symmetric*. Besar regangan dan rotasi pada struktur *plane frame* dan *space frame* juga harus kecil.



2. Nonlinier material digunakan pada struktur plane truss dan space truss. Nonlinier material dibatasi untuk member hanya kondisi tekan atau tarik saja.
3. Nonlinier geometri dikonsentrasi pada daerah antara dua *joint*. Respon force-displacement untuk elemen-elemen *nonlinear spring* dispesifikasi dengan *concentrated model* prilaku material elastis nonlinier diantara dua joint pada struktur. Elemen nonlinear spring juga digunakan untuk model tumpuan elastis nonlinier.

Perumusan dari Newton-Raphson didasarkan pada metode *tangent stiffness* yang digunakan untuk menyelesaikan persamaan nonlinier yang disebabkan adanya nonlinier material. Teknik ini digambarkan pada gambar. 2.12. Pada Gambar 2.12, respon yang bernilai “exact” digambarkan melalui garis sambung dan setiap iterasi dari persamaan nonlinier digambarkan dengan garis putus-putus. Iterasi ini berlangsung sampai terjadi konvergenitas atau banyak iterasi yang ditentukan sebelumnya telah tercapai.



Gambar 2.12. Prosedur iterasi dalam analisa nonlinier

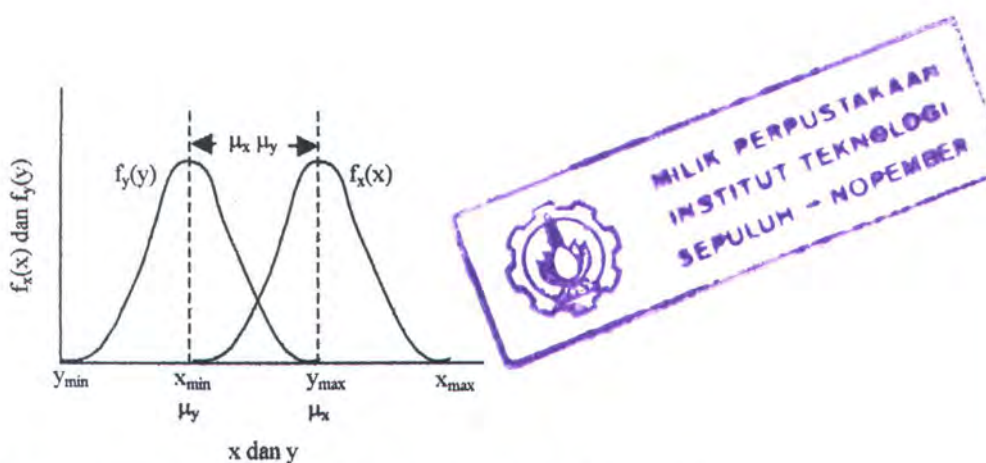


2.2.9 Keandalan Pada Sistem Rekayasa

Sistem dari keandalan pada dasarnya dapat ditunjukkan sebagai problematika antara Demand (tuntutan atau beban) dan Capacity (kapasitas atau kekuatan). Secara tradisional didasarkan atas safety factor (angka keamanan) yang diperkenankan. Ukuran konvensional untuk angka keamanan adalah perbandingan antara asumsi nilai nominal kapasitas, X^* , dan beban, Y^* , yang dirumuskan sebagai berikut:

$$Z^* = \frac{X^*}{Y^*} \quad (2.57)$$

Mengingat nilai nominal dari kapasitas, X^* dan beban, Y^* tidak dapat ditentukan dengan pasti, fungsi-fungsi kapasitas dan beban perlu dinyatakan sebagai peluang sebagaimana ditunjukkan pada gambar 2.13. Dengan demikian, angka keamanan dinyatakan dengan perbandingan $Z = X/Y$ dari dua variabel acak X dan Y .



Gambar 2.13. Fungsi kerapatan peluang (fkp) dari kapasitas X dan tuntutan Y

Ketidakmampuan suatu sistem untuk memenuhi tuntutan dan tugasnya, yang diukur dengan peluang kegagalan, dapat dihubungkan dengan bagian dari

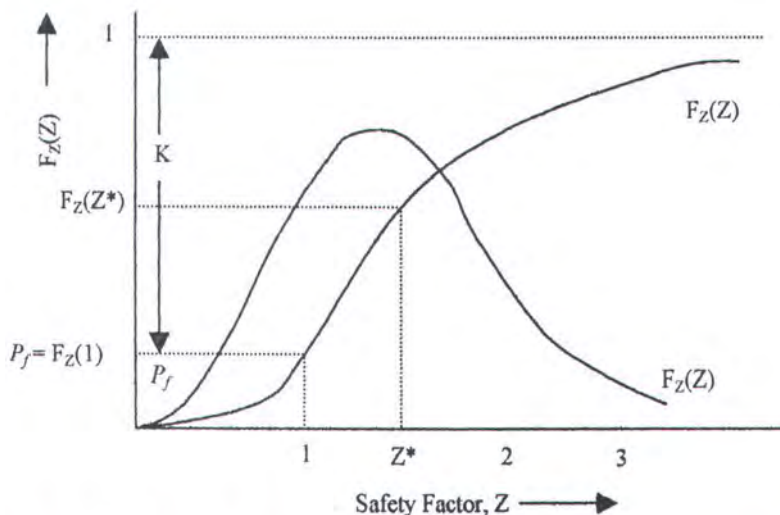


distribusi angka keamanan yang nilainya kurang dari satu, yaitu porsi dalam dimana $Z = \frac{X}{Y} \leq 1$ (lihat gambar 2.14). Peluang kegagalan sistem, P_f diberikan dengan persamaan:

$$P_f = P[Z \leq 1] = F_z(1) \quad (2.58)$$

Dimana F_Z adalah fungsi distribusi komulatif dari Z . dengan pernyataan lain, peluang sistem untuk tidak gagal (keandalan) adalah:

$$K = 1 - P_f = P[Z > 1] = 1 - F_z(1) \quad (2.59)$$



Gambar 2.14. Fungsi distribusi komulatif dan fungsi kerapatan peluang pada angka keamanan $Z = X/Y$

Ketika distribusi peluang bersama (joint probability distribution) dan X dan Y diketahui, keandalan sebuah sistem dapat dihitung berdasarkan fungsi distribusi komulatif dari X/Y . Peluang kegagalan nol ($P_f = 0$) dan keandalan 100 ($K = 1$) hanya terjadi ketika tuntutan maksimum Y_{\max} tidak melewati kapasitas minimum X_{\min} , sehingga kedua distribusi tidak saling overlap.



2.2.9.1 Safety Margin (Margin Keamanan)

Jika demand maksimum Y_{\max} melampaui kapasitas maksimum X_{\min} , distribusi kedua-duanya akan mengalami overlap dan probabilitas kegagalan tidak lagi bernilai nol. Untuk menilai probabilitas, dapat diambil perbedaan diantara kapasitas dan beban, yang biasanya disebut dengan margin keamanan atau safety margin, S:

$$S = X - Y \quad (2.60)$$

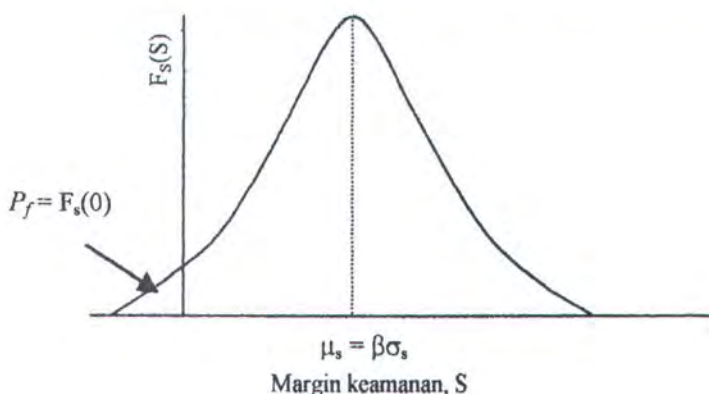
Oleh karena nilai X dan Y adalah acak, margin keamanan juga merupakan perubah acak sebagaimana dipresentasikan pada gambar 2.15..

Ketidakmampuan suatu sistem untuk memenuhi tuntutannya, yang diukur dengan peluang kegagalan P_f , dapat diperkirakan menggunakan fungsi kerapatan peluang dari margin keselamatan, yaitu pada bagian dimana S bernilai negatif, atau $S = X - Y \leq 0$. Sehingga dapat dituliskan:

$$P_f = P[(X - Y) \leq 0] = P[S \leq 0] \quad (2.61)$$

dan sebaliknya, keandalannya adalah

$$K = 1 - P_f = P[(X - Y) > 0] = P[S > 0] \quad (2.62)$$



Gambar 2.15. fkp untuk batas margin S

2.2.9.2 Indeks Keandalan

Cara lain untuk mengukur keandalan adalah dengan cara menggunakan indeks keandalan, β , yang didefinisikan sebagai perbandingan antara nilai rata-

$$\beta = \frac{\mu_s}{\sigma_s} \quad (2.63)$$

Jika menggunakan nilai kristis margin keselamatan, $S = 0$, dan jaraknya dengan nilai rata-rata margin keamanan μ_s , maka indeks keandalan ini dapat diinterpretasikan sebagai jumlah kelipatan simpangan baku σ_s pada jarak ini. Artinya, jarak antara $S = 0$ dengan μ_s ini dapat dibagi menjadi beberapa simpangan baku. Semakin panjangnya, relatif terhadap simpangan baku, maka semakin besar indeks keandalannya. Selanjutnya, indeks keandalan juga berbanding terbalik dengan koefisien variasi margin keselamatan, atau dapat dituliskan $\beta = \frac{1}{V_s}$.



Untuk menghasilkan ekspresi yang lebih umum atas indeks keandalan, dapat digunakan persamaan yang secara sepantasnya dibahas pada bagian sebelumnya. Mengingat $\mu_s = \mu_X - \mu_Y$, dan $\sigma^2 s = \sigma^2 X - 2\rho_{XY}\sigma_X\sigma_Y + \sigma^2 Y$, maka:

$$\beta = \frac{\mu_X - \mu_Y}{\sqrt{\sigma^2 X - 2\rho_{XY}\sigma_X\sigma_Y + \sigma^2 Y}} \quad (2.64)$$

Dimana ρ_{XY} adalah koefisien korelasi diantara kapasitas dan beban. Oleh karena itu, indeks keandalan adalah maksimum jika $\rho_{XY} = +1$ dan minimum jika $\rho_{XY} = -1$. Untuk X dan Y terdistribusi normal, maka peluang kegagalan adalah:

$$P_f = 1 - \Phi(\beta), \quad (2.65)$$

dan

$$K = \Phi(\beta) \quad (2.66)$$

2.2.9.3 Simulasi Monte Carlo

Suatu sistem rekayasa dapat dipelajari dengan membuat serangkaian percobaan secara fisik menggunakan model yang merefleksikan karakter-karakter pokok dari sistem itu. Percobaan menggunakan model yang dimaksudkan untuk mensimulasikan kenyataan riil dengan cara memproduksi karakteristik prototipe (kenyataan). Proses simulasi memperkirakan respon atau kinerja suatu sistem menggunakan serangkaian nilai dari parameter atau variabel dari sistem tersebut. Misalnya, mempelajari tahanan kapal yang sedang berlayar di laut dapat dilakukan dengan cara membuat model fisik berupa kapal kecil yang



disimulasikan di kolam laboratorium. Pemodelan dapat pula dilakukan menggunakan model matematik ataupun numerik menggunakan fasilitas komputer. Dengan demikian, simulasi secara umum dapat didefinisikan sebagai proses replikasi dunia nyata berdasarkan serangkaian asumsi dan model atas tersebut.

Ketika suatu sistem yang sedang dipelajari mengandung variabel atau parameter yang memiliki nilai random, atau mengandung perubah acak, maka metode simulasi Monte Carlo dapat digunakan untuk memecahkan persoalan ini, suatu set nilai dari tiap-tiap variabel (satu nilai untuk setiap variabel) dari suatu sistem disimulasikan berdasarkan distribusi peluangnya, misalnya berdasarkan fungsi kerapatan peluang tiap-tiap variabel tersebut. Untuk setiap set ini, respon atau kinerja sistem dihitung berdasarkan fungsi kinerja dari sistem tersebut. Perhitungan respon atau kinerja sistem dihitung berdasarkan fungsi deterministik untuk suatu set nilai dari respon atau kinerja sistem tersebut, sehingga pada akhir simulasi akan diperoleh sekumpulan data respon atau kinerja sistem. Sekumpulan data ini dapat dianggap sebagai sampel data, dengan analisa statistik dapat dilakukan untuk menentukan nilai rata-rata, simpangan baku, bahkan distribusi dari respon atau kinerja sistem tersebut.

Unsur pokok yang diperlukan didalam simulasi Monte Carlo adalah sebuah *random number generator* (RNG). Hal ini karena, secara teknis, prinsip dasar metode simultan Monte Carlo sebenarnya adalah sampling numerik dengan bantuan RNG, dimana simulasi dilakukan dengan mengambil beberapa sampel dari perubah acak berdasarkan distribusi peluang perubah acak tersebut. Ini berarti, Simulasi Monte Carlo mensyaratkan bahwa distribusi peluang dari



perubah acak yang terlibat di dalam sistem yang sedang dipelajari telah diketahui atau dapat diasumsikan. Sampel yang telah diambil tersebut dipakai sebagai masukan ke dalam persamaan fungsi kinerja $FK(x)$, dan harga $FK(x)$ kemudian dihitung. Untuk suatu fungsi kinerja tertentu, misalnya, setiap kali $FK(x) < 0$, maka sistem/komponen yang ditinjau dianggap gagal. Jika jumlah sampel tersebut adalah N (atau replikasi sejumlah N), maka dapat dicatat kejadian $FK(x) < 0$ sejumlah n kali. Dengan demikian, peluang kegagalan sistem/komponen yang sedang ditinjau adalah rasio antara jumlah kejadian gagal dengan sampel atau replikasi, $P_g = n/N$.

Persoalan utama di dalam simulasi Monte Carlo adalah bagaimana mentransformasikan angka acak yang dikeluarkan oleh *random number generator* (RNG) menjadi besaran fisis yang sesuai dengan fungsi kerapatan peluang (*fkp*-nya). Ini disebabkan karena angka acak yang dikeluarkan oleh RNG memiliki *fkp uniform*, sedangkan perubah dasar dalam $FK(x)$ seringkali tidak demikian (misal terdistribusi secara normal, lognormal , dan sebagainya). RNG biasanya ada dalam CPU komputer sebagai *built-in computer program* dalam bagian ROM-nya. RNG yang disediakan ini hampir selalu berbentuk *linear congruential generator* yang mengeluarkan suatu deretan bilangan cacah (integer) I_1, I_2, I_3, \dots , masing-masing antara 0 dan $m-1$ (m sebuah bilangan yang besar sekali) dengan menggunakan sebuah relasi rekurens berikut:

$$I_{j+1} = aI_j + c \pmod{m} \quad (2.67)$$

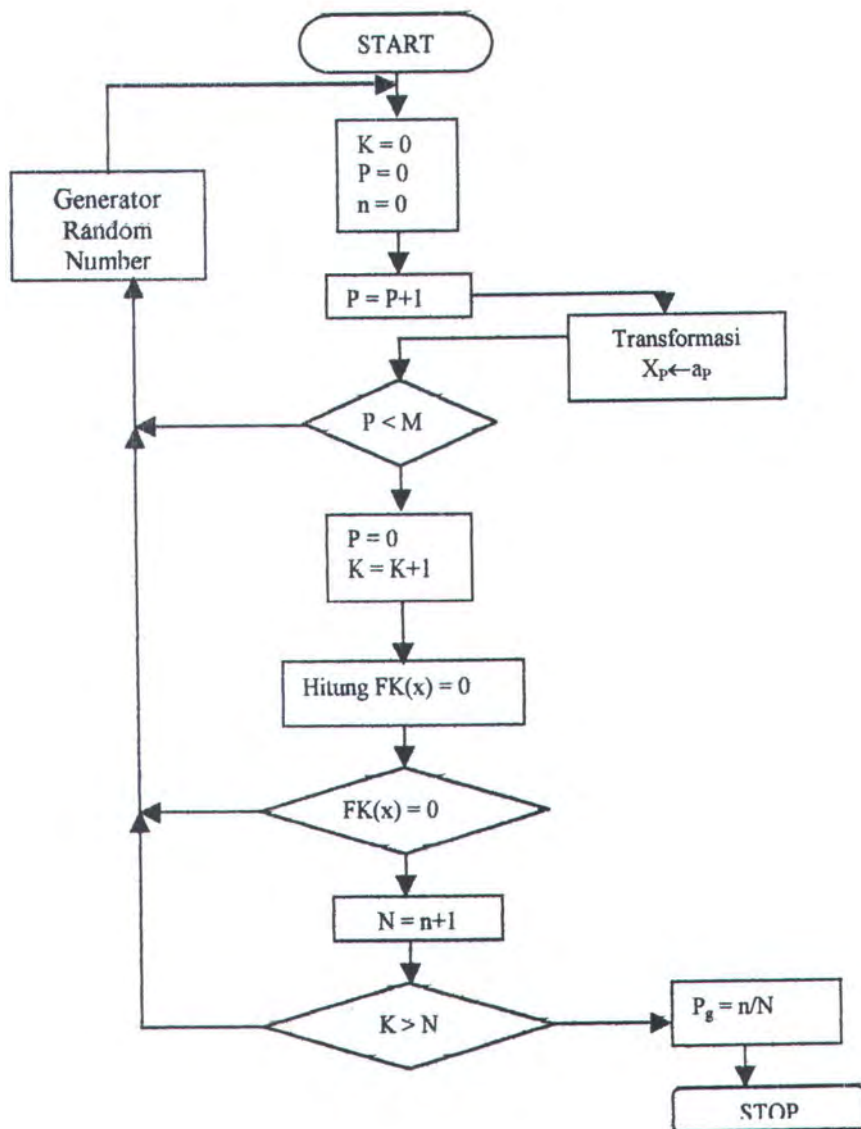
dimana m disebut modulus, dan a serta c adalah bilangan cacah (*integer*) yang berturut-turut disebut sebagai pengganda dan inkremen. Relasi rekuens di atas akan berulang dengan periode yang lebih kecil dari m . Jika m , a , c , dipilih secara



seksama, maka periode ulang yang terjadi akan memiliki panjang maksimum, yaitu m . Dalam hal itu, semua bilangan cacah (integer) antara 0 dan $m-1$ akan muncul, sehingga setiap pilihan “biji I_0 ” akan menghasilkan deret yang secara statistik sama baiknya.

Sebuah algoritma simulasi Monte Carlo diperlihatkan dalam gambar 2.16. Didalam algoritma tersebut, K adalah penghitung (*counter*) jumlah eksperimen atau sampling, sedang M adalah jumlah perubah dasar ke X_p , sedang n adalah penghitung kondisi gagal (untuk $FK(x) < 0$); N adalah jumlah eksperimen maksimum yang akan dilakukan.

Semua angka acak a_p , $P = 1, 2, \dots, M$, dengan fkp uniform akan dikeluarkan oleh RNG untuk kemudian ditransformasikan menjadi X_p , $P = 1, 2, \dots, M$. Ini ditujukan dalam loop paling atas pada gambar 2.16. Transformasi a_p (bilangan acak) menjadi nilai X_p (perubah acak ke P) dapat dilakukan dengan menggunakan persamaan distribusi komulatif dari masing-masing perubah acak. Ini berarti bahwa pada loop paling atas pada gambar tersebut terdapat prosedur transformasi ini, dan untuk setiap perubah acak dihitung sendiri-sendiri sesuai dengan distribusi peluangnya (atau fkp -nya). Jika bilangan acak telah ditransformasikan menjadi nilai dari perubah acak, $FK(x)$ kemudian dihitung, ini adalah kondisi sukses (tidak gagal) dan eksperimen dilanjutkan; sedang apabila $FK(x) \geq 0$, maka ini adalah kondisi sukses (tidak gagal) dan eksperimen dilanjutkan; sedang apabila $FK(x) < 0$, maka ini dicatat dan simpan dalam n . Eksperimen ke k dilanjutkan sampai $K = N$, sesudah itu peluang kegagalan sistem/komponen dihitung sebagai n/N .



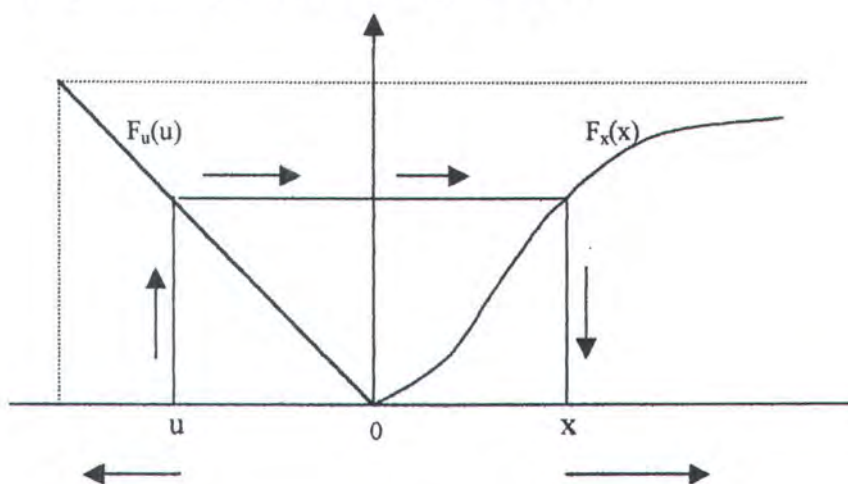
Gambar 2.16. Algoritma tipikal untuk Simulasi Monte Carlo



Transformasi bilangan acak menjadi nilai perubah acak juga dapat dilakukan secara numerik dengan prosedur intuitif berikut:

1. Untuk X_p dengan fungsi kerapatan peluang yang diketahui f_{kp} , bagilah rentang X_p menjadi I interval yang sama sepanjang dx .
2. hitung luas tiap pias (ini akan menghasilkan peluang X_p memiliki harga dalam interval i , yaitu sebesar P_i) dengan mengalikan interval dx dengan tinggi f_{kp} pada X_i . Untuk setiap a_p , yang keluar dari RNG, maka a_p diperbandingkan dengan batas interval yang sesuai. Apabila $P_i < a_p < P_{i+1}$, maka a_p "dipahami" (ditransformasikan) sebagai X_i .

Disamping itu, transformasikan dari bilangan acak ke nilai perubah acak dapat dilakukan secara analitik, berdasarkan fungsi distribusi komulatif perubah acak tersebut. Oleh karena fungsi distribusi komulatif (fdk) dari suatu perubah acak X merupakan fungsi kontinyu dan monotonik dari X , maka nilai $F_x(x)$ dapat dipakai sebagai alat transformasi dari nilai bilangan acak u menjadi nilai perubah acak, x , sebagaimana digambarkan pada gambar 2.17.



Gambar 2.17. Hubungan bilang acak yang mengikuti distribusi uniform dengan perubah acak X yang memiliki fungsi distribusi komulatif $F_x(x)$.

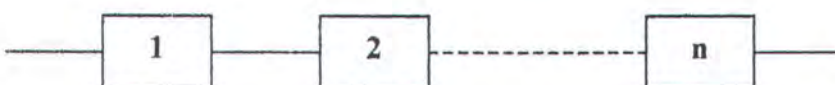


Sebagaimana ditunjukkan pada gambar di atas, oleh karena $u = g(x) = F_x(x)$ merupakan fungsi yang tidak memiliki elemen yang menurun (*non-decreasing function*), maka untuk sembarang nilai u diantara 0 dan 1, fungsi inverse $x = \xi(u)$ dapat didefinisikan sebagai nilai x terkecil yang memenuhi persamaan $F_x(x) \geq u$ (berdasarkan definisi quantil dalam fungsi distribusi kamulatif). Sehingga dapat didefinisikan bahwa nilai bilangan acak diambil sebagai nilai dari quantil, $u = F_x(x)$, sedemikian sehingga nilai perubah acak dapat ditentukan (setelah fungsi distribusi komulatifnya dipunyai).

2.2.10 Keandalan Sistem

2.2.10.1 Sistem seri

Dari aspek kegagalan, sebuah system dikatakan seri apabila kegagalan salah satu komponen penyusunnya sudah cukup untuk menyebabkan kegagalan sebagian atau keseluruhan system tersebut. Dari sudut keandalan, seluruh komponen harus berfungsi supaya sistem dapat berfungsi. System seperti ini disebut juga *weakest-link system*. Sebuah mata rantai adalah contoh termudah dari sebuah system seri. Kegagalan satu mata rantai sudah cukup untuk menjadikan rantai tersebut tidak berfungsi sama sekali. Secara grafis, system seri seperti ini dilukiskan sebagai berikut:



Gambar 2.18. Representasi grafis sebuah system seri dengan n -komponen

Untuk system dengan dua komponen seri masing-masing dengan peluang kesuksesan (keandalan) K_1 dan K_2 , keandalan system tersebut adalah



$K_S = K_1 K_2$. Apabila system tersebut tersusun n-komponen secara seri, maka keandalan sistemnya adalah :

$$K_S = K_1 K_2 \dots K_n \quad (2.68)$$

Dengan memperhatikan persamaan diatas, maka dapat dipahami bahwa semakin banyak komponen dalam sebuah sistem seri, keandalan system itu menurun.

2.2.10.2 Sistem Paralel Aktif

Dari aspek kegagalan, bila sebuah system memerlukan kegagalan seluruh komponen penyusunnya untuk tidak berfungsi sama sekali, maka system ini disebut sistem parallel. Dari segi keandalan, maka system seperti ini hanya memerlukan satu komponen penyusunnya yang berfungsi agar system keseluruhan tetap berfungsi. *Reliability Block Diagram* (RBD) untuk system yang *fully-redundant* seperti ini ditunjukkan oleh gambar 2.19.

Bila kegagalan komponen dapat dianggap *s-independent*, maka peluang kegagalan system parallel aktif ini adalah:

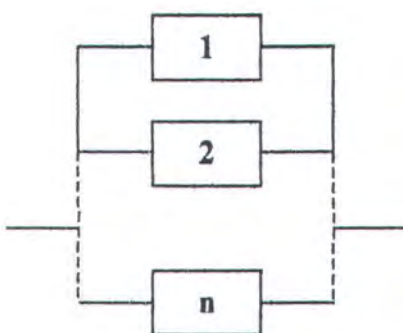
$$F_S = F_1 F_2 \dots F_n \quad (2.69)$$

Atau, bila dinyatakan dalam keandalan komponennya:

$$F_S = (1 - K_1) (1 - K_2) \dots (1 - K_n) \quad (2.70)$$

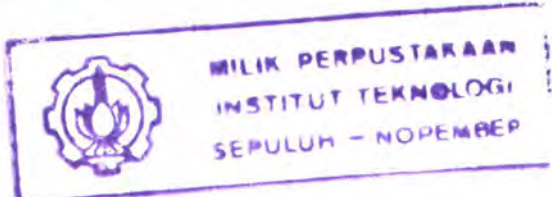
Maka keandalan sistemnya adalah:

$$K_S = 1 - [(1 - K_1) (1 - K_2) \dots (1 - K_n)] \quad (2.71)$$



Gambar 2.19. RDB untuk sistem parallel aktif dengan n -komponen

Agaknya lebih mudah untuk dipahami bahwa secara prinsip paralelisasi akan meningkatkan keandalan sistem. Namun demikian dapat dilihat pada strategi paralelisasi, bahwa peningkatan keandalan paling tinggi diperoleh pada penambahan satu komponen pertama. Sesudah itu, penambahan komponen ketiga dan selanjutnya tidak akan meningkatkan keandalan sistem secara memncolok sebagaimana pada pertambahan pertama.



2.2.11 Mekanisme Keruntuhan

Berbagai moda kegagalan dalam struktur tergantung pada konfigurasi bentuk dan material member, kondisi pembebanan, dan lain-lain. Untuk menilai keandalan struktur, moda kegagalan dan batas keamanan harus diberikan. Perhitungan batas keamanan untuk struktur *frame* yang terkena beban kombinasi dengan pertimbangan (Murotsu dan Christensen, 1986) :

1. Member adalah homogen dan hanya beban terpusat yang bekerja. Pada struktur frame seperti itu, bagian kritis dimana *plastic hinge* terbentuk, terdapat pada *joint* dan tempat dimana beban terpusat bekerja. Karena itu



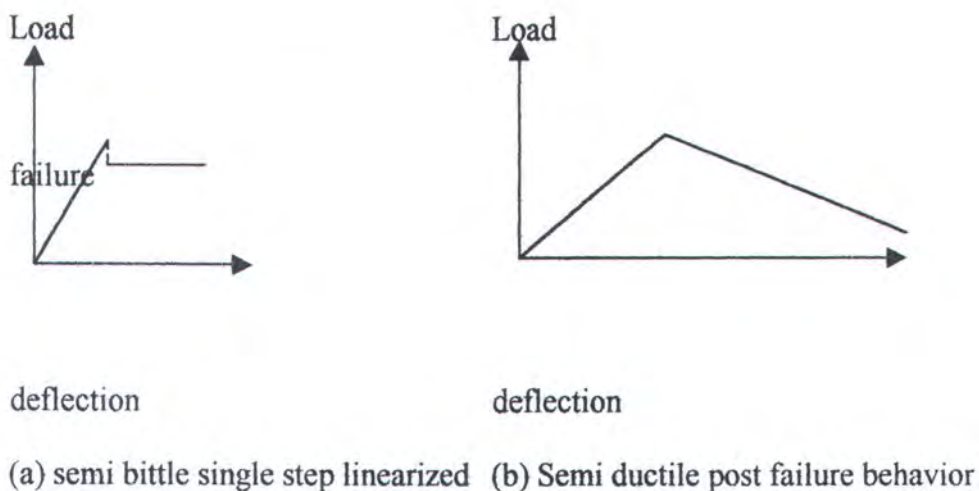
bagian yang potensial terjadi *plastic hinge* dianggap sebagai ujung member sebagai sarana analisa struktur.

2. Luluh sebagian terjadi jika fungsi *yield* sama dengan nol ($F_k = 0$). Fungsi *yield* ditentukan oleh dimensi dan tegangan luluh pada member.
3. Perlakuan secara mekanik dari material adalah *elasto-plastic* atau *elasto brittle*, dimana bagian *plastic hinge* mengikuti teori deformasi plastis.

Setiap elemen struktuk memiliki beberapa moda kegagalan. Sebuah *beam* dapat mengalami gagal *buckling* atau *bending*. Hal ini dipengaruhi oleh karakteristik material apakah *brittle* atau *ductile*.

Kegagalan elemen juga dapat terjadi pada *tubular joint*. Umumnya moda keruntuhan pada *tubular joint* adalah *buckling* pada percabangan, pada *chord* atau kelelahan pada las-lasan. Dua tipe kegagalan elemen adalah *perfectly brittle failure element* dan *perfectly ductile failure element*. *Perfectly brittle failure element* terjadi bila elemen tidak efektif setelah mengalami kegagalan dan tidak memiliki daya tahan pembebanan yang mengakibatkan keruntuhan. Jika kegagalan elemen dipertahankan oleh daya dukung elemen setelah mengalami kegagalan, disebut *perfectly ductile failure element* (Palle dan Yoshiada, 1986).

Namun dua tipe utama kegagalan diatas belum dapat menggambarkan perilaku semua jenis material. Ada beberapa moda kegagalan yang mungkin terjadi, yaitu *semi brittle single step linearized* dan *semi ductile post failure behavior* seperti terlihat pada gambar 2.20.



Gambar 2.20. Moda kegagalan elemen.

Kapasitas kekuatan penahan diberikan dengan parameter γ , dimana $0 < \gamma < 1$.

Untuk $\gamma = 0$ menyatakan perilaku *brittle*, dan untuk $\gamma = 1$ menyatakan perilaku *ductile*.

Untuk mengetahui sebuah struktur masih aman atau tidak dari keruntuhan dapat diketahui melalui besar RSR (*Reserve Strength Ratio*) struktur tersebut. Dalam API RP 2A-WSD20 subbab 17.6.2b, dijelaskan batas sebuah struktur masih aman terhadap keruntuhan, yaitu jika struktur tersebut memiliki nilai RSR ≥ 1.6 . Berikut ini adalah persamaan untuk perhitungan RSR :

$$RSR = \frac{\text{Base Shear pada kondisi beban awal}}{\text{Base Shear pada kondisi beban penyebab keruntuhan}} \quad (2.72)$$

BAB III

METODOLOGI



BAB III

METODOLOGI

3.1 Pengumpulan Data Struktur dan Lingkungan

Dalam pelaksanaan analisis struktur diperlukan data struktur dan lingkungan untuk pemodelan struktur, beban dek, *dead weight*, dan beban lingkungan melalui Metode Elemen Hingga. Data struktur dan lingkungan yang diperlukan dalam analisis ini adalah sebagai berikut:

1. Data struktur :

- *Technical drawing*, yang meliputi properti member dari tiap kaki
- *Material properties*, meliputi jenis material, *yield strength* dan *ultimate strength*
- Beban diatas dek
- Beban yang menempel pada kaki seperti *anode*.
- Koefisien hidrodinamis
- Tebal *marine growth*

2. Data lingkungan :

- Posisi/tata letak struktur
- Data gelombang
- Data angin
- Data arus

Metode Elemen Hingga merupakan suatu metode pemodelan dan analisis struktur yang lebih kompleks dan detail. Metode ini menjadikan bentuk fisik model struktur sebagai suatu sistem linier yang berkesinambungan dengan jalan



membagi bentuk fisik struktur menjadi kelompok elemen yang lebih kecil. Elemen-elemen ini dihubungkan dengan simpul-simpul (*nodes*) sehingga menjadi suatu sistem yang kontinyu. Sebagai acuan perhitungan dalam metode elemen hingga biasanya adalah *displacement method*, yaitu perpindahan dari simpul-simpul yang dianalisis dinyatakan sebagai parameter yang belum diketahui. Dengan demikian, untuk mendapatkan respon model keseluruhan diperlukan persiapan yang matang dalam pembuatan model dan memerlukan waktu perhitungan yang relatif lama.

Struktur *Jack-Up* yang akan dianalisis lebih berkonsentrasi pada struktur kaki (*leg*) yang dalam hal ini memakai bentuk rangka (*space frame*) sehingga dapat dimodifikasi konfigurasinya. Struktur kaki yang dikenal dengan *truss type* ini dibangun dari sejumlah silinder baja yang saling dihubungkan sehingga membentuk rangka batang. Tiap sambungan antara silinder baja yang satu dengan lainnya merupakan dua elemen yang berpotongan, sedangkan titik tempat terjadinya pertemuan dari elemen-elemen tersebut merupakan simpul atau sambungan (*joints*).

Pemodelan *jack-up* dapat dilakukan dengan dua cara pemodelan yaitu pemodelan *jack-up* untuk keperluan analisis global empat kaki dan pemodelan *jack-up* untuk keperluan analisis lokal satu kaki. Kedua cara pemodelan ini sangat penting dilakukan. Analisis global dilakukan untuk mengetahui respons struktur secara global yang mencakup perpindahan geladak horisontal, stabilitas struktur *jack-up*, gaya-gaya reaksi, *P-delta effect* dan lain sebagainya. Analisis lokal satu kaki dilakukan untuk mengetahui tegangan yang terjadi pada *chord* dan *brace*. Struktur *jack-up* yang terdiri dari empat kaki dan mempunyai elemen *chord* serta



brace yang begitu banyak, maka dalam melakukan analisis struktur diperlukan bantuan piranti lunak (*software*) komputer yang canggih. Software ini dapat memodelkan seluruh element tersebut.

3.2 Pengumpulan Data Variasi Tegangan dan *Ultimate Strength*

Dalam analisa keandalan, lengkapnya data merupakan modal utama agar berjalannya analisa. Pada kasus ini terdapat dua variabel dalam moda kegagalan yang memiliki variasi nilai, yaitu tegangan yang terjadi dan *ultimate strength*. Variasi data diambil berdasarkan hasil percobaan yang sudah ada untuk material yang digunakan pada *marine structures*. Variasi tegangan yang terjadi dianggap sama dengan variasi *ultimate strength*. Distribusi untuk respon beban atau tegangan adalah normal dan distribusi untuk kapasitas yaitu *ultimate strength* adalah lognormal.

3.3 Analisa Statis

Analisa statis diperlukan untuk mengetahui kondisi pembebanan yang menyebabkan timbulnya tegangan paling kritis. Beban lateral dan aksial dikombinasikan berdasarkan kondisi *Progressive Collapse Limit State* (PCLS), dimana semua koefisien beban sama dengan 1.0 pada kondisi ekstrim.

Beban-beban kombinasi yang terbentuk dari beban diatas dek dan delapan arah gelombang serta angin, kemudian dilakukan *stress check*. Dari hasil hasil *stress check* tersebut akan diketahui kondisi beban paling kritis, yang kemudian kondisi beban ini akan dijadikan acuan untuk analisa selanjutnya.



3.4 Analisa Keruntuhan (*Pushover Analysis*)

Analisa ini dilakukan untuk mengetahui beban maksimum yang dapat diterima oleh struktur sesaat sebelum runtuh. Langkah-langkah analisa ini antara lain:

1. Mengidentifikasi *incremental load* dan *constant load*.
2. Menentukan besar loading rate untuk incremental load. Selain itu, juga ditentukan besar parameter-parameter untuk analisa nonlinear seperti berikut ini yang dijadikan input pada GTSTRUDL :

```
PUSHOVER ANALYSIS DATA
CONSTANT LOAD 'CONST'
INCREMENTAL LOAD 'INV'
MAXIMUM NUMBER OF LOAD INCREMENTS 100
MAXIMUM NUMBER OF TRIALS 20
LOADING RATE 1.000000
CONVERGENCE RATE 0.200000
CONVERGENCE TOLERANCE COLLAPSE 0.002000
CONVERGENCE TOLERANCE DISPLACEMENT 0.002000
MAXIMUM NUMBER OF CYCLES 50
END
```

3. Setelah dilakukan *running* dengan input seperti diatas, akan didapatkan kondisi pembebanan yang menyebabkan struktur tersebut runtuh. Untuk memastikannya dapat dilakukan cek pada matrik kekakuan global dengan menggunakan perintah “NONLINEAR ANALYSIS” pada GTSTRUDL, dimana jika temukan determinan dari matrik kekakuan global sama dengan atau mendekati 0 (nol), maka struktur tersebut sudah dianggap runtuh.
4. Munculkan hasil tegangan yang terjadi dan regangan, kemudian dibuat grafik sebagai hubungan antara tegangan dan regangan. Dari grafik



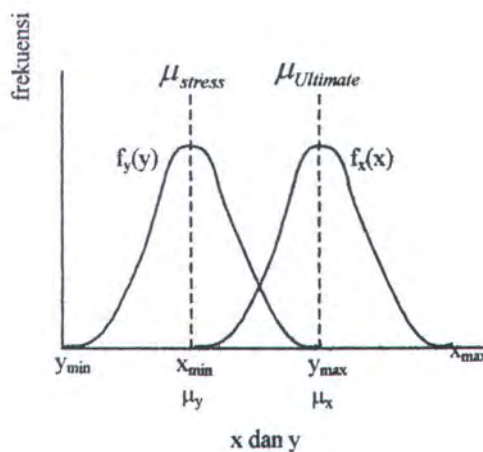
tersebut akan diketahui urutan keruntuhan member yang menyebabkan struktur runtuh secara keseluruhan.

3.5 Analisa Keandalan

Untuk mencari keandalan sistem sebuah struktur, sebelumnya harus dicari keandalan pada member-member yang menyebabkan runtuhnya keseluruhan struktur. Moda kegagalan yang digunakan adalah *combined stress*, seperti persamaan 3.1 dan 3.2 berikut ini:

$$MK = \sigma_{Ultimate} - \sigma_{awal} , \text{ jika } m = 1 \quad 3.1$$

$$MK = \sigma_{Ultimate} - \sigma_{m-1} , \text{ jika } m = 2, 3, 4, \dots \quad 3.2$$



Gambar 3.1. Fungsi kerapatan peluang untuk tuntutan dan kapasitas

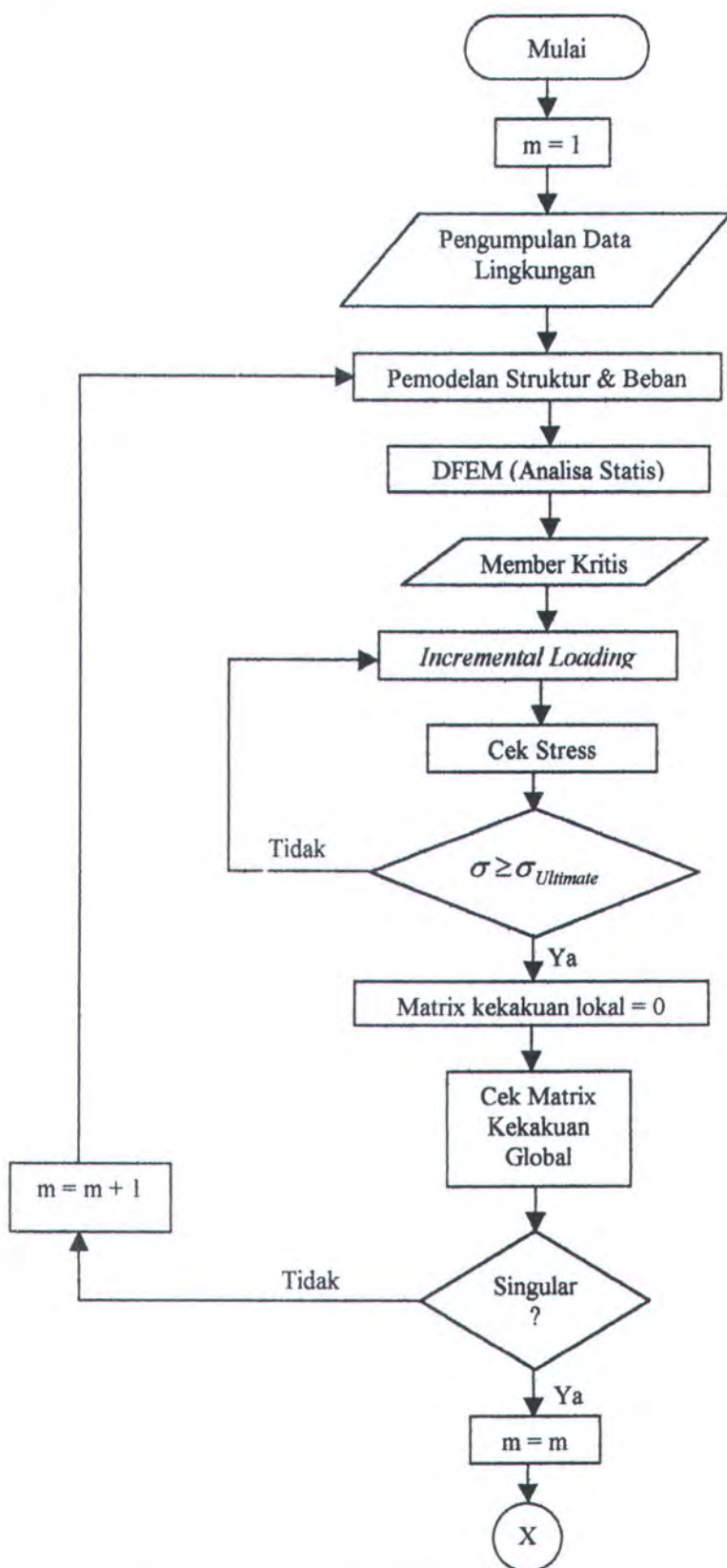


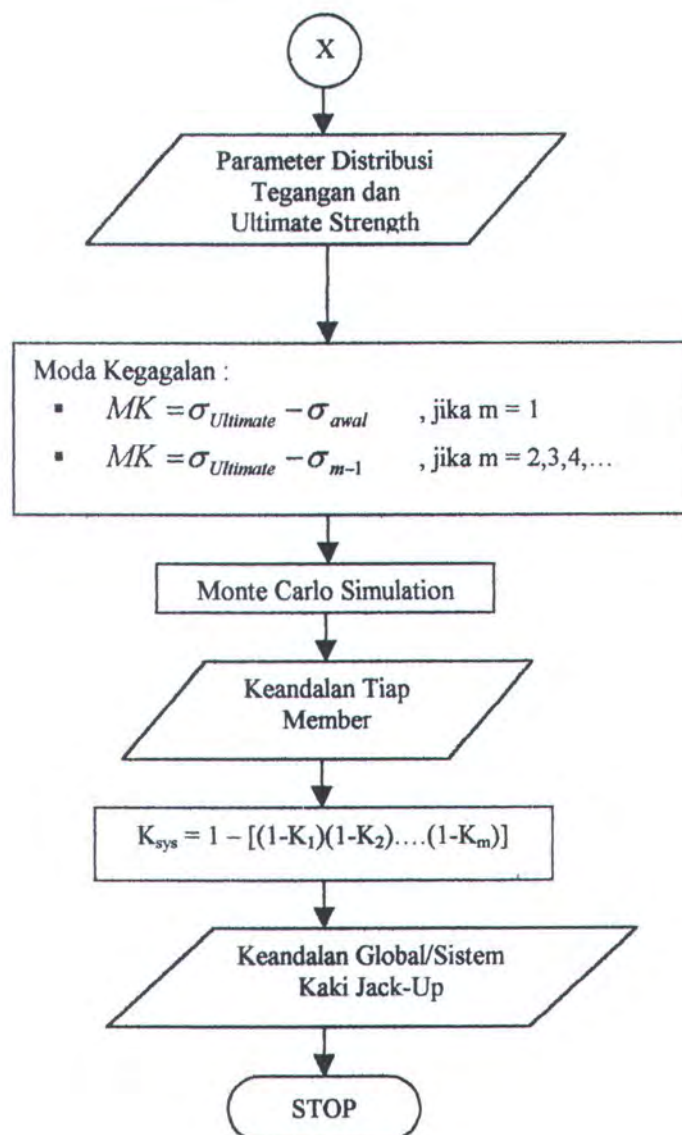
Kemudian moda kegagalan tersebut disimulasikan melalui *Monte Carlo Simulation* (MCS) untuk mendapatkan keandalan. Member runtuh pada urutan pertama, sebagai input moda kegagalan adalah tegangan yang digunakan pada kondisi beban awal. Member runtuh kedua, besar tegangan yang digunakan adalah pada kondisi beban yang menyebabkan member runtuh pada urutan pertama. Dan begitu selanjutnya untuk member runtuh pada urutan ketiga dan seterusnya.

Dari keandalan tiap member yang runtuh dapat diketahui keandalan sistem struktur dengan menghubungkan secara seri dan paralel, seperti yang dijelaskan pada persamaan 2.68 dan 2.70. Member-member yang runtuh secara bersama-sama dihubungkan secara parallel, sedangkan member-member yang runtuh pada kondisi pembebanan yang berbeda dihubungkan secara paralel.

3.6 Bagan Alir Metodologi Penelitian

Untuk lebih jelas mengenai metodologi penelitian ini, berikut akan disajikan dalam bagan alir.





Gambar 3.2. Bagan alir metodologi penelitian

BAB IV
ANALISA HASIL DAN
PEMBAHASAN



BAB IV

ANALISA HASIL DAN PEMBAHASAN

4.1 Data Untuk Analisa

4.1.1 Data Struktur

Struktur Hang Tuah merupakan bangunan lepas pantai jenis MOgPU (*Moveable Gas Production Unit*) yang termasuk dalam struktur *Jack-Up*.

Spesifikasi dari struktur Hang Tuah ini adalah sebagai berikut :

1. Jenis struktur : *Jack-up* 4 kaki
2. Type kaki : 3 *chord*
3. Type brace : K *brace*
4. Panjang kaki : 110,5 m
5. Jumlah bay : 15 bay
6. Ukuran geladak : 80 m x 38 m
7. Pondasi : *base-type*

Tabel 4.1. Ukuran *Chord* (gambar 4.3) Struktur Hang Tuah (MOgPU)

NO	ELEVASI (m)	DIAMETER LUAR (OD) (m)	THICKNESS (m)
1	-83,1 s/d -71,5		
	▪ Chord 1	1,000	0,044
	▪ Chord 2 & 3	1,000	0,05
2	-71,5 s/d -62,9		
	▪ Chord 1	1,000	0,03
	▪ Chord 2 & 3	1,000	0,035
3	-62,9 s/d -54,3		
	▪ Chord 1	1,000	0,03
	▪ Chord 2 & 3	1,000	0,03
4	-54,3 s/d -45,7		
	▪ Chord 1	1,000	0,03
	▪ Chord 2 & 3	1,000	0,03



NO	ELEVASI (m)	DIAMETER LUAR (OD) (m)	THICKNESS (m)
5	-45,7 s/d -37,1 ▪ Chord 1 ▪ Chord 2 & 3	1,000 1,000	0,03 0,03
6	-37,1 s/d -28,5 ▪ Chord 1 ▪ Chord 2 & 3	1,000 1,000	0,03 0,03
7	-28,5 s/d -19,9 ▪ Chord 1 ▪ Chord 2 & 3	1,000 1,000	0,03 0,03
8	-19,9 s/d -11,3 ▪ Chord 1 ▪ Chord 2 & 3	1,000 1,000	0,03 0,03
9	-11,3 s/d -2,7 ▪ Chord 1 ▪ Chord 2 & 3	1,000 1,000	0,03 0,035
10	-2,7 s/d +5,9 ▪ Chord 1 ▪ Chord 2 & 3	1,000 1,000	0,03 0,044
11	+5,9 s/d +12,4 ▪ Chord 1 ▪ Chord 2 & 3	1,000 1,000	0,03 0,06
12	+12,4 s/d +18,9 ▪ Chord 1 ▪ Chord 2 & 3	1,000 1,000	0,03 0,06
13	+18,9 s/d +25,4 ▪ Chord 1 ▪ Chord 2 & 3	1,000 1,300	0,03 0,06
14	+25,4 s/d +31,9 ▪ Chord 1 ▪ Chord 2 & 3	1,000 1,300	0,03 0,06
15	+31,9 s/d +38,4 ▪ Chord 1 ▪ Chord 2 & 3	1,000 1,300	0,03 0,06

Sumber: Hang Tuah Platform – Drawings Doc., 1999

4.1.2 Data Lingkungan

Kondisi lingkungan tempat beroperasinya bangunan lepas pantai sangat mempengaruhi kinerja struktur, maka data lingkungan sangat penting. Data lingkungan di perairan Laut Cina Selatan tempat beroperasinya struktur Hang Tuah (MOgPU) ini adalah sebagai berikut :



1. Lokasi : Laut Cina Selatan (Perairan Natuna Block "B")
2. Koordinat : E $5^{\circ}44',225$
N $4^{\circ}58',673$
3. Kedalaman : 83,1 m
4. Data gelombang :

Tabel 4.2. Data Gelombang

DIRECTION FROM PLATFORM NORTH	WAVE CONDITION			
	Operating Condition (1 year events)		Extreme Condition (100 year events)	
	Height (m)	Period (sec)	Height (m)	Period (sec)
North	4.9	7.8	9.2	9.8
North-East	4.9	7.8	9.2	9.8
East	2.0	5.1	3.4	6.7
South-East	3.2	6.5	6.0	8.5
South	4.9	7.8	9.2	9.8
South-West	4.9	7.8	9.2	9.8
West	2.0	5.1	3.8	7.1
North-West	3.2	6.5	6.0	8.5

Sumber: Hang Tuah Platform – Weight Control Report (September 2002)

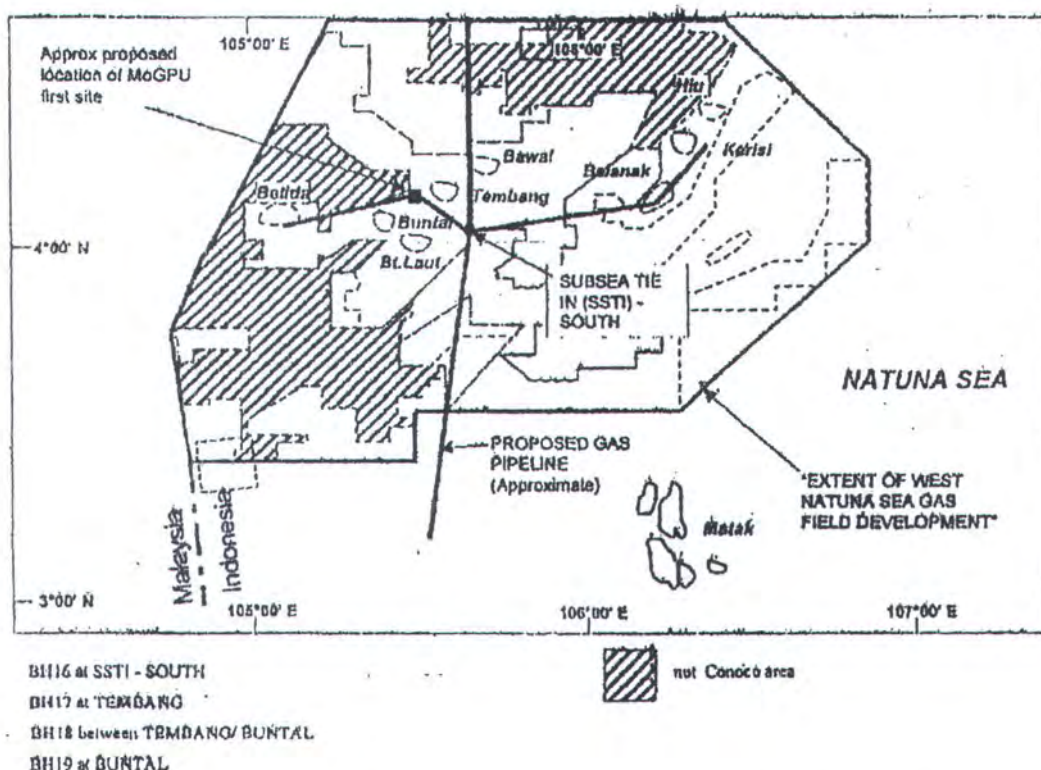
5. Koefisien hidrodinamis :

Tabel 4.3. Data Koefisien Hidrodinamis

ELEVASI (m)	VERTICAL MEMBER		OTHER MEMBER	
	C _D	C _M	C _D	C _M
+5.9 to +11.650	0.65	1.6	0.65	2.0
+5.9 to -83.1	1.05	1.2	1.05	2.0

Sumber: Hang Tuah Platform – Weight Control Report (September 2002)

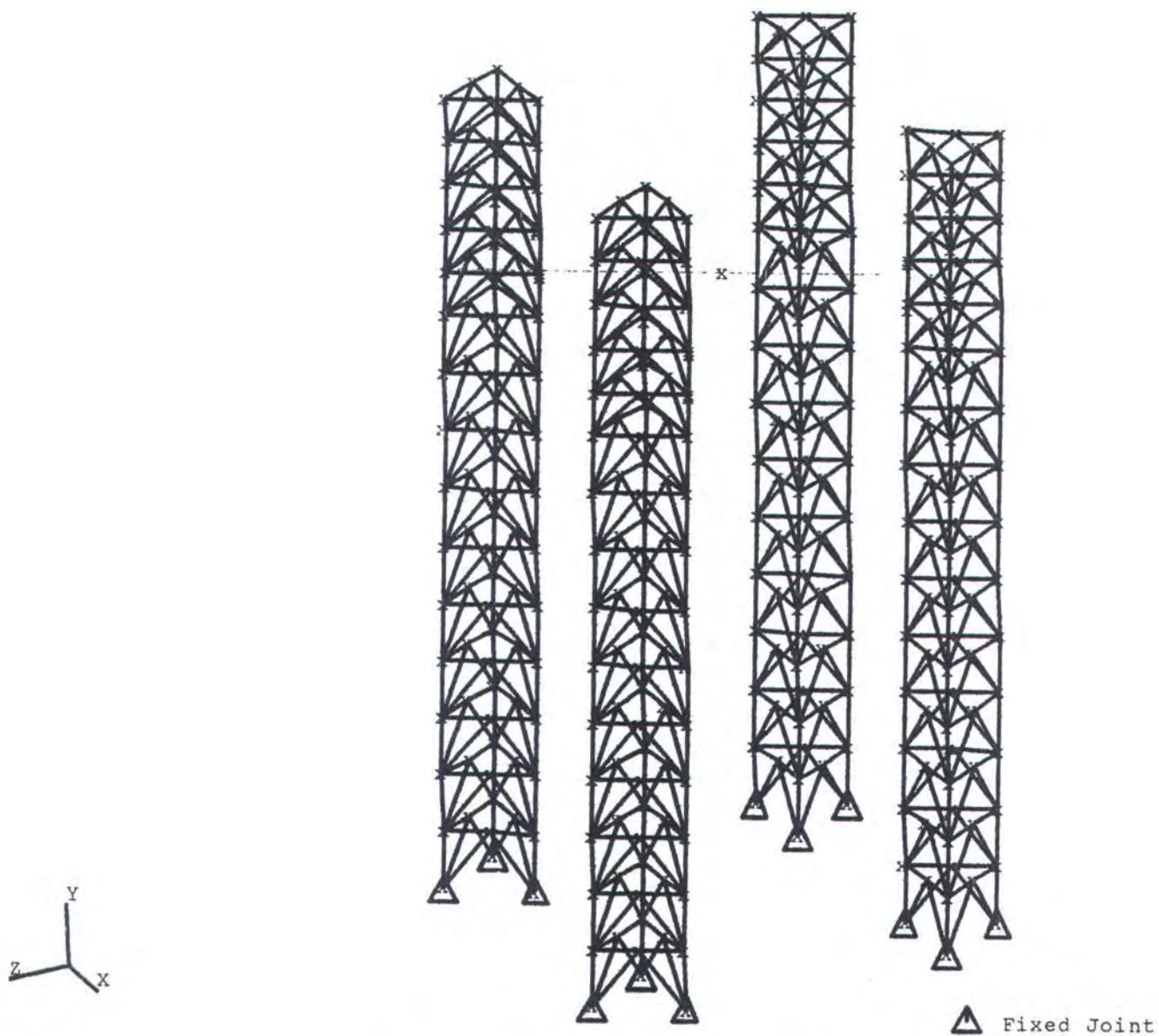
6. Densitas air laut = 1025 kg/m^3



Gambar 4.1. Lokasi Struktur Hang Tuah (MOgPU) (ACE MOgPU for West Natuna, Doc. 84502-5000-6D-01-0)

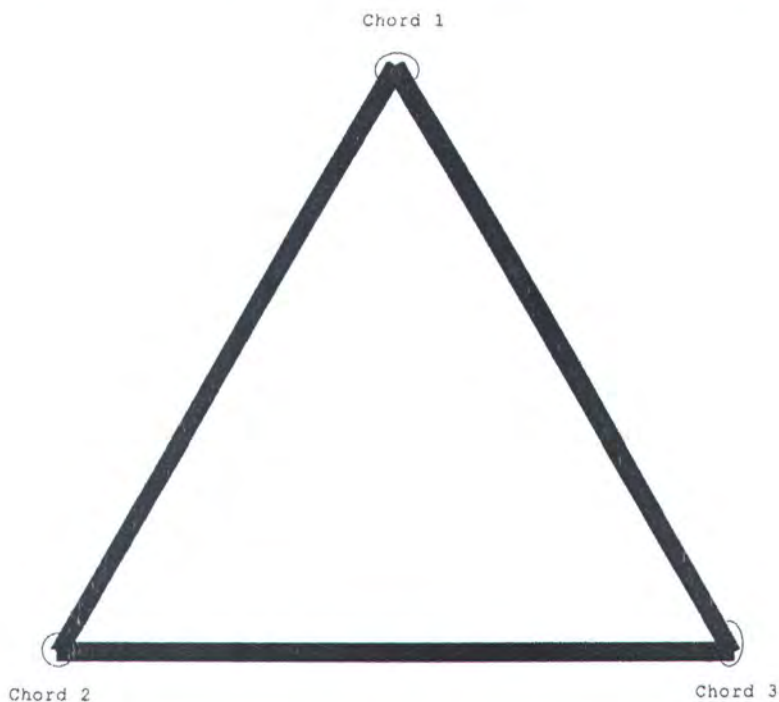
4.2 Pemodelan Struktur

Pemodelan struktur ini sesuai dengan data yang didapat baik dalam bentuk gambar maupun dalam bentuk laporan. Pemodelan struktur ini menggunakan bantuan *software* GT Strudl dan GT Selos. *Software* ini merupakan salah satu *software* struktur yang berdasarkan *finite element method* (FEM). Bentuk model detail dapat dilihat pada gambar 4.2 berikut ini :

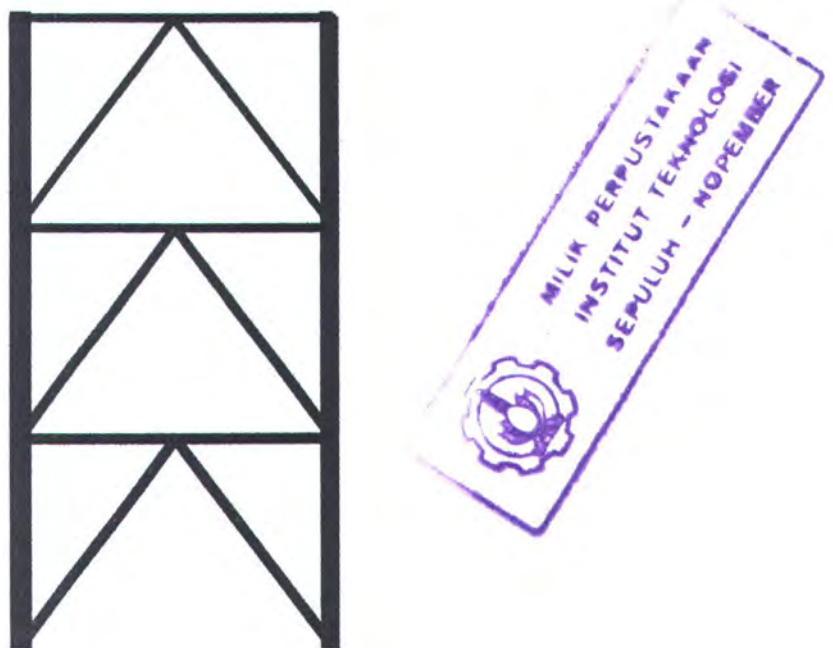


Gambar 4.2. Model Detail Struktur Hang Tuah (MOgPU)

Type *chord* serta type *brace* yang digunakan dapat dilihat pada gambar 4.3 dan gambar 4.4 berikut ini :



Gambar 4.3. Model Chord (3 Chord) Struktur Hang Tuah (MOgPU)



Gambar 4.4. Model Brace (K-Brace) Struktur Hang Tuah (MOgPU)



4.2.1 Pemodelan Struktur Kaki

Struktur kaki untuk struktur Hang Tuah (MOgPU) ini dimodelkan secara *detail model* (gambar 4.2) sesuai dengan data gambar yang ada. Kaki jack-up bagian bawah dibuat sebagai tumpuan *fixed*, hal ini dimaksudkan sebagai pengganti pondasi struktur yang berbentuk *base*. Pemodelan struktur kaki ini menggunakan bantuan *software* GT Strudl. Input data yang dimasukkan untuk pemodelan struktur kaki ini adalah :

1. Dimensi kaki, yang terdiri dari :
 - a. Panjang kaki : 118.5 m
 - b. Diameter luar (O.D.) *chord* : 1 m & 1,3 m
 - c. Diameter luar (O.D.) *brace* : - Horizontal : 0,356 m – 0,508 m
(horizontal dan diagonal) - Diagonal : 0,324 m – 0,406 m
 - d. Tebal *chord* : 0,03 m – 0,06 m
 - e. Tebal *brace* : - Horizontal : 0,013 m – 0,0381 m
(horizontal dan diagonal) - Diagonal : 0,0127 m – 0,0255 m
 - f. Jarak tiap *bay* : 6,5 m & 0,86 m
2. Jenis material : material baja A36,
 $\text{Yield Strength} = 24.821 \text{ Mpa}$
 $\text{Tensile/Ultimate Strength} = 400 – 551.58 \text{ Mpa}$

4.2.2 Pemodelan Struktur Geladak

Struktur geladak dimodelkan dengan menggunakan bentuk *rigid body*. Pemodelan dengan bentuk *rigid body* digunakan karena struktur geladak diasumsikan tidak mengalami deformasi selama fase transportasi maupun pada fase operasi.



diasumsikan tidak mengalami deformasi selama fase transportasi maupun pada fase operasi.

Model dengan *rigid body* ini terbentuk dari 2 (dua) bagian *joint*, yaitu *master joint* dan *slave joint*. *Master joint* adalah merupakan titik berat benda *rigid*, sedangkan *slave joint* adalah *joint-joint* pembentuk benda *rigid*. *Master joint* pada pemodelan struktur Hang Tuah (MOgPU) terletak pada titik berat struktur, yaitu tepat di tengah-tengah struktur, sehingga beban pada struktur geladak terbagi sama besar pada tiap kakinya. *Slave joint* pada pemodelan struktur Hang Tuah (MOgPU) ini terletak pada titik *connection deck-leg* di kaki struktur. Pemodelan struktur geladak ini menggunakan bantuan *software* GT Strudl, dengan input data yang dipakai adalah sebagai berikut :

1. Jenis *rigid body* : *rigid solid*
2. *Slave Joint*
3. *Master Joint*

4.2.3 Pemodelan Struktur Pondasi

Pondasi struktur Hang Tuah (MOgPU) menggunakan pondasi *base*. Model pondasi ini diletakkan meletak pada dasar laut dan menjepit kaki *jack-up*. Pada penelitian ini struktur pondasi tidak dimodelkan secara detail. Pondasi struktur Hang Tuah (MOgPU) dimodelkan sebagai tumpuan *fixed* pada tiap kaki struktur, seperti terlihat pada gambar 4.2.



4.3 Pemodelan Beban

4.3.1 Pemodelan Beban Vertikal

Beban vertikal yang dipakai pada pemodelan struktur Hang Tuah (MOgPU) adalah berat geladak, beban peralatan dan beban *live load* (tabel 4.4).

Beban vertikal ini dimodelkan sebagai beban terpusat pada *master joint* yang terletak pada titik tengah *rigid body*. Beban vertikal ini oleh *master joint* akan didistribusikan secara merata pada tiap kaki struktur, sehingga besar beban yang diterima oleh masing-masing kaki adalah sama.

Tabel 4.4. Data Beban Vertikal

NO	JENIS BEBAN	BERAT (ton)
1	Deck	2784
2	Topside (dry)	2420
3	Topside (operating)	3351
4	Live load	300
5	Anode	85,248

Sumber: Hang Tuah Platform – Weight Control Report (September 2002)

Beban vertikal serta besar beban yang dipakai pada pemodelan untuk masing-masing analisis berbeda tergantung pada kondisi yang dipakai. Pemodelan beban vertikal ini menggunakan bantuan *software* GT Strudl. Pemodelan beban vertikal untuk tiap kondisi analisis dapat dilihat pada tabel 4.5 sampai tabel 4.7 berikut ini.



Tabel 4.5. Beban Vertikal

NO	JENIS BEBAN	BERAT (ton)	LOAD/ LEG (ton)	LOAD/ CHORD (ton)
1	Deck	2784	696	232
2	Topside weight (dry)	2420	605	201.67
	TOTAL	5204	1301	433.67

Tabel 4.6. Beban Vertikal untuk Analisis pada Kondisi Operasional

NO	JENIS BEBAN	BERAT (ton)
1	Deck	3062
2	Topside weight (operating)	4750
3	Live Load	300
4	Anode	85,248
	TOTAL	8197,248

Tabel 4.7. Beban Vertikal untuk Analisis pada Kondisi *Extreme* (badai)

NO	JENIS BEBAN	BERAT (ton)
1	Deck	3062
2	Topside weight (dry)	3400
3	Live Load	300
4	Anode	85,248
	TOTAL	6847,248

4.3.2 Beban Lingkungan

4.3.2.1 Penentuan Teori Gelombang

Langkah awal perhitungan beban gelombang adalah menentukan terlebih dahulu teori gelombang yang sesuai dengan kondisi di lingkungan lokasi Laut Cina Selatan. Teori gelombang di Laut Cina Selatan di *check* berdasarkan



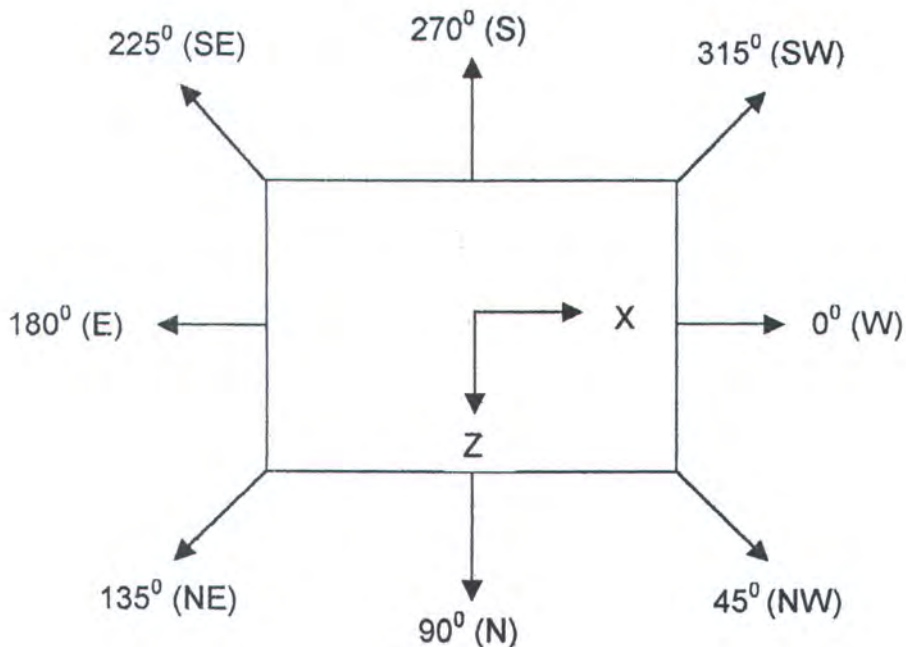
perhitungan dengan menggunakan grafik *region of validity* pada gambar 2.3.

Berdasarkan data lingkungan yang ada didapatkan nilai :

$$\frac{d}{gT^2} = \frac{83,1}{9,81(7,8)^2} = 0,139$$

$$\frac{H}{gT^2} = \frac{4,9}{9,81(7,8)^2} = 0,0082$$

berdasarkan nilai diatas maka teori gelombang yang digunakan adalah teori gelombang Stokes orde 5. Orientasi pemodelan arah beban gelombang dapat dilihat pada gambar 4.5 berikut ini :



Gambar 4.5. Orientasi Arah Gelombang dalam Pemodelan



4.3.2.2 Perhitungan Beban Gelombang

Perhitungan beban gelombang ini menggunakan bantuan *software* GT Selos dengan berdasarkan pada teori Morrison. Perhitungan beban gelombang pada silinder menggunakan rumus pada persamaan 2.16 dan 2.24.

4.3.2.3 Perhitungan Beban Angin

Perhitungan beban angin menggunakan bantuan *software* GT Selos dengan berdasarkan pada data lingkungan dan variasi nilai berdasarkan ABS (*American Bureau of Shipping*).

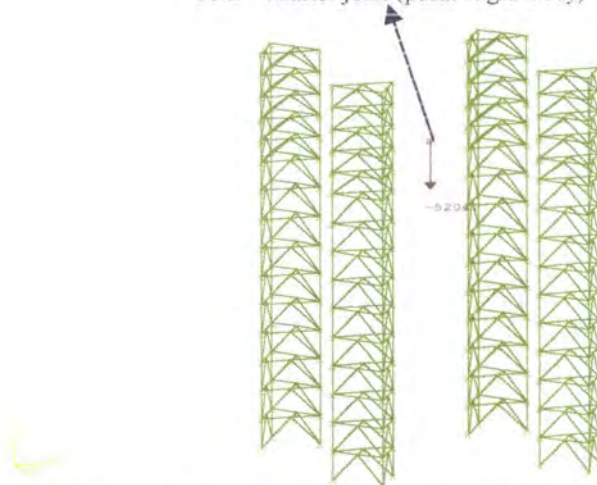
4.3.2.4. Beban Kombinasi

Pada analisa keruntuhan, beban yang mengalami pertambahan adalah beban lingkungan, oleh karena itu beban lingkungan terbesar yang dipakai untuk pembebanan awal yaitu pada kondisi badai (storm). Pada kasus ini, beban kombinsi yang dipakai adalah *Progressive Collapse Limit State* (PCLS), dimana faktor pengali (koefisien) setiap jenis beban adalah 1,0.

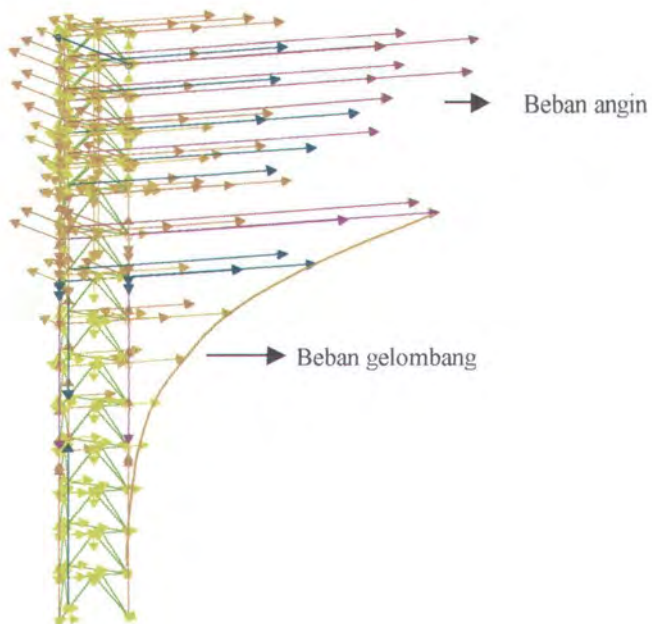
4.4 Analisa Statis

Berikut ini adalah ilustrasi beban yang menghasilkan stress maksimum:

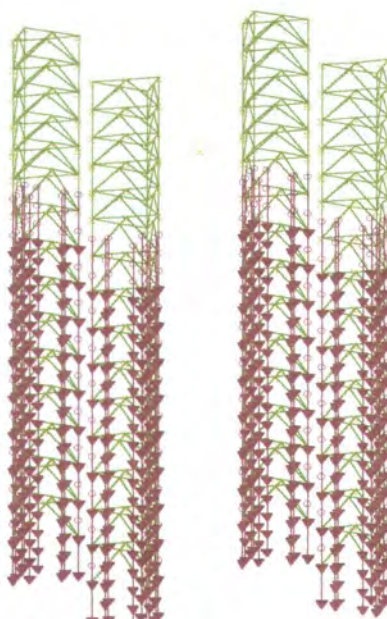
CoG = Master joint (pusat Rigid Body)



Gambar 4.6. Beban dek sebagai pengganti berat struktur deck pada CoG dek dan peralatan di Master Joint sebesar 5204 Ton



Gambar 4.7. Beban gelombang dan angin pada salah satu kaki



Gambar 4.8. Beban anode



Dengan beban kombinasi pada analisa statis, diperoleh member dengan *unity check* terbesar berdasarkan parameter dari APIWSD 20th beserta kondisi arah pembebanan gelombang dan angin (tabel 4.8).

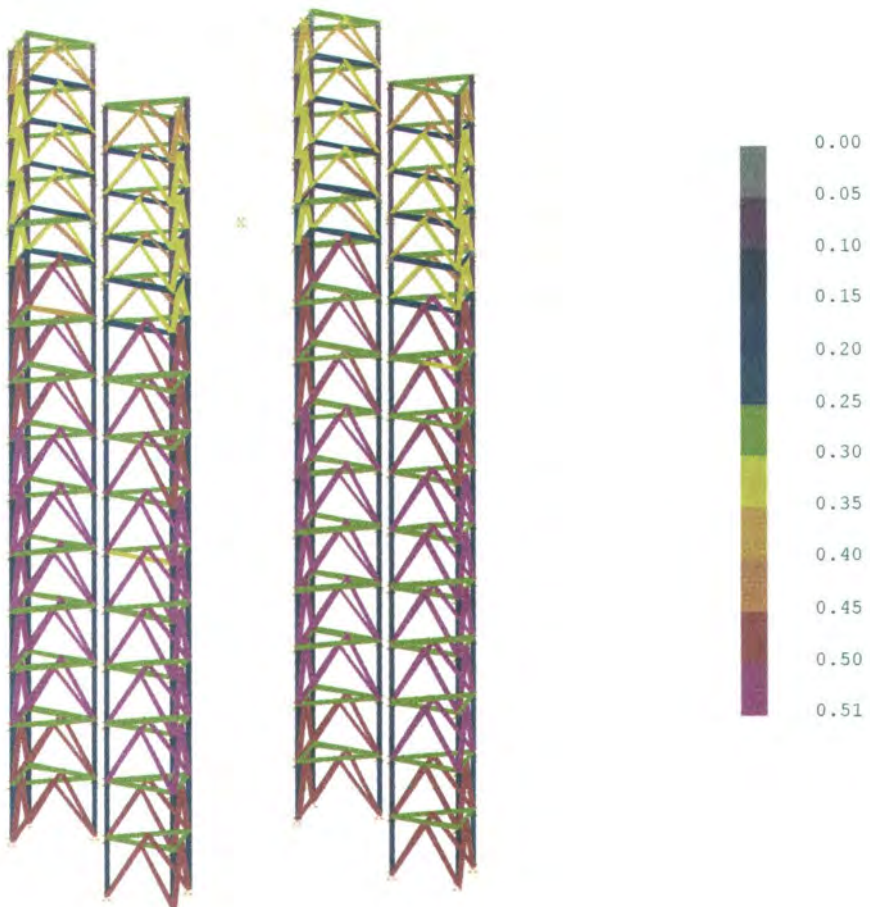
Tabel 4.8. Member-member kristis yang didapat dari berbagai arah pembebanan gelombang.

ARAH GELOMBANG	MEMBER PALING KRITIS	UNITY CHECK
E	TD7170	0.57677
N	TD7174	0.60921
NE	TD7170	0.57176
NW	TD6968	0.56927
S	TD7624	0.60912
SE	TD7418	0.56971
SW	TD7620	0.57118
W	TD7620	0.57617

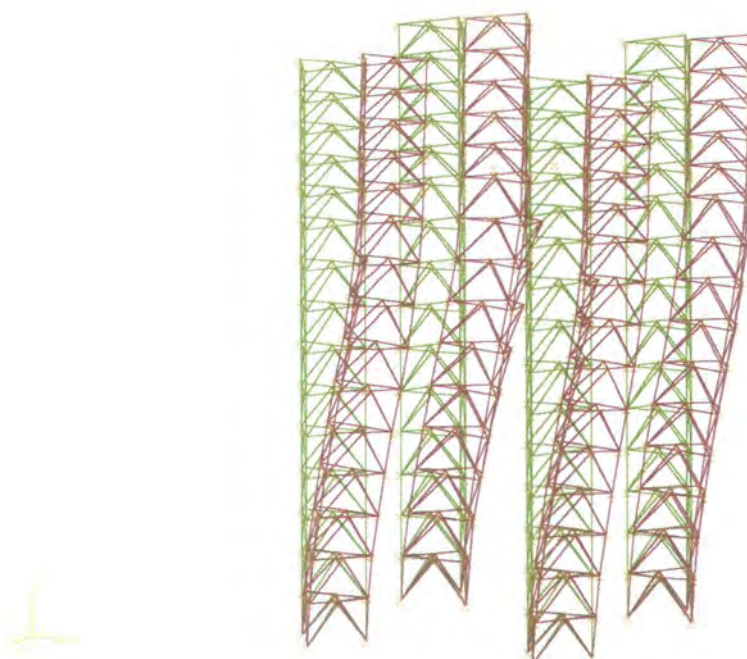
kondisi beban maksimal yaitu pada kondisi ekstrim dengan arah gelombang dan angin 90° atau ke arah Utara. Untuk analisa lebih lanjut, yaitu analisa keruntuhan, perlu didapatkan member kristis akibat beban gelombang dan angin pada kondisi pembebanan maksimum yaitu pada saat gelombang dan angin ke arah Utara. Metode ini digunakan karena penambahan beban (*incremental load*) hanya pada beban lingkungan, jadi perlu diketahui *member* yang memiliki tegangan terbesar karena kontribusi beban lingkungan (tabel 4.9). Berikut ini Gambar 4.9 dan 4.10 menjelaskan hasil *stress check* dan deformasi struktur akibat beban lingkungan.

Tabel 4.9. 10 Member dengan unity check terbesar akibat beban lingkungan

MEMBER	BEBAN	UNITY CHECK
TD7655	ENV	0.51387
TD6984	ENV	0.51387
TD7439	ENV	0.51387
TD7212	ENV	0.51387
TD7655	ENV	0.51387
TD6996	ENV	0.51387
TD7002	ENV	0.51386
TD6990	ENV	0.51386
TD7224	ENV	0.51386
TD7206	ENV	0.51386



Gambar 4.9. Ilustrasi hasil Stress Check dan analisa statis

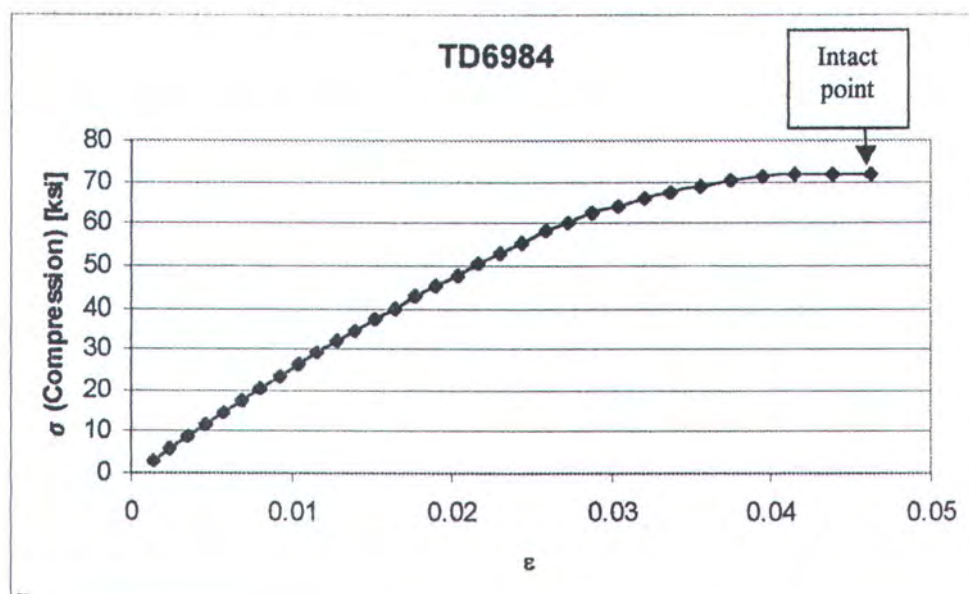


Gambar 4.10. Ilustrasi deformasi struktur MOgPU

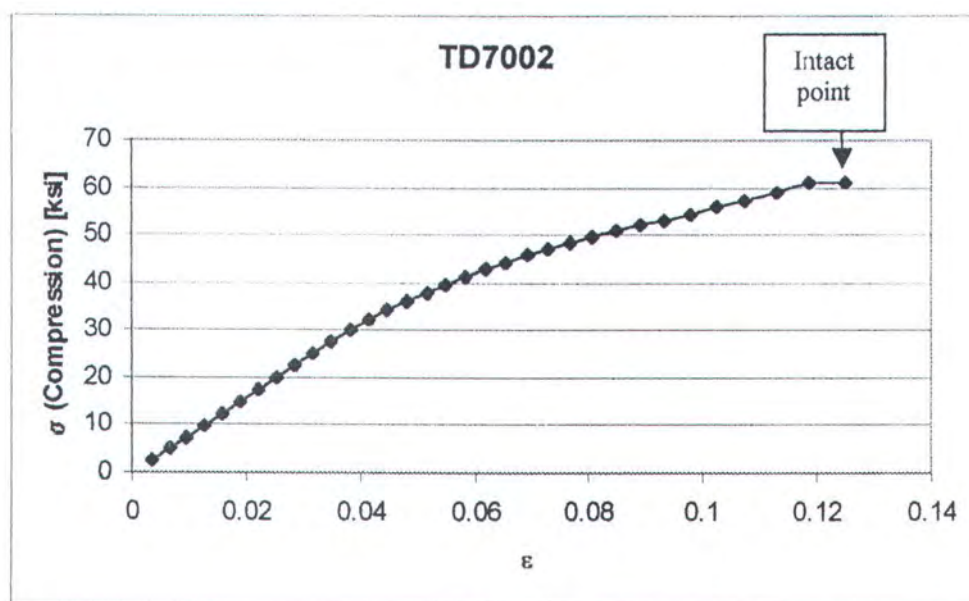
4.5 Pushover Analysis

Analisa ini untuk mengetahui mekanisme keruntuhan struktur dan mencari rasio kekuatan sisa (*Reserve Strength Ratio/RSR*) yang dimiliki struktur. Dalam GTSTRUDL, sebagai input untuk *pushover analysis* adalah *incremental load* dan *constant load*. *Incremental load* dikalikan dengan faktor beban kemudian dikombinasikan dengan *constant load*. Penamaan beban kombinasi ini diberi inisial ‘PAIN001’ sampai dengan ‘PAIN00n’.

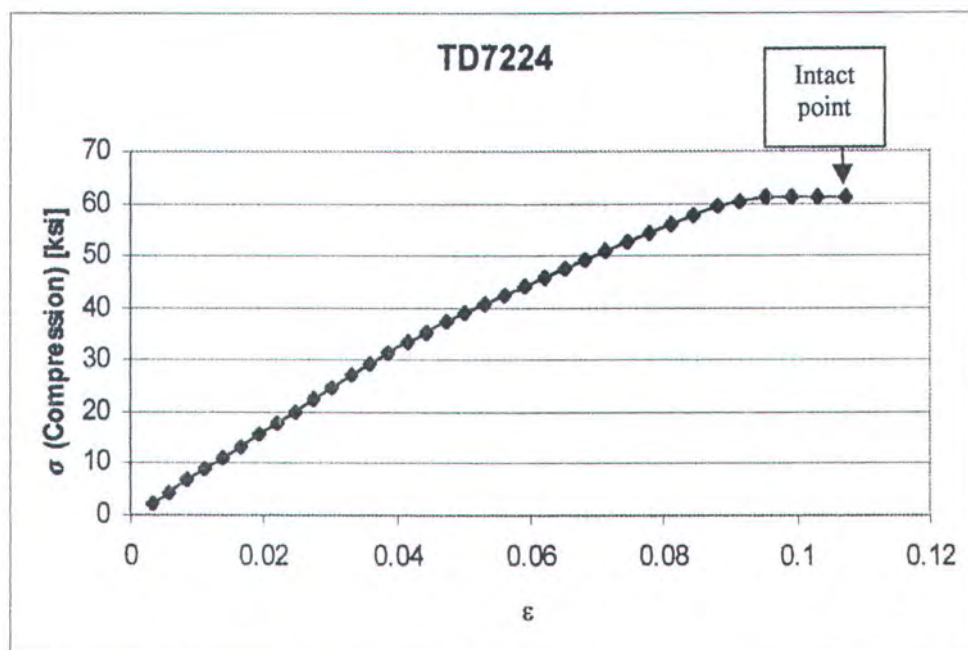
Langkah-langkah untuk pushover analysis yang sudah dijelaskan pada sub bab 3.5, dihasilkan grafik (gambar 4.11) hubungan antara tegangan dan regangan untuk member-member yang runtuh dan mengakibatkan keruntuhan seluruh struktur.



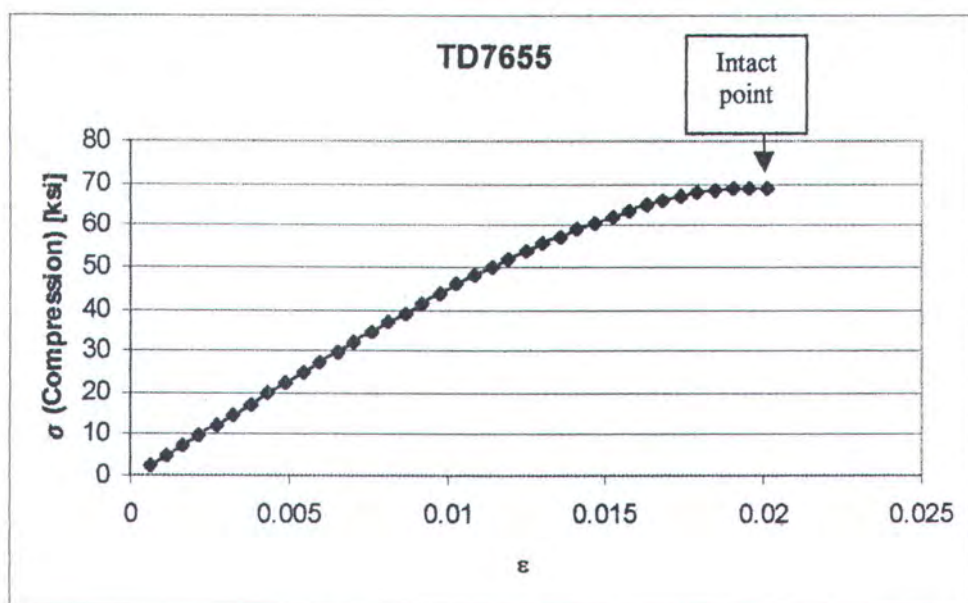
(a)



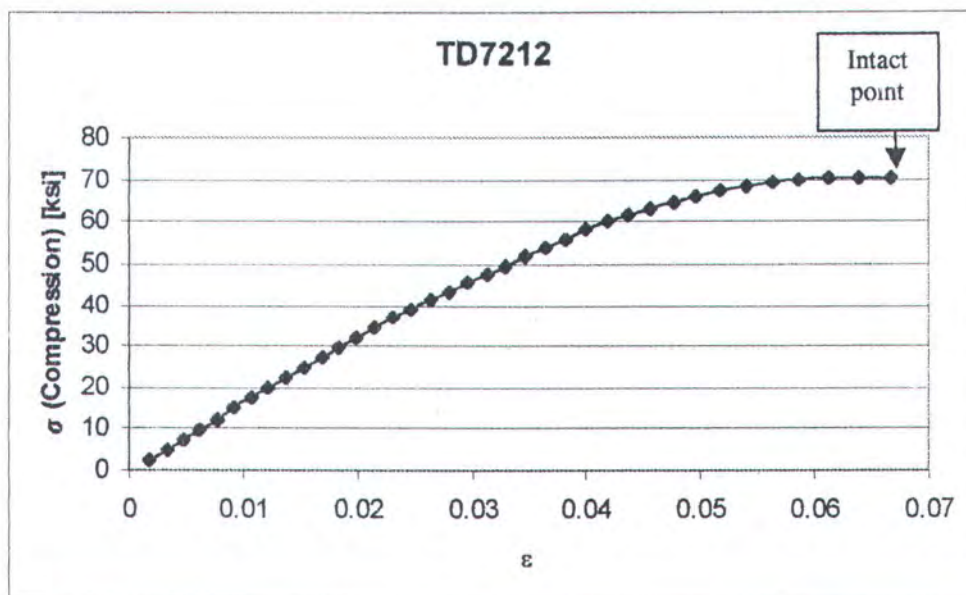
(b)



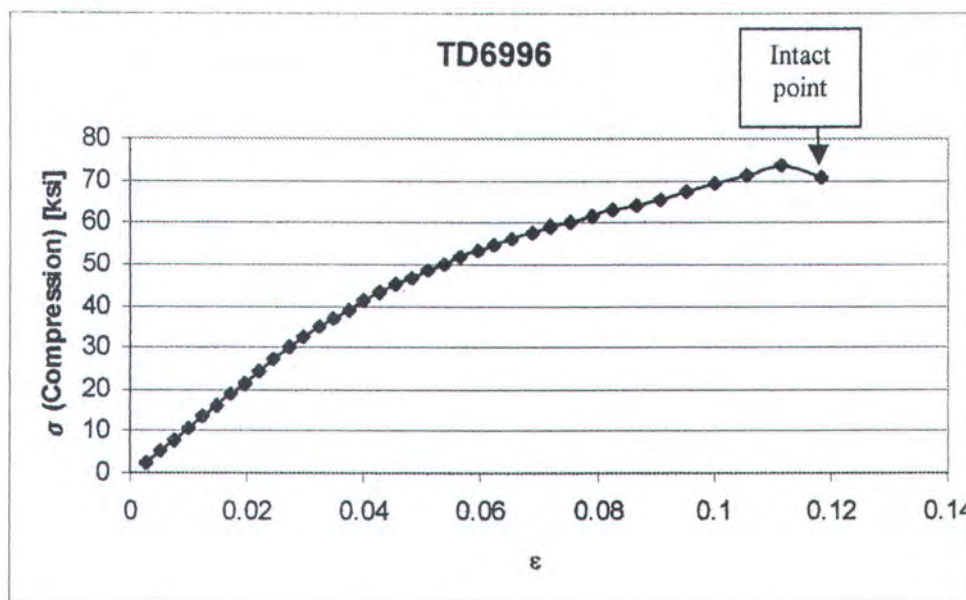
(c)



(d)

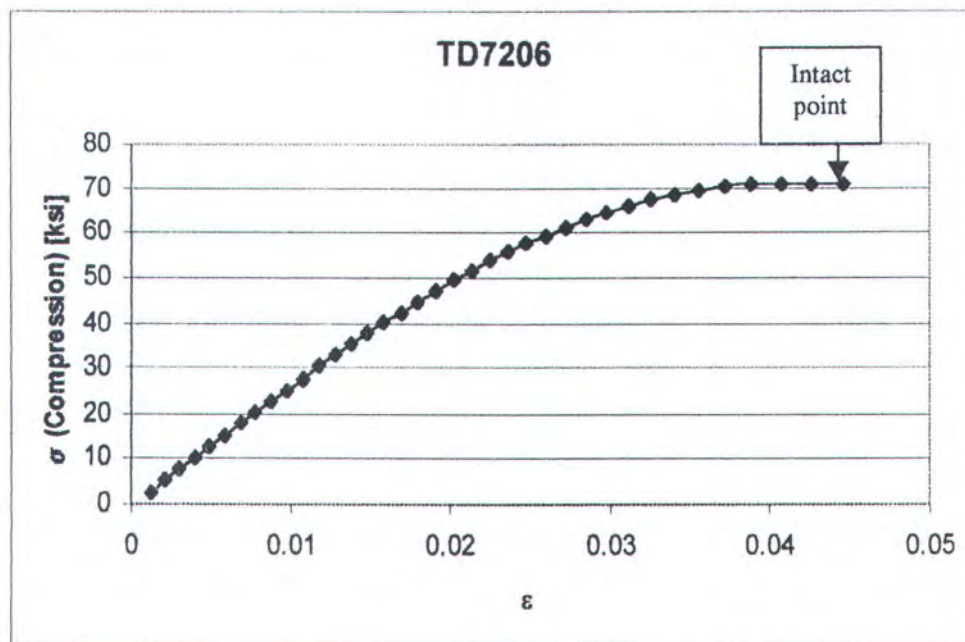


(e)

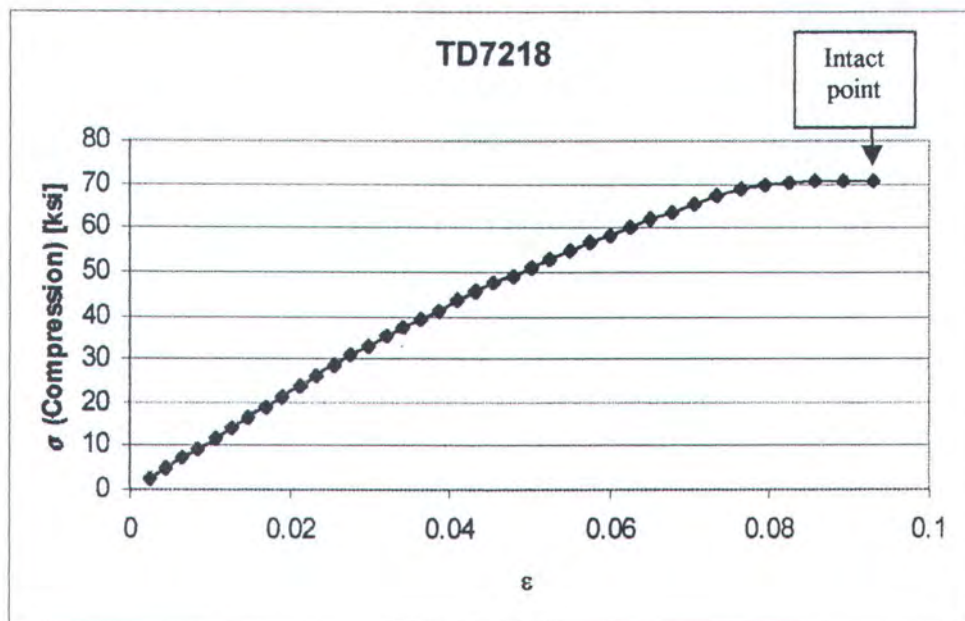


(f)

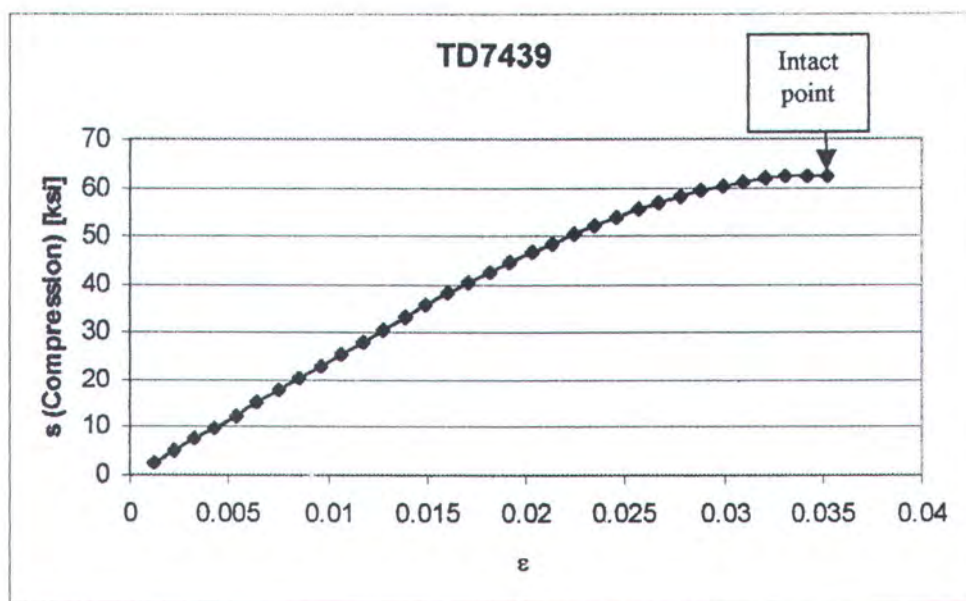




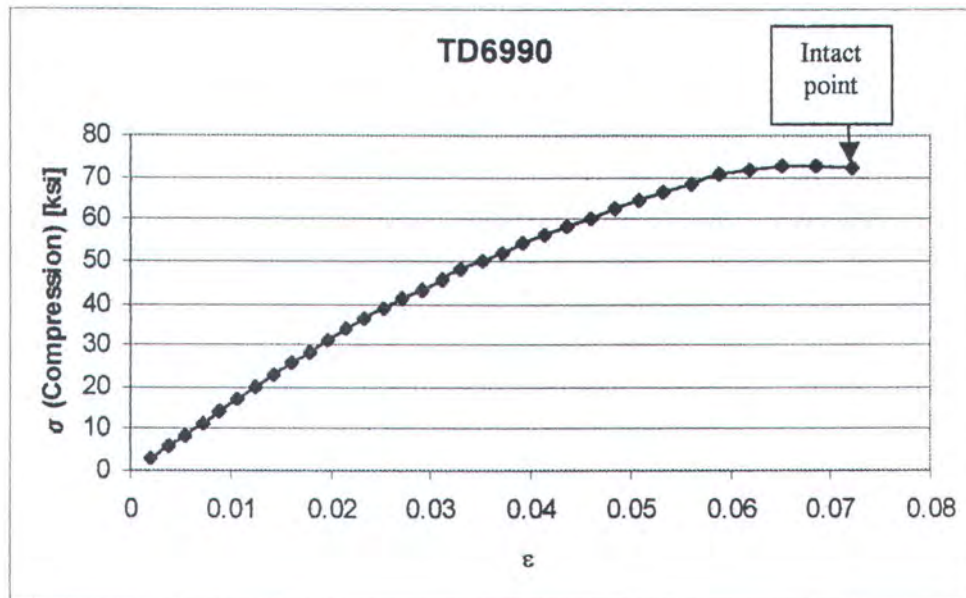
(g)



(h)



(i)



(j)

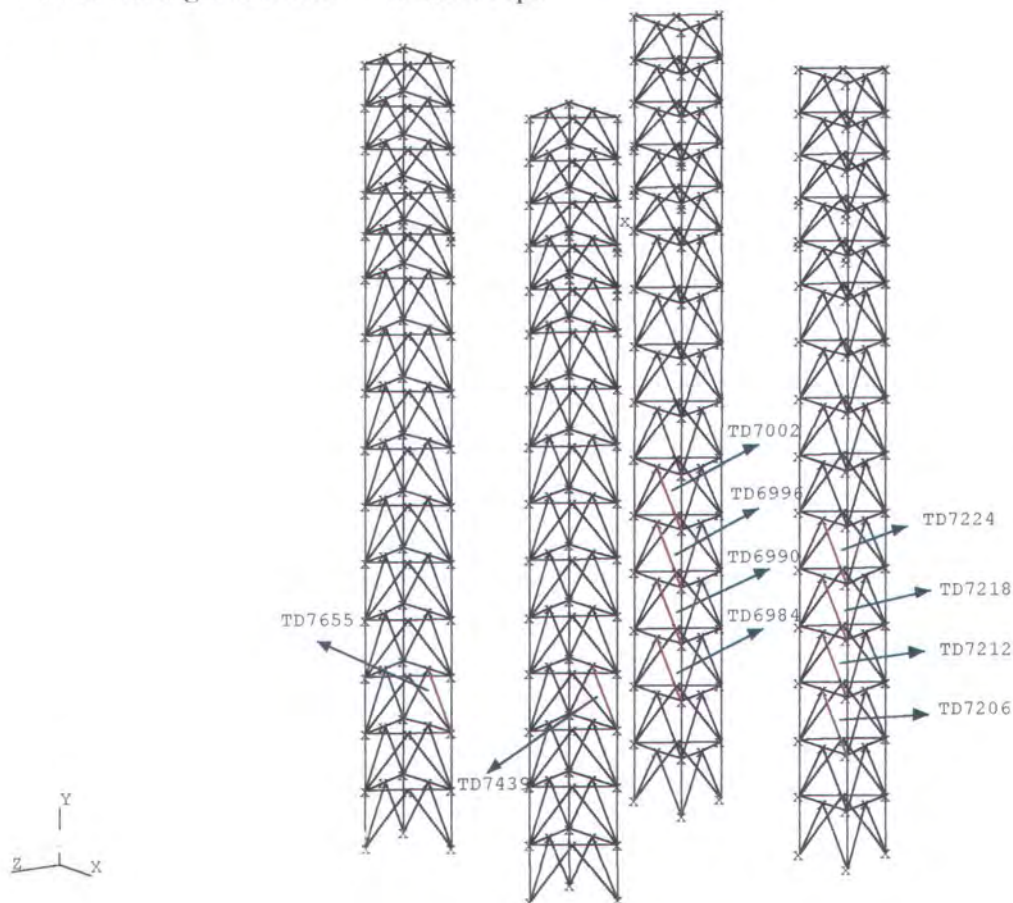
Gambar 4.11. Grafik tegangan – regangan untuk member (a) TD6984, (b) TD7002, (c) TD7224, (d) TD7655, (e) TD7212, (f) TD6996, (g) TD7206, (h) TD7218, (i) TD7439, dan (j) TD6990

Urutan member-member yang runtuh dan terjalin sebagai mekanisme keruntuhan seperti yang dijelaskan pada tabel 4.10 berikut ini:

Tabel 4.10. Urutan mekanisme keruntuhan

No Urut	Nama Member	Collapse Load Case	Ultimate Strength (Mpa)
1	TD6984	PAIN031	496.345
2	TD7002	PAIN032	422.467
2	TD7439	PAIN032	429.64
2	TD6990	PAIN032	498.779
3	TD7224	PAIN034	422.433
4	TD7206	PAIN035	489.389
5	TD7212	PAIN036	485.045
5	TD7655	PAIN036	476.186
5	TD6996	PAIN036	506.715
6	TD7218	PAIN037	489.725

Ultimate strength rata-rata = 471.672 Mpa



Gambar 4.12. Posisi member yang runtuh



Secara teori, keruntuhan struktur disebabkan nilai determinan dari matrik kekakuan global sama dengan atau mendekati nol. Dalam analisa nonlinear GTSTRUDL untuk mengetahui matrik kekakuan global digunakan perintah ‘NONLINEAR ANALYSIS’.

```
TIME TO GENERATE      0 ELEMENT STIF. MATRICES      0.00 SECONDS
TIME TO COMPUTE      10 NONLIN. STIFF. MATRICES    0.01 SECONDS
TIME TO PROCESS      0 ELEMENT STRESSES        0.00 SECONDS
TIME TO PROCESS      0 ELEMENT REACTIONS       0.01 SECONDS
TIME TO PROCESS     917 ELEMENT DISTORTIONS     0.11 SECONDS
TIME FOR EQUIL. CONV. CHECK          0.01 SECONDS
TIME TO ASSEMBLE THE STIFFNESS MATRIX   0.08 SECONDS
TIME TO PROCESS     389 JOINTS                  0.03 SECONDS
**** STRUDL ERROR 4.02 - STRUCTURAL INSTABILITY DETECTED PRIOR TO SOLUTION
      A VALUE OF   -0.1426909D+10 WAS FOUND ON THE DIAGONAL OF THE GLOBAL
STIFFNESS MATRIX
      CORRESPONDING TO DOF      5 FOR JOINT D7511
**** STRUDL ERROR 4.02 - STRUCTURAL INSTABILITY DETECTED WHILE PROCESSING
PARTITION CONTAINING THE FOLLOWING JOINTS
      JOINT D7516
      JOINT D7511
      JOINT D7514
      JOINT D7513
      JOINT D7705
      JOINT D7707
**** STRUDL MESSAGE 2.15 - ERRORS DETECTED WHICH PRECLUDE ANALYSIS - SCANNING
MODE IS ENTERED
```

Untuk mengetahui apakah struktur MOgPU masih aman dari keruntuhan, maka harus dilakukan perhitungan RSR (*Reserve Strength Ratio*) sesuai persamaan 2.72, dimana batas aman menurut API RP 2A-WSD20 adalah 1.6.



Base Shear didapat dari gaya reaksi terbesar pada bagian dasar (*mudline*) akibat beban lateral. Besar gaya reaksi dapat dilihat pada lampiran.

$$\begin{aligned} \text{RSR} &= \frac{1.815 \times 10^7 \text{ N}}{4.906 \times 10^5 \text{ N}} \\ &= 37 > 1.6 \text{ (aman)} \end{aligned}$$

4.6 Analisa Keandalan

4.6.1 Keandalan Member/Komponen

Pada analisa ini, keandalan member didapat melalui simulasi Monte Carlo. Variabel-variabel yang digunakan pada analisa ini adalah tegangan kombinasi (*combined stress*) dan *ultimate strength*. Moda kegagalan struktur yang digunakan adalah sesuai dengan persamaan 3.1 dan 3.2.

Variasi nilai untuk variabel-variabel yang dipakai mengacu pada percobaan yang dilakukan untuk *ultimate strength*, yaitu sebagai berikut:

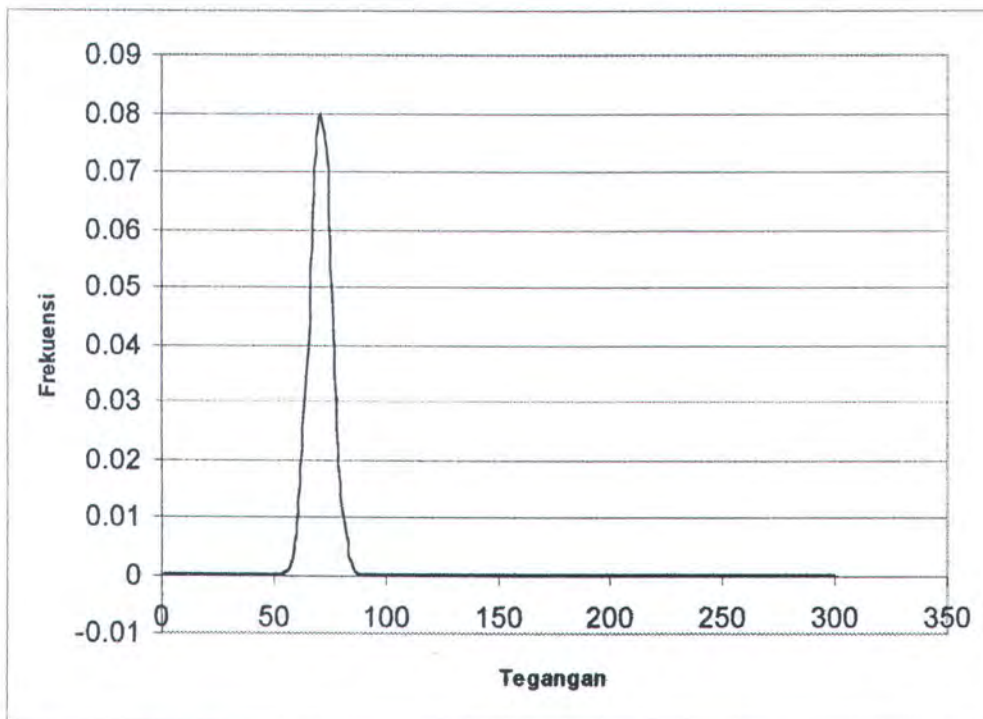
Tabel 4.10. Data variasi *Ultimate Strength*

Test	Jumlah Sampel	Ultimate Strength Rata-rata (ksi)	COV	Distribusi
Tension	8	58.291	0.043	-
Tension	32	57.909	0.089	-
Tension	9	82.039	0.1124	-
Tension	9	124.9	0.1796	-
Tension	22	60.405	0.0719	-
Tension	20	73.525	0.074	-
Tension	10	80.39	0.109	-
Tension	120	62.64	0.0226	-
Tension	58	64.33	0.0341	-
Tension	54	60.64	0.0241	-
Tension	3982	66.27	0.0703	-
Tensile strength	33	59.27	0.044	-
Tensile strength	79	60.99	0.091	-
Tensile strength	13	60.25	0.051	-
Tension	39	62.57	0.044	normal
Tensile strength	36		0.047	normal



Berdasarkan besar *ultimate strength* rata-rata, maka COV (*Coefisien of Variation*) yang digunakan adalah sebesar 0.0703 karena memiliki nilai *ultimate strength* rata-rata yang paling mendekati *ultimate strength* rata-rata pada struktur MOgPU.

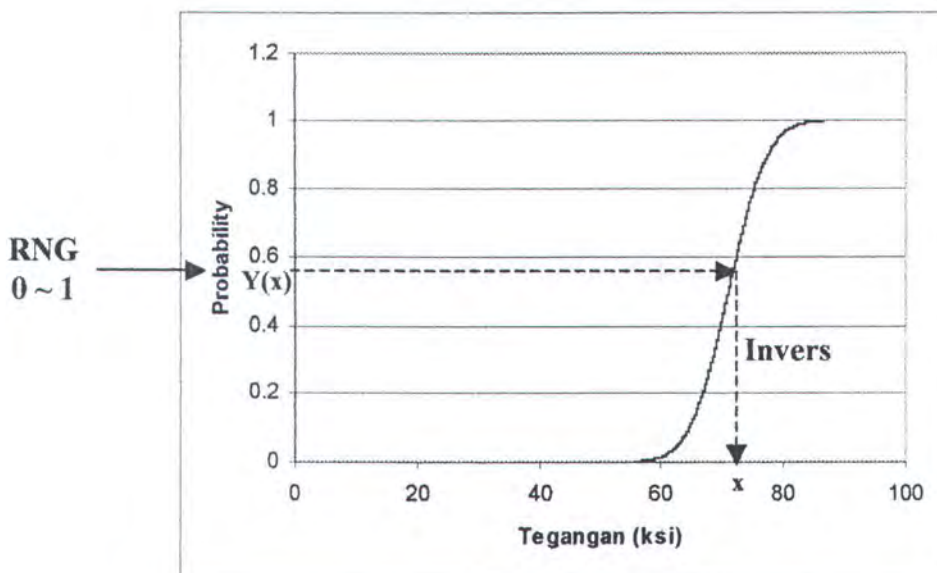
Melalui nilai COV, mean, dan deviasi standar dari tegangan dapat dibuat fungsi kerapatan peluang (*Probability Density Function/PDF*) untuk tegangan yang memiliki distribusi normal.



Gambar 4.13. PDF untuk tegangan yang memiliki distribusi normal

Kemudian dengan cara mengintegralkan PDF, akan didapat *Cumulative Density Function* (CDF). Sumbu vertikal pada CDF seperti yang terlihat pada gambar 4.14, merupakan nilai dari peluang (*probability*), dimana nilainya adalah berkisar antara 0 sampai dengan 1. Dalam Simulasi Monte Carlo, terdapat *Random Number Generator* (RNG) yang merupakan input awal untuk melakukan simulasi. Nilai dari RNG adalah antara 0 sampai dengan 1, oleh karena itu RNG dapat

dijadikan input pada CDF sebagai nilai peluang. Nilai peluang dari RNG dimasukkan ke CDF dan kemudian dengan metode invers akan diketahui nilai tegangan. Dengan cara yang sama, nilai ultimate strength juga akan didapat. Kemudian nilai tegangan dan *ultimate strength* dimasukkan kedalam persamaan moda kegagalan sehingga diketahui gagal atau tidak percobaan/simulasi tersebut. Simulasi/percobaan tersebut akan dilakukan berulang kali. Keandalan akan didapatkan dari jumlah percobaan yang lolos dibandingkan dengan jumlah total percobaan. Sedangkan, peluang gagal didapatkan dari jumlah percobaan yang gagal dibandingkan dengan total jumlah percobaan.



Gambar 4.14. RNG yang dimasukkan ke dalam CDF pada nilai probability untuk mendapatkan nilai tegangan

Dari hasil *pushover analysis*, dapat diketahui urutan keruntuhan member-member yang pada akhirnya menyebabkan keruntuhan keseluruhan struktur. Member yang runtuh urutan pertama menggunakan persamaan 3.1 sebagai moda kegagalan, sedangkan member runtuh urutan kedua, ketiga dan seterusnya, menggunakan persamaan 3.2 sebagai moda kegagalannya. Pada tabel 4.11 berikut

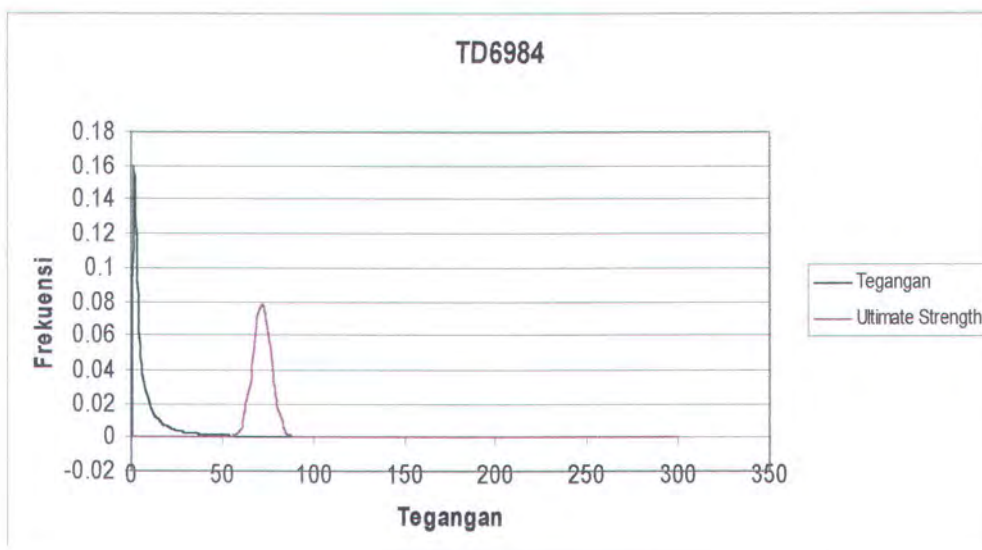


ini diperlihatkan hasil analisa keandalan tiap member kritis penyebab keruntuhan struktur.

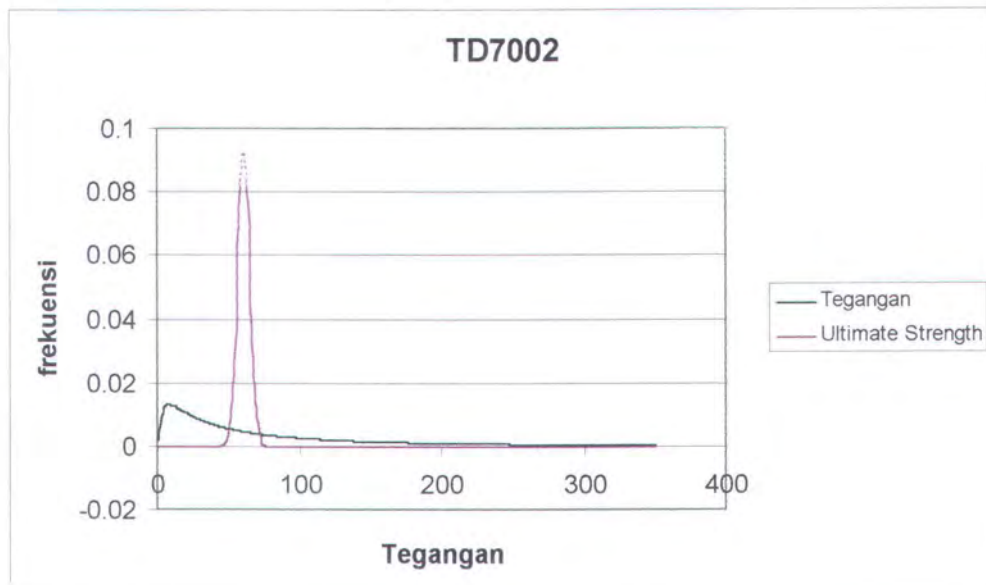
Tabel 4.12. Hasil analisa keandalan pada member kritis

No Urutan Runtuh	Nama Member	Tegangan (ksi)		Ultimate Strength (ksi)		Jumlah Percobaan (N)	Jumlah Gagal (n)	Keandalan $ 1 - (n/N) $
		μ	σ	μ	σ			
1	TD6984	2.92091	0.20534	71.98869	5.06080	10000	199	0.980
2	TD7002	59.13201	4.15698	61.27370	4.30754	10000	2868	0.713
2	TD7439	62.17008	4.37056	62.31398	4.38067	10000	3879	0.612
2	TD6990	72.51785	5.10910	72.67574	18.86993	10000	3388	0.661
3	TD7224	60.92317	4.28290	61.26867	4.307188	10000	2988	0.701
4	TD7206	70.67646	4.968555	70.97980	4.98988	10000	2676	0.732
5	TD7655	59.13201	4.15698	61.27370	4.307541	10000	3188	0.681
5	TD7212	69.79508	4.906594	70.34978	4.94559	10000	2579	0.742
5	TD6996	69.09361	4.857281	73.49278	5.166542	10000	1186	0.881
6	TD7218	70.87656	4.982622	71.02863	4.993313	10000	3450	0.655

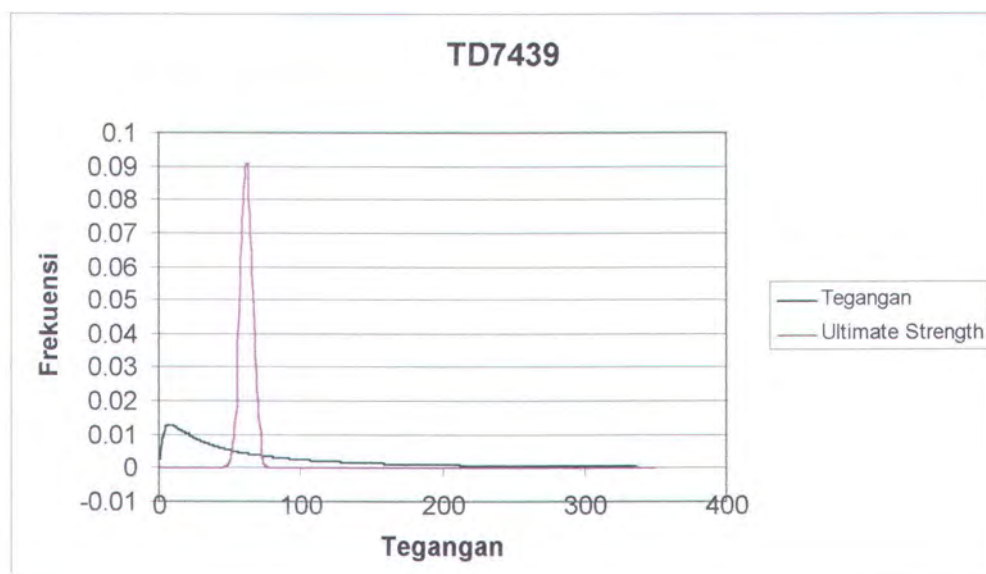
Untuk lebih jelasnya, berikut ini diperlihatkan grafik interferensi PDF antara tegangan dan *ultimate strength*.



(a)



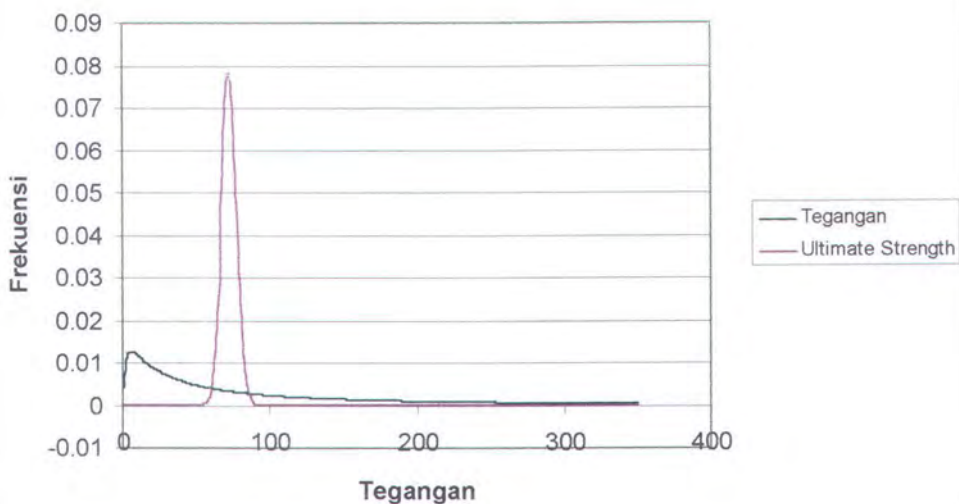
(b)



(c)

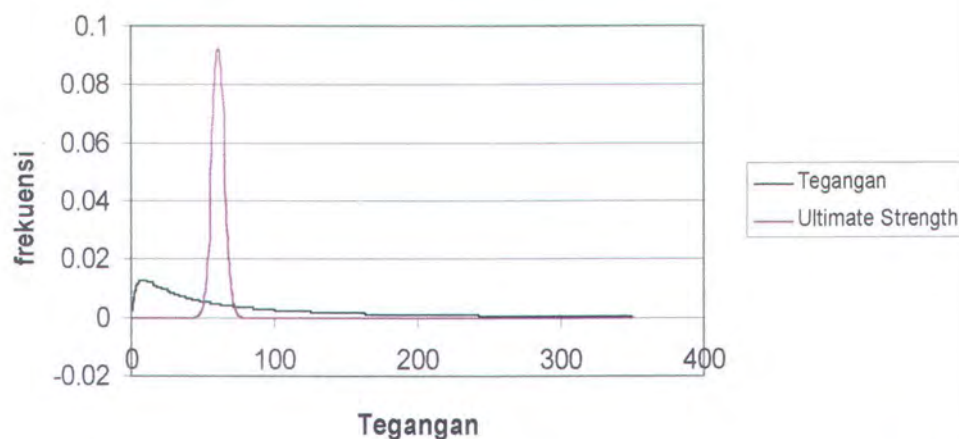


TD6990



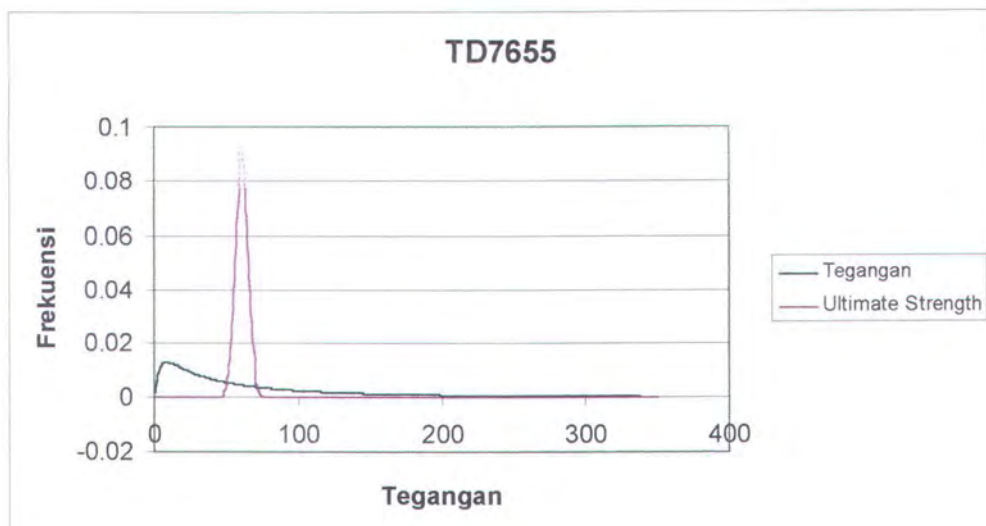
(d)

TD7224

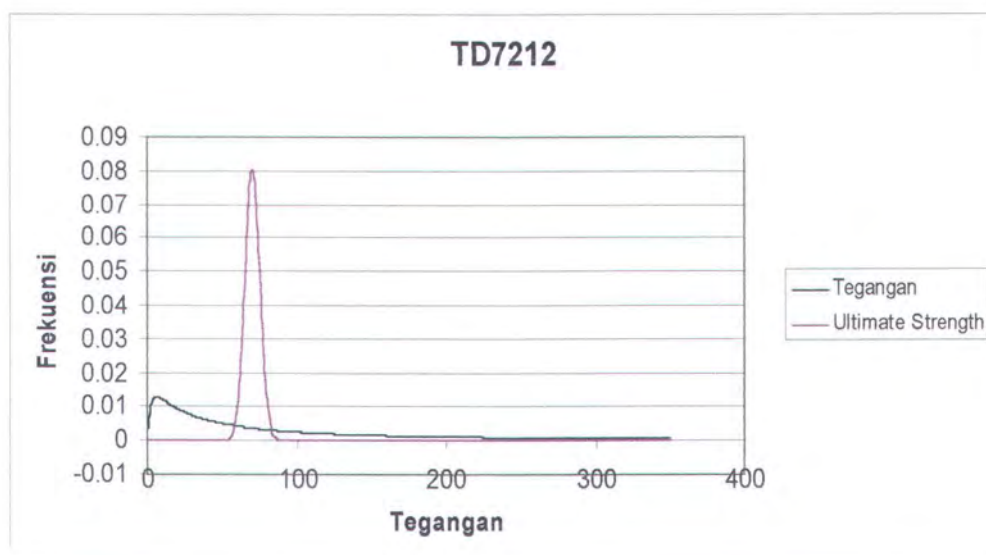


(e)

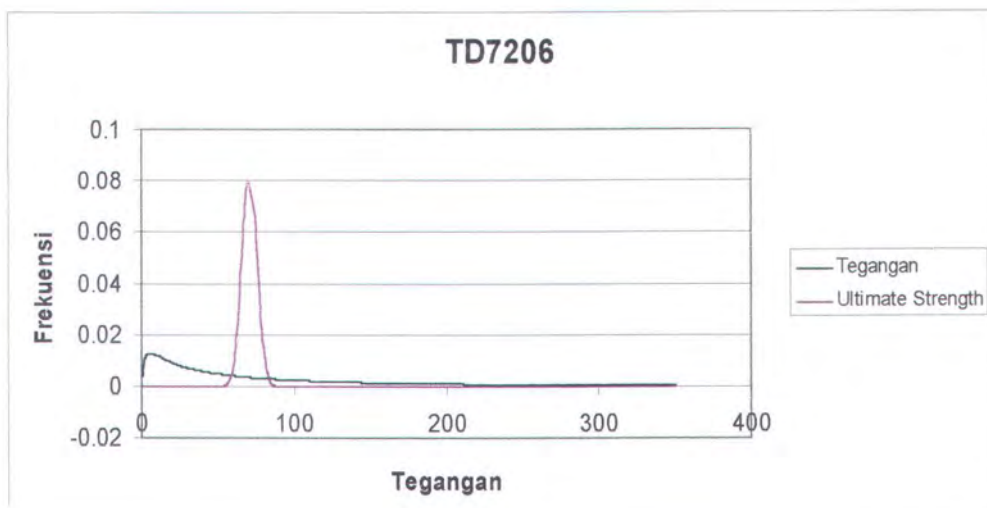




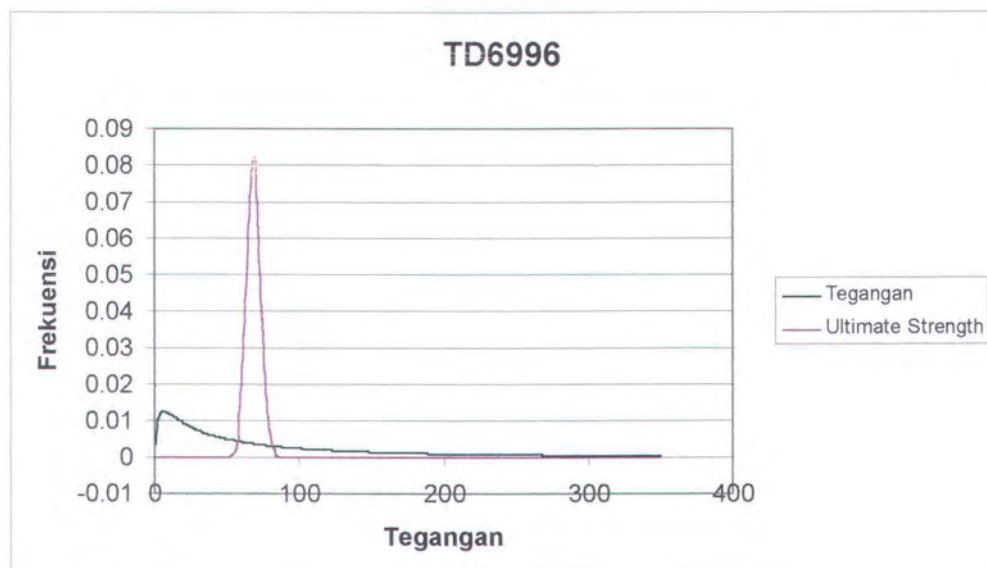
(f)



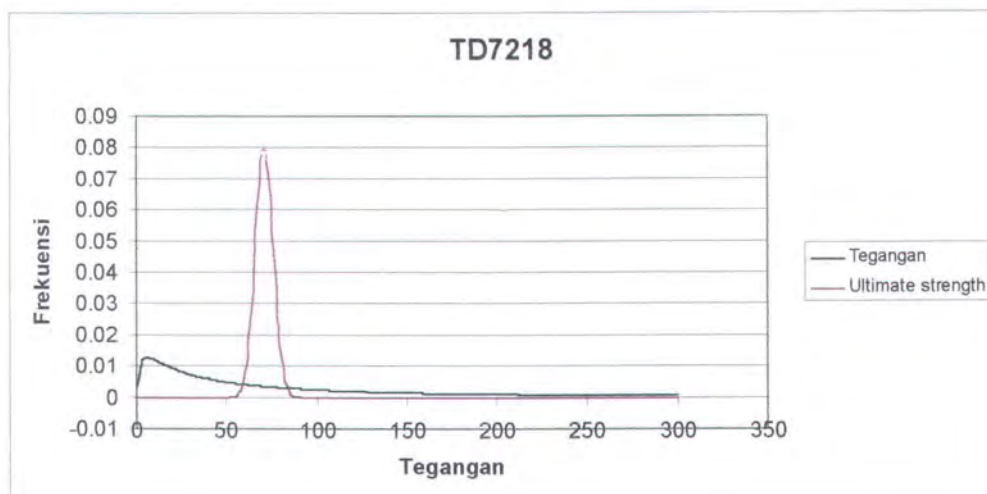
(g)



(h)



(i)

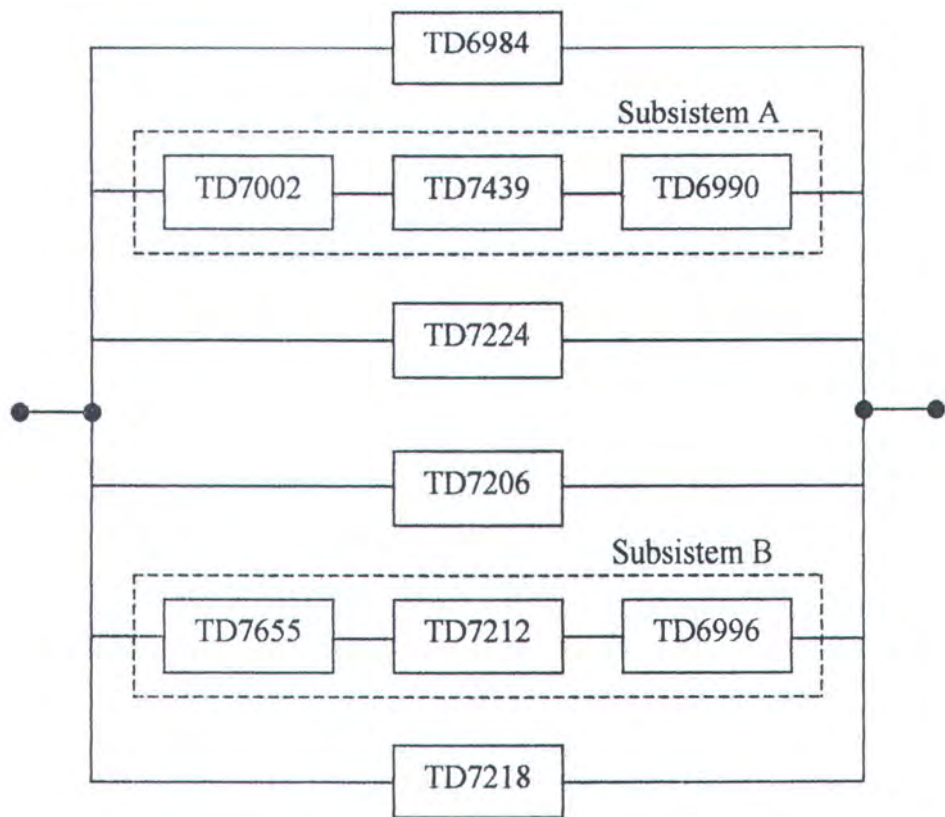


(j)

Gambar 4.15. Grafik interferensi pdf antara tegangan dengan ultimate strength untuk member (a) TD6984, (b) TD7002, (c) TD7439, (d) TD6990, (e) TD7224, (f) TD7655, (g) TD7212, (h) TD7206, (i) TD6996, (j) TD7218

4.6.2 Keandalan Sistem Struktur MOgPU

Pada sub bab 2.2.10 telah dijelaskan bahwa keandalan sistem terbagi atas dua kelompok yaitu sistem seri dan sistem paralel. Pada struktur MOgPU, keandalan tersusun atas dua sistem tersebut. Member-member yang runtuh pada kondisi beban yang sama dihubungkan secara seri, sedangkan member-member yang runtuh pada kondisi beban yang berbeda satu dengan lainnya dihubungkan secara parallel. Berikut ini (gambar 4.14) akan dijelaskan skema hubungan keandalan tiap member kristis struktur MOgPU yang terjalin menjadi sebuah keandalan sistem.



Gambar 4.16. Skema keandalan sistem struktur MOgPU

Pada subsistem A dan subsistem B, seperti terlihat pada gambar diatas, keandalan member-member tersusun secara paralel. Maka untuk mendapatkan keandalannya, digunakan persamaan 2.68.

$$\begin{aligned}K_{\text{subsistem A}} &= K_{\text{TD7002}} \times K_{\text{TD7439}} \times K_{\text{TD6990}} \\&= 0.713 \times 0.612 \times 0.701 \\&= 0.289\end{aligned}$$

$$\begin{aligned}K_{\text{subsistem B}} &= K_{\text{TD7655}} \times K_{\text{TD7212}} \times K_{\text{TD6996}} \\&= 0.681 \times 0.742 \times 0.881 \\&= 0.370\end{aligned}$$



Kemudian setelah didapatkan keandalan subsistem A dan B, maka dapat pula diketahui keandalan sistem pada struktur MOgPU yang terhubung secara paralel dengan menggunakan persamaan 2.71.

$$\begin{aligned} K_{\text{sistem}} &= 1 - [(1 - K_{\text{TD6984}}) \times (1 - K_{\text{subsistem A}}) \times (1 - K_{\text{TD7224}}) \times \\ &\quad (1 - K_{\text{TD7206}}) \times (1 - K_{\text{subsistem B}}) \times (1 - K_{\text{TD7218}})] \\ &= 1 - [(0.98) \times (0.289) \times (0.701) \times (0.732) \times (0.37) \times (0.655)] \\ &= \underline{\underline{0.998}} \end{aligned}$$

Hasil keandalan ini sangat di pengaruhi oleh member yang runtuh pada urutan pertama, yaitu ‘TD6984’. Ini dikarenakan jarak antara besar rata-rata tegangan dengan ultimate strength yang besar, sehingga menghasilkan keandalan yang besar.

BAB V

KESIMPULAN DAN SARAN



BAB V

KESIMPULAN DAN SARAN

5.1 Kesimpulan

Dari hasil perhitungan dan analisa keruntuhan (*pushover analysis*) serta analisa keandalan, maka dapat dibuat kesimpulan tentang masalah yang diangkat sebagai penelitian ini sebagai berikut:

1. Analisa keruntuhan (*pushover analysis*)

- Urutan keruntuhan member-member akibat penambahan beban lingkungan yang menyebabkan keruntuhan seluruh struktur dan terjalin sebagai mekanisme keruntuhan, yaitu sebagai berikut:

Tabel 5.1. Urutan keruntuhan member pada struktur MOgPU

No Urut	Nama Member
1	TD6984
2	TD7002
2	TD7439
2	TD6990
3	TD7224
4	TD7206
5	TD7212
5	TD7655
5	TD6996
6	TD7218
	Seluruh Member

- Besar rasio kekuatan sisa (*Reserve Strength Ratio/RSR*) sama dengan 37. Nilai ini sangat aman dan jauh lebih besar dari yang disyaratkan dalam API RP 2A-WSD20 subbab 17.6.2b yaitu minimal sama dengan 1.6.



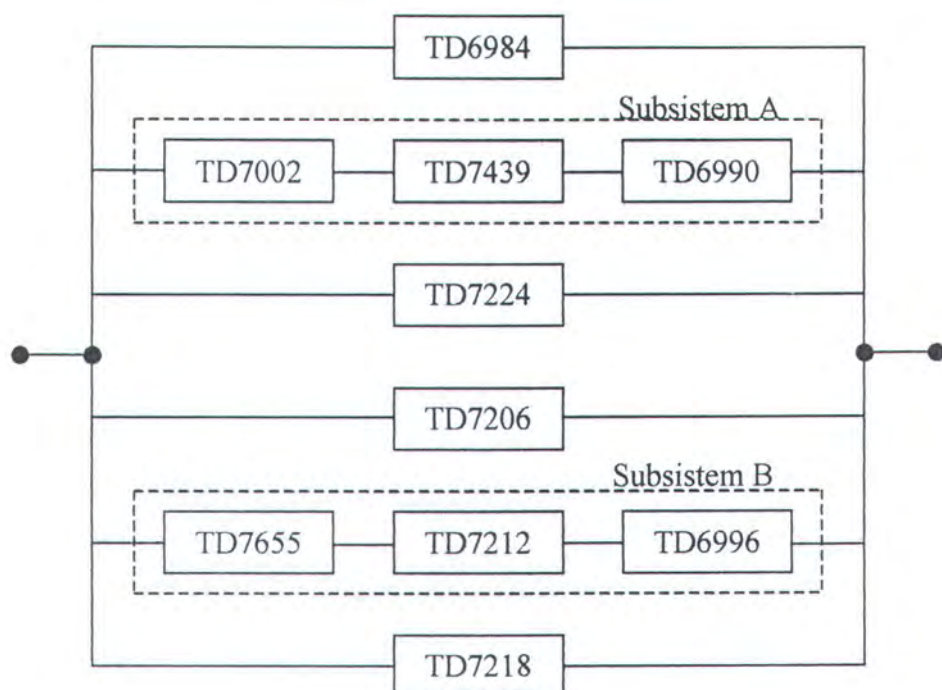
- Besarnya nilai RSR ini dipengaruhi oleh besar tegangan member-member pada struktur MOgPU yang masih jauh dibawah batas plastis.

2. Analisa Keandalan

- Keandalan 10 member kristis penyebab keruntuhan struktur MOgPU dengan *combined stress* sebagai moda kegagalan, yaitu sebagai berikut:

Tabel 5.2. Keandalan 10 member kristis

Nama Member	Keandalan
TD6984	0.980
TD7002	0.713
TD7439	0.612
TD6990	0.661
TD7224	0.701
TD7206	0.732
TD7655	0.681
TD7212	0.742
TD6996	0.881
TD7218	0.655



Gambar 5.1. Skema keandalan sistem struktur MOgPU



- Keandalan subsistem A adalah 0.289, terbentuk dari hubungan seri antara keandalan member TD7002, TD7439, dan TD6990.
- Keandalan subsistem B adalah 0.37, terbentuk dari hubungan seri antara keandalan member TD7655, TD7212, dan TD6996.
- Keandalan sistem struktur MOgPU adalah 0.99, terbentuk dari hubungan paralel antara keandalan member TD6984, TD7224, TD206, dan TD7218 dengan keandalan subsistem A dan subsistem B.

5.2 Saran

Berdasarkan penelitian yang dilakukan, maka untuk studi lebih lanjut dapat disaran sebagai berikut:

1. Analisa lebih lanjut mengenai keruntuhan struktur MOgPU dengan mempertimbangkan:
 - Variasi konfigurasi bracing
 - Prilaku tubular joint
 - Pengaruh *subsidence* (penurunan elevasi *mudline*)
2. Pemahaman yang baik mengenai software GTSTRUDL dan GTSELOS serta kemampuan software tersebut yang perlu ditingkatkan (upgrading) sangat menunjang dalam penyelesaian penelitian yang lebih komplek.

DAFTAR PUSTAKA

DAFTAR PUSTAKA

- Der Kiureghien, A. & Ke, J.B. 1985. *Finite Element Based Reliability Analysis of Frame Structures*, Proc. 4th Intl. Conf. on Applications of Statistics and Probability in Soil and Structural Engineering, University of Firenze, Italy.
- Gao, Liwei, Achintya Haldar. 1993, *Nonlinear SFEM-Based Reliability for Space Structures*, Departement of Civil Engineering & Engineering Mechanics, University of Arizona, USA.
- Goyet, Jean, Christos Saouridis. 1993, *Probabilistic Assessment of Steel Jacket Redundancy: The ARPEJ Software*, Centre Technique Industriel de la Construction Metallique, Paris, France & Computer Control System, Athens, Greece.
- Handa, K. , Karrholm G. 1975. *Application of Finite Element Method in The Statistical Analysis of Stryctures*. Chalmer University of Technology.
- Hisada, T, S. Nakagiri. 1981. *Stocashtic Finite Element Method Developed for Structural Safety and Reliability*, Proc. 3rd Intl. Conf. on Structural.
- Lee, Joo-Shung. 1993, *Application of Stocashtic Finite Element Method to System Reliability Analysis of Offshore Structures*, University of Ulsan, Republic of Korea.
- Moses, F. , M. R. Rashedi. 1983, *The Application of System Reliability to Structural Safety*, Proc. 4th Intl. Conf. on Applications of Statistics and Probability in Soil and Structural Engineering, University of Firenze, Italy.
- Murdjito, 1997. *Inovasi Dalam Perancangan Jack-Up Platform Untuk Perairan Dalam*, Institut Teknologi Sepuluh Nopember, Surabaya.

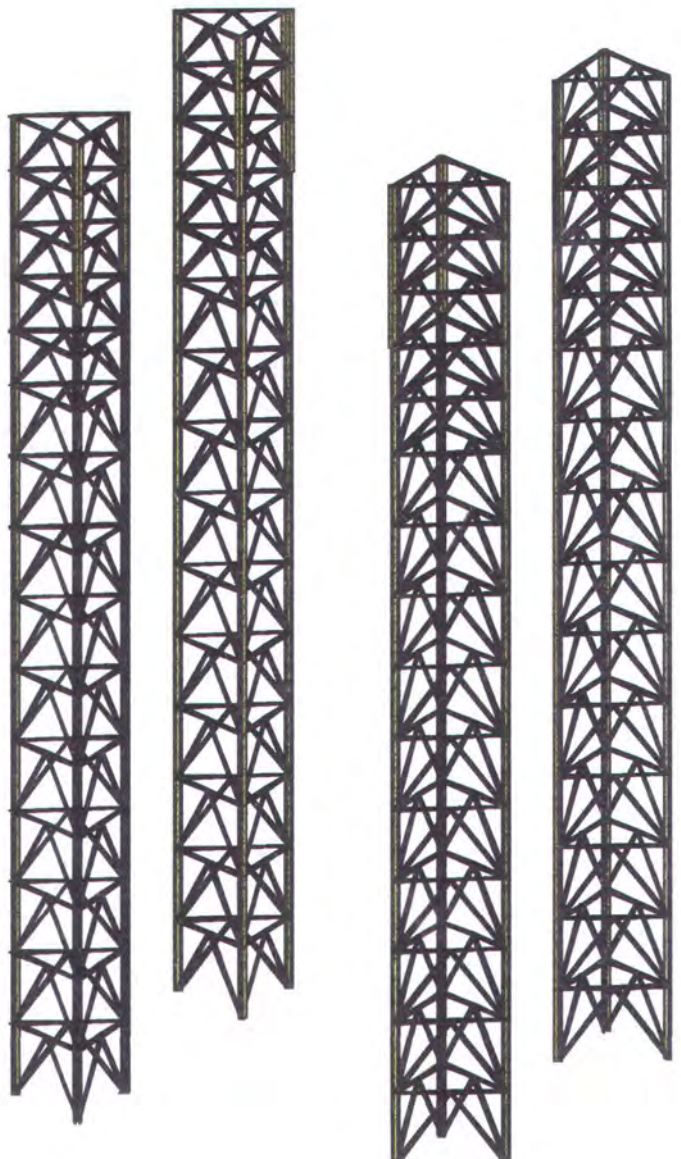
Rosyid, Daniel M., Mukhtashor. 2002, *Pengantar Rekayasa Keandalan*, Institut Teknologi Sepuluh Nopember, Surabaya.

Shinozuka, M. 1987, *Basic Issues in Stochastic Finite Analysis*, Proc. 5th Intl. Conf. on Applications of Statistics and Probability in Soil and Structural Engineering, University of Firenze, Italy.

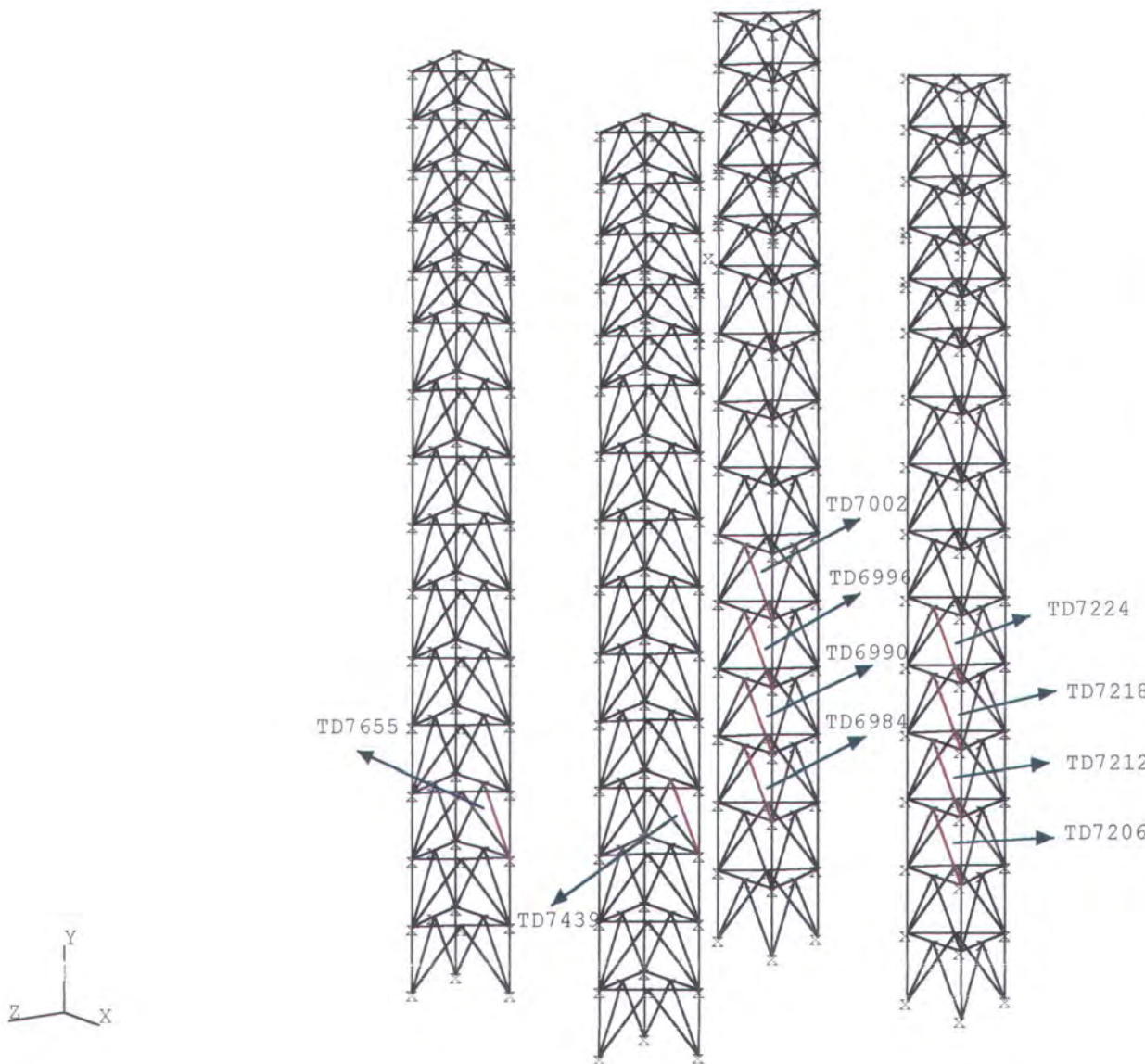
LAMPIRAN

LAMPIRAN A

PEMODELAN STRUKTUR DAN
LETAK MEMBER-MEMBER RUNTUH



MODEL DETAIL STRUKTUR MOgPU



MEMBER-MEMBER RUNTUH PENYEBAB KERUNTUHAN SELURUH STRUKTUR

LAMPIRAN B

INPUT DATA UNTUK PEMODELAN

BEBAN LINGKUNGAN

```

$ HELOS 'MOPFU-WIND'
STRU DL 'WIND' 'WIND-N'
$ OUTPUT UNITS METRIC
$ SAVE LOADINGS
$ PRINT LOADING TOTALS ONLY LOAD REFERENCE JOINT 'MUD'
$ IDENTIFY UNRECOGNIZED COMMANDS
$ MEMBER DRAG FORCE PRESSURE RESOLUTION
$
$ This GTSTRU DL file created from GTMenu on
8/15/2003
$
$
UNITS M MTON DEG
$
$
JOINT COORDINATES GLOBAL
'D7475' -6.5000 -71.5000
5.6300 'D7476' 0.0000 -71.5000
5.6300 'D7477' 6.5000 -71.5000
5.6300 'D7478' 3.2500 -71.5000
0.0000 'D7479' 0.0000 -71.5000 +
5.6300 'D7480' -3.2500 -71.5000
0.0000 'D7481' -6.5000 -62.9000
5.6300 'D7482' * 0.0000 -62.9000
5.6300 'D7483' 6.5000 -62.9000
5.6300 'D7484' 3.2500 -62.9000
0.0000 'D7485' 0.0000 -62.9000 -
5.6300 'D7486' -3.2500 -62.9000
0.0000 'D7487' -6.5000 -54.2999
5.6300 'D7488' 0.0000 -54.2999
5.6300 'D7489' 6.5000 -54.2999
5.6300 'D7490' 3.2500 -54.2999
0.0000 'D7491' 0.0000 -54.2999 +
5.6300 'D7492' -3.2500 -54.2999
0.0000 'D7493' -6.5000 -45.7000
5.6300 'D7494' 0.0000 -45.7000
5.6300 'D7495' 6.5000 -45.7000
5.6300 'D7496' 3.2500 -45.7000
0.0000 'D7497' 0.0000 -45.7000 -
5.6300 'D7498' -3.2500 -45.7000
0.0000 'D7499' -6.5000 -37.0999
5.6300 'D7500' 0.0000 -37.0999
5.6300 'D7501' 6.5000 -37.0999
5.6300 'D7502' 3.2500 -37.0999
0.0000 'D7503' 0.0000 -37.0999 -
5.6300 'D7504' -3.2500 -37.0999
0.0000 'D7505' -6.5000 -28.5000
5.6300 'D7506' 0.0000 -28.5000
5.6300 'D7507' 6.5000 -28.5000
5.6300 'D7508' 3.2500 -28.5000
0.0000 'D7509' 0.0000 -28.5000 +
5.6300 'D7510' -3.2500 -28.5000
0.0000 'D7511' -6.5000 -19.9000
5.6300 'D7512' 0.0000 -19.9000
5.6300 'D7513' 6.5000 -19.9000
5.6300 'D7514' 3.2500 -19.9000
0.0000 'D7515' 0.0000 -19.9000 -
5.6300 'D7516' -3.2500 -19.9000
0.0000 'D7517' -6.5000 -11.3000
5.6300 'D7518' 0.0000 -11.3000
5.6300 'D7519' 6.5000 -11.3000
5.6300 'D7520' 3.2500 -11.3000 0.0000
'D7521' 0.0000 -11.3000 -5.6300
'D7522' -3.2500 -11.3000 0.0000
'D7523' -6.5000 -2.7000 5.6300
'D7524' 0.0000 -2.7000 5.6300
'D7525' 6.5000 -2.7000 5.6300
'D7526' 3.2500 -2.7000 0.0000
'D7527' 0.0000 -2.7000 -5.6300
'D7528' -3.2500 -2.7000 0.0000
'D7529' -6.5000 5.9000 5.6300
'D7530' 0.0000 5.9000 5.6300
'D7531' 6.5000 5.9000 5.6300
'D7532' 3.2500 5.9000 0.0000
'D7533' 0.0000 5.9000 -5.6300
'D7534' -3.2500 5.9000 0.0000
'D7535' -6.5000 -80.1000 5.6300
'D7536' 0.0000 -80.1000 -5.6300
'D7537' 6.5000 -80.1000 5.6300
'D7538' -6.5000 12.4000 5.6300
'D7539' 0.0000 12.4000 5.6300
'D7540' -3.2500 12.4000 0.0000
'D7541' 0.0000 12.4000 -5.6300
'D7542' 6.5000 12.4000 5.6300
'D7543' 3.2500 12.4000 0.0000
'D7544' -6.5000 18.9000 5.6300
'D7545' 0.0000 18.9000 5.6300
'D7546' -3.2500 18.9000 0.0000
'D7547' 0.0000 18.9000 -5.6300
'D7548' 6.5000 18.9000 5.6300
'D7549' 3.2500 18.9000 0.0000
'D7550' -6.5000 25.4012 5.6300
'D7551' 0.0000 25.4012 5.6300
'D7552' -3.2500 25.4012 0.0000
'D7553' 0.0000 25.4012 -5.6300
'D7554' 6.5000 25.4012 5.6300
'D7555' 3.2500 25.4012 0.0000
'D7556' -6.5000 31.9012 5.6300
'D7557' 0.0000 31.9012 5.6300
'D7558' -3.2500 31.9012 0.0000
'D7559' 0.0000 31.9012 -5.6300
'D7560' 6.5000 31.9012 5.6300
'D7561' 3.2500 31.9012 0.0000
'D7562' -6.5000 38.4012 5.6300
'D7563' 0.0000 38.4012 5.6300
'D7564' -3.2500 38.4012 0.0000
'D7565' 6.5000 38.4012 5.6300
'D7566' 3.2500 38.4012 0.0000
'D7567' -6.5000 11.6500 5.6300
'D7568' -6.5000 18.1500 5.6300
'D7569' 6.5000 11.6500 5.6300
'D7570' 6.5000 18.1500 5.6300
'D7571' 38.9000 -71.5000 5.6300
'D7572' 45.4001 -71.5000 5.6300
'D7573' 51.9000 -71.5000 5.6300
'D7574' 48.6501 -71.5000 0.0000
'D7575' 45.4001 -71.5000 -5.6300
'D7576' 42.1501 -71.5000 0.0000
'D7577' 38.9000 -62.9000 5.6300
'D7578' 45.4002 -62.8999 5.6300
'D7579' 51.9000 -62.9000 5.6300
'D7580' 48.6501 -62.9000 0.0000
'D7581' 45.4002 -62.8999 -5.6300
'D7582' 42.1502 -62.8999 0.0000
'D7583' 38.9003 -54.2999 5.6300
'D7584' 45.4003 -54.2999 5.6300
'D7585' 51.9004 -54.2999 5.6300
'D7586' 48.6504 -54.2999 0.0000
'D7587' 45.4003 -54.2999 -5.6300
'D7588' 42.1503 -54.2999 0.0000
'D7589' 38.9000 -45.7000 5.6300
'D7590' 45.4002 -45.6999 5.6300
'D7591' 51.9000 -45.7000 5.6300
'D7592' 48.6501 -45.7000 0.0000
'D7593' 45.4002 -45.6999 -5.6300
'D7594' 42.1502 -45.6999 0.0000
'D7595' 38.9002 -37.0999 5.6300
'D7596' 45.4001 -37.0999 5.6300
'D7597' 51.9004 -37.0997 5.6300
'D7598' 48.6504 -37.0997 0.0000
'D7599' 45.4001 -37.0999 -5.6300
'D7600' 42.1501 -37.0999 0.0000
'D7601' 38.9000 -28.5000 5.6300
'D7602' 45.4001 -28.4999 5.6300
'D7603' 51.9004 -28.4996 5.6300
'D7604' 48.6504 -28.4996 0.0000
'D7605' 45.4001 -28.4999 -5.6300
'D7606' 42.1501 -28.4999 0.0000
'D7607' 38.9000 -19.9000 5.6300
'D7608' 45.4002 -19.8998 5.6300
'D7609' 51.9000 -19.8999 5.6300
'D7610' 48.6501 -19.8999 0.0000
'D7611' 45.4002 -19.8998 -5.6300
'D7612' 42.1502 -19.8998 0.0000
'D7613' 38.9000 -11.3000 5.6300
'D7614' 45.4001 -11.2999 5.6300
'D7615' 51.9000 -11.2999 5.6300
'D7616' 48.6501 -11.2999 0.0000
'D7617' 45.4001 -11.2999 -5.6300
'D7618' 42.1501 -11.2999 0.0000
'D7619' 38.9000 -2.7000 5.6300
'D7620' 45.4002 -2.6997 5.6300
'D7621' 51.9000 -2.6999 5.6300
'D7622' 48.6501 -2.6999 0.0000
'D7623' 45.4002 -2.6997 -5.6300
'D7624' 42.1502 -2.6997 0.0000
'D7625' 38.9000 5.9000 5.6300

```

'D7626'	45.4002	5.9003	'D7680'	48.6504	-12.0999	52.2603
5.6300	51.9000	5.9001	'D7681'	51.9004	-54.2999	46.6303
'D7627'	51.9000	5.9001	'D7682'	45.4003	-54.2999	46.6303
5.6300	48.6501	5.2001	'D7683'	38.9003	-54.2999	46.6303
'D7628'	48.6501	5.2001	'D7684'	42.1503	-54.2999	52.2603
0.0000			'D7685'	45.4004	-54.2999	57.8903
'D7629'	45.4002	5.9003	'D7686'	48.6504	-54.2999	52.2603
5.6300	42.1502	5.9003	'D7687'	51.9004	-45.6998	46.6303
'D7630'	42.1502	5.9003	'D7688'	45.4002	-45.6999	46.6302
0.0000			'D7689'	38.9002	-45.6999	46.6302
'D7631'	38.9000	-80.1600	'D7690'	42.1503	-45.6999	52.2603
5.6300	45.4001	-80.1600	'D7691'	45.4002	-45.6999	57.8902
'D7632'	45.4001	-80.1600	'D7692'	48.6504	-45.6998	52.2603
5.6300	51.9000	-80.1600	'D7693'	51.9004	-37.0997	46.6303
'D7633'	51.9000	-80.1600	'D7694'	45.4002	-37.0999	46.6302
5.6300	38.9000	12.4000	'D7695'	38.9002	-37.0999	46.6302
'D7634'	38.9000	12.4000	'D7696'	42.1503	-37.0997	52.2603
5.6300	45.4001	12.4002	'D7697'	45.4002	-37.0999	57.8902
'D7635'	45.4001	12.4002	'D7698'	48.6504	-37.0997	52.2603
5.6300	42.1501	12.4002	'D7699'	51.9004	-28.4996	46.6303
'D7636'	42.1501	12.4002	'D7700'	45.4002	-28.4998	46.6302
0.0000			'D7701'	38.9002	-28.4998	46.6302
'D7637'	45.4001	12.4002	'D7702'	42.1501	-28.4999	52.2601
5.6300	51.9000	12.4001	'D7703'	45.4002	-28.4998	57.8902
'D7638'	51.9000	12.4001	'D7704'	48.6501	-28.4999	52.2601
5.6300	48.6501	12.4001	'D7705'	51.9000	-19.9000	46.6300
'D7639'	48.6501	12.4001	'D7706'	45.4002	-19.8998	46.6302
0.0000			'D7707'	38.9002	-19.8999	46.6302
'D7640'	38.9000	18.9000	'D7708'	42.1503	-19.8996	52.2603
5.6300	45.4002	18.9004	'D7709'	45.4003	-19.8996	57.8903
'D7641'	45.4002	18.9004	'D7710'	48.6504	-19.8996	52.2603
5.6300	42.1502	18.9004	'D7711'	51.9000	-11.3000	46.6300
'D7642'	42.1502	18.9004	'D7712'	45.4002	-11.2997	46.6302
0.0000			'D7713'	38.9002	-11.2997	46.6302
'D7643'	45.4002	18.9004	'D7714'	42.1501	-11.2999	52.2601
5.6300	51.9000	18.9001	'D7715'	45.4001	-11.2999	57.8901
'D7644'	51.9000	18.9001	'D7716'	48.6501	-11.2999	52.2600
5.6300	48.6501	18.9001	'D7717'	51.9000	-2.7000	46.6308
0.0000			'D7718'	45.4002	-2.6997	46.6302
'D7645'	38.9003	25.4012	'D7719'	38.9002	-2.6997	46.6302
5.6300	45.4003	25.4012	'D7720'	42.1503	-2.6995	52.2603
'D7646'	45.4003	25.4012	'D7721'	45.4003	-2.6995	57.8903
5.6300	42.1503	25.4012	'D7722'	48.6501	-2.6999	52.2600
'D7647'	45.4003	25.4012	'D7723'	51.9000	5.9000	46.6300
5.6300	42.1503	25.4012	'D7724'	45.4002	5.9003	46.6302
0.0000			'D7725'	38.9002	5.9003	46.6302
'D7648'	45.4003	25.4012	'D7726'	42.1503	5.9005	52.2603
5.6300	51.9004	25.4012	'D7727'	45.4003	5.9005	57.8903
'D7650'	51.9004	25.4012	'D7728'	48.6501	5.9001	52.2600
5.6300	48.6504	25.4012	'D7729'	51.9004	-80.1000	46.6303
'D7651'	48.6504	25.4012	'D7730'	45.4001	-80.1000	57.8901
0.0000			'D7731'	38.9002	-80.1000	46.6302
'D7652'	38.9003	31.9012	'D7732'	51.9004	12.4006	46.6303
5.6300	45.4003	31.9012	'D7733'	45.4000	12.4000	46.6300
'D7653'	45.4003	31.9012	'D7734'	48.6501	12.4001	52.2600
5.6300	42.1503	31.9012	'D7735'	45.4001	12.4002	57.8901
'D7654'	42.1503	31.9012	'D7736'	38.9002	12.4004	46.6302
0.0000			'D7737'	42.1501	12.4002	52.2601
'D7655'	45.4003	31.9012	'D7738'	51.9004	18.9007	46.6303
5.6300	51.9004	31.9012	'D7739'	45.4002	18.9004	46.6302
'D7656'	51.9004	31.9012	'D7740'	48.6501	18.9001	52.2600
5.6300	48.6504	31.9012	'D7741'	45.4003	18.9007	57.8903
0.0000			'D7742'	38.9002	18.9004	46.6302
'D7657'	38.9003	38.4012	'D7743'	42.1502	18.9006	52.2603
5.6300	45.4003	38.4012	'D7744'	51.9004	25.4012	46.6303
'D7658'	45.4003	38.4012	'D7745'	45.4003	25.4012	46.6303
5.6300	42.1503	38.4012	'D7746'	48.6504	25.4012	52.2603
'D7659'	45.4003	38.4012	'D7747'	45.4003	25.4012	57.8903
5.6300	42.1503	38.4012	'D7748'	38.9003	25.4012	46.6303
'D7660'	42.1503	38.4012	'D7749'	42.1503	25.4012	52.2603
0.0000			'D7750'	51.9004	31.9012	46.6303
'D7661'	45.4003	38.4012	'D7751'	45.4003	31.9012	46.6303
5.6300	51.9004	38.4012	'D7752'	48.6504	31.9012	52.2603
'D7662'	51.9004	38.4012	'D7753'	45.4003	31.9012	57.8903
5.6300	48.6504	38.4012	'D7754'	38.9003	31.9012	46.6303
'D7663'	48.6504	38.4012	'D7755'	42.1503	31.9012	52.2603
0.0000			'D7756'	51.9004	38.4012	46.6303
'D7664'	38.9000	11.6500	'D7757'	45.4003	38.4012	46.6303
5.6300	45.4003	18.1500	'D7758'	48.6504	38.4012	52.2603
'D7665'	38.9000	18.1500	'D7759'	38.9003	38.4012	46.6303
5.6300	51.9000	11.6501	'D7760'	42.1503	38.4012	52.2603
'D7666'	51.9000	11.6501	'D7761'	51.9004	11.6506	46.6303
5.6300	48.6504	11.6501	'D7762'	51.9004	18.1507	46.6303
'D7667'	51.9000	18.1501	'D7763'	38.9002	11.6504	46.6302
5.6300	0.0000	38.4012	'D7764'	38.9002	19.1504	46.6302
'D7668'	51.9004	-71.5000	'D7765'	6.5000	-71.5000	46.6301
46.6300			'D7766'	0.0000	-71.5000	46.6300
'D7669'	51.9004	-71.5000	'D7767'	-6.5000	-71.5000	46.6302
46.6300	45.4002	-71.5000	'D7768'	-3.2500	-71.5000	52.2600
'D7670'	45.4002	-71.5000	'D7769'	0.0000	-71.5000	57.8901
46.6302			'D7770'	3.2500	-71.5000	52.2600
'D7671'	38.9002	-71.5000	'D7771'	6.5000	-62.9000	46.6301
46.6302			'D7772'	0.0000	-62.9000	46.6301
'D7672'	42.1503	-71.5000	'D7773'	-6.5000	-62.9000	46.6302
52.2603			'D7774'	-3.2500	-62.9000	52.2601
'D7673'	45.4001	-71.5000	'D7775'	0.0000	-62.9000	57.8901
57.8901			'D7776'	3.2500	-62.9000	52.2601
'D7674'	48.6501	-71.5000	'D7777'	6.5000	-54.2999	46.6304
52.2601			'D7778'	0.0000	-54.2999	46.6304
'D7675'	51.9004	-62.8999	'D7779'	-6.5000	-54.3000	46.6300
56.1303			'D7780'	-3.2500	-54.2999	52.2604
'D7676'	45.4002	-62.8999	'D7781'	0.0000	-54.2999	57.8904
46.6302			'D7782'	3.2500	-54.2999	52.2604
'D7677'	38.9002	-62.8999	'D7783'	6.5000	-45.6998	46.6303
46.6302			'D7784'	0.0000	-45.7000	46.6301
'D7678'	42.1503	-62.8999	'D7785'	-6.5000	-45.6999	46.6302
52.2603			'D7786'	-3.2500	-45.7000	52.2601
'D7679'	45.4001	-62.8999	'D7787'	0.0000	-45.7000	57.8901
57.8901			'D7788'	3.2500	-45.7000	52.2601



'D7799' 0.5000 -37.0997
 46.6304 0.0000 -37.1000
 'D7790' 0.0000 -37.1000
 46.6300 -6.5000 -37.1000
 'D7791' -6.5000 -37.1000
 46.6300 -3.2500 -37.1000
 'D7792' -3.2500 -37.1000
 52.2600 0.0000 -37.0999
 'D7793' 0.0000 -37.0999
 57.8903 'D7794' 3.2500 -37.0999
 52.2601 'D7795' 6.5000 -28.4996
 46.6304 'D7796' 0.0000 -28.4997
 46.6304 'D7797' -6.5000 -28.4997
 46.6304 'D7798' 3.2500 -28.4997
 52.2604 'D7799' 0.0000 -28.4997
 57.8904 'D7800' 3.2500 -28.4997
 52.2604 'D7801' 6.5000 -19.9000
 46.6300 'D7802' 0.0000 -19.8996
 46.6304 'D7803' -6.5001 -19.8996
 46.6304 'D7804' -3.2500 -19.9000
 52.2600 'D7805' 0.0000 -19.8995
 57.8901 'D7806' 3.2500 -19.8995
 52.2601 'D7807' 6.5000 -11.3000
 46.6300 'D7808' 0.0000 -11.3000
 46.6301 'D7809' -6.5000 -11.3000
 46.6301 'D7810' -3.2500 -11.3000
 52.2600 'D7811' 0.0000 -11.3000
 57.8901 'D7812' 3.2500 -11.3000
 52.2601 'D7813' 6.5000 -2.7000
 46.6300 'D7814' 0.0000 -2.7000
 46.6301 'D7815' -6.5000 -2.7000
 46.6301 'D7816' 3.2500 -2.7000
 52.2600 'D7817' 0.0000 -2.7000
 57.8901 'D7818' 3.2500 -2.7000
 52.2601 'D7819' 6.5000 5.9000
 46.6300 'D7820' 0.0000 5.9000
 46.6302 'D7821' -6.5000 5.9002
 46.6302 'D7822' -3.2500 5.9000
 52.2600 'D7823' 0.0000 5.9001
 57.8901 'D7824' 3.2500 5.9001
 52.2601 'D7825' 6.5000 -80.1000
 46.6301 'D7826' 0.0000 -80.1000
 57.8901 'D7827' -6.5000 -80.1000
 46.6302 'D7828' 6.5000 12.4003
 46.6302 'D7829' 0.0000 12.4003
 46.6302 'D7830' 3.2500 12.4000
 52.2600 'D7831' 0.0000 12.4001
 57.8901 'D7832' -6.5000 12.4000
 46.6300 'D7833' 3.2500 12.4000
 52.2600 'D7834' 6.5000 18.9003
 46.6302 'D7835' 0.0000 18.9003
 46.6302 'D7836' 3.2500 18.9003
 52.2602 'D7837' 0.0000 18.9001
 57.8901 'D7838' -6.5000 18.9000
 46.6301 'D7839' -3.2500 18.9000
 52.2601 'D7840' 6.5000 25.4012
 46.6304 'D7841' 0.0000 25.4012
 46.6304 'D7842' 3.2500 25.4012
 'D7843' 0.0000 25.4012 57.8904
 'D7844' -6.5001 25.4012 46.6304
 'D7845' -3.2500 25.4012 52.2604
 'D7846' 6.5000 31.9012 46.6304
 'D7847' 0.0000 31.9012 57.8904
 'D7848' 3.2500 31.9012 57.8904
 'D7849' 0.0000 31.9012 57.8904
 'D7850' -6.5001 31.9012 46.6304
 'D7851' -3.2500 31.9012 52.2604
 'D7852' 6.5000 38.4012 46.6304
 'D7853' 0.0000 38.4012 46.6304
 'D7854' 3.2500 38.4012 52.2604
 'D7855' 0.0000 38.4012 57.8904
 'D7856' -6.5001 38.4012 46.6304
 'D7857' -3.2500 38.4012 52.2604
 'D7858' 6.5000 11.6503 46.6302
 'D7859' 6.5000 18.1503 46.6302
 'D7860' -6.5000 11.6500 46.6300
 'D7861' -6.5000 18.1500 46.6301
 'D7862' 45.4000 39.4012 57.8904
 'MD' 22.7002 14.9003 26.1001
 \$ 'MUD' 22.7002 -80.1 26.1001
 \$ 'WIND' 22.7002 38.4012 26.1001
 \$ END JOINT COORDINATES
 \$
 UNITS M MTON DEG FAB
 \$
 \$
 \$
 \$
 \$
 UNITS M MTON DEG
 TYPE SPACE FRAME
 MEMBER INCIDENCES AND PROPERTIES PIPE OD 1. THI 0.06 \$ -
 \$ WATER MASS NONFLOODED BUOYANT STRUCTURAL -
 \$ DIVISION 1 THICK 0.06 -
 \$ DIAOUT 1. CMWATER 0.65 CMWATER 1.6 WT/V 7.841747
 'TD7059' 'D7529' 'D7567'
 'TD7064' 'D7531' 'D7569'
 'TD7283' 'D7625' 'D7664'
 'TD7288' 'D7627' 'D7666'
 'TD7509' - 'D7723' 'D7761'
 'TD7514' 'D7725' 'D7763'
 'TD7733' 'D7819' 'D7858'
 'TD7738' 'D7821' 'D7860'
 \$ END MEMBER INCIDENCES
 MEMBER INCIDENCES AND PROPERTIES PIPE OD 1. THI 0.03 \$ -
 \$ WATER MASS NONFLOODED BUOYANT STRUCTURAL -
 \$ DIVISION 1 THICK 0.03 -
 \$ DIAOUT 1. CMWATER 0.65 CMWATER 1.6 WT/V 7.841747
 'TD7079' 'D7533' 'D7541'
 'TD7303' 'D7629' 'D7637'
 'TD7529' 'D7727' 'D7735'
 'TD7753' 'D7823' 'D7831'
 \$ END MEMBER INCIDENCES
 MEMBER INCIDENCES AND PROPERTIES PIPE OD 0.3239 THI 0.0127 \$ -
 \$ WATER MASS NONFLOODED BUOYANT STRUCTURAL -
 \$ DIVISION 1 THICK 0.0127 -
 \$ DIAOUT 0.3239 CMWATER 0.65 CMWATER 2.0 WT/V 7.841747
 'TD7069' 'D7529' 'D7539'
 'TD7070' 'D7539' 'D7531'
 'TD7293' 'D7625' 'D7635'
 'TD7294' 'D7635' 'D7627'
 'TD7519' 'D7723' 'D7733'
 'TD7520' 'D7733' 'D7725'
 'TD7743' 'D7819' 'D7829'
 'TD7744' 'D7829' 'D7821'
 \$ END MEMBER INCIDENCES
 MEMBER INCIDENCES AND PROPERTIES PIPE OD 0.3556 THI 0.0318 \$ -
 \$ WATER MASS NONFLOODED BUOYANT STRUCTURAL -
 \$ DIVISION 1 THICK 0.0318 -
 \$ DIAOUT 0.3556 CMWATER 0.65 CMWATER 2.0 WT/V 7.841747
 'TD6935' 'D7529' 'D7530'
 'TD6936' 'D7530' 'D7531'
 'TD7157' 'D7625' 'D7626'
 'TD7158' 'D7626' 'D7627'
 'TD7385' 'D7723' 'D7724'
 'TD7386' 'D7724' 'D7725'
 'TD7607' 'D7819' 'D7820'
 'TD7608' 'D7820' 'D7821'
 \$ END MEMBER INCIDENCES
 MEMBER INCIDENCES AND PROPERTIES PIPE OD 0.4061 THI 0.0381 \$ -
 \$ WATER MASS NONFLOODED BUOYANT STRUCTURAL -
 \$ DIVISION 1 THICK 0.0381 -
 \$ DIAOUT 0.4061 CMWATER 0.65 CMWATER 2.0 WT/V 7.841747
 'TD6937' 'D7531' 'D7532'
 'TD6938' 'D7532' 'D7533'
 'TD6939' 'D7533' 'D7534'
 'TD6940' 'D7534' 'D7529'
 'TD7159' 'D7627' 'D7628'
 'TD7160' 'D7628' 'D7629'
 'TD7161' 'D7629' 'D7630'
 'TD7162' 'D7630' 'D7625'
 'TD7387' 'D7725' 'D7726'
 'TD7388' 'D7726' 'D7727'
 'TD7389' 'D7727' 'D7728'
 'TD7390' 'D7728' 'D7723'
 'TD7609' 'D7821' 'D7822'
 'TD7610' 'D7822' 'D7823'
 'TD7611' 'D7823' 'D7824'
 'TD7612' 'D7824' 'D7819'
 \$ END MEMBER INCIDENCES
 MEMBER INCIDENCES AND PROPERTIES PIPE OD 0.4064 THI 0.0254 \$ -
 \$ WATER MASS NONFLOODED BUOYANT STRUCTURAL -

\$ DIVISION 1 THICK 0.0254 -
 \$ DIAOUT 0.4064 CDWATER 0.65 CMWATER 2.0 WT/V 7.841747
 'TD7083' 'D7529' 'D7540'
 'TD7084' 'D7540' 'D7533'
 'TD7093' 'D7531' 'D7543'
 'TD7094' 'D7543' 'D7533'
 'TD7308' 'D7625' 'D7636'
 'TD7309' 'D7636' 'D7629'
 'TD7318' 'D7627' 'D7639'
 'TD7319' 'D7639' 'D7629'
 'TD7533' 'D7723' 'D7734'
 'TD7534' 'D7734' 'D7727'
 'TD7543' 'D7725' 'D7737'
 'TD7544' 'D7737' 'D7727'
 'TD7758' 'D7819' 'D7830'
 'TD7759' 'D7830' 'D7823'
 'TD7768' 'D7821' 'D7833'
 'TD7769' 'D7833' 'D7823'
 \$ END MEMBER INCIDENCES

MEMBER INCIDENCES AND PROPERTIES PIPE CD 1. THI 0.05 \$ -
 \$ WATER MASS NONFLOODED BUOYANT STRUCTURAL -
 \$ DIVISION 1 THICK 0.05 -
 \$ DIAOUT 1. CDWATER 1.05 CMWATER 1.2 WT/V 7.841747
 'TD7163' 'D7631' 'D7571'
 'TD7163' 'D7633' 'D7573'
 'TD7391' 'D7729' 'D7669'
 'TD7411' 'D7731' 'D7671'
 'TD7613' 'D7825' 'D7765'
 'TD7633' 'D7827' 'D7767'
 \$ END MEMBER INCIDENCES

MEMBER INCIDENCES AND PROPERTIES PIPE CD 1. THI 0.044 % -
 \$ WATER MASS NONFLOODED BUOYANT STRUCTURAL -
 \$ DIVISION 1 THICK 0.044 -
 \$ DIAOUT 1. CDWATER 1.05 CMWATER 1.2 WT/V 7.841747 -
 'TD6951' 'D7479' 'D7536'
 'TD7172' 'D7619' 'D7625'
 'TD7173' 'D7632' 'D7575'
 'TD7192' 'D7621' 'D7627'
 'TD7400' 'D7717' 'D7723'
 'TD7401' 'D7730' 'D7673'
 'TD7420' 'D7719' 'D7725'
 'TD7622' 'D7813' 'D7819'
 'TD7623' 'D7826' 'D7769'
 'TD7642' 'D7815' 'D7821'
 \$ END MEMBER INCIDENCES

MEMBER INCIDENCES AND PROPERTIES PIPE CD 1. THI 0.03 % -
 \$ WATER MASS NONFLOODED BUOYANT STRUCTURAL -
 \$ DIVISION 1 THICK 0.03 -
 \$ DIAOUT 1. CDWATER 1.05 CMWATER 1.2 WT/V 7.841747
 'TD6943' 'D7481' 'D7487'
 'TD6944' 'D7487' 'D7493'
 'TD6945' 'D7493' 'D7499'
 'TD6946' 'D7499' 'D7505'
 'TD6947' 'D7505' 'D7511'
 'TD6948' 'D7511' 'D7517'
 'TD6952' 'D7479' 'D7485'
 'TD6953' 'D7485' 'D7491'
 'TD6954' 'D7491' 'D7491'
 'TD6955' 'D7497' 'D7503'
 'TD6956' 'D7503' 'D7509'
 'TD6957' 'D7509' 'D7515'
 'TD6958' 'D7515' 'D7521'
 'TD6959' 'D7521' 'D7527'
 'TD6960' 'D7527' 'D7533'
 'TD6963' 'D7483' 'D7489'
 'TD6964' 'D7489' 'D7495'
 'TD6965' 'D7495' 'D7501'
 'TD6966' 'D7501' 'D7507'
 'TD6967' 'D7507' 'D7513'
 'TD6968' 'D7513' 'D7519'
 'TD7165' 'D7577' 'D7581'
 'TD7166' 'D7581' 'D7587'
 'TD7167' 'D7587' 'D7593'
 'TD7168' 'D7593' 'D7595'
 'TD7169' 'D7595' 'D7601'
 'TD7170' 'D7601' 'D7607'
 'TD7174' 'D7575' 'D7581'
 'TD7175' 'D7581' 'D7587'
 'TD7176' 'D7587' 'D7593'
 'TD7177' 'D7593' 'D7599'
 'TD7178' 'D7599' 'D7605'
 'TD7179' 'D7605' 'D7611'
 'TD7180' 'D7611' 'D7617'
 'TD7181' 'D7617' 'D7623'
 'TD7182' 'D7623' 'D7629'
 'TD7185' 'D7579' 'D7585'
 'TD7186' 'D7585' 'D7591'
 'TD7187' 'D7591' 'D7597'
 'TD7188' 'D7597' 'D7603'
 'TD7189' 'D7603' 'D7609'
 'TD7190' 'D7609' 'D7615'
 'TD7393' 'D7675' 'D7681'
 'TD7394' 'D7681' 'D7687'
 'TD7395' 'D7687' 'D7693'
 'TD7396' 'D7693' 'D7699'
 'TD7397' 'D7699' 'D7705'
 'TD7398' 'D7705' 'D7711'
 'TD7402' 'D7673' 'D7679'
 'TD7403' 'D7679' 'D7685'
 'TD7404' 'D7685' 'D7691'
 'TD7405' 'D7691' 'D7697'
 'TD7406' 'D7697' 'D7703'
 'TD7407' 'D7703' 'D7709'
 'TD7408' 'D7709' 'D7715'
 'TD7409' 'D7715' 'D7721'
 'TD7410' 'D7721' 'D7727'

\$ DIVISION 1 THICK 0.0127 -
 \$ DIAOUT 0.3239 CDWATER 1.05 CMWATER 2.0 WT/V 7.841747
 'TD6811' 'D7475' 'D7476'
 'TD6882' 'D7476' 'D7477'
 'TD6905' 'D7477' 'D7490'
 'TD6896' 'D7490' 'D7491'
 'TD6901' 'D7495' 'D7496'
 'TD6902' 'D7495' 'D7497'
 'TD6903' 'D7497' 'D7498'
 'TD6904' 'D7498' 'D7499'
 'TD6907' 'D7501' 'D7502'
 'TD6908' 'D7502' 'D7503'
 'TD6909' 'D7503' 'D7504'
 'TD6910' 'D7504' 'D7499'
 'TD6911' 'D7505' 'D7506'
 'TD6912' 'D7506' 'D7507'
 'TD6913' 'D7507' 'D7508'
 'TD6914' 'D7508' 'D7509'
 'TD6915' 'D7509' 'D7510'
 'TD6916' 'D7510' 'D7505'
 'TD6917' 'D7511' 'D7512'
 'TD6918' 'D7512' 'D7513'
 'TD6919' 'D7513' 'D7514'
 'TD6920' 'D7514' 'D7515'
 'TD6921' 'D7515' 'D7516'
 'TD6922' 'D7516' 'D7511'
 'TD7117' 'D7585' 'D7586'
 'TD7118' 'D7586' 'D7587'
 'TD7119' 'D7587' 'D7588'
 'TD7120' 'D7588' 'D7583'
 'TD7123' 'D7591' 'D7592'
 'TD7124' 'D7592' 'D7593'
 'TD7125' 'D7593' 'D7594'
 'TD7126' 'D7594' 'D7589'
 'TD7129' 'D7597' 'D7598'
 'TD7130' 'D7598' 'D7599'
 'TD7131' 'D7599' 'D7600'
 'TD7132' 'D7600' 'D7595'
 'TD7133' 'D7601' 'D7602'

'TD7134' 'D7602' 'D7603'
 'TD7135' 'D7603' 'D7604'
 'TD7136' 'D7604' 'D7605'
 'TD7137' 'D7605' 'D7606'
 'TD7138' 'D7606' 'D7601'
 'TD7139' 'D7607' 'D7608'
 'TD7140' 'D7608' 'D7609'
 'TD7141' 'D7609' 'D7610'
 'TD7142' 'D7610' 'D7611'
 'TD7143' 'D7611' 'D7612'
 'TD7144' 'D7612' 'D7607'
 'TD7345' 'D7683' 'D7684'
 'TD7346' 'D7684' 'D7685'
 'TD7351' 'D7689' 'D7690'
 'TD7352' 'D7690' 'D7691'
 'TD7353' 'D7691' 'D7692'
 'TD7354' 'D7692' 'D7687'
 'TD7357' 'D7695' 'D7696'
 'TD7358' 'D7696' 'D7697'
 'TD7359' 'D7697' 'D7698'
 'TD7360' 'D7698' 'D7693'
 'TD7361' 'D7699' 'D7700'
 'TD7362' 'D7700' 'D7701'
 'TD7363' 'D7701' 'D7702'
 'TD7364' 'D7702' 'D7703'
 'TD7365' 'D7703' 'D7704'
 'TD7366' 'D7704' 'D7699'
 'TD7367' 'D7705' 'D7706'
 'TD7368' 'D7706' 'D7707'
 'TD7369' 'D7707' 'D7708'
 'TD7370' 'D7708' 'D7709'
 'TD7371' 'D7709' 'D7710'
 'TD7372' 'D7710' 'D7705'
 'TD7567' 'D7779' 'D7780'
 'TD7568' 'D7780' 'D7781'
 'TD7569' 'D7781' 'D7782'
 'TD7570' 'D7782' 'D7777'
 'TD7573' 'D7785' 'D7786'
 'TD7574' 'D7786' 'D7787'
 'TD7575' 'D7787' 'D7788'
 'TD7576' 'D7788' 'D7789'
 'TD7577' 'D7789' 'D7790'
 'TD7578' 'D7790' 'D7791'
 'TD7580' 'D7792' 'D7793'
 'TD7581' 'D7793' 'D7794'
 'TD7582' 'D7794' 'D7789'
 'TD7583' 'D7795' 'D7796'
 'TD7584' 'D7796' 'D7797'
 'TD7587' 'D7799' 'D7800'
 'TD7588' 'D7800' 'D7795'
 'TD7589' 'D7801' 'D7802'
 'TD7590' 'D7802' 'D7803'
 'TD7591' 'D7803' 'D7804'
 'TD7592' 'D7804' 'D7805'
 'TD7593' 'D7805' 'D7806'
 'TD7594' 'D7806' 'D7801'
 \$ END MEMBER INCIDENCES

MEMBER INCIDENCES AND PROPERTIES PIPE OD 0.3556 THI 0.0254
 \$ -
 \$ WATER MASS NONFLOODED BUOYANT STRUCTURAL -
 \$ DIVISION 1 THICK 0.0254 -
 \$ DIAOUT 0.3556 CDWATER 1.05 CMWATER 2.0 WT/V 7.841747
 'TD6971' 'D7535' 'D7476'
 'TD6972' 'D7476' 'D7537'
 'TD6973' 'D7537' 'D7478'
 'TD6974' 'D7478' 'D7536'
 'TD6975' 'D7536' 'D7480'
 'TD6976' 'D7480' 'D7535'
 'TD6977' 'D7482' 'D7475'
 'TD6978' 'D7482' 'D7477'
 'TD6979' 'D7484' 'D7477'
 'TD6980' 'D7484' 'D7479'
 'TD6981' 'D7479' 'D7486'
 'TD6982' 'D7486' 'D7475'
 'TD7193' 'D7631' 'D7572'
 'TD7194' 'D7572' 'D7633'
 'TD7195' 'D7633' 'D7574'
 'TD7196' 'D7574' 'D7632'
 'TD7197' 'D7632' 'D7576'
 'TD7198' 'D7576' 'D7631'
 'TD7199' 'D7571' 'D7578'
 'TD7200' 'D7578' 'D7573'
 'TD7201' 'D7573' 'D7580'
 'TD7202' 'D7580' 'D7575'
 'TD7203' 'D7575' 'D7581'
 'TD7204' 'D7582' 'D7571'
 'TD7422' 'D7731' 'D7732'
 'TD7424' 'D7732' 'D7730'
 'TD7425' 'D7730' 'D7744'
 'TD7426' 'D7744' 'D7729'
 'TD7427' 'D7729' 'D7669'
 'TD7428' 'D7669' 'D7676'
 'TD7429' 'D7676' 'D7671'
 'TD7430' 'D7671' 'D7678'
 'TD7431' 'D7678' 'D7671'
 'TD7432' 'D7671' 'D7600'
 'TD7432' 'D7600' 'D7669'
 'TD7645' 'D7827' 'D7768'
 'TD7646' 'D7768' 'D7826'
 'TD7647' 'D7826' 'D7770'
 'TD7648' 'D7770' 'D7825'
 'TD7649' 'D7825' 'D7772'
 'TD7650' 'D7772' 'D7767'
 'TD7651' 'D7767' 'D7774'
 'TD7652' 'D7774' 'D7769'
 'TD7653' 'D7769' 'D7776'
 'TD7654' 'D7776' 'D7765'
 \$ END MEMBER INCIDENCES

MEMBER INCIDENCES AND PROPERTIES PIPE OD 0.3556 THI 0.0191 \$ -
 \$ WATER MASS NONFLOODED BUOYANT STRUCTURAL -
 \$ DIVISION 1 THICK 0.0191 -
 \$ DIAOUT 0.3556 CMWATER 1.05 CMWATER 2.0 WT/V 7.841747
 'TD7015' 'D7513' 'D7520'
 'TD7016' 'D7520' 'D7515'
 'TD7017' 'D7515' 'D7522'
 'TD7018' 'D7522' 'D7511'
 'TD7021' 'D7519' 'D7526'
 'TD7022' 'D7526' 'D7521'
 'TD7023' 'D7521' 'D7528'
 'TD7024' 'D7528' 'D7517'
 'TD7027' 'D7525' 'D7532'
 'TD7028' 'D7532' 'D7527'
 'TD7029' 'D7527' 'D7534'
 'TD7030' 'D7534' 'D7523'
 'TD7103' 'D7571' 'D7572'
 'TD7104' 'D7572' 'D7573'
 'TD7109' 'D7577' 'D7578'
 'TD7110' 'D7578' 'D7579'
 'TD7237' 'D7609' 'D7616'
 'TD7238' 'D7616' 'D7611'
 'TD7239' 'D7611' 'D7618'
 'TD7240' 'D7618' 'D7607'
 'TD7243' 'D7615' 'D7622'
 'TD7244' 'D7622' 'D7617'
 'TD7245' 'D7617' 'D7624'
 'TD7246' 'D7624' 'D7613'
 'TD7249' 'D7621' 'D7628'
 'TD7250' 'D7628' 'D7623'
 'TD7251' 'D7623' 'D7630'
 'TD7331' 'D7669' 'D7670'
 'TD7332' 'D7670' 'D7671'
 'TD7337' 'D7675' 'D7676'
 'TD7338' 'D7676' 'D7677'
 'TD7421' 'D7729' 'D7670'
 'TD7422' 'D7670' 'D7731'
 'TD7465' 'D7707' 'D7714'
 'TD7466' 'D7714' 'D7709'
 'TD7467' 'D7709' 'D7716'
 'TD7468' 'D7716' 'D7705'
 'TD7471' 'D7713' 'D7720'
 'TD7472' 'D7720' 'D7715'
 'TD7473' 'D7715' 'D7722'
 'TD7474' 'D7722' 'D7711'
 'TD7477' 'D7719' 'D7726'
 'TD7478' 'D7726' 'D7721'
 'TD7479' 'D7721' 'D7728'
 'TD7480' 'D7728' 'D7717'
 'TD7553' 'D7765' 'D7766'
 'TD7554' 'D7766' 'D7767'
 'TD7559' 'D7771' 'D7772'
 'TD7560' 'D7772' 'D7773'
 'TD7687' 'D7803' 'D7810'
 'TD7688' 'D7810' 'D7805'
 'TD7689' 'D7805' 'D7812'
 'TD7690' 'D7812' 'D7801'
 'TD7693' 'D7809' 'D7816'
 'TD7694' 'D7816' 'D7811'
 'TD7695' 'D7811' 'D7818'
 'TD7696' 'D7818' 'D7807'
 'TD7699' 'D7815' 'D7822'
 'TD7700' 'D7822' 'D7817'
 'TD7701' 'D7817' 'D7824'
 'TD7702' 'D7824' 'D7813'
 \$ END MEMBER INCIDENCES

MEMBER INCIDENCES AND PROPERTIES PIPE OD 0.3556 THI 0.0127 \$ -
 \$ WATER MASS NONFLOODED BUOYANT STRUCTURAL -
 \$ DIVISION 1 THICK 0.0127 -
 \$ DIAOUT 0.3556 CMWATER 1.05 CMWATER 2.0 WT/V 7.841747
 'TD6983' 'D7477' 'D7478'
 'TD6984' 'D7478' 'D7479'
 'TD6985' 'D7479' 'D7480'
 'TD6986' 'D7480' 'D7475'
 'TD6987' 'D7483' 'D7484'
 'TD6990' 'D7484' 'D7485'
 'TD6991' 'D7485' 'D7486'
 'TD6992' 'D7486' 'D7481'
 'TD7105' 'D7573' 'D7574'
 'TD7106' 'D7574' 'D7575'
 'TD7107' 'D7575' 'D7576'
 'TD7108' 'D7576' 'D7571'
 'TD7111' 'D7579' 'D7580'
 'TD7112' 'D7580' 'D7581'
 'TD7113' 'D7581' 'D7582'
 'TD7114' 'D7582' 'D7574'
 'TD7198' 'D7631' 'D7631'
 'TD7200' 'D7571' 'D7578'
 'TD7201' 'D7578' 'D7573'
 'TD7202' 'D7573' 'D7580'
 'TD7203' 'D7580' 'D7575'
 'TD7204' 'D7575' 'D7582'
 'TD7205' 'D7582' 'D7571'
 'TD7422' 'D7731' 'D7732'
 'TD7424' 'D7732' 'D7730'
 'TD7425' 'D7730' 'D7744'
 'TD7426' 'D7744' 'D7729'
 'TD7427' 'D7729' 'D7669'
 'TD7428' 'D7669' 'D7676'
 'TD7429' 'D7676' 'D7671'
 'TD7430' 'D7671' 'D7678'
 'TD7431' 'D7678' 'D7671'
 'TD7432' 'D7671' 'D7600'
 'TD7432' 'D7600' 'D7669'
 'TD7645' 'D7827' 'D7768'
 'TD7646' 'D7768' 'D7826'
 'TD7647' 'D7826' 'D7770'
 'TD7648' 'D7770' 'D7825'
 'TD7649' 'D7825' 'D7772'
 'TD7650' 'D7772' 'D7767'
 'TD7651' 'D7767' 'D7774'
 'TD7652' 'D7774' 'D7775'
 'TD7653' 'D7775' 'D7776'
 'TD7654' 'D7776' 'D7771'
 \$ END MEMBER INCIDENCES

MEMBER INCIDENCES AND PROPERTIES PIPE OD 0.3239 THI 0.0254 \$ -
 \$ WATER MASS NONFLOODED BUOYANT STRUCTURAL -
 \$ DIVISION 1 THICK 0.0254 -
 \$ DIAOUT 0.3239 CMWATER 1.05 CMWATER 2.0 WT/V 7.841747

'TD6985' 'D7483' 'D7490'
'TD6986' 'D7490' 'D7485'
'TD6987' 'D7485' 'D7492'
'TD6988' 'D7492' 'D7481'
'TD6989' 'D7489' 'D7496'
'TD6992' 'D7496' 'D7491'
"D6993" "D7491" "D7498"
"TD6994" "D7498" "D7487"
"D6997" "D7495" "D7502"
"TD6998" "D7502" "D7497"
"TL6999" "D7497" "D7504"
"TD7000" "D7504" "D7499"
"TD7003" "D7501" "D7509"
"TD7004" "D7508" "D7503"
"TD7005" "D7503" "D7510"
"TD7006" "D7510" "D7499"
"TD7007" "D7505" "D7512"
"TL7008" "D7512" "D7507"
"TD7009" "D7507" "D7514"
"TD7010" "D7514" "D7509"
"TD7011" "D7509" "D7516"
"TD7012" "D7516" "D7505"
"TD7013" "D7511" "D7518"
"TD7014" "D7518" "D7513"
"TD7019" "D7517" "D7524"
"TD7020" "D7524" "D7519"
"TD7025" "D7525" "D7550"
"TD7026" "D7530" "D7525"
"TD7207" "D7579" "D7596"
"TD7208" "D7586" "D7581"
"TD7209" "D7581" "D7566"
"TD7210" "D7586" "D7577"
"TD7213" "D7585" "D7592"
"TD7214" "D7592" "D7587"
"TD7215" "D7587" "D7594"
"TD7216" "D7594" "D7583"
"TD7219" "D7591" "D7598"
"TD7220" "D7598" "D7593"
"TD7221" "D7593" "D7600"
"TD7222" "D7600" "D7589"
"TD7225" "D7597" "D7604"
"TD7226" "D7604" "D7599"
"TD7227" "D7599" "D7606"
"TD7228" "D7606" "D7595"
"TD7229" "D7601" "D7608"
"TD7230" "D7608" "D7603"
"TL7231" "D7603" "D7610"
"TD7232" "D7610" "D7605"
"TL7233" "D7605" "D7612"
"TD7234" "D7612" "D7601"
"TD7235" "D7607" "D7614"
"TD7236" "D7614" "D7609"
"TD7241" "D7613" "D7620"
"TD7242" "D7620" "D7615"
"TD7247" "D7619" "D7626"
"TD7248" "D7626" "D7621"
"TD7435" "D7664" "D7677"
"TD7436" "D7684" "D7679"
"TD7437" "D7679" "D7686"
"TD7438" "D7686" "D7675"
"TD7441" "D7681" "D7690"
"TD7442" "D7690" "D7685"
"TD7443" "D7685" "D7692"
"TD7444" "D7692" "D7681"
"TD7447" "D7689" "D7696"
"TD7448" "D7696" "D7691"
"TD7449" "D7691" "D7698"
"TD7450" "D7698" "D7687"
"TD7453" "D7695" "D7702"
"TD7454" "D7702" "D7697"
"TD7455" "D7697" "D7704"
"TD7456" "D7704" "D7693"
"TD7457" "D7693" "D7706"
"TD7458" "D7706" "D7701"
"TD7459" "D7701" "D7708"
"TD7460" "D7708" "D7703"
"TD7461" "D7703" "D7710"
"TD7462" "D7710" "D7699"
"TD7463" "D7705" "D7712"
"TD7464" "D7712" "D7707"
"TD7469" "D7711" "D7718"
"TD7470" "D7718" "D7713"
"TD7475" "D7717" "D7724"
"TD7476" "D7724" "D7719"
"TD7585" "D7797" "D7798"
"TD7586" "D7798" "D7793"
"TD7657" "D7773" "D7780"
"TD7658" "D7780" "D7775"
"TD7659" "D7775" "D7782"
"TD7660" "D7782" "D7771"
"TD7663" "D7779" "D7786"
"TD7664" "D7786" "D7781"
"TD7665" "D7781" "D7788"
"TD7666" "D7788" "D7777"
"TD7669" "D7777" "D7792"
"TD7670" "D7792" "D7787"
"TU7671" "D7787" "D7794"
"TD7672" "D7794" "D7783"
"TD7675" "D7791" "D7798"
"TD7676" "D7798" "D7793"
"TD7677" "D7793" "D7800"
"TD7678" "D7800" "D7789"
"TD7679" "D7795" "D7802"
"TD7680" "D7802" "D7797"
"TD7681" "D7797" "D7804"
"TD7682" "D7804" "D7799"
"TD7683" "D7799" "D7806"
"TD7684" "D7806" "D7795"
"TD7691" "D7807" "D7814"

'TD7692' 'D7814' 'D7809'
'TD7697' 'D7813' 'D7820'
"TD7698" "D7820" "D7815"
\$ END MEMBER INCIDENCES

MEMBER INCIDENCES AND PROPERTIES PIPE OD 0.3556 THI 0.0159 \$ -
\$ WATER MASS NONFLOODED BUOYANT STRUCTURAL -

\$ DIVISION 1 THICK 0.0159 -

\$ DIAOUT 0.3556 CMWATER 1.05 CMWATER 2.0 WT/V 7.841747

"TD6925" "D7519" "D7520"
"TD6926" "D7520" "D7521"
"TD6927" "D7521" "D7522"
"TD6928" "D7522" "D7517"
"TD6931" "D7525" "D7526"
"TD6932" "D7526" "D7527"
"TD6933" "D7527" "D7528"
"TD6934" "D7528" "D7523"
"TD7147" "D7615" "D7616"
"TD7148" "D7616" "D7617"
"TD7149" "D7617" "D7618"
"TD7150" "D7618" "D7613"
"TD7153" "D7621" "D7622"
"TD7154" "D7622" "D7623"
"TD7155" "D7623" "D7624"
"TD7156" "D7624" "D7619"
"TD7375" "D7713" "D7714"
"TD7376" "D7714" "D7715"
"TD7377" "D7715" "D7716"
"TD7378" "D7716" "D7711"
"TD7381" "D7719" "D7720"
"TD7382" "D7720" "D7721"
"TD7383" "D7721" "D7722"
"TD7384" "D7722" "D7717"
"TD7597" "D7809" "D7810"
"TD7598" "D7810" "D7811"
"TD7599" "D7811" "D7812"
"TD7600" "D7812" "D7807"
"TD7603" "D7815" "D7816"
"TD7604" "D7816" "D7817"
"TD7605" "D7817" "D7818"
"TD7606" "D7818" "D7813"
\$ END MEMBER INCIDENCES

MEMBER INCIDENCES AND PROPERTIES PIPE OD 0.3239 THI 0.0286 \$ -
\$ WATER MASS NONFLOODED BUOYANT STRUCTURAL -

\$ DIVISION 1 THICK 0.0286 -

\$ DIAOUT 0.3239 CMWATER 1.05 CMWATER 2.0 WT/V 7.841747

"TD6983" "D7481" "D7488"
"TD6984" "D7488" "D7483"
"TD6989" "D7487" "D7494"
"TD6990" "D7494" "D7489"
"TD6995" "D7493" "D7500"
"TD6996" "D7500" "D7495"
"TD7001" "D7499" "D7506"
"TD7002" "D7506" "D7501"
"TD7205" "D7577" "D7584"
"TD7206" "D7584" "D7579"
"TD7211" "D7583" "D7590"
"TD7212" "D7590" "D7585"
"TD7217" "D7589" "D7596"
"TD7218" "D7596" "D7591"
"TD7223" "D7595" "D7602"
"TD7224" "D7602" "D7597"
"TD7433" "D7675" "D7682"
"TD7434" "D7682" "D7677"
"TD7439" "D7681" "D7688"
"TD7440" "D7688" "D7683"
"TD7445" "D7687" "D7694"
"TD7446" "D7694" "D7689"
"TD7451" "D7693" "D7700"
"TD7452" "D7700" "D7695"
"TD7455" "D7771" "D7778"
"TD7656" "D7778" "D7773"
"TD7661" "D7777" "D7784"
"TD7662" "D7784" "D7779"
"TD7667" "D7783" "D7790"
"TD7668" "D7790" "D7785"
"TD7673" "D7789" "D7796"
"TD7674" "D7796" "D7791"
\$ END MEMBER INCIDENCES

MEMBER INCIDENCES AND PROPERTIES PIPE OD 0.3239 THI 0.0159 \$ -
\$ WATER MASS NONFLOODED BUOYANT STRUCTURAL -

\$ DIVISION 1 THICK 0.0159 -

\$ DIAOUT 0.3239 CMWATER 1.05 CMWATER 2.0 WT/V 7.841747

"TD6933" "D7487" "D7488"
"TD6934" "D7488" "D7489"
"TD6939" "D7493" "D7494"
"TD6940" "D7494" "D7495"
"TD6950" "D7499" "D7500"
"TD6951" "D7500" "D7495"
"TD6955" "D7500" "D7495"
"TD7001" "D7499" "D7506"
"TD7002" "D7506" "D7501"
"TD7205" "D7577" "D7584"
"TD7206" "D7584" "D7579"
"TD7211" "D7583" "D7590"
"TD7212" "D7590" "D7585"
"TD7217" "D7589" "D7596"
"TD7218" "D7596" "D7591"
"TD7223" "D7595" "D7602"
"TD7224" "D7602" "D7597"
"TD7433" "D7675" "D7682"
"TD7434" "D7682" "D7677"
"TD7439" "D7681" "D7688"
"TD7440" "D7688" "D7683"
"TD7445" "D7687" "D7694"
"TD7446" "D7694" "D7689"
"TD7451" "D7693" "D7700"
"TD7452" "D7700" "D7695"
"TD7455" "D7771" "D7778"
"TD7656" "D7778" "D7773"
"TD7661" "D7777" "D7784"
"TD7662" "D7784" "D7779"
"TD7667" "D7783" "D7790"
"TD7668" "D7790" "D7785"
"TD7673" "D7789" "D7796"
"TD7674" "D7796" "D7791"
\$ END MEMBER INCIDENCES

MEMBER INCIDENCES AND PROPERTIES PIPE OD 0.3239 THI 0.0159 \$ -
\$ WATER MASS NONFLOODED BUOYANT STRUCTURAL -

\$ DIVISION 1 THICK 0.0159 -

\$ DIAOUT 0.3239 CMWATER 1.05 CMWATER 2.0 WT/V 7.841747

"TD6933" "D7487" "D7488"
"TD6934" "D7488" "D7489"
"TD6939" "D7493" "D7494"
"TD6940" "D7494" "D7495"
"TD6950" "D7499" "D7500"
"TD6951" "D7500" "D7495"
"TD6955" "D7500" "D7495"
"TD7001" "D7499" "D7506"
"TD7002" "D7506" "D7501"
"TD7205" "D7577" "D7584"
"TD7206" "D7584" "D7579"
"TD7211" "D7583" "D7590"
"TD7212" "D7590" "D7585"
"TD7217" "D7589" "D7596"
"TD7218" "D7596" "D7591"
"TD7223" "D7595" "D7602"
"TD7224" "D7602" "D7597"
"TD7433" "D7675" "D7682"
"TD7434" "D7682" "D7677"
"TD7439" "D7681" "D7688"
"TD7440" "D7688" "D7683"
"TD7445" "D7687" "D7694"
"TD7446" "D7694" "D7689"
"TD7451" "D7693" "D7700"
"TD7452" "D7700" "D7695"
"TD7455" "D7771" "D7778"
"TD7656" "D7778" "D7773"
"TD7661" "D7777" "D7784"
"TD7662" "D7784" "D7779"
"TD7667" "D7783" "D7790"
"TD7668" "D7790" "D7785"
"TD7673" "D7789" "D7796"
"TD7674" "D7796" "D7791"
\$ END MEMBER INCIDENCES

* TD735* 'D7691' 'D7694'
 * TD736* 'D7694' 'D7695'
 * TD737* 'D7711' 'D7712'
 * TD738* 'D7712' 'D7713'
 * TD739* 'D7717' 'D7718'
 * TD740* 'D7718' 'D7719'
 * TD756* 'D7777' 'D7778'
 * TD756* 'D7778' 'D7779'
 * TD757* 'D7783' 'D7784'
 * TD757* 'D7784' 'D7785'
 * TD757* 'D7789' 'D7790'
 * TD757* 'D7790' 'D7791'
 * TD759* 'D7807' 'D7808'
 * TD759* 'D7808' 'D7809'
 * TD760* 'D7813' 'D7814'
 * TD760* 'D7814' 'D7815'
 \$ END MEMBER INCIDENCES
 MEMBER INCIDENCES AND PROPERTIES PIPE OD 0.3239 THI 0.0127
 \$ WIND MASS NONFLOODED NONBUOYANT STRUCTURAL -
 \$ DIVISION 1 THICK 0.0127 -
 \$ DIAOUT 0.3239 CDWIND 1.0 WT/V 7.841747
 '1DB21' 'D7733' 'D7725'
 '1DB22' 'D7723' 'D7733'
 '1DB21' 'D7829' 'D7821'
 '2DB22' 'D7819' 'D7829'
 '3DB1' 'D7625' 'D7635'
 '3DB2' 'D7635' 'D7627'
 '4DB1' 'D7529' 'D7539'
 '4DB2' 'D7539' 'D7531'
 \$ END MEMBER INCIDENCES
 MEMBER INCIDENCES AND PROPERTIES PIPE OD 0.324 THI 0.013 \$
 \$ WIND MASS NONFLOODED NONBUOYANT STRUCTURAL -
 \$ DIVISION 1 THICK 0.013 -
 \$ DIAOUT 0.324 CDWIND 1.0 WT/V 7.841747
 '1DB23' 'D7739' 'D7736'
 '1DB24' 'D7732' 'D7739'
 '1DB25' 'D7745' 'D7742'
 '1DB26' 'D7738' 'D7745'
 '1DB27' 'D7751' 'D7748'
 '1DB28' 'D7744' 'D7751'
 '1DB29' 'D7757' 'D7754'
 '1DB30' 'D7750' 'D7757'
 '2DB23' 'D7835' 'D7832'
 '2DB24' 'D7835' 'D7835'
 '2DB25' 'D7841' 'D7838'
 '2DB26' 'D7834' 'D7841'
 '2DB27' 'D7847' 'D7844'
 '2DB28' 'D7840' 'D7847'
 '2DB29' 'D7853' 'D7850'
 '2DB30' 'D7846' 'D7853'
 '3DB14' 'D7640' 'D7647'
 '3DB17' 'D7647' 'D7644'
 '3DB19' 'D7646' 'D7653'
 '3DB20' 'D7653' 'D7650'
 '3DB25' 'D7652' 'D7653'
 '3DB26' 'D7653' 'D7656'
 '3DB27' 'D7654' 'D7658'
 '4HB14' 'D7654' 'D7655'
 '4HB19' 'D7655' 'D7551'
 '4HB20' 'D7551' 'D7554'
 '4HB25' 'D7556' 'D7557'
 '4HB26' 'D7557' 'D7560'
 '4HB7' 'D7558' 'D7539'
 '4HB8' 'D7539' 'D7542'
 \$ END MEMBER INCIDENCES
 MEMBER INCIDENCES AND PROPERTIES PIPE OD 0.356 THI 0.255 \$ -
 \$ WIND MASS NONFLOODED NONBUOYANT STRUCTURAL -
 \$ DIVISION 1 THICK 0.255 -
 \$ DIAOUT 0.356 CDWIND 1.0 WT/V 7.841747
 '1DB10' 'D7760' 'D7753'
 '1DB11' 'D7758' 'D7753'
 '1DB20' 'D7750' 'D7758'
 '1DB9' 'D7754' 'D7760'
 '2DB17' 'D7850' 'D7857'
 '2DB18' 'D7857' 'D7849'
 '2DB19' 'D7854' 'D7849'
 '2DB20' 'D7846' 'D7854'
 '3DB27' 'D7652' 'D7660'
 '3DB28' 'D7660' 'D7655'
 '3DB29' 'D7663' 'D7655'
 '3DB30' 'D7656' 'D7663'
 '4DB27' 'D7556' 'D7564'
 '4DB28' 'D7564' 'D7559'
 '4DB29' 'D7566' 'D7559'
 '4DB30' 'D7560' 'D7566'
 \$ END MEMBER INCIDENCES
 MEMBER INCIDENCES AND PROPERTIES PIPE OD 0.356 THI 0.0195 \$ -
 \$ WIND MASS NONFLOODED NONBUOYANT STRUCTURAL -
 \$ DIVISION 1 THICK 0.0195 -
 \$ DIAOUT 0.356 CDWIND 1.0 WT/V 7.841747
 '1HB35' 'D7757' 'D7759'
 '1HB36' 'D7756' 'D7757'
 '2HB36' 'D7853' 'D7856'
 '2HB37' 'D7852' 'D7853'
 '3HB31' 'D7658' 'D7659'
 '3HB32' 'D7659' 'D7662'
 '4HB31' 'D7562' 'D7563'
 '4HB32' 'D7563' 'D7565'
 \$ END MEMBER INCIDENCES
 MEMBER INCIDENCES AND PROPERTIES PIPE OD 0.356 THI 0.13 \$ -
 \$ WIND MASS NONFLOODED NONBUOYANT STRUCTURAL -
 \$ DIVISION 1 THICK 0.13 -
 \$ DIAOUT 0.356 CDWIND 1.0 WT/V 7.841747
 '1HB11' 'D7759' 'D7760'
 '1HB12' 'D7760' 'D7862'
 '1HB23' 'D7862' 'D7758'
 '1HB24' 'D7758' 'D7756'
 '2HB22' 'D7856' 'D7857'
 '2HB23' 'D7857' 'D7855'
 '2HB24' 'D7855' 'D7854'
 '2HB25' 'D7854' 'D7852'
 '3HB33' 'D7660' 'D7658'
 '3HB34' 'D7661' 'D7660'
 '3HB35' 'D7663' 'D7661'
 '3HB36' 'D7662' 'D7663'
 '4HB31' 'D7564' 'D7562'
 '4HB34' 'D7668' 'D7564'
 '4HB35' 'D7566' 'D7668'
 '4HB36' 'D7565' 'D7566'
 \$ END MEMBER INCIDENCES
 MEMBER INCIDENCES AND PROPERTIES PIPE OD 0.406 THI 0.025 \$ -
 \$ WIND MASS NONFLOODED NONBUOYANT STRUCTURAL -
 \$ DIVISION 1 THICK 0.025 -
 \$ DIAOUT 0.406 CDWIND 1.0 WT/V 7.841747
 '1DB13' 'D7740' 'D7735'
 '1DB14' 'D7732' 'D7740'
 '1DB15' 'D7746' 'D7741'
 '1DB16' 'D7738' 'D7746'
 '1DB17' 'D7752' 'D7747'
 '1DB18' 'D7744' 'D7752'
 '1DB3' 'D7736' 'D7743'
 '1DB4' 'D7743' 'D7735'
 '1DB5' 'D7742' 'D7749'
 '1DB6' 'D7749' 'D7741'
 '1DB7' 'D7748' 'D7755'
 '1DB8' 'D7755' 'D7747'
 '2DB10' 'D7845' 'D7837'
 '2DB11' 'D7842' 'D7837'
 '2DB12' 'D7834' 'D7842'
 '2DB13' 'D7844' 'D7851'
 '2DB14' 'D7851' 'D7843'
 '2DB15' 'D7848' 'D7843'
 '2DB16' 'D7840' 'D7848'
 '2DB5' 'D7832' 'D7839'
 '2DB6' 'D7839' 'D7831'
 '2DB7' 'D7836' 'D7831'
 '2DB8' 'D7828' 'D7836'
 '2DB9' 'D7838' 'D7845'
 '3DB10' 'D7642' 'D7637'
 '3DB11' 'D7645' 'D7637'
 '3DB12' 'D7638' 'D7645'
 '3DB13' 'D7640' 'D7648'
 '3DB15' 'D7648' 'D7642'
 '3DB16' 'D7651' 'D7643'

'3DB18' 'D7644' 'D7651'
 '3DB21' 'D7646' 'D7654'
 '3DB22' 'D7654' 'D7649'
 '3DB23' 'D7657' 'D7649'
 '3DB24' 'D7650' 'D7657'
 '3DB9' 'D7634' 'D7642'
 '4DB9' 'D7538' 'D7546'
 '4DB10' 'D7546' 'D7541'
 '4DB11' 'D7549' 'D7541'
 '4DB12' 'D7542' 'D7549'
 '4DB15' 'D7544' 'D7552'
 '4DB16' 'D7552' 'D7547'
 '4DB17' 'D7555' 'D7547'
 '4DB18' 'D7548' 'D7555'
 '4DB21' 'D7550' 'D7558'
 '4DB22' 'D7558' 'D7553'
 '4DB23' 'D7561' 'D7553'
 '4DB24' 'D7554' 'D7561'
 \$ END MEMBER INCIDENCES
 MEMBER INCIDENCES AND PROPERTIES PIPE OD 0.406 THI 0.0381 \$ -
 \$ WIND MASS NONFLOODED NONBOUYANT STRUCTURAL -
 \$ DIVISION 1 THICK 0.0381 -
 \$ DIAOUT 0.406 CMWIND 1.0 WT/V 7.841747
 '1HB1' 'D7725' 'D7726'
 '1HB2' 'D7726' 'D7727'
 '1HB13' 'D7727' 'D7728'
 '1HB14' 'D7728' 'D7723'
 '2HB1' 'D7821' 'D7822'
 '2HB3' 'D7822' 'D7823'
 '2HB4' 'D7823' 'D7824'
 '2HB5' 'D7824' 'D7813'
 '3HB3' 'D7630' 'D7625'
 '3HB4' 'D7629' 'D7630'
 '3HB5' 'D7628' 'D7629'
 '3HB6' 'D7627' 'D7628'
 '4HB1' 'D7534' 'D7529'
 '4HB4' 'D7533' 'D7534'
 '4HB5' 'D7532' 'D7533'
 '4HB6' 'D7531' 'D7532'
 \$ END MEMBER INCIDENCES
 MEMBER INCIDENCES AND PROPERTIES PIPE OD 0.4064 THI 0.0254 \$ -
 \$ WIND MASS NONFLOODED NONBOUYANT STRUCTURAL -
 \$ DIVISION 1 THICK 0.0254 -
 \$ DIAOUT 0.4064 CMWIND 1.0 WT/V 7.841747
 '1DB1' 'D7725' 'D7727'
 '1DB2' 'D7737' 'D7727'
 '1DB11' 'D7734' 'D7727'
 '1DB12' 'D7723' 'D7734'
 '2DB1' 'D7821' 'D7833'
 '2DB2' 'D7833' 'D7823'
 '2DB3' 'D7830' 'D7823'
 '2DB4' 'D7819' 'D7830'
 '3DB3' 'D7625' 'D7636'
 '3DB4' 'D7636' 'D7629'
 '3DB5' 'D7639' 'D7629'
 '3DB6' 'D7627' 'D7639'
 '4DB3' 'D7529' 'D7540'
 '4DB4' 'D7540' 'D7533'
 '4DB5' 'D7543' 'D7533'
 '4DB6' 'D7531' 'D7543'
 \$ END MEMBER INCIDENCES
 MEMBER INCIDENCES AND PROPERTIES PIPE OD 0.508 THI 0.0255 \$ -
 \$ WIND MASS NONFLOODED NONBOUYANT STRUCTURAL -
 \$ DIVISION 1 THICK 0.0255 -
 \$ DIAOUT 0.508 CMWIND 1.0 WT/V 7.841747
 '1HB1' 'D7736' 'D7737'
 '1HB4' 'D7737' 'D7735'
 '1HB5' 'D7742' 'D7743'
 '1HB6' 'D7743' 'D7741'
 '1HB7' 'D7748' 'D7749'
 '1HB8' 'D7749' 'D7747'
 '1HB9' 'D7784' 'D7755'
 '1HE10' 'D7755' 'D7755'
 '1HB15' 'D7735' 'D7734'
 '1HB16' 'D7734' 'D7732'
 '1HB17' 'D7741' 'D7740'
 '1HB18' 'D7740' 'D7736'
 '1HB19' 'D7747' 'D7746'
 '1HB20' 'D7746' 'D7744'
 '1HB21' 'D7753' 'D7752'
 '1HB22' 'D7752' 'D7750'
 '2HB10' 'D7838' 'D7839'
 '2HB11' 'D7839' 'D7837'
 '2HB12' 'D7837' 'D7836'
 '2HB13' 'D7836' 'D7834'
 '2HB14' 'D7844' 'D7845'
 '2HB15' 'D7845' 'D7843'
 '2HB16' 'D7843' 'D7842'
 '2HB17' 'D7842' 'D7840'
 '2HB18' 'D7850' 'D7851'
 '2HB19' 'D7851' 'D7849'
 '2HB20' 'D7849' 'D7848'
 '2HB21' 'D7848' 'D7846'
 '2HB6' 'D7832' 'D7833'
 '2HB7' 'D7833' 'D7831'
 '2HB8' 'D7831' 'D7830'
 '2HB9' 'D7830' 'D7828'
 '2HB9' 'D7636' 'D7634'
 '3HB10' 'D7637' 'D7636'
 '3HB11' 'D7639' 'D7637'
 '3HB12' 'D7638' 'D7639'
 '3HB15' 'D7642' 'D7640'
 '3HB16' 'D7643' 'D7642'
 \$ END MEMBER INCIDENCES
 MEMBER INCIDENCES AND PROPERTIES PIPE OD 1.0 THI 0.04 \$ -
 \$ WIND MASS NONFLOODED NONBOUYANT STRUCTURAL -
 \$ DIVISION 1 THICK 0.04 -
 \$ DIAOUT 1.0 CMWIND 1.0 WT/V 7.841747
 '1CH13' 'D7738' 'D7744'
 '1CH14' 'D7744' 'D7750'
 '1CH15' 'D7750' 'D7756'
 '1CH16' 'D7742' 'D7748'
 '1CH17' 'D7748' 'D7754'
 '1CH18' 'D7754' 'D7759'
 '1CH19' 'D7759' 'D7780'
 '2CH14' 'D7780' 'D7840'
 '2CH15' 'D7840' 'D7846'
 '2CH3' 'D7838' 'D7844'
 '2CH4' 'D7844' 'D7850'
 '2CH5' 'D7850' 'D7856'
 '4CH3' 'D7755' 'D7755'
 '4CH4' 'D7755' 'D7756'
 '4CH5' 'D7756' 'D7762'
 '4CH6' 'D7762' 'D7765'
 '4CH7' 'D7765' 'D7760'
 '4CH8' 'D7754' 'D7754'
 '3CH13' 'D7644' 'D7650'
 '3CH14' 'D7650' 'D7656'
 '3CH15' 'D7656' 'D7662'
 '3CH3' 'D7640' 'D7646'
 '3CH4' 'D7646' 'D7652'
 '3CH5' 'D7652' 'D7658'
 \$ END MEMBER INCIDENCES
 MEMBER INCIDENCES AND PROPERTIES PIPE OD 1.0 THI 0.06 \$ -
 \$ WIND MASS NONFLOODED NONBOUYANT STRUCTURAL -
 \$ DIVISION 1 THICK 0.03 -
 \$ DIAOUT 1.0 CMWIND 1.0 WT/V 7.841747
 '1CH1' 'D7725' 'D7763'
 '1CH2' 'D7736' 'D7764'
 '1CH11' 'D7723' 'D7761'
 '1CH12' 'D7732' 'D7762'
 '1CH16' 'D7763' 'D7736'
 '1CH17' 'D7764' 'D7742'
 '1CH18' 'D7762' 'D7738'
 '1CH19' 'D7761' 'D7732'
 '2CH1' 'D7821' 'D7860'
 '2CH2' 'D7832' 'D7661'
 '2CH11' 'D7819' 'D7858'
 '2CH12' 'D7828' 'D7859'
 '2CH16' 'D7860' 'D7832'
 '2CH17' 'D7861' 'D7838'
 '2CH18' 'D7858' 'D7828'
 '2CH19' 'D7889' 'D7834'
 '3CH1' 'D7625' 'D7664'
 '3CH2' 'D7634' 'D7665'
 '3CH11' 'D7627' 'D7666'
 '3CH12' 'D7638' 'D7667'
 '3CH16' 'D7664' 'D7634'
 '3CH17' 'D7665' 'D7640'
 '3CH18' 'D7666' 'D7638'
 '3CH19' 'D7667' 'D7644'
 '4CH1' 'D7529' 'D7567'
 '4CH2' 'D7538' 'D7568'
 '4CH9' 'D7542' 'D7570'
 '4CH10' 'D7531' 'D7569'
 '4CH16' 'D7567' 'D7538'
 '4CH17' 'D7568' 'D7544'
 '4CH18' 'D7570' 'D7548'
 '4CH19' 'D7569' 'D7542'
 \$ END MEMBER INCIDENCES
 MEMBER INCIDENCES AND PROPERTIES PIPE OD 1.0 THI 0.03 \$ -
 \$ WIND MASS NONFLOODED NONBOUYANT STRUCTURAL -
 \$ DIVISION 1 THICK 0.03 -
 \$ DIAOUT 1.0 CMWIND 1.0 WT/V 7.841747
 '1CH6' 'D7753' 'D7862'
 '1CH7' 'D7747' 'D7753'
 '1CH8' 'D7741' 'D7747'
 '1CH9' 'D7735' 'D7741'
 '1CH10' 'D7727' 'D7735'
 '4CH11' 'D7533' 'D7541'
 '4CH12' 'D7541' 'D7547'
 '4CH13' 'D7547' 'D7553'
 '4CH14' 'D7553' 'D7559'

```

'4CH15'      'D7559'      'D7668'
'2CH6'        'D7849'      'D7855'
'2CH7'        'D7843'      'D7849'
'2CH8'        'D7837'      'D7843'
'2CH9'        'D7831'      'D7837'
'2CH10'       'D7823'      'D7831'
'3CH6'        'D7655'      'D7661'
'3CH7'        'D7649'      'D7655'
'3CH8'        'D7643'      'D7649'
'3CH9'        'D7637'      'D7643'
'3CH10'       'D7629'      'D7637'

$ END MEMBER INCIDENCES

$ ELEMENT INCIDENCES
$ 'D7567' 'D7666' 'D7761' 'D7860' 'WIND' WIBLOCK AREA
CDWIND ALL 1.0
$ END ELEMENT INCIDENCES

STATUS SUPPORT -
'D7535'      'D7536'      'D7537'      'D7631'
'D7632'      -           ''
'D7633'      'D7729'      'D7730'      'D7731'
'D7825'      -           ''
'D7826'      'D7827'      -           ''

$ UNITS M     MTON DEG   FAH
$ CONSTANTS
    BETA      0.00000 ALL
$ UNITS M     MTON DEG   FAH
$ CONSTANTS
    E       2.0389062E+07 ALL
    G       7.7337835E+06 ALL
    POI     3.0000001E-01 ALL
    DEN     7.8417387E+00 ALL
    CTE     6.4999999E-06 ALL
    E       2.0399996E+07 ALL

$ UNITS M     SECONDS DEGREES AREA
$ WAVE STOKES FIFTH
$ CURRENT DATA STRETCH
$ DEPTH 0.0 40.5 80.1
$ VELOCITY 0.9 0.6 0.6
$ DIRECTION 90. 90. 90.
$ WIND DATA
$ DIRECTION 90.
$ VELOCITY 21.6
$ WT/V STANDARD
$ VARIATION WITH ALTITUDE ARI
$ HOMBER MARINE GROWTHS DATA ALL
$ ZHEY -2. 4.6 9.1 18.3 30.5 92.
$ THICKNESS 0.05 0.089 0.102 0.076 0.064 0.051

$ UNITS M SEC AREA
$ EXECUTE WIND LOAD ANALYSIS NO WAVE TOPS
$ EXECUTE STEP WAVE LOADINGS TYPE STRUCTURE FIXED -
$ APPLIED FORCES ONLY -
$ COMPUTE LOADING WITH MAXIMUM BASE SHEAR
$ MAXIMUM OVERTURNING MOMENT AT 22.7 -80.1 26.13
; WAVE WIND LIST
$ 'N' HEIGHT 9.2 PERIOD 9.8 DEPTH 80.1 DIRECTION 90. -
$     FROM -4.9 TO 4.9 INCREMENT 0.1
$ END WAVE WIND LIST

$ SELQS PLOTS
$ PLOT 3D RIGID POSITIONS AT TIMES 0.5 1. 1.5 2. 2.5 3.
3.5 4.
$ VIEWER POSITION 15. 15. -15.
$ OVERLAY WAVE SURFACE FULL WAVE LENGTH
$ TITLE
$   'MOGPW WAVE-WIND LOAD'
$ FINISH

```

LAMPIRAN C

INPUT DATA UNTUK ANALISA
KERUNTUHAN (*PUSHOVER ANALYSIS*)

Commercial Software Rights Legend

Any use, duplication or disclosure of this software by or for the U.S. Government shall be restricted to the terms of a license agreement in accordance with the clause at DFARS 227.7202-3.

This computer software is an unpublished work containing valuable trade secrets owned by the Georgia Tech Research Corporation (GTRC). No access, use, transfer, duplication or disclosure thereof may be made except under a license agreement executed by GTRC or its authorized representatives and no right, title or interest thereto is conveyed or granted herein, notwithstanding receipt or possession hereof. Decompilation of the object code is strictly prohibited.

Georgia Tech Research Corporation
Georgia Institute of Technology
Atlanta, Georgia 30332 U.S.A.

Copyright (c) 1999 GTRC
ALL RIGHTS RESERVED.

* Mon Sep 29 21:34:27 2003

1GTICES/C-NP 2.5.0 MD-NT 2.0, January 1995.
Proprietary to Georgia Tech Research Corporation, U.S.A.

Reading password file C:\Program Files\GTStrudl\25\gtaccess.dat
CI-i-audfile, Command AUDIT file FILE2134.aud has been activated.

```
*** G T S T R U D L ***
RELEASE DATE      VERSION      COMPLETION NO.
August 30, 2000    25.0          4085

**** ACTIVE UNITS - LENGTH   WEIGHT   ANGLE   TEMPERATURE   TIME
**** ASSUMED TO BE   INCH     POUND    RADIAN   FAHRENHEIT  SECOND

( 1) > $ -----
( 2) > $ This is the Common Startup Macro; put your company-wide.startup.commands here.
( 3) > $ You can edit this file from Tools -- Macros. Click "Startup" and then "Edit".
( 4) > $ -----

( 1) > RESTORE 'D:\bUDI nICH\T A\1LEGMODEL\SELOS\MOGPU5.gts'
DAM-1-filrest, Sub-system 25.0      restored from file D:\bUDI nICH\T A\1LEGMODEL\SELOS\MOGPU5.gts.

*** G T S T R U D L ***
RELEASE DATE      VERSION      COMPLETION NO.
August 30, 2000    25.0          4085

**** INFORMATION -- Saved GTSTRU DL version: 25.0
Restored under GTSTRU DL version: 25.0
```

**** CURRENT GTSTRU DL PROBLEM STATISTICS ****

ACTIVE UNITS: M METN DEG DEGF SEC

INPUT MODE: ADDITIONS SCAN MODE INITIATED: NO

CURRENT STRUCTURAL TYPE: SPACE FRAME

	JOINTS	MEMBERS	ELEMENTS	SUPERELEMENTS
ACTIVE	389	917	0	0
INACTIVE	0	0	0	0

RIGID BODIES 1
JOINT TIES 0

LOADS:	INDEPENDENT	DEPENDENT
ACTIVE	1	0
INACTIVE	5	0

```
| 2| > DEFINE GROUP 'COMCRIT2' ADD MEMBERS 'TD6984' 'TD6996' 'TD7212' 'TD7439' -
| 3| > 'TD7655' 'TD6990' 'TD7002' 'TD7206' 'TD7218' 'TD7224'
| 4| > NONLINEAR EFFECTS
| 5| > GEOMETRY MEMBERS GROUP LIST 'COMCRIT2' MEMBERS
| 6| > LOAD LIST ALL
```

```

| 7) > PUSHOVER ANALYSIS DATA
| 8) > CONSTANT LOAD 'CONST'
| 9) > INCREMENTAL LOAD 'INV'
10) > MAXIMUM NUMBER OF LOAD INCREMENTS 100
11) > MAXIMUM NUMBER OF TRIALS 20
12) > LOADING RATE 1.000000
13) > CONVERGENCE RATE 0.200000
14) > CONVERGENCE TOLERANCE COLLAPSE 0.002000
15) > CONVERGENCE TOLERANCE DISPLACEMENT 0.002000
16) > MAXIMUM NUMBER OF CYCLES 50
17) > END
18) > PERFORM PUSHOVER ANALYSIS
**** INFO_STPACP -- Time for pushover analysis load increment 1 = 0.84 seconds.
**** INFO_STPACP -- Time for pushover analysis load increment 2 = 0.81 seconds.
**** INFO_STPACP -- Time for pushover analysis load increment 3 = 0.82 seconds.
**** INFO_STPACP -- Time for pushover analysis load increment 4 = 0.81 seconds.
**** INFO_STPACP -- Time for pushover analysis load increment 5 = 0.83 seconds.
**** INFO_STPACP -- Time for pushover analysis load increment 6 = 1.37 seconds.
**** INFO_STPACP -- Time for pushover analysis load increment 7 = 0.88 seconds.
**** INFO_STPACP -- Time for pushover analysis load increment 8 = 0.91 seconds.
**** INFO_STPACP -- Time for pushover analysis load increment 9 = 0.92 seconds.
**** INFO_STPACP -- Time for pushover analysis load increment 10 = 0.93 seconds.
**** INFO_STPACP -- Time for pushover analysis load increment 11 = 0.97 seconds.
**** INFO_STPACP -- Time for pushover analysis load increment 12 = 0.97 seconds.
**** INFO_STPACP -- Time for pushover analysis load increment 13 = 0.99 seconds.
**** INFO_STPACP -- Time for pushover analysis load increment 14 = 1.00 seconds.
**** INFO_STPACP -- Time for pushover analysis load increment 15 = 1.01 seconds.
**** INFO_STPACP -- Time for pushover analysis load increment 16 = 1.02 seconds.
**** INFO_STPACP -- Time for pushover analysis load increment 17 = 1.05 seconds.
**** INFO_STPACP -- Time for pushover analysis load increment 18 = 1.03 seconds.
**** INFO_STPACP -- Time for pushover analysis load increment 19 = 1.05 seconds.
**** INFO_STPACP -- Time for pushover analysis load increment 20 = 1.46 seconds.
**** INFO_STPACP -- Time for pushover analysis load increment 21 = 1.51 seconds.
**** INFO_STPACP -- Time for pushover analysis load increment 22 = 1.52 seconds.
**** INFO_STPACP -- Time for pushover analysis load increment 23 = 1.52 seconds.
**** INFO_STPACP -- Time for pushover analysis load increment 24 = 1.54 seconds.
**** INFO_STPACP -- Time for pushover analysis load increment 25 = 1.57 seconds.
**** INFO_STPACP -- Time for pushover analysis load increment 26 = 1.59 seconds.
**** INFO_STPACP -- Time for pushover analysis load increment 27 = 1.62 seconds.
**** INFO_STPACP -- Time for pushover analysis load increment 28 = 1.61 seconds.
**** INFO_STPACP -- Time for pushover analysis load increment 29 = 1.59 seconds.
**** INFO_STPACP -- Time for pushover analysis load increment 30 = 1.62 seconds.
**** INFO_STPACP -- Time for pushover analysis load increment 31 = 1.65 seconds.
**** INFO_STPACP -- Time for pushover analysis load increment 32 = 1.66 seconds.
**** INFO_STPACP -- Time for pushover analysis load increment 33 = 1.71 seconds.
**** INFO_STPACP -- Time for pushover analysis load increment 34 = 1.70 seconds.
**** INFO_STPACP -- Time for pushover analysis load increment 35 = 1.70 seconds.
**** INFO_STPACP -- Time for pushover analysis load increment 36 = 1.73 seconds.
**** INFO_STPACP -- Time for pushover analysis load increment 37 = 1.72 seconds.
**** INFO_STPACP -- Time for pushover analysis load increment 38 = 1.70 seconds.
**** INFO_STPACP -- Time for pushover analysis load increment 39 = 2.17 seconds.
**** INFO_STPACP -- Time for pushover analysis load increment 40 = 2.22 seconds.
**** INFO_STPACP -- Time for pushover analysis load increment 41 = 2.25 seconds.
**** INFO_STPACP -- Time for pushover analysis load increment 42 = 4.56 seconds.
**** INFO_STSLVP -- Pushover analysis structural instability detected.
    Time for 1 load adjustment trials, load increment 43 = 4.08 seconds.
    New loading rate = 0.200000
    Current load factor = 42.2000
**** INFO_STPACP -- Time for pushover analysis load increment 43 = 5.68 seconds.
**** INFO_STPACP -- Time for pushover analysis load increment 44 = 2.75 seconds.
**** INFO_STSLVP -- Pushover analysis structural instability detected.
    Time for 1 load adjustment trials, load increment 45 = 1.36 seconds.
    New loading rate = 0.400000E-01
    Current load factor = 42.4400
**** INFO_STPACP -- Time for pushover analysis load increment 45 = 4.85 seconds.
**** WARNING_STPACP -- Collapse tolerance = 0.200000E-02 has been satisfied in load increment 46.
    Collapse condition may be indicated.
    Current loading rate = 0.400000E-01

**** INFO_STPACP -- The current collapse load factor = 42.4800
Load components and results are stored in the following intermediate loads:
    PAINV001 PAINV002 PAINV003 PAINV004
    PAINV005 PAINV006 PAINV007 PAINV008
    PAINV009 PAINV010 PAINV011 PAINV012
    PAINV013 PAINV014 PAINV015 PAINV016
    PAINV017 PAINV018 PAINV019 PAINV020
    PAINV021 PAINV022 PAINV023 PAINV024
    PAINV025 PAINV026 PAINV027 PAINV028
    PAINV029 PAINV030 PAINV031 PAINV032
    PAINV033 PAINV034 PAINV035 PAINV036
    PAINV037 PAINV038 PAINV039 PAINV040
    PAINV041 PAINV042 PAINV043 PAINV044
    PAINV045 PAINV046

**** INFO_STPACP -- The incremental loads above are stored in load group IncrLds .

----- Push-over Analysis Load Factor History -----
Load Increment          Load Factor

```

PAINV001	1.00000
PAINV002	2.00000
PAINV003	3.00000
PAINV004	4.00000
PAINV005	5.00000
PAINV006	6.00000
PAINV007	7.00000
PAINV008	8.00000
PAINV009	9.00000
PAINV010	10.0000
PAINV011	11.0000
PAINV012	12.0000
PAINV013	13.0000
PAINV014	14.0000
PAINV015	15.0000
PAINV016	16.0000
PAINV017	17.0000
PAINV018	18.0000
PAINV019	19.0000
PAINV020	20.0000
PAINV021	21.0000
PAINV022	22.0000
PAINV023	24.0000
PAINV024	24.0000
PAINV025	25.0000
PAINV026	26.0000
PAINV027	27.0000
PAINV028	28.0000
PAINV029	29.0000
PAINV030	30.0000
PAINV031	31.0000
PAINV032	32.0000
PAINV033	33.0000
PAINV034	34.0000
PAINV035	35.0000
PAINV036	36.0000
PAINV037	37.0000
PAINV038	38.0000
PAINV039	39.0000
PAINV040	40.0000
PAINV041	41.0000
PAINV042	42.0000
PAINV043	42.2000
PAINV044	42.4000
PAINV045	42.4400
PAINV046	42.4800

**** INFO_STPACP -- Time to complete pushover analysis = 78.07 seconds.



LAMPIRAN D

INPUT DATA UNTUK
ANALISA NONLINEAR

BANDWIDTH INFORMATION BEFORE RENUMBERING.

THE MAXIMUM BANDWIDTH IS 287 AND OCCURS AT JOINT NO. 0.846
THE AVERAGE BANDWIDTH IS 17.053
THE STANDARD DEVIATION OF THE BANDWIDTH IS 25.379

BANDWIDTH INFORMATION AFTER RENUMBERING.

THE MAXIMUM BANDWIDTH IS 30 AND OCCURS AT JOINT 07629
THE AVERAGE BANDWIDTH IS 15.324
THE STANDARD DEVIATION OF THE BANDWIDTH IS 22.059

TIME FOR CONSISTENCY CHECKS FOR 917 MEMBERS 0.04 SECONDS

***** STRUDL MESSAGE NL.03 -- NONLINEAR ANALYSIS REQUESTED FOR MORE THAN ONE LOADING CONDITION.
A NONLINEAR ANALYSIS WITH EQUILIBRIUM ITERATIONS WILL BE PERFORMED FOR EACH LOADING CONDITION. *****

TIME TO GENERATE 916 ELEMENT STIF. MATRICES 0.05 SECONDS
TIME TO ASSEMBLE THE STIFFNESS MATRIX 0.07 SECONDS
TIME TO PROCESS 389 JOINTS 0.04 SECONDS
TIME TO SOLVE WITH 61 PARTITIONS 0.39 SECONDS
TIME TO PROCESS 389 JOINT DISPLACEMENTS 0.00 SECONDS
TIME TO PROCESS 0 ELEMENT STRESSES 0.01 SECONDS
TIME TO PROCESS 0 ELEMENT REACTIONS 0.00 SECONDS
TIME TO PROCESS 917 ELEMENT DISTORTIONS 0.06 SECONDS

** TIME FOR EQUILIBRIUM ITERATION NO. 1 OF LOADING CONDITION PAINV001 IS 0.71 SECONDS. **

TIME TO GENERATE 0 ELEMENT STIF. MATRICES 0.00 SECONDS
TIME TO COMPUTE 10 NONLIN. STIFF. MATRICES 0.00 SECONDS
TIME TO PROCESS 0 ELEMENT STRESSES 0.00 SECONDS
TIME TO PROCESS 0 ELEMENT REACTIONS 0.00 SECONDS
TIME TO PROCESS 917 ELEMENT DISTORTIONS 0.06 SECONDS
TIME FOR EQUIL. CONV. CHECK 0.02 SECONDS
TIME TO ASSEMBLE THE STIFFNESS MATRIX 0.07 SECONDS
TIME TO PROCESS 389 JOINTS 0.03 SECONDS
TIME TO SOLVE WITH 61 PARTITIONS 0.37 SECONDS
TIME TO PROCESS 389 JOINT DISPLACEMENTS 0.00 SECONDS

**** INFO_STNLAU -- NONLINEAR ANALYSIS FOR LOADING CONDITION PAINV001
HAS CONVERGED AFTER 2 ITERATIONS. NONLINEAR ANALYSIS
FOR THIS LOADING CONDITION WILL BE SUSPENDED.

TIME TO GENERATE 0 ELEMENT STIF. MATRICES 0.00 SECONDS
TIME TO PROCESS 0 MEMBER RELEASES 0.00 SECONDS
TIME TO COMPUTE 10 NONLIN. STIFF. MATRICES 0.00 SECONDS
TIME TO PROCESS 0 ELEMENT STRESSES 0.00 SECONDS
TIME TO PROCESS 0 ELEMENT REACTIONS 0.01 SECONDS
TIME TO PROCESS 917 ELEMENT DISTORTIONS 0.07 SECONDS

** TIME FOR EQUILIBRIUM ITERATION NO. 2 OF LOADING CONDITION PAINV001 IS 0.68 SECONDS. **

TIME TO GENERATE 10 ELEMENT STIF. MATRICES 0.00 SECONDS
TIME TO ASSEMBLE THE STIFFNESS MATRIX 0.08 SECONDS
TIME TO PROCESS 389 JOINTS 0.03 SECONDS
TIME TO SOLVE WITH 61 PARTITIONS 0.37 SECONDS
TIME TO PROCESS 389 JOINT DISPLACEMENTS 0.00 SECONDS
TIME TO PROCESS 0 ELEMENT STRESSES 0.00 SECONDS
TIME TO PROCESS 0 ELEMENT REACTIONS 0.00 SECONDS
TIME TO PROCESS 917 ELEMENT DISTORTIONS 0.07 SECONDS

** TIME FOR EQUILIBRIUM ITERATION NO. 1 OF LOADING CONDITION PAINV002 IS 0.61 SECONDS. **

TIME TO GENERATE 0 ELEMENT STIF. MATRICES 0.00 SECONDS
TIME TO COMPUTE 10 NONLIN. STIFF. MATRICES 0.01 SECONDS
TIME TO PROCESS 0 ELEMENT STRESSES 0.00 SECONDS
TIME TO PROCESS 0 ELEMENT REACTIONS 0.00 SECONDS
TIME TO PROCESS 917 ELEMENT DISTORTIONS 0.08 SECONDS
TIME FOR EQUIL. CONV. CHECK 0.01 SECONDS
TIME TO ASSEMBLE THE STIFFNESS MATRIX 0.08 SECONDS
TIME TO PROCESS 389 JOINTS 0.03 SECONDS
TIME TO SOLVE WITH 61 PARTITIONS 0.87 SECONDS
TIME TO PROCESS 389 JOINT DISPLACEMENTS 0.00 SECONDS

**** INFO_STNLAU -- NONLINEAR ANALYSIS FOR LOADING CONDITION PAINV002
HAS CONVERGED AFTER 2 ITERATIONS. NONLINEAR ANALYSIS
FOR THIS LOADING CONDITION WILL BE SUSPENDED.

TIME TO GENERATE 0 ELEMENT STIF. MATRICES 0.01 SECONDS
TIME TO PROCESS 0 MEMBER RELEASES 0.00 SECONDS
TIME TO COMPUTE 10 NONLIN. STIFF. MATRICES 0.00 SECONDS
TIME TO PROCESS 0 ELEMENT STRESSES 0.00 SECONDS
TIME TO PROCESS 0 ELEMENT REACTIONS 0.01 SECONDS
TIME TO PROCESS 917 ELEMENT DISTORTIONS 0.07 SECONDS

** TIME FOR EQUILIBRIUM ITERATION NO. 2 OF LOADING CONDITION PAINV002 IS 1.17 SECONDS. **

TIME TO GENERATE 10 ELEMENT STIF. MATRICES 0.00 SECONDS
TIME TO ASSEMBLE THE STIFFNESS MATRIX 0.07 SECONDS
TIME TO PROCESS 389 JOINTS 0.04 SECONDS
TIME TO SOLVE WITH 61 PARTITIONS 0.36 SECONDS
TIME TO PROCESS 389 JOINT DISPLACEMENTS 0.00 SECONDS
TIME TO PROCESS 0 ELEMENT STRESSES 0.00 SECONDS
TIME TO PROCESS 0 ELEMENT REACTIONS 0.00 SECONDS
TIME TO PROCESS 917 ELEMENT DISTORTIONS 0.08 SECONDS

** TIME FOR EQUILIBRIUM ITERATION NO. 1 OF LOADING CONDITION PAINV003 IS 0.60 SECONDS. **

TIME TO GENERATE 0 ELEMENT STIF. MATRICES 0.00 SECONDS
TIME TO COMPUTE 10 NONLIN. STIFF. MATRICES 0.00 SECONDS

```

TIME TO PROCESS      0 ELEMENT STRESSES      0.00 SECONDS
TIME TO PROCESS      0 ELEMENT REACTIONS     0.01 SECONDS
TIME TO PROCESS    917 ELEMENT DISTORTIONS  0.08 SECONDS
TIME FOR EQUIL. CONV. CHECK      0.00 SECONDS
TIME TO ASSEMBLE THE STIFFNESS MATRIX  0.08 SECONDS
TIME TO PROCESS    389 JOINTS      0.02 SECONDS
TIME TO SOLVE WITH  61 PARTITIONS     0.36 SECONDS
TIME TO PROCESS    389 JOINT DISPLACEMENTS 0.01 SECONDS

.
.
.
.

** TIME FOR EQUILIBRIUM ITERATION NO.   4 OF LOADING CONDITION PAINV036 IS      0.74 SECONDS. **

TIME TO GENERATE    10 ELEMENT STIF. MATRICES  0.00 SECONDS
TIME TO ASSEMBLE THE STIFFNESS MATRIX      0.07 SECONDS
TIME TO PROCESS     389 JOINTS      0.04 SECONDS
TIME TO SOLVE WITH  61 PARTITIONS     0.36 SECONDS
TIME TO PROCESS    389 JOINT DISPLACEMENTS 0.00 SECONDS
TIME TO PROCESS      0 ELEMENT STRESSES      0.00 SECONDS
TIME TO PROCESS      0 ELEMENT REACTIONS     0.00 SECONDS
TIME TO PROCESS    917 ELEMENT DISTORTIONS  0.11 SECONDS

** TIME FOR EQUILIBRIUM ITERATION NO.   1 OF LOADING CONDITION PAINV037 IS      0.70 SECONDS. **

TIME TO GENERATE    0 ELEMENT STIF. MATRICES  0.01 SECONDS
TIME TO COMPUTE    10 NONLIN. STIFF. MATRICES  0.00 SECONDS
TIME TO PROCESS     0 ELEMENT STRESSES      0.00 SECONDS
TIME TO PROCESS      0 ELEMENT REACTIONS     0.00 SECONDS
TIME TO PROCESS    917 ELEMENT DISTORTIONS  0.06 SECONDS
TIME FOR EQUIL. CONV. CHECK      0.01 SECONDS
TIME TO ASSEMBLE THE STIFFNESS MATRIX  0.07 SECONDS
TIME TO PROCESS     389 JOINTS      0.03 SECONDS
***** STRUDL ERROR 4.02 - STRUCTURAL INSTABILITY DETECTED PRIOR TO SOLUTION
      A VALUE OF -0.3995781D-05 WAS FOUND ON THE DIAGONAL OF THE GLOBAL STIFFNESS MATRIX
      CORRESPONDING TO DOF   1 FOR JOINT D7533
***** STRUDL ERROR 4.02 - STRUCTURAL INSTABILITY DETECTED WHILE PROCESSING PARTITION CONTAINING THE FOLLOWING JOINTS
      JOINT G7661
      JOINT D7653
      JOINT D7533
      JOINT D7539
      JOINT U7549
      JOINT D7543
***** STRUDL MESSAGE 2.15 - JIGORS DETECTED WHICH PREVENTS ANALYSIS - SCANNING MODE IS ENTERED

```

LAMPIRAN E

OUTPUT TEGANGAN

RESULTS OF LATEST ANALYSES

PROBLEM - NONE TITLE - NONE GIVEN

ACTIVE UNITS INCH KIP DEG DEGF SEC

INTERNAL MEMBER RESULTS

MEMBER MAXIMUM STRESS FOR EACH LOADING

MEMBER TD6984

LOADING	MAX NORMAL	AT SECTION	MIN NORMAL	AT SECTION
PAINV001	-2.920148	0.000 FR	-3.213690	0.000 FR
PAINV002	-5.810411	0.000	-6.401295	0.000
PAINV003	-8.703459	0.000	-9.582218	0.000
PAINV004	-11.59887	0.000	-12.75653	0.000
PAINV005	-14.49586	0.000	-15.92475	0.000
PAINV006	-17.39371	0.000	-19.08718	0.000
PAINV007	-20.29152	0.000	-22.24432	0.000
PAINV008	-23.18826	0.000	-25.39678	0.000
PAINV009	-26.08267	0.000	-28.54529	0.000
PAINV010	-28.97330	0.000	-31.69078	0.000
PAINV011	-31.83611	1.000	-34.85667	1.000
PAINV012	-34.53386	1.000	-38.17953	1.000
PAINV013	-37.20507	1.000	-41.52008	1.000
PAINV014	-39.85205	1.000	-44.87517	1.000
PAINV015	-42.47755	1.000	-48.24110	1.000
PAINV016	-45.08482	1.000	-51.61356	1.000
PAINV017	-47.67773	1.000	-54.98745	1.000
PAINV018	-50.26086	1.000	-58.35682	1.000
PAINV019	-52.83969	1.000	-61.71464	1.000
PAINV020	-55.42069	1.000	-65.05258	1.000
PAINV021	-58.01159	1.000	-68.36089	1.000
PAINV022	-60.26628	0.000	-71.98321	0.000
PAINV023	-62.31070	0.000	-75.79083	0.000
PAINV024	-64.22875	0.000	-79.69657	0.000
PAINV025	-66.00202	0.000	-83.71490	0.000
PAINV026	-67.60850	0.000	-87.86318	0.000
PAINV027	-69.02174	0.000	-92.16232	0.000
PAINV028	-70.20977	0.000	-96.63757	0.000
PAINV029	-71.13369	0.000	-101.3195	0.000
PAINV030	-71.74608	0.000	-106.2454	0.000
PAINV031	-71.98869	0.000	-111.4606	0.000
PAINV032	-71.78970	0.000	-117.0205	0.000
PAINV033	-71.06023	0.000	-122.9929	0.000
PAINV034	-69.82885	0.000	-129.3429	0.000
PAINV035	-67.76206	0.000	-136.3354	0.000
PAINV036	-64.80074	0.000	-143.9937	0.000
PAINV037	-60.77416	0.000	-152.4174	0.000
PAINV038	-55.49760	0.000	-161.6837	0.000
PAINV039	-48.64262	0.000	-172.0151	0.000
PAINV040	-40.09593	0.000	-183.1728	0.000
PAINV041	-29.80803	0.000	-194.6445	0.000
PAINV042	-18.08859	0.000	-204.1898	0.000
PAINV043	-15.48938	0.000	-205.3263	0.000
PAINV044	12.19070	0.000	-184.1302	0.000

PAINV045	-12.03462	0.000	-205.8510	0.000
PAINV046	-11.65580	0.000	-204.7535	0.000

MEMBER TD6996

/-----		STRESS		/-----	
LOADING	MAX NORMAL	AT SECTION		MIN NORMAL	AT SECTION
PAINV001	-2.665141	0.000 FR		-3.139913	0.000 FR
PAINV002	-5.312596	0.000		-6.243623	0.000
PAINV003	-7.976237	0.000		-9.333214	0.000
PAINV004	-10.65625	0.000		-12.40854	0.000
PAINV005	-13.35316	0.000		-15.46913	0.000
PAINV006	-16.06723	0.000		-18.51480	0.000
PAINV007	-18.79873	0.000		-21.54532	0.000
PAINV008	-21.54792	0.000		-24.56050	0.000
PAINV009	-24.31502	0.000		-27.56019	0.000
PAINV010	-27.10020	0.000		-30.54431	0.000
PAINV011	-29.90355	0.000		-33.51284	0.000
PAINV012	-32.42917	1.000		-36.76177	1.000
PAINV013	-34.68043	1.000		-40.28783	1.000
PAINV014	-36.86040	1.000		-43.88807	1.000
PAINV015	-38.96878	1.000		-47.56288	1.000
PAINV016	-41.00532	1.000		-51.31266	1.000
PAINV017	-42.96999	1.000		-55.13755	1.000
PAINV018	-44.86299	1.000		-59.03751	1.000
PAINV019	-46.68467	1.000		-63.01234	1.000
PAINV020	-48.43585	1.000		-67.06140	1.000
PAINV021	-50.11775	1.000		-71.18365	1.000
PAINV022	-51.73214	1.000		-75.37747	1.000
PAINV023	-53.28156	1.000		-79.64056	1.000
PAINV024	-54.76965	1.000		-83.96947	1.000
PAINV025	-56.20120	1.000		-88.35957	1.000
PAINV026	-57.58287	1.000		-92.80440	1.000
PAINV027	-58.92365	1.000		-97.29510	1.000
PAINV028	-60.23577	1.000		-101.8195	1.000
PAINV029	-61.53591	1.000		-106.3608	1.000
PAINV030	-62.84689	1.000		-110.8960	1.000
PAINV031	-64.20029	1.000		-115.3928	1.000
PAINV032	-65.64050	1.000		-119.8057	1.000
PAINV033	-67.23060	1.000		-124.0694	1.000
PAINV034	-69.09361	1.000		-128.0345	1.000
PAINV035	-71.30358	1.000		-131.6529	1.000
PAINV036	-73.49278	0.000		-135.2622	0.000
PAINV037	-70.84479	0.000		-143.6505	0.000
PAINV038	-66.47067	0.000		-153.6519	0.000
PAINV039	-59.91919	0.000		-165.6254	0.000
PAINV040	-49.40664	0.000		-181.1165	0.000
PAINV041	-32.66797	0.000		-201.7532	0.000
PAINV042	-4.744805	0.000		-229.8963	0.000
PAINV043	3.033453	0.000		-236.3846	0.000
PAINV044	90.95378	0.000		-271.1035	0.000
PAINV045	13.82912	0.000		-243.9918	0.000
PAINV046	17.37527	0.000		-245.6582	0.000

MEMBER TD7212

/-----		STRESS		/-----	
LOADING	MAX NORMAL	AT SECTION		MIN NORMAL	AT SECTION
PAINV001	-2.484481	0.000 FR		-2.735354	0.000 FR
PAINV002	-4.941394	0.000		-5.443669	0.000
PAINV003	-7.402548	0.000		-8.147466	0.000
PAINV004	-9.867738	0.000		-10.84685	0.000

PAINV005	-12.33673	0.000	-13.54201	0.000
PAINV006	-14.80923	0.000	-16.23313	0.000
PAINV007	-17.28491	0.000	-18.92046	0.000
PAINV008	-19.76337	0.000	-21.60429	0.000
PAINV009	-22.24414	0.000	-24.28498	0.000
PAINV010	-24.72667	0.000	-26.96294	0.000
PAINV011	-27.21033	0.000	-29.63870	0.000
PAINV012	-29.69437	0.000	-32.31283	0.000
PAINV013	-32.12942	1.000	-35.03456	1.000
PAINV014	-34.39919	1.000	-37.91998	1.000
PAINV015	-36.64346	1.000	-40.82914	1.000
PAINV016	-38.86325	1.000	-43.76077	1.000
PAINV017	-41.05981	1.000	-46.71342	1.000
PAINV018	-43.23454	1.000	-49.68539	1.000
PAINV019	-45.38915	1.000	-52.67469	1.000
PAINV020	-47.52562	1.000	-55.67899	1.000
PAINV021	-49.64629	1.000	-58.69557	1.000
PAINV022	-51.75395	1.000	-61.72123	1.000
PAINV023	-53.85180	1.000	-64.75227	1.000
PAINV024	-55.94371	1.000	-67.78431	1.000
PAINV025	-58.03424	1.000	-70.81213	1.000
PAINV026	-59.98138	0.000	-73.97703	0.000
PAINV027	-61.64280	0.000	-77.42053	0.000
PAINV028	-63.20883	0.000	-80.95136	0.000
PAINV029	-64.66792	0.000	-84.57993	0.000
PAINV030	-66.00641	0.000	-88.31864	0.000
PAINV031	-67.20802	0.000	-92.18225	0.000
PAINV032	-68.25318	0.000	-96.18850	0.000
PAINV033	-69.11824	0.000	-100.3589	0.000
PAINV034	-69.79508	0.000	-104.6962	0.000
PAINV035	-70.21516	0.000	-109.2705	0.000
PAINV036	-70.34978	0.000	-114.1044	0.000
PAINV037	-70.14413	0.000	-119.2481	0.000
PAINV038	-69.52766	0.000	-124.7666	0.000
PAINV039	-68.41929	0.000	-130.7335	0.000
PAINV040	-66.68143	0.000	-137.2812	0.000
PAINV041	-64.13360	0.000	-144.5886	0.000
PAINV042	-60.41227	0.000	-153.0646	0.000
PAINV043	-59.45098	0.000	-154.9997	0.000
PAINV044	-56.05938	0.000	-161.7724	0.000
PAINV045	-58.11574	0.000	-157.5486	0.000
PAINV046	-57.81152	0.000	-158.0933	0.000

MEMBER TD7439

/	STRESS		/	
LOADING	MAX NORMAL	AT SECTION	MIN NORMAL	AT SECTION
PAINV001	-2.460870	0.000 FR	-3.071460	0.000 FR
PAINV002	-4.935695	0.000	-6.076310	0.000
PAINV003	-7.434070	0.000	-9.058543	0.000
PAINV004	-9.957422	0.000	-12.01672	0.000
PAINV005	-12.50735	0.000	-14.94919	0.000
PAINV006	-15.08554	0.000	-17.85427	0.000
PAINV007	-17.69386	0.000	-20.73005	0.000
PAINV008	-20.33430	0.000	-23.57450	0.000
PAINV009	-22.98520	1.000	-26.40925	1.000
PAINV010	-25.52254	1.000	-29.35829	1.000
PAINV011	-28.05322	1.000	-32.31467	1.000
PAINV012	-30.57565	1.000	-35.27993	1.000
PAINV013	-33.08805	1.000	-38.25583	1.000
PAINV014	-35.58835	1.000	-41.24434	1.000
PAINV015	-38.07123	1.000	-44.24774	1.000
PAINV016	-40.40701	1.000	-47.40464	1.000
PAINV017	-42.55119	1.000	-50.75046	1.000
PAINV018	-44.63047	1.000	-54.16143	1.000
PAINV019	-46.63966	1.000	-57.64262	1.000

PAINV020	-48.57297	1.000	-61.19971	1.000
PAINV021	-50.42392	1.000	-64.83908	1.000
PAINV022	-52.10522	1.000	-68.56789	1.000
PAINV023	-53.84859	1.000	-72.39421	1.000
PAINV024	-55.40474	1.000	-76.32719	1.000
PAINV025	-56.84299	1.000	-80.37727	1.000
PAINV026	-58.15123	1.000	-84.55634	1.000
PAINV027	-59.31551	1.000	-88.87800	1.000
PAINV028	-60.31974	1.000	-93.35803	1.000
PAINV029	-61.14534	1.000	-98.01460	1.000
PAINV030	-61.77057	1.000	-102.8689	1.000
PAINV031	-62.17008	1.000	-107.9456	1.000
PAINV032	-62.31398	1.000	-113.2739	1.000
PAINV033	-62.16680	1.000	-118.8882	1.000
PAINV034	-61.68932	1.000	-124.8270	1.000
PAINV035	-60.82672	1.000	-131.1423	1.000
PAINV036	-59.52020	1.000	-137.8910	1.000
PAINV037	-57.69614	1.000	-145.1432	1.000
PAINV038	-55.26503	1.000	-152.9830	1.000
PAINV039	-52.11386	1.000	-161.5172	1.000
PAINV040	-48.11090	1.000	-170.8596	1.000
PAINV041	-43.09864	1.000	-181.1350	1.000
PAINV042	-36.93327	1.000	-192.3696	1.000
PAINV043	-35.55995	1.000	-194.6946	1.000
PAINV044	-33.78416	1.000	-194.6614	1.000
PAINV045	-33.86296	1.000	-197.4606	1.000
PAINV046	-33.61183	1.000	-197.8296	1.000

MEMBER TD7655

STRESS					
LOADING	MAX NORMAL	AT SECTION	MIN NORMAL	AT SECTION	/
PAINV001	-2.430336	0.000 FR	-2.769217	0.000 FR	
PAINV002	-4.845556	0.000	-5.508012	0.000	
PAINV003	-7.274163	0.000	-8.234331	0.000	
PAINV004	-9.717130	0.000	-10.94719	0.000	
PAINV005	-12.17554	0.000	-13.64549	0.000	
PAINV006	-14.65054	0.000	-16.32806	0.000	
PAINV007	-17.14337	0.000	-18.99365	0.000	
PAINV008	-19.65540	0.000	-21.64088	0.000	
PAINV009	-22.11071	0.000	-24.34562	0.000	
PAINV010	-24.54478	0.000	-27.07239	0.000	
PAINV011	-26.98025	0.000	-29.79852	0.000	
PAINV012	-29.41873	0.000	-32.52236	0.000	
PAINV013	-31.85349	1.000	-35.25061	1.000	
PAINV014	-34.25589	1.000	-38.01189	1.000	
PAINV015	-36.64608	1.000	-40.78599	1.000	
PAINV016	-39.02233	1.000	-43.57459	1.000	
PAINV017	-41.38268	1.000	-46.37961	1.000	
PAINV018	-43.72491	1.000	-49.20320	1.000	
PAINV019	-45.85030	1.000	-52.24403	1.000	
PAINV020	-47.92654	1.000	-55.33431	1.000	
PAINV021	-49.95047	1.000	-58.47713	1.000	
PAINV022	-51.91771	1.000	-61.67675	1.000	
PAINV023	-53.82338	1.000	-64.93793	1.000	
PAINV024	-55.66200	1.000	-68.26601	1.000	
PAINV025	-57.42741	1.000	-71.66699	1.000	
PAINV026	-59.11261	1.000	-75.14766	1.000	
PAINV027	-60.70970	1.000	-78.71568	1.000	
PAINV028	-62.20966	1.000	-82.37980	1.000	
PAINV029	-63.60219	1.000	-86.14994	1.000	
PAINV030	-64.87544	1.000	-90.03749	1.000	
PAINV031	-66.01572	1.000	-94.05561	1.000	
PAINV032	-67.00713	1.000	-98.21947	1.000	
PAINV033	-67.83113	1.000	-102.5467	1.000	
PAINV034	-68.46795	1.000	-107.0564	1.000	

PAINV035	-68.88898	1.000	-111.7746	1.000
PAINV036	-69.06503	1.000	-116.7286	1.000
PAINV037	-68.95953	1.000	-121.9517	1.000
PAINV038	-68.52808	1.000	-127.4828	1.000
PAINV039	-67.71594	1.000	-133.3707	1.000
PAINV040	-66.45310	1.000	-139.6676	1.000
PAINV041	-64.64819	1.000	-146.4324	1.000
PAINV042	-62.14981	1.000	-153.6991	1.000
PAINV043	-61.53518	1.000	-155.2055	1.000
PAINV044	-58.55700	1.000	-156.3237	1.000
PAINV045	-60.71635	1.000	-157.0218	1.000
PAINV046	-60.54704	1.000	-157.2970	1.000

MEMBER TD6990

/	STRESS		/	
LOADING	MAX NORMAL	AT SECTION	MIN NORMAL	AT SECTION
PAINV001	-2.820583	0.000 FR	-3.189816	0.000 FR
PAINV002	-5.619258	0.000	-6.346109	0.000
PAINV003	-8.428061	0.000	-9.491273	0.000
PAINV004	-11.24695	0.000	-12.62518	0.000
PAINV005	-22.87548	0.000	-25.34306	0.000
PAINV009	-25.48522	0.000	-28.12774	0.000
PAINV010	-28.35895	0.000	-31.19610	0.000
PAINV011	-31.23987	0.000	-34.25463	0.000
PAINV012	-33.77472	1.000	-37.65630	1.000
PAINV013	-36.23261	1.000	-41.13164	1.000
PAINV014	-38.63795	1.000	-44.65585	1.000
PAINV015	-40.99181	1.000	-48.22740	1.000
PAINV016	-43.29564	1.000	-51.84435	1.000
PAINV017	-45.55124	1.000	-55.50430	1.000
PAINV018	-47.76091	1.000	-59.20429	1.000
PAINV019	-49.92758	1.000	-62.94064	1.000
PAINV020	-52.05487	1.000	-66.70885	1.000
PAINV021	-54.14735	1.000	-70.50332	1.000
PAINV022	-56.21075	1.000	-74.31712	1.000
PAINV023	-58.25209	1.000	-78.14181	1.000
PAINV024	-60.28032	1.000	-81.96677	1.000
PAINV025	-62.30648	1.000	-85.77893	1.000
PAINV026	-64.34453	1.000	-89.56194	1.000
PAINV027	-66.41198	1.000	-93.29527	1.000
PAINV028	-68.53109	1.000	-96.95300	1.000
PAINV029	-70.73009	1.000	-100.5023	1.000
PAINV030	-71.96307	0.000	-104.9833	0.000
PAINV031	-72.51785	0.000	-110.1006	0.000
PAINV032	-72.67574	0.000	-115.5632	0.000
PAINV033	-72.34173	0.000	-121.4527	0.000
PAINV034	-71.57360	0.000	-127.6891	0.000
PAINV035	-69.94492	0.000	-134.6808	0.000
PAINV036	-67.37124	0.000	-142.4713	0.000
PAINV037	-63.58451	0.000	-151.2714	0.000
PAINV038	-58.22561	0.000	-161.3468	0.000
PAINV039	-50.98056	0.000	-172.9106	0.000
PAINV040	-40.96981	0.000	-186.5057	0.000
PAINV041	-27.53196	0.000	-202.1615	0.000
PAINV042	-9.593774	0.000	-218.6674	0.000
PAINV043	-5.134993	0.000	-221.6648	0.000
PAINV044	47.57846	0.000	-223.2791	0.000
PAINV045	0.9596953	0.000	-224.6420	0.000
PAINV046	2.460953	0.000	-224.4568	0.000

MEMBER TD7002

STRESS				
LOADING	MAX NORMAL	AT SECTION	MIN NORMAL	AT SECTION
PAINV001	-2.452044	0.000 FR	-3.021112	0.000 FR
PAINV002	-4.891379	0.000	-6.010054	0.000
PAINV003	-7.348461	0.000	-8.985520	0.000
PAINV004	-9.823198	0.000	-11.94787	0.000
PAINV005	-12.31630	0.000	-14.89660	0.000
PAINV006	-14.82780	0.000	-17.83197	0.000
PAINV007	-17.35784	0.000	-20.75413	0.000
PAINV008	-19.90651	0.000	-23.66334	0.000
PAINV009	-22.47380	0.000	-26.55995	0.000
PAINV010	-25.05961	0.000	-29.44448	0.000
PAINV011	-27.66370	0.000	-32.31760	0.000
PAINV012	-30.28570	0.000	-35.18020	0.000
PAINV013	-32.34252	1.000	-38.61590	1.000
PAINV014	-34.27374	1.000	-42.18575	1.000
PAINV015	-36.12553	1.000	-45.84424	1.000
PAINV016	-37.89862	1.000	-49.59143	1.000
PAINV017	-39.59411	1.000	-53.42713	1.000
PAINV018	-41.21360	1.000	-57.35069	1.000
PAINV019	-42.75939	1.000	-61.36095	1.000
PAINV020	-44.23465	1.000	-65.45603	1.000
PAINV021	-45.64362	1.000	-69.63318	1.000
PAINV022	-46.99203	1.000	-73.88837	1.000
PAINV023	-48.28757	1.000	-78.21591	1.000
PAINV024	-49.54037	1.000	-82.60797	1.000
PAINV025	-50.76408	1.000	-87.05366	1.000
PAINV026	-51.97688	1.000	-91.53802	1.000
PAINV027	-53.20329	1.000	-96.04040	1.000
PAINV028	-54.47660	1.000	-100.5321	1.000
PAINV029	-55.84254	1.000	-104.9732	1.000
PAINV030	-57.36448	1.000	-109.3072	1.000
PAINV031	-59.13201	1.000	-113.4532	1.000
PAINV032	-61.27371	1.000	-117.2935	1.000
PAINV033	-60.99287	0.000	-123.6391	0.000
PAINV034	-58.28485	0.000	-132.4994	0.000
PAINV035	-54.13422	0.000	-142.9331	0.000
PAINV036	-47.70418	0.000	-155.8003	0.000
PAINV037	-37.75306	0.000	-172.3869	0.000
PAINV038	-22.01117	0.000	-195.0273	0.000
PAINV039	3.252438	0.000	-227.5126	0.000
PAINV040	47.94194	0.000	-279.9423	0.000
PAINV041	137.7277	0.000	-378.2572	0.000
PAINV042	381.9124	0.000	-632.5601	0.000
PAINV043	488.7732	0.000	-741.8683	0.000
PAINV044	3450.984	1.000	-3726.681	1.000
PAINV045	695.5459	1.000	-952.0182	1.000
PAINV046	797.3176	1.000	-1054.739	1.000

MEMBER TD7206

STRESS				
LOADING	MAX NORMAL	AT SECTION	MIN NORMAL	AT SECTION
PAINV001	-2.545175	1.000 FR	-2.780864	1.000 FR
PAINV002	-5.102844	0.000	-5.494417	0.000
PAINV003	-7.638283	0.000	-8.227913	0.000
PAINV004	-10.17354	0.000	-10.95910	0.000
PAINV005	-12.70806	0.000	-13.68839	0.000
PAINV006	-15.24132	0.000	-16.41608	0.000
PAINV007	-17.77271	0.000	-19.14258	0.000
PAINV008	-20.30150	0.000	-21.86837	0.000
PAINV009	-22.82689	0.000	-24.59400	0.000

PAINV010	-25.34798	0.000	-27.32009	0.000
PAINV011	-27.86370	0.000	-30.04739	0.000
PAINV012	-30.37291	0.000	-32.77675	0.000
PAINV013	-32.83444	1.000	-35.54892	1.000
PAINV014	-35.24053	1.000	-38.37129	1.000
PAINV015	-37.63542	1.000	-41.19917	1.000
PAINV016	-40.02092	1.000	-44.03025	1.000
PAINV017	-42.39912	1.000	-46.86193	1.000
PAINV018	-44.77238	1.000	-49.69122	1.000
PAINV019	-47.14342	1.000	-52.51477	1.000
PAINV020	-49.42403	0.000	-55.42001	0.000
PAINV021	-51.53979	0.000	-58.48055	0.000
PAINV022	-53.59892	0.000	-61.58723	0.000
PAINV023	-55.59580	0.000	-64.74461	0.000
PAINV024	-57.52405	0.000	-67.95791	0.000
PAINV025	-59.37635	0.000	-71.23312	0.000
PAINV026	-61.14424	0.000	-74.57710	0.000
PAINV027	-62.81799	0.000	-77.99786	0.000
PAINV028	-64.38631	0.000	-81.50467	0.000
PAINV029	-65.83605	0.000	-85.10835	0.000
PAINV030	-67.15180	0.000	-88.82159	0.000
PAINV031	-68.31548	0.000	-92.65935	0.000
PAINV032	-69.30565	0.000	-96.63927	0.000
PAINV033	-70.09691	0.000	-100.7824	0.000
PAINV034	-70.67646	0.000	-105.0970	0.000
PAINV035	-70.97980	0.000	-109.6401	0.000
PAINV036	-70.97607	0.000	-114.4355	0.000
PAINV037	-70.61239	0.000	-119.5268	0.000
PAINV038	-69.82339	0.000	-124.9683	0.000
PAINV039	-68.53215	0.000	-130.8235	0.000
PAINV040	-66.62927	0.000	-137.1861	0.000
PAINV041	-63.96781	0.000	-144.1879	0.000
PAINV042	-60.26255	0.000	-152.1297	0.000
PAINV043	-59.33565	0.000	-153.9078	0.000
PAINV044	-56.21866	0.000	-159.9676	0.000
PAINV045	-58.05327	0.000	-156.2382	0.000
PAINV046	-57.78814	0.000	-156.7082	0.000

MEMBER TD7218

/-----\	STRESS				/-----\
LOADING	MAX NORMAL	AT SECTION	MIN NORMAL	AT SECTION	
PAINV001	-2.374164	0.000 FR	-2.701903	0.000 FR	
PAINV002	-4.722505	0.000	-5.375544	0.000	
PAINV003	-7.078473	0.000	-8.043349	0.000	
PAINV004	-9.441977	0.000	-10.70545	0.000	
PAINV005	-11.81311	0.000	-13.36178	0.000	
PAINV006	-14.19178	0.000	-16.01248	0.000	
PAINV007	-16.57792	0.000	-18.65766	0.000	
PAINV008	-18.97140	0.000	-21.29748	0.000	
PAINV009	-21.37208	0.000	-23.93214	0.000	
PAINV010	-23.77976	0.000	-26.56189	0.000	
PAINV011	-26.19420	0.000	-29.18704	0.000	
PAINV012	-28.61508	0.000	-31.80796	0.000	
PAINV013	-31.04201	0.000	-34.42510	0.000	
PAINV014	-33.20726	1.000	-37.30627	1.000	
PAINV015	-35.31538	1.000	-40.24699	1.000	
PAINV016	-37.38990	1.000	-43.22383	1.000	
PAINV017	-39.43135	1.000	-46.23635	1.000	
PAINV018	-41.44038	1.000	-49.28399	1.000	
PAINV019	-43.41781	1.000	-52.36605	1.000	
PAINV020	-45.36459	1.000	-55.48170	1.000	
PAINV021	-47.28194	1.000	-58.62986	1.000	
PAINV022	-49.17133	1.000	-61.80919	1.000	
PAINV023	-51.03453	1.000	-65.01813	1.000	
PAINV024	-52.87375	1.000	-68.25461	1.000	

PAINV025	-54.69159	1.000	-71.51627	1.000
PAINV026	-56.49130	1.000	-74.80006	1.000
PAINV027	-58.27677	1.000	-78.10239	1.000
PAINV028	-60.05285	1.000	-81.41867	1.000
PAINV029	-61.82552	1.000	-84.74328	1.000
PAINV030	-63.60213	1.000	-88.06925	1.000
PAINV031	-65.39179	1.000	-91.38794	1.000
PAINV032	-67.20619	1.000	-94.68819	1.000
PAINV033	-68.87983	0.000	-98.13616	0.000
PAINV034	-69.76017	0.000	-102.3808	0.000
PAINV035	-70.43710	0.000	-106.8401	0.000
PAINV036	-70.87656	0.000	-111.5462	0.000
PAINV037	-71.02863	0.000	-116.5504	0.000
PAINV038	-70.82626	0.000	-121.9222	0.000
PAINV039	-70.19033	0.000	-127.7415	0.000
PAINV040	-68.97519	0.000	-134.1653	0.000
PAINV041	-66.97969	0.000	-141.4141	0.000
PAINV042	-63.78603	0.000	-149.9977	0.000
PAINV043	-62.91594	0.000	-151.9964	0.000
PAINV044	-59.68906	0.000	-159.1808	0.000
PAINV045	-61.69815	0.000	-154.6370	0.000
PAINV046	-61.38425	0.000	-155.2412	0.000

MEMBER TD7224

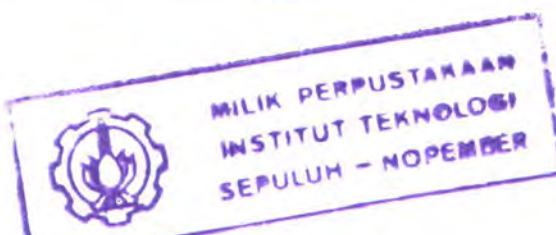
/	STRESS		/	
LOADING	MAX NORMAL	AT SECTION	MIN NORMAL	AT SECTION
PAINV001	-2.225349	0.000 FR	-2.620213	0.000 FR
PAINV002	-4.429586	0.000	-5.215733	0.000
PAINV003	-6.642800	0.000	-7.805501	0.000
PAINV004	-8.864786	0.000	-10.38988	0.000
PAINV005	-11.09571	0.000	-12.96882	0.000
PAINV006	-13.33540	0.000	-15.54267	0.000
PAINV007	-15.58371	0.000	-18.11175	0.000
PAINV008	-17.84046	0.000	-20.67643	0.000
PAINV009	-20.10540	0.000	-23.23717	0.000
PAINV010	-22.37821	0.000	-25.79451	0.000
PAINV011	-24.65849	0.000	-28.34909	0.000
PAINV012	-26.94575	0.000	-30.90169	0.000
PAINV013	-29.23939	0.000	-33.45319	0.000
PAINV014	-31.42627	1.000	-36.11705	1.000
PAINV015	-33.37095	1.000	-39.02909	1.000
PAINV016	-35.27848	1.000	-41.98464	1.000
PAINV017	-37.14989	1.000	-44.98311	1.000
PAINV018	-38.98648	1.000	-48.02371	1.000
PAINV019	-40.78982	1.000	-51.10538	1.000
PAINV020	-42.56188	1.000	-54.22681	1.000
PAINV021	-44.30505	1.000	-57.38626	1.000
PAINV022	-46.02227	1.000	-60.58157	1.000
PAINV023	-47.71717	1.000	-63.81000	1.000
PAINV024	-49.39423	1.000	-67.06808	1.000
PAINV025	-51.05893	1.000	-70.35146	1.000
PAINV026	-52.71806	1.000	-73.65466	1.000
PAINV027	-54.38015	1.000	-76.97064	1.000
PAINV028	-56.05570	1.000	-80.29076	1.000
PAINV029	-57.75800	1.000	-83.60374	1.000
PAINV030	-59.50392	1.000	-86.89516	1.000
PAINV031	-60.33789	0.000	-91.12354	0.000
PAINV032	-60.92317	0.000	-95.62911	0.000
PAINV033	-61.25965	0.000	-100.4163	0.000
PAINV034	-61.26867	0.000	-105.5673	0.000
PAINV035	-60.92602	0.000	-111.1157	0.000
PAINV036	-60.12088	0.000	-117.1796	0.000
PAINV037	-58.72750	0.000	-123.8958	0.000

PAINV038	-56.56798	0.000	-131.4579	0.000
PAINV039	-53.39519	0.000	-140.1299	0.000
PAINV040	-48.80212	0.000	-150.3584	0.000
PAINV041	-42.12166	0.000	-162.8719	0.000
PAINV042	-31.94029	0.000	-179.2668	0.000
PAINV043	-29.18549	0.000	-183.3643	0.000
PAINV044	-19.65102	0.000	-197.6520	0.000
PAINV045	-25.37552	0.000	-188.8900	0.000
PAINV046	-24.36339	0.000	-190.2699	0.000

LAMPIRAN F

OUTPUT DISPLACEMENT

RESULTS OF LATEST ANALYSES*					
PROBLEM - NONE TITLE - NAME GIVEN					
ACTIVE UNITS INCH KIP DEG SEC					
INTERNAL MEMBER RESULTS					
MEMBER DISPLACEMENTS - Local coordinate system					
--- Member TD6984 ---					
Loading: PAINV001 Loading title: Incremental load 1					
FR Distance	X displacement	Y displacement	Z displacement		
0.000	0.3199	0.2655	-0.3948		
1.000	0.2750	0.0695	-0.1633		
Loading: PAINV002 Loading title: Incremental load 2					
FR Distance	X displacement	Y displacement	Z displacement		
0.000	0.5473	0.0088	-0.6365		
1.000	0.4579	0.1528	-0.1857		
Loading: PAINV003 Loading title: Incremental load 3					
FR Distance	X displacement	Y displacement	Z displacement		
0.000	0.7745	0.9380	-0.8937		
1.000	0.6407	0.1801	-0.1564		
Loading: PAINV004 Loading title: Incremental load 4					
FR Distance	X displacement	Y displacement	Z displacement		
0.000	1.0018	1.2710	-1.1269		
1.000	0.8234	0.1536	-0.0715		
Loading: PAINV005 Loading title: Incremental load 5					
FR Distance	X displacement	Y displacement	Z displacement		
0.000	1.2286	1.6059	-1.3965		
1.000	1.0660	0.0715	0.0734		
Loading: PAINV006 Loading title: Incremental load 6					
FR Distance	X displacement	Y displacement	Z displacement		
0.000	1.4553	1.9406	-1.6630		
1.000	1.1084	-0.0654	0.2829		
Loading: PAINV007 Loading title: Incremental load 7					
FR Distance	X displacement	Y displacement	Z displacement		
0.000	1.6619	2.1252	-1.9367		
1.000	1.3706	-0.2569	0.5622		
Loading: PAINV008 Loading title: Incremental load 8					
FR Distance	X displacement	Y displacement	Z displacement		
0.000	1.9082	2.6096	-2.2184		
1.000	1.5527	-0.5028	0.9171		
Loading: PAINV009 Loading title: Incremental load 9					
FR Distance	X displacement	Y displacement	Z displacement		
0.000	2.1343	2.9438	-2.5085		
1.000	1.7346	-0.8029	1.3938		
Loading: PAINV010 Loading title: Incremental load 10					
FR Distance	X displacement	Y displacement	Z displacement		
0.000	2.3602	3.2777	-2.8078		
1.000	1.9163	-1.1569	1.0794		
Loading: PAINV011 Loading title: Incremental load 11					
FR Distance	X displacement	Y displacement	Z displacement		
0.000	2.5058	3.6114	-3.1171		
1.000	2.0978	-1.5647	2.5018		
Loading: PAINV012 Loading title: Incremental load 12					
FR Distance	X displacement	Y displacement	Z displacement		
0.000	2.6111	3.9448	-3.4310		
1.000	2.2791	-2.0259	3.2296		
Loading: PAINV013 Loading title: Incremental load 13					
FR Distance	X displacement	Y displacement	Z displacement		
0.000	0.0000	0.0000	0.0000		
Loading: PAINV014 Loading title: Incremental load 14					
FR Distance	X displacement	Y displacement	Z displacement		
0.000	3.0362	4.2779	-3.7685		
1.000	2.4601	-2.5403	4.0726		
Loading: PAINV015 Loading title: Incremental load 15					
FR Distance	X displacement	Y displacement	Z displacement		
0.000	3.2609	4.6107	-4.1127		
1.000	2.6408	-3.1076	5.0417		
Loading: PAINV016 Loading title: Incremental load 16					
FR Distance	X displacement	Y displacement	Z displacement		
0.000	3.4851	4.9431	-4.4707		
1.000	2.8213	-3.724	6.1493		
Loading: PAINV017 Loading title: Incremental load 17					
FR Distance	X displacement	Y displacement	Z displacement		
0.000	3.7090	5.2751	-4.8437		
1.000	3.0014	-4.3993	7.4091		
Loading: PAINV018 Loading title: Incremental load 18					
FR Distance	X displacement	Y displacement	Z displacement		
0.000	3.9325	5.6066	-5.2332		
1.000	3.1812	-5.1231	8.8368		
Loading: PAINV019 Loading title: Incremental load 19					
FR Distance	X displacement	Y displacement	Z displacement		
0.000	4.1554	5.9376	-5.6407		
1.000	3.3606	-5.8903	10.4503		
Loading: PAINV020 Loading title: Incremental load 20					
FR Distance	X displacement	Y displacement	Z displacement		
0.000	4.5996	6.5978	-6.0174		
1.000	3.7181	-7.6009	14.3179		
Loading: PAINV021 Loading title: Incremental load 21					
FR Distance	X displacement	Y displacement	Z displacement		
0.000	4.8208	6.9268	-6.9910		
1.000	3.8960	-8.5272	16.6217		
Loading: PAINV022 Loading title: Incremental load 22					
FR Distance	X displacement	Y displacement	Z displacement		
0.000	5.0411	7.2550	-7.4916		
1.000	4.0734	-9.5029	19.2113		
Loading: PAINV023 Loading title: Incremental load 23					
FR Distance	X displacement	Y displacement	Z displacement		
0.000	5.2607	7.5823	-8.0221		
1.000	4.2501	-10.5271	22.1221		
Loading: PAINV024 Loading title: Incremental load 24					
FR Distance	X displacement	Y displacement	Z displacement		
0.000	5.4793	7.9086	-8.5862		
1.000	4.4261	-11.5991	25.3948		
Loading: PAINV025 Loading title: Incremental load 25					
FR Distance	X displacement	Y displacement	Z displacement		
0.000	5.6968	8.2336	-9.1879		
1.000	4.6013	-12.7182	29.0770		
Loading: PAINV026 Loading title: Incremental load 26					
FR Distance	X displacement	Y displacement	Z displacement		
0.000	5.9131	8.5573	-9.8321		
1.000	4.7755	-13.8832	33.2243		
Loading: PAINV027 Loading title: Incremental load 27					
FR Distance	X displacement	Y displacement	Z displacement		
0.000	6.1281	8.8793	-10.5242		
1.000	4.9488	-15.0931	37.9021		
Loading: PAINV028 Loading title: Incremental load 28					
FR Distance	X displacement	Y displacement	Z displacement		



0.000	6.3414	9.1996	-11.2707	0.000	8.6355	12.8560	-35.4817
1.000	5.1205	-16.1446	41.1876	1.000	7.0196	-35.3738	271.4237
Loading: PAINV029 Loading title: Incremental load 29							
FR Distance X displacement Y displacement Z displacement							
0.000	6.5528	9.5177	-12.0795	0.000	7.4459	11.3735	-39.9929
1.000	5.2909	-17.6422	49.1724	1.000	6.1878	-27.6627	274.1893
Loading: PAINV030 Loading title: Incremental load 30							
FR Distance X displacement Y displacement Z displacement							
0.000	6.7621	9.8333	-12.8996	0.000	8.5010	12.8003	-36.0512
1.000	5.4597	-18.9781	55.9657	1.000	6.9866	-35.1520	275.8289
Loading: PAINV031 Loading title: Incremental load 31							
FR Distance X displacement Y displacement Z displacement							
0.000	6.9689	10.1459	-13.9220	0.000	8.5494	12.7621	-35.9967
1.000	5.6265	-20.3521	63.6981	1.000	6.9658	-34.9575	274.6703
Loading: PAINV032 Loading title: Incremental load 32							
FR Distance X displacement Y displacement Z displacement							
0.000	7.1726	10.4550	-14.9798	Number TDE99b			
1.000	5.7910	-21.7614	72.5267	Loading: PAINV001 Loading title: Incremental load 1			
Loading: PAINV033 Loading title: Incremental load 33							
FR Distance X displacement Y displacement Z displacement				FR Distance X displacement Y displacement Z displacement			
0.000	7.3726	10.7598	-16.1490	0.000	0.7233	0.5472	-0.7763
1.000	5.9527	-23.2026	82.6412	1.000	0.6809	0.2731	-0.4853
Loading: PAINV034 Loading title: Incremental load 34				Loading: PAINV002 Loading title: Incremental load 2			
FR Distance X displacement Y displacement Z displacement				FR Distance X displacement Y displacement Z displacement			
0.000	7.6690	11.0602	-17.4094	0.000	1.2213	1.2648	-1.2086
1.000	6.1116	-24.6751	93.9524	1.000	1.1367	0.4439	-0.6851
Loading: PAINV035 Loading title: Incremental load 35				Loading: PAINV003 Loading title: Incremental load 3			
FR Distance X displacement Y displacement Z displacement				FR Distance X displacement Y displacement Z displacement			
0.000	7.7545	11.3536	-18.8420	0.000	1.7192	1.9825	-1.8089
1.000	6.2660	-26.1872	107.1893	1.000	1.5925	0.9425	-0.8167
Loading: PAINV036 Loading title: Incremental load 36				Loading: PAINV004 Loading title: Incremental load 4			
FR Distance X displacement Y displacement Z displacement				FR Distance X displacement Y displacement Z displacement			
0.000	7.9432	11.6389	-20.4470	0.000	2.2170	2.7002	-2.3379
1.000	6.4154	-27.6737	122.4322	1.000	2.0482	1.1693	-0.8752
Loading: PAINV037 Loading title: Incremental load 37				Loading: PAINV005 Loading title: Incremental load 5			
FR Distance X displacement Y displacement Z displacement				FR Distance X displacement Y displacement Z displacement			
0.000	8.1183	11.9138	-22.2493	0.000	2.7147	3.4180	-2.8759
1.000	6.5583	-29.1834	139.9911	1.000	2.5038	1.3242	-0.8556
Loading: PAINV038 Loading title: Incremental load 38				Loading: PAINV006 Loading title: Incremental load 6			
FR Distance X displacement Y displacement Z displacement				FR Distance X displacement Y displacement Z displacement			
0.000	8.2820	12.1749	-24.2781	0.000	3.2123	4.1357	-3.4238
1.000	6.6928	-30.6792	160.1686	1.000	2.9592	1.4073	-0.7524
Loading: PAINV039 Loading title: Incremental load 39				Loading: PAINV007 Loading title: Incremental load 7			
FR Distance X displacement Y displacement Z displacement				FR Distance X displacement Y displacement Z displacement			
0.000	8.4313	12.4185	-26.9855	0.000	3.7098	4.8534	-3.9822
1.000	6.8166	-32.1412	183.5281	1.000	3.4146	1.4189	-0.5593
Loading: PAINV040 Loading title: Incremental load 40				Loading: PAINV008 Loading title: Incremental load 8			
FR Distance X displacement Y displacement Z displacement				FR Distance X displacement Y displacement Z displacement			
0.000	8.5578	12.6340	-29.1908	0.000	4.2072	5.5710	-4.5518
1.000	6.9240	-33.5154	209.9946	1.000	3.8698	1.3590	-0.2695
Loading: PAINV041 Loading title: Incremental load 41				Loading: PAINV009 Loading title: Incremental load 9			
FR Distance X displacement Y displacement Z displacement				FR Distance X displacement Y displacement Z displacement			
0.000	8.6481	12.8045	-32.0597	0.000	4.7044	6.2886	-5.1334
1.000	7.0056	-34.7077	238.9447	1.000	4.3248	1.2277	0.1244
Loading: PAINV042 Loading title: Incremental load 42				Loading: PAINV010 Loading title: Incremental load 10			
FR Distance X displacement Y displacement Z displacement				FR Distance X displacement Y displacement Z displacement			
0.000	8.6578	12.8731	-34.9542	0.000	5.2014	7.0061	-5.7281
1.000	7.0313	-35.3990	246.8141	1.000	4.7796	1.0251	0.6307
Loading: PAINV043 Loading title: Incremental load 43				Loading: PAINV011 Loading title: Incremental load 11			
FR Distance X displacement Y displacement Z displacement				FR Distance X displacement Y displacement Z displacement			
0.000	8.6678	12.9421	-36.8542	0.000	5.6982	7.7235	-6.3367
1.000	7.0413	-36.7342	247.8141	1.000	5.2342	0.7515	1.2587
Loading: PAINV044 Loading title: Incremental load 44				Loading: PAINV012 Loading title: Incremental load 12			

Loading title: Incremental load 11			
FR Distance	X displacement	Y displacement	Z displacement
0.000	19.8768	28.6068	-65.7345
1.000	18.1598	-41.4545	429.2018
Loading: PAINV043 Loading title: Incremental load 43			
FR Distance	X displacement	Y displacement	Z displacement
0.000	19.8572	28.6107	-67.2529
1.000	18.1496	-41.5568	444.8767
Loading: PAINV044 Loading title: Incremental load 44			
FR Distance	X displacement	Y displacement	Z displacement
0.000	17.6655	28.0331	-62.3741
1.000	16.3474	-31.8873	580.8263
Loading: PAINV045 Loading title: Incremental load 45			
FR Distance	X displacement	Y displacement	Z displacement
0.000	19.7770	28.5472	-68.8956
1.000	18.0928	-41.3749	461.5737
Loading: PAINV046 Loading title: Incremental load 46			
FR Distance	X displacement	Y displacement	Z displacement
0.000	19.7164	28.4803	-69.1369
1.000	18.0460	-41.0958	463.8863
Member TD7212			
Loading: PAINV001 Loading title: Incremental load 1			
FR Distance	X displacement	Y displacement	Z displacement
0.000	0.4906	0.3188	-0.5175
1.000	0.4524	0.0966	-0.2930
Loading: PAINV002 Loading title: Incremental load 2			
FR Distance	X displacement	Y displacement	Z displacement
0.000	0.8234	0.7588	-0.8183
1.000	0.7474	0.2576	-0.3850
Loading: PAINV003 Loading title: Incremental load 3			
FR Distance	X displacement	Y displacement	Z displacement
0.000	1.1562	1.1949	-1.1237
1.000	1.0424	0.3642	-0.4325
Loading: PAINV004 Loading title: Incremental load 4			
FR Distance	X displacement	Y displacement	Z displacement
0.000	1.4890	1.6330	-1.4342
1.000	1.3374	0.4166	-0.4328
Loading: PAINV005 Loading title: Incremental load 5			
FR Distance	X displacement	Y displacement	Z displacement
0.000	1.8217	2.0710	-1.7499
1.000	1.6323	0.4148	-0.3829
Loading: PAINV006 Loading title: Incremental load 6			
FR Distance	X displacement	Y displacement	Z displacement
0.000	2.1943	2.5090	-2.0713
1.000	1.9271	0.3590	-0.2796
Loading: PAINV007 Loading title: Incremental load 7			
FR Distance	X displacement	Y displacement	Z displacement
0.000	2.4468	2.9470	-2.3086
1.000	2.2219	0.2491	-0.1194
Loading: PAINV008 Loading title: Incremental load 8			
FR Distance	X displacement	Y displacement	Z displacement
0.000	2.8193	3.3850	-2.7323
1.000	2.5166	0.0854	0.1015
Loading: PAINV009 Loading title: Incremental load 9			
FR Distance	X displacement	Y displacement	Z displacement
0.000	3.1516	3.8229	-3.0728
1.000	2.8112	-0.1321	0.3871
Loading: PAINV010 Loading title: Incremental load 10			
FR Distance	X displacement	Y displacement	Z displacement
0.000	3.4838	4.2408	-3.4204
1.000	3.1057	-0.4033	0.7419
Loading: PAINV011 Loading title: Incremental load 11			
FR Distance	X displacement	Y displacement	Z displacement
0.000	3.8160	4.6986	-3.7757
1.000	3.4000	-0.7281	1.1710
Loading: PAINV012 Loading title: Incremental load 12			
FR Distance	X displacement	Y displacement	Z displacement
0.000	4.1481	5.1363	-4.1393
1.000	3.6943	-1.1064	1.6797
Loading: PAINV013 Loading title: Incremental load 13			
FR Distance	X displacement	Y displacement	Z displacement
0.000	4.4799	5.5739	-4.5117
1.000	3.9885	-1.5380	2.2738
Loading: PAINV014 Loading title: Incremental load 14			
FR Distance	X displacement	Y displacement	Z displacement
0.000	4.8117	6.0114	-4.8936
1.000	4.2825	-2.0228	2.9599
Loading: PAINV015 Loading title: Incremental load 15			
FR Distance	X displacement	Y displacement	Z displacement
0.000	5.1432	6.4488	-5.2856
1.000	4.5763	-2.5607	3.7452
Loading: PAINV016 Loading title: Incremental load 16			
FR Distance	X displacement	Y displacement	Z displacement
0.000	5.4746	6.8860	-5.6885
1.000	4.8700	-3.1515	4.6375
Loading: PAINV017 Loading title: Incremental load 17			
FR Distance	X displacement	Y displacement	Z displacement
0.000	5.8057	7.3230	-6.1033
1.000	5.1634	-3.7951	5.6457
Loading: PAINV018 Loading title: Incremental load 18			
FR Distance	X displacement	Y displacement	Z displacement
0.000	6.1367	7.7598	-6.5308
1.000	5.4567	-4.4914	6.7795
Loading: PAINV019 Loading title: Incremental load 19			
FR Distance	X displacement	Y displacement	Z displacement
0.000	6.4673	8.1964	-6.9721
1.000	5.7498	-5.2400	8.0497
Loading: PAINV020 Loading title: Incremental load 20			
FR Distance	X displacement	Y displacement	Z displacement
0.000	6.7978	8.6328	-7.4283
1.000	6.0426	-6.0410	9.4685
Loading: PAINV021 Loading title: Incremental load 21			
FR Distance	X displacement	Y displacement	Z displacement
0.000	7.1279	9.0689	-7.9008
1.000	6.3351	-6.8940	11.0494
Loading: PAINV022 Loading title: Incremental load 22			
FR Distance	X displacement	Y displacement	Z displacement
0.000	7.4576	9.5046	-8.3910
1.000	6.6271	-7.7488	12.8077
Loading: PAINV023 Loading title: Incremental load 23			
FR Distance	X displacement	Y displacement	Z displacement
0.000	7.7870	9.9400	-8.9006
1.000	6.9191	-8.7554	14.7606
Loading: PAINV024 Loading title: Incremental load 24			
FR Distance	X displacement	Y displacement	Z displacement
0.000	8.1160	10.3750	-9.4315
1.000	7.2106	-9.7633	16.9276
Loading: PAINV025 Loading title: Incremental load 25			
FR Distance	X displacement	Y displacement	Z displacement
0.000	8.4445	10.8095	-9.9856
1.000	7.5017	-10.8225	19.3308
Loading: PAINV026 Loading title: Incremental load 26			

FR Distance	X displacement	Y displacement	Z displacement	FR Distance	X displacement	Y displacement	Z displacement
0.000	6.7725	11.2435	-10.5654	0.000	13.5451	17.6223	-25.9918
1.000	7.7923	-11.9324	21.9554	1.000	12.0377	-34.5686	133.3223
Loading: PAINV027				Loading: PAINV042			
Loading title: Incremental load 27				Loading title: Incremental load 42			
FR Distance	X displacement	Y displacement	Z displacement	FR Distance	X displacement	Y displacement	Z displacement
0.000	9.0999	11.6769	-11.1737	0.000	12.8762	18.0443	-28.1376
1.000	8.0421	-11.0935	24.9504	1.000	12.3141	-36.5516	152.0868
Loading: PAINV028				Loading: PAINV043			
Loading title: Incremental load 28				Loading title: Incremental load 43			
FR Distance	X displacement	Y displacement	Z displacement	FR Distance	X displacement	Y displacement	Z displacement
0.000	9.4268	12.1096	-11.8134	0.000	13.9409	18.1327	-28.6298
1.000	8.3719	-14.3048	28.2290	1.000	12.3717	-36.9781	157.4800
Loading: PAINV029				Loading: PAINV044			
Loading title: Incremental load 29				Loading title: Incremental load 44			
FR Distance	X displacement	Y displacement	Z displacement	FR Distance	X displacement	Y displacement	Z displacement
0.000	9.7528	12.5416	-12.6883	0.000	14.1071	18.4875	-30.1832
1.000	8.6807	-15.5662	31.8698	1.000	12.5931	-38.7090	173.6274
Loading: PAINV030				Loading: PAINV045			
Loading title: Incremental load 30				Loading title: Incremental load 45			
FR Distance	X displacement	Y displacement	Z displacement	FR Distance	X displacement	Y displacement	Z displacement
0.000	10.0781	12.9728	-13.2023	0.000	14.0223	18.2445	-29.2789
1.000	8.9489	-16.8776	35.9176	1.000	12.4442	-37.5234	163.6014
Loading: PAINV031				Loading: PAINV046			
Loading title: Incremental load 31				Loading title: Incremental load 46			
FR Distance	X displacement	Y displacement	Z displacement	FR Distance	X displacement	Y displacement	Z displacement
0.000	10.4025	13.4031	-13.9605	0.000	14.0393	18.2683	-31.4170
1.000	9.2362	-18.2386	40.4249	1.000	12.4594	-37.6403	164.9352
Loading: PAINV032				--- member xu745a ---			
Loading title: Incremental load 32				Loading: PAINV001			
FR Distance	X displacement	Y displacement	Z displacement	FR Distance	X displacement	Y displacement	Z displacement
0.000	10.7259	13.8322	-14.7685	0.000	-0.5031	0.1260	0.0014
1.000	9.5226	-19.6488	45.4538	1.000	-0.5436	0.3574	0.0930
Loading: PAINV033				Loading: PAINV002			
Loading title: Incremental load 33				FR Distance	X displacement	Y displacement	Z displacement
FR Distance	X displacement	Y displacement	Z displacement	0.000	-0.8490	0.3709	0.1618
0.000	11.0482	14.2802	-15.6350	1.000	-0.9296	0.9077	0.4536
1.000	9.8081	-21.1002	51.0778	Loading: PAINV003			
Loading: PAINV034				FR Distance	X displacement	Y displacement	Z displacement
Loading title: Incremental load 34				0.000	-1.1950	0.6158	0.3219
FR Distance	X displacement	Y displacement	Z displacement	1.000	-1.3157	1.5313	0.8625
0.000	11.3692	14.6668	-16.5525	Loading: PAINV004			
1.000	10.0923	-22.6163	57.3285	FR Distance	X displacement	Y displacement	Z displacement
Loading: PAINV035				0.000	-1.5411	0.8058	0.4820
Loading title: Incremental load 35				1.000	-1.7019	2.2284	1.3218
FR Distance	X displacement	Y displacement	Z displacement	Loading: PAINV005			
0.000	11.6887	15.1118	-17.5535	FR Distance	X displacement	Y displacement	Z displacement
1.000	10.3753	-24.1730	64.4015	0.000	-1.8871	1.1058	0.6419
Loading: PAINV036				1.000	-2.0881	2.9991	1.8337
Loading title: Incremental load 36				Loading: PAINV006			
FR Distance	X displacement	Y displacement	Z displacement	FR Distance	X displacement	Y displacement	Z displacement
0.000	12.0065	15.5352	-18.6383	0.000	-2.2333	1.3509	0.8016
1.000	10.6568	-25.7782	72.3846	1.000	-2.4743	3.8437	2.4003
Loading: PAINV037				Loading: PAINV007			
Loading title: Incremental load 37				FR Distance	X displacement	Y displacement	Z displacement
FR Distance	X displacement	Y displacement	Z displacement	0.000	-2.5795	1.5960	0.9612
0.000	12.3225	15.9565	-19.8220	1.000	-2.8607	4.7624	3.0243
1.000	10.9366	-27.4320	81.4357	Loading: PAINV008			
Loading: PAINV038				FR Distance	X displacement	Y displacement	Z displacement
Loading title: Incremental load 38				0.000	-2.9258	1.8411	1.1206
FR Distance	X displacement	Y displacement	Z displacement	1.000	-3.2471	5.7553	3.7081
0.000	12.6364	16.3756	-21.1226	Loading: PAINV009			
1.000	11.2147	-29.1152	91.546	FR Distance	X displacement	Y displacement	Z displacement
Loading: PAINV039				0.000	-3.2721	2.0863	1.2799
Loading title: Incremental load 39				1.000	-3.6335	6.8226	4.4546
FR Distance	X displacement	Y displacement	Z displacement	Loading: PAINV009			
0.000	12.9480	16.7928	-22.5590	FR Distance	X displacement	Y displacement	Z displacement
1.000	11.4907	-30.8882	103.5656	0.000	-3.6335	6.8226	4.4546
Loading: PAINV040				Loading: PAINV009			
Loading title: Incremental load 40				FR Distance	X displacement	Y displacement	Z displacement
FR Distance	X displacement	Y displacement	Z displacement	0.000	-3.6335	6.8226	4.4546
0.000	13.2573	17.2078	-24.1668	FR Distance	X displacement	Y displacement	Z displacement
1.000	11.7648	-32.6959	117.2522	0.000	-3.6335	6.8226	4.4546
Loading: PAINV041				Loading: PAINV009			
Loading title: Incremental load 41				FR Distance	X displacement	Y displacement	Z displacement

Loading: PAINV010			
Loading title: Incremental load 10			
FR Distance	X displacement	Y displacement	Z displacement
0.000	-3.6185	2.3316	1.4389
1.000	-4.0201	7.9645	5.2668
Loading: PAINV011			
Loading title: Incremental load 11			
FR Distance	X displacement	Y displacement	Z displacement
0.000	-3.9649	3.5769	1.5976
1.000	-4.4067	9.1813	6.1479
Loading: PAINV012			
Loading title: Incremental load 12			
FR Distance	X displacement	Y displacement	Z displacement
0.000	-4.3114	2.0222	1.7565
1.000	-4.7933	10.4731	7.1013
Loading: PAINV013			
Loading title: Incremental load 13			
FR Distance	X displacement	Y displacement	Z displacement
0.000	-4.6580	3.0677	1.9149
1.000	-5.1801	11.8401	8.1308
Loading: PAINV014			
Loading title: Incremental load 14			
FR Distance	X displacement	Y displacement	Z displacement
0.000	-5.0047	3.3131	2.0731
1.000	-5.5669	13.2625	9.2403
Loading: PAINV015			
Loading title: Incremental load 15			
FR Distance	X displacement	Y displacement	Z displacement
0.000	-5.3014	3.5007	2.2211
1.000	-5.9530	14.8006	10.4343
Loading: PAINV016			
Loading title: Incremental load 16			
FR Distance	X displacement	Y displacement	Z displacement
0.000	-5.6982	3.8043	2.3988
1.000	-6.3408	16.1945	11.7173
Loading: PAINV017			
Loading title: Incremental load 17			
FR Distance	X displacement	Y displacement	Z displacement
0.000	-6.0451	4.0500	2.5462
1.000	-6.7270	18.0645	13.0944
Loading: PAINV018			
Loading title: Incremental load 18			
FR Distance	X displacement	Y displacement	Z displacement
0.000	-6.3921	4.2958	2.7033
1.000	-7.1150	19.8108	14.5711
Loading: PAINV019			
Loading title: Incremental load 19			
FR Distance	X displacement	Y displacement	Z displacement
0.000	-6.7391	4.5417	2.8602
1.000	-7.5022	21.6355	16.1533
Loading: PAINV020			
Loading title: Incremental load 20			
FR Distance	X displacement	Y displacement	Z displacement
0.000	-7.0863	4.7877	3.0166
1.000	-7.8845	23.5700	17.8475
Loading: PAINV021			
Loading title: Incremental load 21			
FR Distance	X displacement	Y displacement	Z displacement
0.000	-7.4335	5.0337	3.1728
1.000	-8.2769	25.5093	19.6608
Loading: PAINV022			
Loading title: Incremental load 22			
FR Distance	X displacement	Y displacement	Z displacement
0.000	-7.7808	5.2799	3.3285
1.000	-8.6644	27.5627	21.6008
Loading: PAINV023			
Loading title: Incremental load 23			
FR Distance	X displacement	Y displacement	Z displacement
0.000	-8.1282	5.5262	3.4838
1.000	-9.0520	29.6934	23.6761
Loading: PAINV024			
Loading title: Incremental load 24			
FR Distance	X displacement	Y displacement	Z displacement
0.000	-8.4750	5.7725	3.6386
1.000	-9.4397	31.9015	25.0958
Loading: PAINV025			
Loading title: Incremental load 25			
FR Distance	X displacement	Y displacement	Z displacement
0.000	-8.8234	6.0190	3.7930
1.000	-9.8275	34.1872	28.2701
Loading: PAINV026			
Loading title: Incremental load 26			
FR Distance	X displacement	Y displacement	Z displacement
0.000	-9.1711	6.2457	3.9468
1.000	-10.2154	36.5507	30.8103
Loading: PAINV027			
Loading title: Incremental load 27			
FR Distance	X displacement	Y displacement	Z displacement
0.000	-9.5190	6.5124	4.1001
1.000	-10.6034	38.9921	33.5287
Loading: PAINV028			
Loading title: Incremental load 28			
FR Distance	X displacement	Y displacement	Z displacement
0.000	-9.8669	6.7593	4.2527
1.000	-10.9915	41.5114	36.4391
Loading: PAINV029			
Loading title: Incremental load 29			
FR Distance	X displacement	Y displacement	Z displacement
0.000	-10.2150	7.0063	4.4047
1.000	-11.3796	44.1086	39.5568
Loading: PAINV030			
Loading title: Incremental load 30			
FR Distance	X displacement	Y displacement	Z displacement
0.000	-10.5631	7.2535	4.5558
1.000	-11.7679	46.7030	42.0906
Loading: PAINV031			
Loading title: Incremental load 31			
FR Distance	X displacement	Y displacement	Z displacement
0.000	-10.9113	7.5008	4.7062
1.000	-12.1562	49.5367	46.4837
Loading: PAINV032			
Loading title: Incremental load 32			
FR Distance	X displacement	Y displacement	Z displacement
0.000	-11.2596	7.7482	4.8556
1.000	-12.5445	52.3671	50.3335
Loading: PAINV033			
Loading title: Incremental load 33			
FR Distance	X displacement	Y displacement	Z displacement
0.000	-11.6080	7.9958	5.0040
1.000	-12.9329	55.2746	54.4710
Loading: PAINV034			
Loading title: Incremental load 34			
FR Distance	X displacement	Y displacement	Z displacement
0.000	-11.9564	8.2435	5.1513
1.000	-13.3212	58.2587	56.9226
Loading: PAINV035			
Loading title: Incremental load 35			
FR Distance	X displacement	Y displacement	Z displacement
0.000	-12.3047	8.4913	5.2973
1.000	-13.7094	61.3179	63.7215
Loading: PAINV036			
Loading title: Incremental load 36			
FR Distance	X displacement	Y displacement	Z displacement
0.000	-12.6529	8.7390	5.4419
1.000	-14.0974	64.4507	68.9012
Loading: PAINV037			
Loading title: Incremental load 37			
FR Distance	X displacement	Y displacement	Z displacement
0.000	-13.0007	8.9867	5.5849
1.000	-14.4850	67.6544	74.5011
Loading: PAINV038			
Loading title: Incremental load 38			
FR Distance	X displacement	Y displacement	Z displacement
0.000	-13.3480	9.2340	5.7260
1.000	-14.8719	70.9250	80.5663
Loading: PAINV039			
Loading title: Incremental load 39			
FR Distance	X displacement	Y displacement	Z displacement
0.000	-13.6444	9.4077	5.8650
1.000	-15.2577	74.2571	87.1511
Loading: PAINV040			
Loading title: Incremental load 40			

FR Distance	X displacement	Y displacement	Z displacement
0.000	-14.0388	9.7261	6.0015
1.000	-15.6411	77.6362	94.3122
Loading: PAINV041 Loading title: Incremental load 41			
FR Distance X displacement Y displacement Z displacement			
0.000	-14.3792	9.9883	6.1349
1.000	-16.0200	81.0346	102.1121
Loading: PAINV042 Loading title: Incremental load 42			
FR Distance X displacement Y displacement Z displacement			
0.000	-14.7016	10.2011	6.2638
1.000	-16.3855	84.3544	110.5955
Loading: PAINV043 Loading title: Incremental load 43			
FR Distance X displacement Y displacement Z displacement			
0.000	-14.7692	10.2443	6.2867
1.000	-16.4541	84.9767	112.3729
Loading: PAINV044 Loading title: Incremental load 44			
FR Distance X displacement Y displacement Z displacement			
0.000	-14.8447	10.1362	6.2809
1.000	-16.3184	83.4012	114.6905
Loading: PAINV045 Loading title: Incremental load 45			
FR Distance X displacement Y displacement Z displacement			
0.000	-14.8383	10.2923	6.3176
1.000	-16.5310	85.6679	114.5357
Loading: PAINV046 Loading title: Incremental load 46			
FR Distance X displacement Y displacement Z displacement			
0.000	-14.8457	10.2969	6.3219
1.000	-16.5393	85.7343	114.8774
--- Member TD7655 ---			
Loading: PAINV001 Loading title: Incremental load 1			
FR Distance X displacement Y displacement Z displacement			
0.000	-0.2659	0.0438	0.0072
L.000	-0.3040	0.2143	0.0553
Loading: PAINV002 Loading title: Incremental load 2			
FR Distance X displacement Y displacement Z displacement			
0.000	-0.4399	0.1569	0.1068
1.000	-0.5157	0.5490	0.3024
Loading: PAINV003 Loading title: Incremental load 3			
FR Distance X displacement Y displacement Z displacement			
0.000	-0.6140	0.2701	0.2064
1.000	-0.7275	0.9340	0.5840
Loading: PAINV004 Loading title: Incremental load 4			
FR Distance X displacement Y displacement Z displacement			
0.000	-0.7681	0.3832	0.3059
1.000	-0.9393	1.3695	0.9015
Loading: PAINV005 Loading title: Incremental load 5			
FR Distance X displacement Y displacement Z displacement			
0.000	-0.9622	0.4964	0.4054
1.000	-1.1512	1.8559	1.2563
Loading: PAINV006 Loading title: Incremental load 6			
FR Distance X displacement Y displacement Z displacement			
0.000	-1.1364	0.6096	0.5048
1.000	-1.3640	2.1921	1.6498
Loading: PAINV007 Loading title: Incremental load 7			
FR Distance X displacement Y displacement Z displacement			
0.000	-1.3105	0.7229	0.6042
1.000	-1.5750	2.9995	1.0836
Loading: PAINV008 Loading title: Incremental load 8			
FR Distance X displacement Y displacement Z displacement			
0.000	-1.4848	0.8361	0.7036
L.000	-1.7869	3.6111	2.5593
Loading: PAINV009 Loading title: Incremental load 9			
FR Distance X displacement Y displacement Z displacement			
0.000	-1.6590	0.9494	0.8029
1.000	-1.9989	4.3070	3.0788
Loading: PAINV010 Loading title: Incremental load 10			
FR Distance X displacement Y displacement Z displacement			
0.000	-1.8333	1.0627	0.9022
1.000	-2.2110	5.0473	3.6439
Loading: PAINV011 Loading title: Incremental load 11			
FR Distance X displacement Y displacement Z displacement			
0.000	-2.0076	1.1760	1.0014
1.000	-2.4231	5.8387	4.2568
Loading: PAINV012 Loading title: Incremental load 12			
FR Distance X displacement Y displacement Z displacement			
0.000	-2.1820	1.2893	1.1006
1.000	-2.6352	6.6816	4.9194
Loading: PAINV013 Loading title: Incremental load 13			
FR Distance X displacement Y displacement Z displacement			
0.000	-2.3564	1.4027	1.1997
1.000	-2.8474	7.5758	5.6342
Loading: PAINV014 Loading title: Incremental load 14			
FR Distance X displacement Y displacement Z displacement			
0.000	-2.5308	1.5161	1.2987
1.000	-3.0596	8.5216	6.4035
Loading: PAINV015 Loading title: Incremental load 15			
FR Distance X displacement Y displacement Z displacement			
0.000	-2.8798	1.7429	1.4966
1.000	-3.4843	10.5683	8.1170
Loading: PAINV016 Loading title: Incremental load 16			
FR Distance X displacement Y displacement Z displacement			
0.000	-3.0544	1.8564	1.5955
1.000	-3.6966	11.6694	9.0670
Loading: PAINV017 Loading title: Incremental load 17			
FR Distance X displacement Y displacement Z displacement			
0.000	-3.2290	1.9699	1.6943
1.000	-3.9090	12.8225	10.0836
Loading: PAINV018 Loading title: Incremental load 18			
FR Distance X displacement Y displacement Z displacement			
0.000	-3.4037	2.0834	1.7930
1.000	-4.1215	14.0278	11.1703
Loading: PAINV019 Loading title: Incremental load 19			
FR Distance X displacement Y displacement Z displacement			
0.000	-3.4215	15.2853	12.3309
Loading: PAINV020 Loading title: Incremental load 20			
FR Distance X displacement Y displacement Z displacement			
0.000	-3.5784	2.1970	1.8916
1.000	-4.3341	16.5952	13.5698
Loading: PAINV021 Loading title: Incremental load 21			
FR Distance X displacement Y displacement Z displacement			
0.000	-3.7532	2.3106	1.9901
1.000	-4.5466	19.3724	16.3006
Loading: PAINV022 Loading title: Incremental load 22			
FR Distance X displacement Y displacement Z displacement			
0.000	-3.9280	2.4243	2.0886
1.000	-4.7593	17.9575	14.8913
Loading: PAINV023 Loading title: Incremental load 23			
FR Distance X displacement Y displacement Z displacement			
0.000	-4.1029	2.5379	2.1869
1.000	-4.9720	19.3724	16.3006

Loading: PAINV024		Loading title: Incremental load 24	
FR Distance	X displacement	Y displacement	Z displacement
0.000	-4.2779	2.6517	2.2852
1.000	-5.1847	20.8400	17.8029
Loading: PAINV025		Loading title: Incremental load 25	
FR Distance	X displacement	Y displacement	Z displacement
0.000	-4.4529	2.7654	2.3834
1.000	-5.3975	22.3603	19.4043
Loading: PAINV026		Loading title: Incremental load 26	
FR Distance	X displacement	Y displacement	Z displacement
0.000	-4.4279	2.8792	2.4015
1.000	-5.6104	23.9334	21.1110
Loading: PAINV027		Loading title: Incremental load 27	
FR Distance	X displacement	Y displacement	Z displacement
0.000	-4.8031	2.9930	2.5795
1.000	-5.8233	25.5594	22.9304
Loading: PAINV028		Loading title: Incremental load 28	
FR Distance	X displacement	Y displacement	Z displacement
0.000	-4.9782	3.1069	2.6774
1.000	-6.0363	27.2382	24.8701
Loading: PAINV029		Loading title: Incremental load 29	
FR Distance	X displacement	Y displacement	Z displacement
0.000	-5.1535	3.2208	2.7752
1.000	-6.2493	28.9699	26.9308
Loading: PAINV030		Loading title: Incremental load 30	
FR Distance	X displacement	Y displacement	Z displacement
0.000	-5.3288	3.3347	2.8729
1.000	-6.4624	30.7543	24.1462
Loading: PAINV031		Loading title: Incremental load 31	
FR Distance	X displacement	Y displacement	Z displacement
0.000	-5.5042	3.4486	2.9706
1.000	-6.6755	32.5915	31.5029
Loading: PAINV032		Loading title: Incremental load 32	
FR Distance	X displacement	Y displacement	Z displacement
0.000	-5.6776	3.5626	3.0682
1.000	-6.8866	34.4611	34.0210
Loading: PAINV033		Loading title: Incremental load 33	
FR Distance	X displacement	Y displacement	Z displacement
0.000	-5.8551	3.6765	3.1659
1.000	-7.1018	36.4227	36.7140
Loading: PAINV034		Loading title: Incremental load 34	
FR Distance	X displacement	Y displacement	Z displacement
0.000	-6.0306	3.7904	3.2635
1.000	-7.3150	38.4163	39.5945
Loading: PAINV035		Loading title: Incremental load 35	
FR Distance	X displacement	Y displacement	Z displacement
0.000	-6.2061	3.9042	3.3613
1.000	-7.5281	40.4604	42.6841
Loading: PAINV036		Loading title: Incremental load 36	
FR Distance	X displacement	Y displacement	Z displacement
0.000	-6.3816	4.0179	3.4592
1.000	-7.7411	42.5543	46.0010
Loading: PAINV037		Loading title: Incremental load 37	
FR Distance	X displacement	Y displacement	Z displacement
0.000	-6.5569	4.1314	3.5576
1.000	-7.9539	44.6960	49.5688
Loading: PAINV038		Loading title: Incremental load 38	
FR Distance	X displacement	Y displacement	Z displacement
0.000	-6.7321	4.2445	3.6567
1.000	-8.1665	46.8825	53.4158
Loading: PAINV039			
FR Distance	X displacement	Y displacement	Z displacement
0.000	-6.9070	4.3571	3.7568
1.000	-8.3785	49.1104	57.5760
Loading title: Incremental load 39			
FR Distance	X displacement	Y displacement	Z displacement
0.000	-7.0812	4.4686	3.8591
1.000	-8.5895	51.3694	62.0976
Loading: PAINV040		Loading title: Incremental load 40	
FR Distance	X displacement	Y displacement	Z displacement
0.000	-7.2538	4.5781	3.9655
1.000	-8.7984	53.6404	67.0492
Loading: PAINV041		Loading title: Incremental load 41	
FR Distance	X displacement	Y displacement	Z displacement
0.000	-7.4219	4.6817	4.0834
1.000	-9.0014	55.8554	72.5902
Loading: PAINV042		Loading title: Incremental load 42	
FR Distance	X displacement	Y displacement	Z displacement
0.000	-7.4540	4.7005	4.1107
1.000	-9.0400	56.2694	73.8140
Loading: PAINV043		Loading title: Incremental load 43	
FR Distance	X displacement	Y displacement	Z displacement
0.000	-7.4151	4.6317	4.2095
1.000	-8.9874	55.1580	78.4401
Loading: PAINV044		Loading title: Incremental load 44	
FR Distance	X displacement	Y displacement	Z displacement
0.000	-7.4906	4.7208	4.1481
1.000	-9.0839	56.7275	75.3830
Loading: PAINV045		Loading title: Incremental load 45	
FR Distance	X displacement	Y displacement	Z displacement
0.000	-7.4951	4.7222	4.1581
1.000	-9.0892	56.7700	75.7035
--- Member TD6990 ---			
Loading: PAINV001		Loading title: Incremental load 1	
FR Distance	X displacement	Y displacement	Z displacement
0.000	0.3156	0.4011	-0.0546
1.000	0.4696	0.1538	-0.3151
Loading: PAINV002		Loading title: Incremental load 2	
FR Distance	X displacement	Y displacement	Z displacement
0.000	0.8693	0.9214	-0.9543
1.000	0.7818	0.3586	-0.4132
Loading: PAINV003		Loading title: Incremental load 3	
FR Distance	X displacement	Y displacement	Z displacement
0.000	1.2250	1.4416	-1.3311
1.000	1.0939	0.4959	-0.4494
Loading: PAINV004		Loading title: Incremental load 4	
FR Distance	X displacement	Y displacement	Z displacement
0.000	1.5805	1.9618	-1.7156
1.000	1.4058	0.5660	-0.4193
Loading: PAINV005		Loading title: Incremental load 5	
FR Distance	X displacement	Y displacement	Z displacement
0.000	1.9156	2.4010	-2.1161
1.000	1.7176	0.5689	-0.3179
Loading: PAINV006		Loading title: Incremental load 6	
FR Distance	X displacement	Y displacement	Z displacement
0.000	2.2910	3.0018	-2.5093
1.000	2.0292	0.5048	-0.1398
Loading: PAINV007		Loading title: Incremental load 7	
FR Distance	X displacement	Y displacement	Z displacement
0.000	2.6460	3.5217	-2.9199

1.000	2.3407	0.3739	0.1210				
Loading: PAINV008 Loading title: Incremental load 9							
FR Distance X displacement Y displacement Z displacement							
0.000	3.0008	4.0414	-3.3405				
1.000	2.6520	0.1763	0.4711				
Loading: PAINV009 Loading title: Incremental load 9							
FR Distance X displacement Y displacement Z displacement							
0.000	3.3554	4.5609	-3.7719				
1.000	2.9631	-0.0876	0.9178				
Loading: PAINV010 Loading title: Incremental load 10							
FR Distance X displacement Y displacement Z displacement							
0.000	3.7097	5.0003	-4.2150				
1.000	3.2739	-0.4178	1.4692				
Loading: PAINV011 Loading title: Incremental load 11							
FR Distance X displacement Y displacement Z displacement							
0.000	4.0638	5.5994	-4.6706				
1.000	3.5845	-0.8140	9.1344				
Loading: PAINV012 Loading title: Incremental load 12							
FR Distance X displacement Y displacement Z displacement							
0.000	4.4175	6.1183	-5.1399				
1.000	3.8949	-1.2759	2.9233				
Loading: PAINV013 Loading title: Incremental load 13							
FR Distance X displacement Y displacement Z displacement							
0.000	4.7710	6.6369	-5.6240				
1.000	4.2049	-1.8034	3.8473				
Loading: PAINV014 Loading title: Incremental load 14							
FR Distance X displacement Y displacement Z displacement							
0.000	5.1241	7.1552	-6.1241				
1.000	4.5146	-2.3960	4.9168				
Loading: PAINV015 Loading title: Incremental load 15							
FR Distance X displacement Y displacement Z displacement							
0.000	5.4768	7.6731	-6.6418				
1.000	4.8239	-3.0536	8.1521				
Loading: PAINV016 Loading title: Incremental load 16							
FR Distance X displacement Y displacement Z displacement							
0.000	5.8291	8.1906	-7.1786				
1.000	5.1329	-3.7758	7.5632				
Loading: PAINV017 Loading title: Incremental load 17							
FR Distance X displacement Y displacement Z displacement							
0.000	6.1809	8.7077	-7.7365				
1.000	5.4414	-4.5623	9.1701				
Loading: PAINV018 Loading title: Incremental load 18							
FR Distance X displacement Y displacement Z displacement							
0.000	6.5321	9.2242	-8.3173				
1.000	5.7494	-5.4128	10.9935				
Loading: PAINV019 Loading title: Incremental load 19							
FR Distance X displacement Y displacement Z displacement							
0.000	6.8828	9.7401	-8.9236				
1.000	6.0569	-6.3268	13.0568				
Loading: PAINV020 Loading title: Incremental load 20							
FR Distance X displacement Y displacement Z displacement							
0.000	7.2328	10.2553	-9.5580				
1.000	6.3637	-7.3041	15.3870				
Loading: PAINV021 Loading title: Incremental load 21							
FR Distance X displacement Y displacement Z displacement							
0.000	7.5820	10.7698	-10.2235				
1.000	6.6699	-8.3440	18.0150				
Loading: PAINV022 Loading title: Incremental load 22							
FR Distance X displacement Y displacement Z displacement							
0.000	7.9304	11.2834	-10.9237				
1.000	6.9793	-9.4463	20.9767				
Loading: PAINV023 Loading title: Incremental load 23							
FR Distance X displacement Y displacement Z displacement							
0.000	8.2779	11.7959	-11.6625				
1.000	7.2798	-10.6103	24.3138				
Loading: PAINV024 Loading title: Incremental load 24							
FR Distance X displacement Y displacement Z displacement							
0.000	8.6243	12.3074	-12.4449				
1.000	7.5834	-11.8355	28.0748				
Loading: PAINV025 Loading title: Incremental load 25							
FR Distance X displacement Y displacement Z displacement							
0.000	8.9694	12.8174	-13.2761				
1.000	7.8858	-13.1214	32.3170				
Loading: PAINV026 Loading title: Incremental load 26							
FR Distance X displacement Y displacement Z displacement							
0.000	9.3132	13.3260	-14.1628				
1.000	8.1870	-14.4673	37.1079				
Loading: PAINV027 Loading title: Incremental load 27							
FR Distance X displacement Y displacement Z displacement							
0.000	9.6553	13.8328	-15.1125				
1.000	8.4867	-15.8724	42.5281				
Loading: PAINV028 Loading title: Incremental load 28							
FR Distance X displacement Y displacement Z displacement							
0.000	9.9956	14.3375	-16.1344				
1.000	8.7847	-17.3350	48.6740				
Loading: PAINV029 Loading title: Incremental load 29							
FR Distance X displacement Y displacement Z displacement							
0.000	10.3338	14.8397	-17.2393				
1.000	9.0808	-18.8568	55.6623				
Loading: PAINV030 Loading title: Incremental load 30							
FR Distance X displacement Y displacement Z displacement							
0.000	10.6693	15.3391	-18.4406				
1.000	9.3746	-20.4340	63.6349				
Loading: PAINV031 Loading title: Incremental load 31							
FR Distance X displacement Y displacement Z displacement							
0.000	11.0019	15.8350	-19.7543				
1.000	9.6656	-22.0663	72.7668				
Loading: PAINV032 Loading title: Incremental load 32							
FR Distance X displacement Y displacement Z displacement							
0.000	11.3308	16.3267	-21.2006				
1.000	9.9534	-23.7519	63.2753				
Loading: PAINV033 Loading title: Incremental load 33							
FR Distance X displacement Y displacement Z displacement							
0.000	11.6553	16.8134	-22.8043				
1.000	10.2372	-25.4887	95.4338				
Loading: PAINV034 Loading title: Incremental load 34							
FR Distance X displacement Y displacement Z displacement							
0.000	11.9752	17.2947	-24.5307				
1.000	10.5171	-27.2761	109.0895				
Loading: PAINV035 Loading title: Incremental load 35							
FR Distance X displacement Y displacement Z displacement							
0.000	12.2879	17.7677	-26.5170				
1.000	10.7906	-29.1067	125.3807				
Loading: PAINV036 Loading title: Incremental load 36							
FR Distance X displacement Y displacement Z displacement							
0.000	12.5921	18.2208	-28.7639				
1.000	11.0568	-30.9764	144.5164				
Loading: PAINV037 Loading title: Incremental load 37							
FR Distance X displacement Y displacement Z displacement							
0.000	12.8857	18.6812	-31.3262				
1.000	11.3135	-32.8763	167.0980				

Loading: PAINVU38				0.000	4.1574	5.2616	-4.4635
Loading title: Incremental load 38				1.000	3.9185	2.5816	-1.3964
FR Distance	X displacement	Y displacement	Z displacement				
0.000	13.1645	19.1141	-34.2713				
1.000	11.5578	-34.7919	193.9000				
Loading: PAINVU39				0.000	4.8012	6.1762	-5.1978
Loading title: Incremental load 39				1.000	4.5223	2.8126	-1.2642
FR Distance	X displacement	Y displacement	Z displacement				
0.000	13.4246	19.5248	-37.6452				
1.000	11.7863	-36.7053	225.5074				
Loading: PAINVU40				0.000	5.4449	7.0909	-5.9462
Loading title: Incremental load 40				1.000	5.1261	2.9764	-1.0212
FR Distance	X displacement	Y displacement	Z displacement				
0.000	13.6543	19.8988	-41.5977				
1.000	11.9897	-38.5590	263.4080				
Loading: PAINVU41				0.000	6.0886	8.0056	-6.7098
Loading title: Incremental load 41				1.000	5.7298	3.0730	-0.6585
FR Distance	X displacement	Y displacement	Z displacement				
0.000	13.8340	20.2120	-46.1400				
1.000	12.1533	-40.2364	307.6348				
Loading: PAINVU42				0.000	6.7322	8.9205	-7.4896
Loading title: Incremental load 42				1.000	6.3334	3.1026	-0.1660
FR Distance	X displacement	Y displacement	Z displacement				
0.000	13.8983	20.3815	-51.0131				
1.000	12.2280	-41.2997	354.7169				
Loading: PAINVU43				0.000	7.3758	9.8353	-8.2871
Loading title: Incremental load 43				1.000	6.9369	3.0652	0.4675
FR Distance	X displacement	Y displacement	Z displacement				
0.000	13.8760	20.3712	-51.9404				
1.000	12.2164	-41.2941	363.2931				
Loading: PAINVU44				0.000	8.0192	10.7502	-9.1037
Loading title: Incremental load 44				1.000	7.5402	2.9610	1.2547
FR Distance	X displacement	Y displacement	Z displacement				
0.000	12.2128	18.3267	-60.7047				
1.000	10.9271	-31.7824	393.0352				
Loading: PAINVU45				0.000	8.6626	11.6650	-9.9412
Loading title: Incremental load 45				1.000	8.1433	2.7901	2.2098
FR Distance	X displacement	Y displacement	Z displacement				
0.000	13.8089	20.3081	-52.9346				
1.000	12.1722	-41.0237	371.6812				
Loading: PAINVU46				0.000	9.3058	12.5798	-10.8013
Loading title: Incremental load 46				1.000	8.7463	2.5526	3.3486
FR Distance	X displacement	Y displacement	Z displacement				
0.000	13.7643	20.2554	-52.9634				
1.000	12.1399	-40.1572	371.5005				
Member TD7002							
Loading: PAINVU01							
Loading title: Incremental load 1							
FR Distance	X displacement	Y displacement	Z displacement				
0.000	0.9388	0.6906	-0.9709				
1.000	0.8987	0.4142	-0.6568				
Loading: PAINVU02							
Loading title: Incremental load 2							
FR Distance	X displacement	Y displacement	Z displacement				
0.000	1.5825	1.6045	-1.6481				
1.000	1.5027	0.9830	-0.9703				
Loading: PAINVU03							
Loading title: Incremental load 3							
FR Distance	X displacement	Y displacement	Z displacement				
0.000	2.2262	2.5186	-2.3352				
1.000	2.1067	1.4041	-1.2068				
Loading: PAINVU04							
Loading title: Incremental load 4							
FR Distance	X displacement	Y displacement	Z displacement				
0.000	2.8699	3.4328	-3.0330				
1.000	2.7106	1.9174	-1.3607				
Loading: PAINVU05							
Loading title: Incremental load 5							
FR Distance	X displacement	Y displacement	Z displacement				
0.000	3.5137	4.3472	-3.7422				
1.000	3.3148	2.2833	-1.4262				
Loading: PAINVU06							
Loading title: Incremental load 6							
FR Distance	X displacement	Y displacement	Z displacement				
0.000	4.1574	5.2616	-4.4635				
Loading: PAINVU07							
Loading title: Incremental load 7							
FR Distance	X displacement	Y displacement	Z displacement				
0.000	4.8012	6.1762	-5.1978				
1.000	4.5223	2.8126	-1.2642				
Loading: PAINVU08							
Loading title: Incremental load 8							
FR Distance	X displacement	Y displacement	Z displacement				
0.000	5.4449	7.0909	-5.9462				
1.000	5.1261	2.9764	-1.0212				
Loading: PAINVU09							
Loading title: Incremental load 9							
FR Distance	X displacement	Y displacement	Z displacement				
0.000	6.0886	8.0056	-6.7098				
1.000	5.7298	3.0730	-0.6585				
Loading: PAINVU10							
Loading title: Incremental load 10							
FR Distance	X displacement	Y displacement	Z displacement				
0.000	6.7322	8.9205	-7.4896				
1.000	6.3334	3.1026	-0.1660				
Loading: PAINVU11							
Loading title: Incremental load 11							
FR Distance	X displacement	Y displacement	Z displacement				
0.000	7.3758	9.8353	-8.2871				
1.000	6.9369	3.0652	0.4675				
Loading: PAINVU12							
Loading title: Incremental load 12							
FR Distance	X displacement	Y displacement	Z displacement				
0.000	8.0192	10.7502	-9.1037				
1.000	7.5402	2.9610	1.2547				
Loading: PAINVU13							
Loading title: Incremental load 13							
FR Distance	X displacement	Y displacement	Z displacement				
0.000	8.6626	11.6650	-9.9412				
1.000	8.1433	2.7901	2.2098				
Loading: PAINVU14							
Loading title: Incremental load 14							
FR Distance	X displacement	Y displacement	Z displacement				
0.000	9.3058	12.5798	-10.8013				
1.000	8.7463	2.5526	3.3486				
Loading: PAINVU15							
Loading title: Incremental load 15							
FR Distance	X displacement	Y displacement	Z displacement				
0.000	9.9488	13.4946	-11.8662				
1.000	9.3490	2.2484	4.6898				
Loading: PAINVU16							
Loading title: Incremental load 16							
FR Distance	X displacement	Y displacement	Z displacement				
0.000	10.5916	14.4092	-12.5983				
1.000	9.9514	1.8778	6.2535				
Loading: PAINVU17							
Loading title: Incremental load 17							
FR Distance	X displacement	Y displacement	Z displacement				
0.000	11.2342	15.3237	-13.5403				
1.000	10.5535	1.4408	8.0637				
Loading: PAINVU18							
Loading title: Incremental load 18							
FR Distance	X displacement	Y displacement	Z displacement				
0.000	11.8764	16.2379	-14.5152				
1.000	11.1552	0.9373	10.1474				
Loading: PAINVU19							
Loading title: Incremental load 19							
FR Distance	X displacement	Y displacement	Z displacement				
0.000	12.5184	17.1519	-15.5266				
1.000	11.7565	0.3675	12.5362				
Loading: PAINVU20							
Loading title: Incremental load 20							
FR Distance	X displacement	Y displacement	Z displacement				
0.000	13.1599	18.0656	-16.5786				
1.000	12.3573	-0.2688	15.2666				
Loading: PAINVU21							
Loading title: Incremental load 21							
FR Distance	X displacement	Y displacement	Z displacement				
0.000	13.8010	18.9709	-17.6760				

1.000	12.9575	-0.9715	10.3812	
Loading: PAINV022 Loading title: Incremental load 22				
FR Distance X displacement Y displacement Z displacement				
0.000	14.4415	19.8918	-18.8242	
1.000	13.5570	-1.7409	21.9303	
Loading: PAINV023 Loading title: Incremental load 23				
FR Distance X displacement Y displacement Z displacement				
0.000	15.0815	20.8040	-20.0297	
1.000	14.1558	-2.5771	25.9735	
Loading: PAINV024 Loading title: Incremental load 24				
FR Distance X displacement Y displacement Z displacement				
0.000	15.7206	21.7156	-21.3004	
1.000	14.7537	-3.4804	30.5821	
Loading: PAINV025 Loading title: Incremental load 25				
FR Distance X displacement Y displacement Z displacement				
0.000	16.3590	22.6263	-22.6452	
1.000	15.3905	-4.4512	35.8419	
Loading: PAINV026 Loading title: Incremental load 26				
FR Distance X displacement Y displacement Z displacement				
0.000	16.9963	23.5360	-24.0753	
1.000	15.9462	-5.4900	41.8575	
Loading: PAINV027 Loading title: Incremental load 27				
FR Distance X displacement Y displacement Z displacement				
0.000	17.6325	24.4446	-25.6041	
1.000	16.5404	-6.5975	48.7576	
Loading: PAINV028 Loading title: Incremental load 28				
FR Distance X displacement Y displacement Z displacement				
0.000	18.2673	25.3517	-27.2480	
1.000	17.1330	-7.7740	56.7025	
Loading: PAINV029 Loading title: Incremental load 29				
FR Distance X displacement Y displacement Z displacement				
0.000	18.9004	26.2571	-29.0277	
1.000	17.7236	-9.0211	65.8946	
Loading: PAINV030 Loading title: Incremental load 30				
FR Distance X displacement Y displacement Z displacement				
0.000	19.5315	27.1603	-30.9691	
1.000	18.3119	-10.3441	76.5931	
Loading: PAINV031 Loading title: Incremental load 31				
FR Distance X displacement Y displacement Z displacement				
0.000	20.1602	28.0611	-33.1054	
1.000	18.8973	-11.7401	89.1365	
Loading: PAINV032 Loading title: Incremental load 32				
FR Distance X displacement Y displacement Z displacement				
0.000	20.7860	29.9586	-35.4602	
1.000	19.4794	-13.2140	103.9748	
Loading: PAINV033 Loading title: Incremental load 33				
FR Distance X displacement Y displacement Z displacement				
0.000	21.4082	30.8523	-38.1516	
1.000	20.0571	-14.7701	121.7210	
Loading: PAINV034 Loading title: Incremental load 34				
FR Distance X displacement Y displacement Z displacement				
0.000	22.0260	30.7414	-41.2205	
1.000	20.6300	-16.4077	143.4585	
Loading: PAINV035 Loading title: Incremental load 35				
FR Distance X displacement Y displacement Z displacement				
0.000	22.6319	31.6240	-44.1860	
1.000	21.1959	-18.1439	170.1022	
Loading: PAINV036 Loading title: Incremental load 36				
FR Distance X displacement Y displacement Z displacement				
0.000	23.2423	32.4984	-46.9711	
1.000	21.7532	-19.9852	203.7108	
Loading: PAINV037 Loading title: Incremental load 37				
FR Distance X displacement Y displacement Z displacement				
0.000	23.8365	33.3617	-54.0955	
1.000	22.2980	-21.9470	247.3337	
Loading: PAINV038 Loading title: Incremental load 38				
FR Distance X displacement Y displacement Z displacement				
0.000	24.4164	34.2097	-60.5706	
1.000	22.8282	-24.0534	306.2001	
Loading: PAINV039 Loading title: Incremental load 39				
FR Distance X displacement Y displacement Z displacement				
0.000	24.9770	35.0711	-68.4667	
1.000	23.3360	-26.3361	388.0784	
Loading: PAINV040 Loading title: Incremental load 40				
FR Distance X displacement Y displacement Z displacement				
0.000	25.5041	35.8291	-60.8892	
1.000	23.8065	-28.8726	513.3837	
Loading: PAINV041 Loading title: Incremental load 41				
FR Distance X displacement Y displacement Z displacement				
0.000	25.9704	36.5580	-99.8028	
1.000	24.2103	-31.8073	730.2441	
Loading: PAINV042 Loading title: Incremental load 42				
FR Distance X displacement Y displacement Z displacement				
0.000	26.2747	37.1233	-139.1066	
1.000	24.4407	-35.6423	1231.5062	
Loading: PAINV043 Loading title: Incremental load 43				
FR Distance X displacement Y displacement Z displacement				
0.000	26.2825	37.1833	-153.9517	
1.000	24.4305	-36.6843	1433.1812	
Loading: PAINV044 Loading title: Incremental load 44				
FR Distance X displacement Y displacement Z displacement				
0.000	23.9923	34.9073	-457.4332	
1.000	21.9749	-50.0904	6061.3628	
Loading: PAINV045 Loading title: Incremental load 45				
FR Distance X displacement Y displacement Z displacement				
0.000	26.2288	37.1929	-180.1732	
1.000	24.3521	-38.2519	1800.6791	
Loading: PAINV046 Loading title: Incremental load 46				
FR Distance X displacement Y displacement Z displacement				
0.000	26.1680	37.1429	-191.4655	
1.000	24.2843	-38.7602	1961.0593	
Member ID/ZU				
Loading: PAINV001 Loading title: Incremental load 1				
FR Distance X displacement Y displacement Z displacement				
0.000	0.5005	0.2083	-0.2011	
1.000	0.2615	0.0350	-0.1517	
Loading: PAINV002 Loading title: Incremental load 2				
FR Distance X displacement Y displacement Z displacement				
0.000	0.5086	0.4865	-0.5476	
1.000	0.4310	0.0954	-0.1753	
Loading: PAINV003 Loading title: Incremental load 3				
FR Distance X displacement Y displacement Z displacement				
0.000	0.7165	0.7646	-0.1479	
1.000	0.6004	0.1121	-0.1612	
Loading: PAINV004 Loading title: Incremental load 4				
FR Distance X displacement Y displacement Z displacement				
0.000	0.9244	1.0426	-0.9521	
1.000	0.7698	0.0852	-0.1069	
Loading: PAINV005 Loading title: Incremental load 5				
FR Distance X displacement Y displacement Z displacement				



0.000	1.1323	1.3206	-1.1607		0.000	4.2330	5.4750	-5.0438
1.000	0.9391	0.0148	-0.0099		1.000	3.4659	-6.1839	9.2552
Loading: PAINV006 Loading title: Incremental load 6								
FR Distance X displacement Y displacement Z displacement								
0.000	1.3400	1.5965	-1.3737		0.000	4.4380	5.7511	-5.3776
1.000	1.1083	-0.0990	0.1325		1.000	3.6330	-6.9331	10.6700
Loading: PAINV007 Loading title: Incremental load 7								
FR Distance X displacement Y displacement Z displacement								
0.000	1.5476	1.8763	-1.5916		0.000	4.6427	6.0261	-5.7255
1.000	1.2775	-0.2561	0.3235		1.000	3.7999	-7.7230	12.2381
Loading: PAINV008 Loading title: Incremental load 8								
FR Distance X displacement Y displacement Z displacement								
0.000	1.7551	2.1541	-1.8145		0.000	4.8470	6.3007	-6.0888
1.000	1.4466	-0.4565	0.5663		1.000	3.9665	-8.5535	13.9742
Loading: PAINV009 Loading title: Incremental load 9								
FR Distance X displacement Y displacement Z displacement								
0.000	1.9625	2.4317	-2.0429		0.000	5.0510	6.5740	-6.4688
1.000	1.6155	-0.6999	0.8646		1.000	4.1328	-9.4241	15.8951
Loading: PAINV010 Loading title: Incremental load 10								
FR Distance X displacement Y displacement Z displacement								
0.000	2.1698	2.7093	-2.2770		0.000	5.2545	6.8486	-6.8671
1.000	1.7844	-0.9864	1.2922		1.000	4.2987	-10.3347	18.0197
Loading: PAINV011 Loading title: Incremental load 11								
FR Distance X displacement Y displacement Z displacement								
0.000	2.3769	2.9867	-2.5174		0.000	5.4575	7.1219	-7.2857
1.000	1.9532	-1.3157	1.6434		1.000	4.4643	-11.2848	20.3693
Loading: PAINV012 Loading title: Incremental load 12								
FR Distance X displacement Y displacement Z displacement								
0.000	2.5839	3.2640	-2.7643		0.000	5.6599	7.3945	-7.7264
1.000	2.1218	-1.6877	2.1330		1.000	4.6295	-12.2741	22.9685
Loading: PAINV013 Loading title: Incremental load 13								
FR Distance X displacement Y displacement Z displacement								
0.000	2.7908	3.5411	-3.0183		0.000	5.8418	7.6665	-8.1918
1.000	2.2904	-2.1024	2.6960		1.000	4.7943	-13.3020	25.8450
Loading: PAINV014 Loading title: Incremental load 14								
FR Distance X displacement Y displacement Z displacement								
0.000	2.9974	3.8181	-3.2798		0.000	6.0630	7.9377	-8.6844
1.000	2.4588	-2.6565	3.3083		1.000	4.9585	-14.3683	29.0311
Loading: PAINV015 Loading title: Incremental load 15								
FR Distance X displacement Y displacement Z displacement								
0.000	3.2039	4.0949	-3.5495		0.000	6.2635	8.2082	-9.2073
1.000	2.6271	-3.0589	4.0659		1.000	5.1222	-15.4723	32.5637
Loading: PAINV016 Loading title: Incremental load 16								
FR Distance X displacement Y displacement Z displacement								
0.000	3.4102	4.3716	-3.8280		0.000	6.4632	8.4778	-9.7641
1.000	2.7952	-3.6005	4.8859		1.000	5.2853	-16.6134	36.4856
Loading: PAINV017 Loading title: Incremental load 17								
FR Distance X displacement Y displacement Z displacement								
0.000	3.6163	4.6480	-4.1158		0.000	6.6619	8.7463	-10.3588
1.000	2.9631	-4.6839	5.8059		1.000	5.4477	-17.7912	40.0467
Loading: PAINV018 Loading title: Incremental load 18								
FR Distance X displacement Y displacement Z displacement								
0.000	3.8221	4.9242	-4.4138		0.000	6.8596	9.0117	-10.9964
1.000	3.1309	-4.8091	6.8343		1.000	5.6092	-19.0048	45.7056
Loading: PAINV019 Loading title: Incremental load 19								
FR Distance X displacement Y displacement Z displacement								
0.000	4.0277	5.2001	-4.7229		0.000	7.0562	9.2797	-11.6767
1.000	3.2085	-4.4759	7.9806		1.000	5.7700	-20.2538	51.0888
Loading: PAINV020 Loading title: Incremental load 20								
FR Distance X displacement Y displacement Z displacement								
0.000	4.2314	5.4943	-5.4100		0.000	7.2914	9.5443	-12.4100

1.000	5.9297	-21.5369	57.1453	FR Distance	X displacement	Y displacement	Z displacement
Loading: PAINV036 Loading title: Incremental load 36							
0.000	7.4450	9.8072	-13.2173		0.000	2.1134	2.2758
1.000	6.0493	-22.8536	63.9407		1.000	1.9659	-1.9429
Loading: PAINV037 Loading title: Incremental load 37							
0.000	7.6370	10.0682	-14.9098	FR Distance	X displacement	Y displacement	Z displacement
1.000	6.2456	-24.2028	71.5905		0.000	2.5854	2.8876
Loading: PAINV038 Loading title: Incremental load 38							
0.000	7.8269	10.3270	-15.0478		1.000	2.4011	-2.3760
1.000	6.4015	-25.5840	80.2367	FR Distance	X displacement	Y displacement	Z displacement
Loading: PAINV039 Loading title: Incremental load 39							
0.000	8.0146	10.5834	-16.1015		0.000	3.0574	3.4994
1.000	6.5558	-26.9961	90.0426		1.000	2.8364	-2.8143
Loading: PAINV040 Loading title: Incremental load 40							
0.000	8.1999	10.8373	-17.2729	FR Distance	X displacement	Y displacement	Z displacement
1.000	6.7085	-28.4408	101.2517		0.000	4.0013	4.7232
Loading: PAINV041 Loading title: Incremental load 41							
0.000	8.3829	11.0893	-18.3906		1.000	3.7067	-3.7112
1.000	6.8599	-29.9235	114.1982	FR Distance	X displacement	Y displacement	Z displacement
Loading: PAINV042 Loading title: Incremental load 42							
0.000	8.5661	11.3433	-20.1196		0.000	4.4733	5.3352
1.000	7.0119	-31.4750	129.6125		1.000	4.1418	-4.1707
Loading: PAINV043 Loading title: Incremental load 43							
0.000	8.6038	11.3961	-20.4665	FR Distance	X displacement	Y displacement	Z displacement
1.000	7.0434	-31.8057	133.1682		0.000	4.9452	5.9473
Loading: PAINV044 Loading title: Incremental load 44							
0.000	8.7453	11.6036	-21.5379		1.000	4.5768	-4.6380
1.000	7.1634	-33.1447	145.2872	FR Distance	X displacement	Y displacement	Z displacement
Loading: PAINV045 Loading title: Incremental load 45							
0.000	8.6510	11.4624	-20.9242		0.000	5.4170	6.5593
1.000	7.0829	-32.2263	137.8934		1.000	5.0118	-5.1139
Loading: PAINV046 Loading title: Incremental load 46							
0.000	8.6607	11.4764	-21.0169	FR Distance	X displacement	Y displacement	Z displacement
1.000	7.0912	-32.3162	138.8689		0.000	5.8888	7.1714
Member TD7218							
Loading: PAINV001 Loading title: Incremental load 1							
0.000	0.6973	0.4410	-0.6816	FR Distance	X displacement	Y displacement	Z displacement
1.000	0.6602	0.1907	-0.4486		0.000	6.3605	7.7835
Loading: PAINV002 Loading title: Incremental load 2							
0.000	1.1493	1.0525	-1.0970		1.000	5.8815	-6.0960
1.000	1.0954	0.4918	-0.6299	FR Distance	X displacement	Y displacement	Z displacement
Loading: PAINV003 Loading title: Incremental load 3							
0.000	1.6413	1.6641	-1.5176		0.000	6.8322	8.3955
1.000	1.5307	0.7336	-0.7625		1.000	6.3162	-6.5985
Loading: PAINV004 Loading title: Incremental load 4							
Loading: PAINV005 Loading title: Incremental load 5							
0.000	2.1134	2.2758	-1.9429	FR Distance	X displacement	Y displacement	Z displacement
1.000	1.9659	0.9163	-0.8435		0.000	7.3037	9.0075
Loading: PAINV006 Loading title: Incremental load 6							
0.000	2.5854	2.8876	-2.3760		1.000	6.7508	-7.1147
1.000	2.4011	1.0397	-0.8698	FR Distance	X displacement	Y displacement	Z displacement
Loading: PAINV007 Loading title: Incremental load 7							
0.000	3.0574	3.4994	-2.8143		0.000	7.7751	9.6195
1.000	2.8364	1.1041	-0.8381		1.000	7.1852	-3.7259
Loading: PAINV008 Loading title: Incremental load 8							
0.000	3.5294	4.1113	-3.2593		0.000	8.2464	10.2314
1.000	3.2715	1.1094	-0.7448		1.000	7.6195	-8.1647
Loading: PAINV009 Loading title: Incremental load 9							
0.000	4.0013	4.7232	-3.7112		0.000	8.7175	10.8432
1.000	3.7067	1.0556	-0.5959		1.000	8.4937	-8.7390
Loading: PAINV010 Loading title: Incremental load 10							
0.000	4.4733	5.3352	-4.1707		0.000	9.0075	10.7740
1.000	4.1418	0.9429	-0.3572	FR Distance	X displacement	Y displacement	Z displacement
Loading: PAINV011 Loading title: Incremental load 11							
0.000	5.4170	6.5593	-5.1139		0.000	9.6195	11.3692
1.000	5.0118	0.5410	-0.3287	FR Distance	X displacement	Y displacement	Z displacement
Loading: PAINV012 Loading title: Incremental load 12							
0.000	5.8888	7.1714	-5.5989		0.000	10.2314	11.8745
1.000	5.4467	0.2518	-0.7964		1.000	6.3162	-6.5985
Loading: PAINV013 Loading title: Incremental load 13							
0.000	6.3605	7.7835	-6.0935		0.000	10.7740	12.5448
1.000	5.8815	-0.0960	1.3553	FR Distance	X displacement	Y displacement	Z displacement
Loading: PAINV014 Loading title: Incremental load 14							
0.000	6.8322	8.3955	-6.5985		0.000	11.3692	13.1399
1.000	6.3162	-0.5025	2.0121	FR Distance	X displacement	Y displacement	Z displacement
Loading: PAINV015 Loading title: Incremental load 15							
0.000	7.3037	9.0075	-7.1147		0.000	12.5448	14.3156
1.000	6.7508	-0.9675	2.7740	FR Distance	X displacement	Y displacement	Z displacement
Loading: PAINV016 Loading title: Incremental load 16							
0.000	7.7751	9.6195	-7.6429		0.000	13.1399	14.9107
1.000	7.1852	-1.4910	3.6492	FR Distance	X displacement	Y displacement	Z displacement
Loading: PAINV017 Loading title: Incremental load 17							
0.000	8.2464	10.2314	-8.1647		0.000	14.3156	16.0864
1.000	7.6195	-2.0729	4.6467	FR Distance	X displacement	Y displacement	Z displacement
Loading: PAINV018 Loading title: Incremental load 18							
0.000	8.7175	10.8432	-8.7390		0.000	15.9107	17.6815
1.000	8.4937	-2.7132	5.7745	FR Distance	X displacement	Y displacement	Z displacement
Loading: PAINV019 Loading title: Incremental load 19							
0.000	9.0075	10.7740	-9.0845		0.000	17.6815	19.4523
1.000	8.4937	-2.7132	5.7745	FR Distance	X displacement	Y displacement	Z displacement

0.000	9.1885	11.4549	-9.3092	0.000	16.205	20.5887	-21.1220
1.000	8.4876	-7.4112	7.0496	1.000	14.9461	-20.8684	57.7258
Loading: PAINV020							
Loading title: Incremental load 20							
FR Distance	X displacement	Y displacement	Z displacement	FR Distance	X displacement	Y displacement	Z displacement
0.000	9.6592	12.0664	-9.8957	0.000	16.6674	21.1918	-22.3133
1.000	8.9213	-4.1684	8.4786	1.000	15.3702	-22.5034	65.0975
Loading: PAINV021							
Loading title: Incremental load 21							
FR Distance	X displacement	Y displacement	Z displacement	FR Distance	X displacement	Y displacement	Z displacement
0.000	10.1297	12.6778	-10.5001	0.000	17.1277	21.7937	-23.6019
1.000	9.3547	-4.9833	10.0773	1.000	15.7929	-24.2007	73.4533
Loading: PAINV022							
Loading title: Incremental load 22							
FR Distance	X displacement	Y displacement	Z displacement	FR Distance	X displacement	Y displacement	Z displacement
0.000	10.6000	13.2889	-11.1238	0.000	17.5865	22.3942	-25.0055
1.000	9.7679	-5.8563	11.8613	1.000	16.2139	-25.9619	82.9788
Loading: PAINV023							
Loading title: Incremental load 23							
FR Distance	X displacement	Y displacement	Z displacement	FR Distance	X displacement	Y displacement	Z displacement
0.000	11.0700	13.8999	-11.7687	0.000	18.0437	22.4991	-26.5447
1.000	10.2208	-6.7873	13.8483	1.000	16.6333	-27.7899	93.9157
Loading: PAINV024							
Loading title: Incremental load 24							
FR Distance	X displacement	Y displacement	Z displacement	FR Distance	X displacement	Y displacement	Z displacement
0.000	11.5396	14.5105	-12.4368	0.000	18.4992	23.5911	-28.2500
1.000	10.4511	-7.7763	16.0444	1.000	17.0508	-29.6683	106.5417
Loading: PAINV025							
Loading title: Incremental load 25							
FR Distance	X displacement	Y displacement	Z displacement	FR Distance	X displacement	Y displacement	Z displacement
0.000	12.0089	15.1209	-13.1305	0.000	18.9534	24.1887	-30.1631
1.000	11.0854	-8.8233	18.5143	1.000	17.4670	-31.6660	121.3518
Loading: PAINV026							
Loading title: Incremental load 26							
FR Distance	X displacement	Y displacement	Z displacement	FR Distance	X displacement	Y displacement	Z displacement
0.000	12.4778	15.7308	-13.8523	0.000	19.4081	24.7988	-32.3485
1.000	11.5171	-9.9282	21.2422	1.000	17.8832	-33.7401	139.0241
Loading: PAINV027							
Loading title: Incremental load 27							
FR Distance	X displacement	Y displacement	Z displacement	FR Distance	X displacement	Y displacement	Z displacement
0.000	12.9462	16.3404	-14.6053	0.000	19.8717	25.4045	-34.9473
1.000	11.9482	-11.0912	24.2719	1.000	18.3074	-35.9714	161.0431
Loading: PAINV028							
Loading title: Incremental load 28							
FR Distance	X displacement	Y displacement	Z displacement	FR Distance	X displacement	Y displacement	Z displacement
0.000	13.4141	16.9494	-15.3929	0.000	19.9688	25.5344	-35.5498
1.000	12.1789	-12.5122	27.6043	1.000	18.3962	-36.4569	166.3116
Loading: PAINV029							
Loading title: Incremental load 29							
FR Distance	X displacement	Y displacement	Z displacement	FR Distance	X displacement	Y displacement	Z displacement
0.000	13.8814	17.5579	-16.2191	0.000	20.3412	26.0616	-37.4839
1.000	12.8088	-13.5915	31.3816	1.000	18.7397	-38.4280	185.3974
Loading: PAINV030							
Loading title: Incremental load 30							
FR Distance	X displacement	Y displacement	Z displacement	FR Distance	X displacement	Y displacement	Z displacement
0.000	14.3480	18.1657	-17.0887	0.000	20.0914	25.6993	-36.3433
1.000	13.2381	-14.9290	35.5492	1.000	18.5084	-37.0815	173.3537
Loading: PAINV031							
Loading title: Incremental load 31							
FR Distance	X displacement	Y displacement	Z displacement	FR Distance	X displacement	Y displacement	Z displacement
0.000	14.8138	18.7728	-18.0071	0.000	20.1171	25.7346	-36.5207
1.000	13.6566	-16.3251	40.1967	1.000	18.5320	-37.2164	174.9775
Loading: PAINV032							
Loading title: Incremental load 32							
FR Distance	X displacement	Y displacement	Z displacement	FR Distance	X displacement	Y displacement	Z displacement
0.000	15.2785	19.5191	-18.9808	0.000	0.9119	0.5639	-0.8383
1.000	14.0942	-17.7801	45.3907	1.000	0.8764	0.3056	-0.6037
Loading: PAINV033							
Loading title: Incremental load 33							
FR Distance	X displacement	Y displacement	Z displacement	FR Distance	X displacement	Y displacement	Z displacement
0.000	15.1743	19.7043	-19.9811	0.000	1.3512	-1.3802	
1.000	14.5207	-19.2945	51.2109	1.000	1.4581	0.7760	-0.8867
Loading: PAINV034							
Loading title: Incremental load 34							
FR Distance	X displacement	Y displacement	Z displacement	FR Distance	X displacement	Y displacement	Z displacement
0.000				0.000			
Loading: PAINV035							
Loading title: Incremental load 35							
FR Distance	X displacement	Y displacement	Z displacement	FR Distance	X displacement	Y displacement	Z displacement
0.000				0.000			

FR Distance	X displacement	Y displacement	Z displacement	FR Distance	X displacement	Y displacement	Z displacement
0.000	2.1456	2.1387	-1.9284	0.000	11.4069	11.9609	-11.2720
1.000	2.0399	1.1086	-1.1169	1.000	10.7702	0.4879	4.9485
Loading: RAINW004				Loading: RAINW019			
Loading title: Incremental load	4			Loading title: Incremental load	19		
FR Distance	X displacement	Y displacement	Z displacement	FR Distance	X displacement	Y displacement	Z displacement
0.000	2.7626	2.9264	-2.4834	0.000	12.0245	14.7556	-12.0065
1.000	2.4217	1.5435	-1.3910	1.000	11.3521	-0.0158	6.3173
Loading: RAINW005				Loading: RAINW020			
Loading title: Incremental load	5			Loading title: Incremental load	20		
FR Distance	X displacement	Y displacement	Z displacement	FR Distance	X displacement	Y displacement	Z displacement
0.000	3.3797	3.7142	-3.0454	0.000	12.6420	15.5492	-12.7623
1.000	3.2036	1.8409	-1.4053	1.000	11.9337	-0.5764	7.8719
Loading: RAINW016				Loading: RAINW021			
Loading title: Incremental load	6			Loading title: Incremental load	21		
FR Distance	X displacement	Y displacement	Z displacement	FR Distance	X displacement	Y displacement	Z displacement
0.000	3.9969	4.5022	-3.6150	0.000	13.2594	16.3389	-13.5411
1.000	3.7856	2.0806	-1.4580	1.000	12.5153	-1.1939	9.6305
Loading: RAINW007				Loading: RAINW022			
Loading title: Incremental load	7			Loading title: Incremental load	22		
FR Distance	X displacement	Y displacement	Z displacement	FR Distance	X displacement	Y displacement	Z displacement
0.000	4.6141	5.2904	-4.1926	0.000	13.8768	17.1286	-14.3453
1.000	4.3676	2.2628	-1.4388	1.000	13.0967	-1.8684	11.6144
Loading: RAINW008				Loading: RAINW023			
Loading title: Incremental load	8			Loading title: Incremental load	23		
FR Distance	X displacement	Y displacement	Z displacement	FR Distance	X displacement	Y displacement	Z displacement
0.000	5.2314	6.0788	-4.7788	0.000	14.4940	17.9182	-15.1775
1.000	4.9496	2.3816	-1.5494	1.000	13.6779	-2.5999	13.8473
U.UUU	5.6488	6.8813	-3.3142	U.UUU	14.7368	-3.5883	16.3570
1.000	5.5317	2.4550	-1.1821	Loading: RAINW024			
Loading: RAINW010				Loading: RAINW025			
Loading title: Incremental load	10			Loading title: Incremental load	25		
FR Distance	X displacement	Y displacement	Z displacement	FR Distance	X displacement	Y displacement	Z displacement
0.000	6.4463	7.6560	-5.9793	0.000	15.2880	19.4914	-16.9380
1.000	6.1138	2.4650	-0.9318	1.000	14.8396	-4.2344	19.1755
Loading: RAINW011				Loading: RAINW026			
Loading title: Incremental load	11			Loading title: Incremental load	26		
FR Distance	X displacement	Y displacement	Z displacement	FR Distance	X displacement	Y displacement	Z displacement
0.000	7.0838	0.4449	-6.5949	0.000	15.1447	20.2668	-17.8715
1.000	6.6959	2.4178	-0.5924	1.000	15.4200	-5.1377	22.3398
Loading: RAINW012				Loading: RAINW027			
Loading title: Incremental load	12			Loading title: Incremental load	27		
FR Distance	X displacement	Y displacement	Z displacement	FR Distance	X displacement	Y displacement	Z displacement
0.000	7.7013	9.2338	-7.2217	0.000	16.9612	21.0761	-18.8517
1.000	7.2780	2.3113	-0.6570	1.000	16.0000	-6.0987	25.8935
Loading: RAINW013				Loading: RAINW028			
Loading title: Incremental load	13			Loading title: Incremental load	28		
FR Distance	X displacement	Y displacement	Z displacement	FR Distance	X displacement	Y displacement	Z displacement
0.000	8.3189	10.0229	-7.8606	0.000	17.5774	21.8653	-19.8779
1.000	7.8602	2.1517	0.3016	1.000	16.5797	-7.1176	29.8878
Loading: RAINW014				Loading: RAINW029			
Loading title: Incremental load	14			Loading title: Incremental load	29		
FR Distance	X displacement	Y displacement	Z displacement	FR Distance	X displacement	Y displacement	Z displacement
0.000	8.9365	10.8121	-8.5125	0.000	18.1933	22.6542	-20.9583
1.000	8.4423	1.9330	1.0319	1.000	17.1589	-8.1950	34.3838
Loading: RAINW015				Loading: RAINW030			
Loading title: Incremental load	15			Loading title: Incremental load	30		
FR Distance	X displacement	Y displacement	Z displacement	FR Distance	X displacement	Y displacement	Z displacement
0.000	9.5541	11.6014	-9.1783	0.000	18.8089	23.4429	-22.1003
1.000	9.0243	1.6572	1.8029	1.000	17.1376	-9.3314	39.4542
Loading: RAINW016				Loading: RAINW031			
Loading title: Incremental load	16			Loading title: Incremental load	31		
FR Distance	X displacement	Y displacement	Z displacement	FR Distance	X displacement	Y displacement	Z displacement
0.000	10.1717	12.3909	-9.8594	0.000	19.4240	24.2314	-23.3128
1.000	9.6064	1.3244	2.7049	1.000	18.3157	-10.5275	45.1974
Loading: RAINW017				Loading: RAINW032			
Loading title: Incremental load	17			Loading title: Incremental load	32		
FR Distance	X displacement	Y displacement	Z displacement	FR Distance	X displacement	Y displacement	Z displacement
0.000	10.7894	13.1804	-10.5568	0.000	20.0387	25.0195	-24.6065
1.000	10.1883	0.9346	3.7492	1.000	18.8932	-11.7842	51.6910
Loading: RAINW018				Loading: RAINW033			
Loading title: Incremental load	18			Loading title: Incremental load	33		
FR Distance	X displacement	Y displacement	Z displacement	FR Distance	X displacement	Y displacement	Z displacement

0.000	20.6529	25.8074	-20.9944
1.000	19.4699	-13.1029	59.0982
Loading: PAINV034			
Loading title: Incremental load 34			
FR Distance	X displacement	Y displacement	Z displacement
0.000	21.2665	26.5947	-27.4993
1.000	20.0456	-14.4836	67.6247
Loading: PAINV035			
Loading title: Incremental load 35			
FR Distance	X displacement	Y displacement	Z displacement
0.000	21.8795	27.3010	-29.1311
1.000	20.6208	-15.9300	77.4060
Loading: PAINV036			
Loading title: Incremental load 36			
FR Distance	X displacement	Y displacement	Z displacement
0.000	22.4919	28.1686	-30.9210
1.000	21.1945	-17.4463	88.7554
Loading: PAINV037			
Loading title: Incremental load 37			
FR Distance	X displacement	Y displacement	Z displacement
0.000	23.1037	28.9553	-32.9037
1.000	21.7673	-19.0340	102.0436
Loading: PAINV038			
Loading title: Incremental load 38			
FR Distance	X displacement	Y displacement	Z displacement
0.000	23.7151	29.7423	-35.1261
1.000	22.3392	-20.6996	117.7785
Loading: PAINV039			
Loading title: Incremental load 39			
FR Distance	X displacement	Y displacement	Z displacement
0.000	24.3262	30.5299	-37.6473
1.000	22.9100	-22.4502	136.6296
Loading: PAINV040			
Loading title: Incremental load 40			
FR Distance	X displacement	Y displacement	Z displacement
0.000	24.9383	31.3204	-40.5683
1.000	23.4810	-24.3008	159.7026
Loading: PAINV041			
Loading title: Incremental load 41			
FR Distance	X displacement	Y displacement	Z displacement
0.000	25.5544	32.1184	-44.0430
1.000	24.0544	-26.2769	188.7360
Loading: PAINV042			
Loading title: Incremental load 42			
FR Distance	X displacement	Y displacement	Z displacement
0.000	26.1877	32.9433	-48.4071
1.000	24.6422	-28.4555	227.4665
Loading: PAINV043			
Loading title: Incremental load 43			
FR Distance	X displacement	Y displacement	Z displacement
0.000	26.3211	33.1185	-49.4619
1.000	24.7658	-28.9387	237.1989
Loading: PAINV044			
Loading title: Incremental load 44			
FR Distance	X displacement	Y displacement	Z displacement
0.000	26.8350	33.0341	-52.8467
1.000	25.2449	-30.9114	271.5264
Loading: PAINV045			
Loading title: Incremental load 45			
FR Distance	X displacement	Y displacement	Z displacement
0.000	26.4902	33.3416	-50.8638
1.000	24.9223	-29.5660	250.3602
Loading: PAINV046			
Loading title: Incremental load 46			
FR Distance	X displacement	Y displacement	Z displacement
0.000	26.5260	33.3898	-51.2038
1.000	24.9555	-29.7038	253.6326

